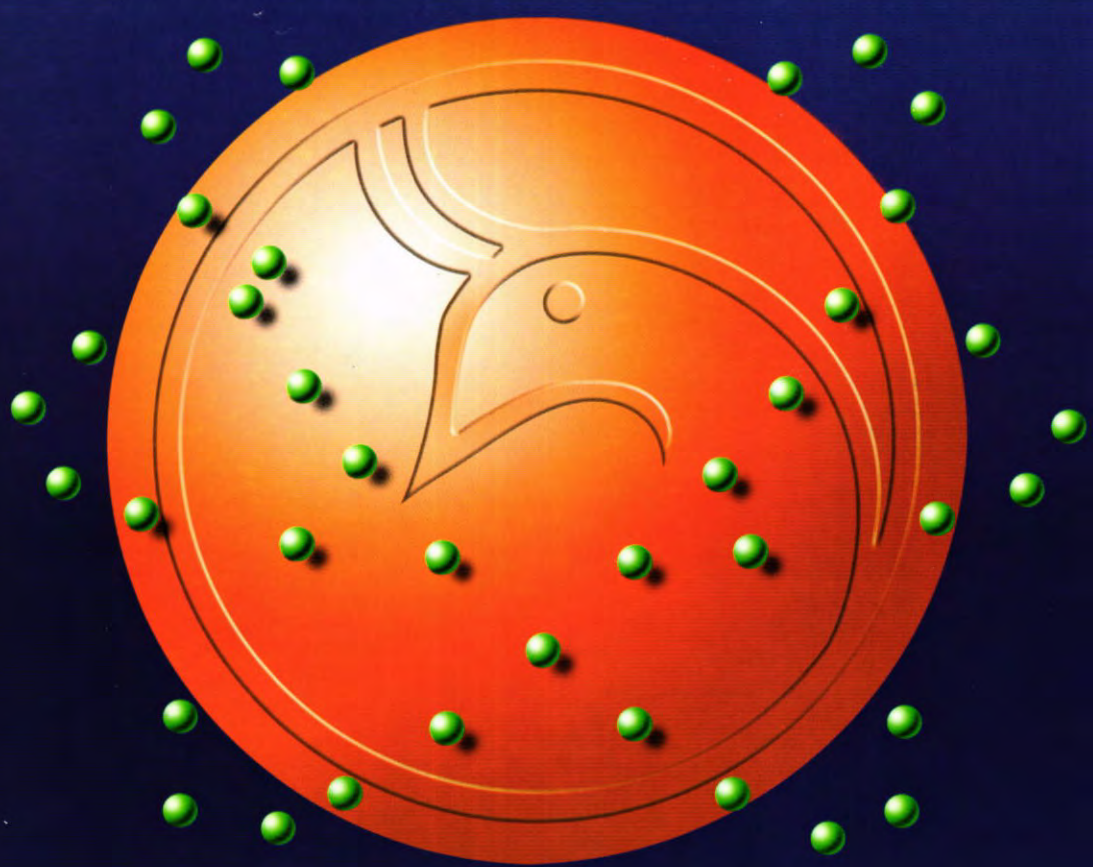




# Al-Mustansiriya

ISSN 1814 - 635X

Journal of Science



Issued by College of Science - al - Mustansiriya University

**AL-MUSTANSIRYA**

**JOURNAL OF SCIENCE**

**Head Editor**

**Prof.Dr. Ihsan S. Damirdagh**

**General Editor**

**Prof.Dr. Redha I. AL -Bayati**

**Editorial Board**

**Dr. Hassan H . Salman**

**Member**

**Dr. Tariq S . Najim**

**Member**

**Dr. Abid Ali H.Altaai**

**Member**

**Dr. Sijal A.W Al- Rekabi**

**Member**

**Dr. Kadum H. Mossawi**

**Member**

**Dr. Aladdin J. Al - Hilli**

**Member**

## **INSTRUCTION FOR AUTHORS**

1. The journal accepts manuscripts in Arabic and English languages. Which had been published before.
2. Author (s) has to introduce an application requesting publication of his manuscript in the journal. Three copies (one original) of the manuscript should be submitted. Should be printed by on the computer by laser printer and reproduced on A4 white paper in three copies with floppy disc should be also submitted.
3. The title of the manuscript together with the name and address of the author (s) should typed on a separate sheet in both Arabic and English. Only manuscript's title to be typed again with the manuscript.
4. For manuscripts written in English, full name (S) of author (s) and only first letters of the words (except prepositions and auxiliaries) forming title of the manuscript should be written in capital letters. Author (s) address (es) to be written in small letters.
5. Both Arabic and English abstracts are required for each manuscript. They should be typed on two separate sheets (not more than 250 words each).
6. Figures and illustrations should be drawn using black China ink on tracing papers. Two photocopies (Plus original) of each diagram should be submitted. Captions to figures should be written on separate papers. The same information should not be repeated in tables unless it is necessary and required in the discussion.
7. References should be denoted by a number between two bracket on the same level of the line and directly at the end of the sentence. A list of references should be given on a separate sheet of paper, following the international style for names and abbreviations of journals.
8. Whenever possible, research papers should follow this pattern: INTRODUCTION, EXPERIMENTAL (MATERIALS AND METHODS), RESULTS, DISCUSSION and REFERENCES. All written in capital letters at the middle of the page. Without numbers or underneath lines.

## CONTENTS

ITEM	Page No.
Enucleation of Immature Goat Oocytes Pretreated with Sucrose Muhammad Baqir M.R. Fakhrildin, Mohammed R. Abdul-Majeed, Ayad M. A. Fadhil, Mohammad A. Ibrahim, Mahmmod. H. Hammash	1-14
Antibiotics resistance and antimicrobial activity of ampietam, augmentin and tazocin against <i>Staphylococci</i> species isolated from wound infections Sahira N.Muslim	15-23
Identification and Purification of Gibberellins (GAs) from <i>Fusarium moniliforme</i> locally isolate Muntaha A.M. Al-Safar	24-31
Inhibitory effect's of flavylium Salt on (Serum, Testicular, Bacterial) Hyaluronidase Abdul Kadir M. N. Jassim	32-43
Spectrophotometric determination of gadolinium (III) with 1-(2-Benzimidazolyl-azo)-2-hydroxy-3-naphthoic acid with cetyltrimethyl ammonium bromide (CTMABr) Ala'a. K. Mohammed	44-58
The stopping power and energy straggling of swift ions in individual planes of surfaces Riyahd K. A. Al-Ani, Khalid A. Ahmad, Khalid S. Ibrahim	59-89
Intensity Noise Characteristics in Quantum-Dot Lasers: Four-Level Rate Equations Analysis Amin H. Al-Khursan	90-106
Some Results on Semiprime Fuzzy Submodules of Fuzzy Modules Rabee Hadi Jari	105-117

## Enucleation of Immature Goat Oocytes Pretreated with Sucrose

Muhammad Baqir M.R. Fakhrildin      Research Center for Biotechnology  
Mohammed R. Abdul- Majeed      Research Center for Biotechnology  
Ayad M. A. Fadhil      Research Center for Biotechnology  
Mohammad A. Ibrahim      Research Center for Biotechnology  
Mahmood. H. Hammash      College of Medicine, Al-Nahrain University

### ABSTRACT

The objective of this study was to determine the effect of sucrose and other combined chemicals on enucleation of immature goat oocytes. One thousand and thirty four immature goat oocytes were harvested from caprine ovaries. Then, oocytes were treated with different concentrations (0, 3, 6 and 9 %; w/v) of sucrose either alone or combined with 0.1 µg/ml colchicine, 10 µM/ml strontium chloride ( $SrCl_2$ ) or a mixture of 0.1 µg/ml colchicine and 10 µM/ml  $SrCl_2$  (1:1;v:v) for no longer than 18 hour incubation. Percentages of enucleation were assessed and data were statistically analyzed.

Six percent sucrose treatment have the best results for enucleation of immature goat oocytes as compared to all treated and control groups. Also, combination of 6 % sucrose with 0.1 µg/ml colchicine give results better than the other combinations. These findings suggest that the possibility for enucleation of immature goat oocytes were used as a recipient for nuclear transplantation later, and sucrose treatment was considered as efficient enucleation method and non harmful for immature oocytes. Further molecular biology and biochemical studies are recommended to identify the mechanism by which sucrose affect the genetic material and achieved enucleation.

## Enucleation of Immature Goat Oocytes Pretreated with Sucrose

Muhammad Baqir M.R. Fakhrildin, Mohammed R. Abdul- Majeed, Ayad M. A. Fadhil, Mohammad A. Ibrahim, Mahmmud. H. Hammash

## الخلاصة

تهدف هذه الدراسة الى تحديد تأثير مادة السكروز (Sucrose) ومواد كيميائية اخرى على ازالة المادة النووية (Enucleation) لبويبضات الماعز غير الناضجة (Immature oocytes). جمعت ألف وثلاث وأربعون بويضة ماعز غير ناضجة من المبايض. عمليت البويبضات بتراكيز مختلفة (٠ و ٣ و ٦ و ٩ %) من السكروز أما منفرداً أو ممزوجاً مع الكولشيسين (Strontium chloride; 10  $\mu\text{M}/\text{ml}$ ) أو كلوريد السترونبيوم (Colchicine; 0.1  $\mu\text{g}/\text{ml}$ ) أو مع خليط (١:١) لمادتي الكولشيسين وكلوريد السترونبيوم لفترة حصن لا تزيد عن (١٨) ساعة. تم تقييم النسب المئوية لازالة المادة النووية وقد تم تحليل النتائج احصائياً.

أعطت المعاملة بتراكيز ٦ % سكروز أفضل النتائج لازالة المادة النووية من بويضات الماعز غير الناضجة مقارنة بكل مجاميع المعاملة مع السيطرة. كذلك أعطت نتائج المعاملة لمزيج من ٦ % سكروز مع الكولشيسين (0.1  $\mu\text{g}/\text{ml}$ ) أفضل النتائج لازالة المادة النووية مقارنة مع بقية مجاميع المزج. نقترح من هذه النتائج امكانية ازالة المادة النووية لبويبضات الماعز غير الناضجة والتي سستخدم كمستقبل (Recipient) لعمليات نقل الانوية (Nuclear transplantation) لاحقاً. وتعتبر طريقة المعاملة بالسكروز كفوءة لازالة المادة النووية وغير مؤذية لبويبضات غير الناضجة. نوصي باجراء دراسات جزيئية وكيموحيوية لايضاح الألية التي يؤثر فيها السكروز على المادة الوراثية وبالتالي ازالتها.

## INTRODUCTION

Cloning mammals by consecutive enucleation and nuclear transplantation began more than twenty years ago, yet the basic biology underlying this process remains unclear (1). Cloning involves the transfer of a nucleus from a multicellular embryo, fetal, or adult cell line into an enucleated metaphase II (M II) oocyte (2). Investigators reported that the rates of enucleation in rabbit varied from 60 % (3) to 70 % (4). Relatively, rates of enucleation are high (60 %, 74 %, and 68 %) in each of the species cattle, pigs and sheep; respectively (5-7).

The success rate of cloning is so low? due to variation of nuclear origin, variation of culture media conditions, factors that not fully understood (8), selection of recipient oocyte, failure in nuclear reprogramming (9), only a

few percent of any cell population are 'cloning competent' or simply because of technical problems. It is likely that many technical factors such as cell cycle, oocyte activation and chemical agents affect development of cloned embryos (1). However, cloning by nuclear transplantation has been developed in several species involving goat (10). The goat is a convenient domestic species for current biological investigation and application because it has diversified products of commercial value and relatively short gestation period (11).

Goat selection and reproduction have resulted from using conventional methods of natural mating and artificial insemination. Genetic improvements resulting from these are usually slow. Innovative developments in biotechnology rapidly propagate superior genes, offering hope for modeling and designing animals to fit market and environmental requirements (11). Although maturation/meiosis/mitosis - promoting factor (MPF) activity during oocyte maturation is maximal at both metaphase I (M I) and metaphase II (M II) oocytes (12). It was believed that the M I oocytes may be more suitable than M II oocytes as cytoplasm recipients, and the use of M I oocytes ensures donor nucleus exposure to high levels of MPF activity for a longer time (9). Miyoshi *et al.* (13) mentioned that the M I oocytes may reprogram somatic cells nuclei as well. There are no reports has been tested in goat. Therefore, this research was designed to investigate an efficient method for enucleation of immature goat oocytes by using different concentrations of sucrose either alone or in combination with colchicine and/or Strontium chloride.

## MATERIALS and METHODS

### 1. Collection of ovaries and immature oocytes

Ovaries were collected from goats with different stages of estrous cycle slaughtered in local abattoir. Collected ovaries were located in special container that contains phosphate buffer saline (PBS) enriched with  $1 \times 10^5$  IU penicillin and 100 µg/L streptomycin, and transported to the laboratory within no more than 1.5 hour under temperature of 30 °C. Within laboratory, the ovaries were washed twice by TCM-199, then, large follicles were selected for aspiration of immature oocytes by using G-21 needle connected with 5 ml syringe containing 0.5 ml of PBS (14). After microscopical examination of immature oocytes, only very good

**Enucleation of Immature Goat Oocytes Pretreated with Sucrose**  
**Muhammad Baqir M.R. Fakhridin, Mohammed R. Abdul- Majeed, Ayad M. A.**  
**Fadhil, Mohammad A. Ibrahim, Mahmmud. H. Hammash**

oocytes were taken and washed with TCM-199 and prepared for enucleation (15).

**2. Preparation of chemicals for enucleation**

- a- Sucrose (hypertonic solution); final concentrations (0, 3, 6 and 9 %; w/v) of pure sucrose were prepared within PBS, then, filtration was achieved by using millipore filter (0.22  $\mu$ m; Acrodisc-DLL, Gelman Sciences).
- b- Colchicine: a tablet of colchicine (0.5 mg colchicine; Colmediten; Kahira Pharma. & Chem. IND. Co., Cairo, Egypt) was dissolved in 10 ml of PBS as stock solution and stored at 6-8 °C until later use. A final concentration (0.1  $\mu$ g/ml) of colchicine was prepared and filtered by using millipore filter (0.22  $\mu$ m; Acrodisc-DLL, Gelman Sciences).
- c- Strontium chloride ( $\text{SrCl}_2$ ): 2.666 gm of Strontium chloride ( $\text{SrCl}_2 \cdot 6\text{H}_2\text{O}$ , Sigma) was dissolved in 10 ml of distilled water to prepare stock solution of 1 M Strontium chloride. A final molarity 10  $\mu\text{M}/\text{ml}$  was prepared and filtered by using millipore filter (0.22  $\mu$ m; Acrodisc-DLL, Gelman Sciences).

**3. Experimental design**

According to the type of chemical treatments, 1034 immature oocytes divided into four major groups as follows:

- Group I: 348 immature oocytes treated with various concentrations (0, 3, 6 and 9 % w/v) of sucrose.
- Group II: 216 immature oocytes treated with various concentrations (0, 3, 6 and 9 % w/v) of sucrose supplemented with 10  $\mu\text{M}/\text{ml}$  of  $\text{SrCl}_2$ .
- Group III: 213 immature oocytes treated with various concentrations (0, 3, 6 and 9 % w/v) of sucrose supplemented with 0.1  $\mu\text{g}/\text{ml}$  of colchicine.
- Group IV: 257 immature oocytes treated with various concentrations (0, 3, 6 and 9 % w/v) of sucrose supplemented with a mixture of 10  $\mu\text{M}/\text{ml}$  of  $\text{SrCl}_2$  and 0.1  $\mu\text{g}/\text{ml}$  of colchicine (1:1 v:v).

**4. Oocyte fixation and staining for examination of enucleation**

Groups of denuded oocytes (10-12) were placed on each slide, mounted with a cover slide, fixed with methanol-glacial acetic acid (3:1; Merck) overnight, then, stained with 1% orcein (Sigma) in 40% acetic acid. The stage of nuclear maturation was assessed under high magnification power (400X) of phase contrast microscopy and scored as germinal vesicle (GV) stage, or germinal vesicle breakdown (GVBD) or immature (metaphase I) stage with the chromatin at the diplotene or diakinesis stage (16).

### 5. Statistical analysis

Means and standard error of mean (SEM) were determined from crude data of all groups of immature oocytes by using standard statistical methods. Then, analysis of variance (ANOVA) test applied to observe any statistical differences among the means of all groups (17).

## RESULTS AND DISCUSSION

In the previous two studies, we achieved a safe and efficient visualization and enucleation method by using sucrose for mature oocytes of mice (18) and goat (19). In addition, Wang *et al.* (20) and Liu *et al.* (21) reported that the use of sucrose for visualization and enucleation is non-toxic and non-damaging for mature (metaphase II; M II) oocytes of mice and bovine. Some investigators reported that the immature (metaphase I; M I) oocytes may be more suitable than the M II oocytes as cytoplasm recipients, and the use of M I oocytes ensures donor nucleus exposure to high levels of maturation/meiosis/mitosis - promoting factor (MPF) activity for a longer time (9). Although, Campbell *et al.* (12) reported that the MPF activity during oocyte maturation is maximal at both M I and M II oocytes.

In the present study, we studied enucleation of immature goat oocytes by using different sucrose concentrations as a safe material and as mentioned above. After 18 hour of incubation of immature oocytes, best results for enucleation (61.61 %), in this study, were obtained when 6 % sucrose is used as compared to all groups of oocytes (Table 1). This result was considered important because no reports were obtained referred to enucleation of immature goat oocytes as to our knowledge. In this study, enucleation was achieved with high efficiency and without harmful effects on oocytes. In contrast to the other methods, oocytes are generally enucleated blindly by aspirating the first polar body and the adjacent cytoplasm, presumably containing nuclear material (22). However, only, 10 % of nuclei are beneath first polar body (23). Saito *et al.* (24) reported that the use of sucrose could increase the concentration of cytoplasmic protein, which induced a slight permeation to the cell, and shrinkage of the cell. Consequently, the components in the spindle are different from the components in the cytoplasm (25).

In addition to different concentrations of sucrose, we used 0.1 $\mu$ g/ml of colchicine and 10  $\mu$ M/ml of Strontium chloride ( $SrCl_2$ ). It is known that the

## **Enucleation of Immature Goat Oocytes Pretreated with Sucrose**

**Muhammad Baqir M.R. Fakhrildin, Mohammed R. Abdul- Majeed, Ayad M. A. Fadhil, Mohammad A. Ibrahim, Mahmmod. H. Hammash**

colchicine is a suppressor for microtubules polymerization (26), while  $\text{SrCl}_2$  is activator for oocyte through increases intracellular free calcium (27). Pre-activation of enucleated oocyte to receive and reprogramming the donor nucleus is important step in the cloning of mammalian species (28,29). However, elevation of free calcium ( $\text{Ca}^{2+}$ ) caused a reduction in microtubules formation and absence of spindle (30).

Good results were achieved for enucleation of immature oocytes by using combination of 6 % sucrose and 0.1 $\mu\text{g}/\text{ml}$  of colchicine when compared to other groups of combinations (Table 3). However, combination of 3 % sucrose and 0.1 $\mu\text{g}/\text{ml}$  of colchicine has percentage of enucleation better than 3 % sucrose only (10.53 vs. 7.5; respectively) (Figure 1). It is known that the colchicine is an inhibitor for microtubules formation and destroy the mitotic spindle (31, 32). Therefore, in the present study, colchicine has prevented the formation of meiotic spindle and facilitates the localization and enucleation of nuclear material in cooperation with sucrose. However, the treatment with 6% sucrose only has superior effect for enucleation of goat oocytes than the combination of 6% sucrose and 0.1 $\mu\text{g}/\text{ml}$  of colchicine (Figure 1). Brown and Bertke (33) reported that the colchicine with relative low doses has non-cytotoxic effects on the oocyte. Therefore, in this study, the period of colchicine treatment for immature oocytes was continued for long time or perhaps the immature oocytes are high sensitive to colchicine.

Addition of 10  $\mu\text{M}/\text{ml}$  of  $\text{SrCl}_2$  to various percentages (0, 3, 6 and 9) of sucrose has negative effects on enucleation of immature oocytes (Tables 1 and 2). However, combination of 10  $\mu\text{M}/\text{ml}$  of  $\text{SrCl}_2$  with 3 % and 6 % sucrose have lower percentages of enucleation (5.08 and 10.71; respectively) as compared with same percentages of sucrose only (Figure 1). Meanwhile, table (4) shows the effect of different percentages (0, 3, 6 and 9) of sucrose combined with a mixture of 10  $\mu\text{M}/\text{ml}$  of  $\text{SrCl}_2$  and 0.1 $\mu\text{g}/\text{ml}$  of colchicine on percentages of enucleation. It is obvious that these combinations have lower percentages for enucleation of immature oocytes as compared to the same percentages of sucrose alone (Figure 1). It is clear that the addition of 10  $\mu\text{M}/\text{ml}$  of  $\text{SrCl}_2$  negatively affect the percentage of enucleation when compared to treatment by 6% sucrose alone. Many reason(s) may be caused this reduction involving the non appropriate concentration of  $\text{SrCl}_2$  or the longer period for oocyte treatment with  $\text{SrCl}_2$  or the high sensitivity of immature oocytes to  $\text{SrCl}_2$  treatment. Furthermore, the addition of  $\text{SrCl}_2$  to colchicine caused a reduction in the percentage of enucleation as compared to combination of 6% sucrose and 0.1 $\mu\text{g}/\text{ml}$  of colchicine (Table 3).

In conclusion, we suggest that the possibility for enucleation of immature goat oocytes were used as a recipient for nuclear transplantation later, and sucrose treatment was considered an efficient enucleation method and non-harmful for immature oocytes. Further molecular biology and Biochemical studies are recommended to identify the mechanism by which sucrose affect the genetic material and achieved enucleation.

**Table 1: The effect of different concentrations of sucrose on the percentage of enucleation of immature goat oocytes**

Treatment groups	Number of immature oocytes	Number of enucleated immature oocytes	Percentages of enucleation for immature oocytes
Control	85	0	0
3 % Sucrose	80	6	7.5 <sup>#</sup>
6 % Sucrose	99	61	61.61 <sup>*</sup>
9 % Sucrose	84	3	3.57

<sup>#</sup> : Significantly ( $P<0.01$ ) increased as compared to 9% sucrose and the control groups.

<sup>\*</sup> : Significantly ( $P<0.01$ ) increased as compared to all treatment and control groups.

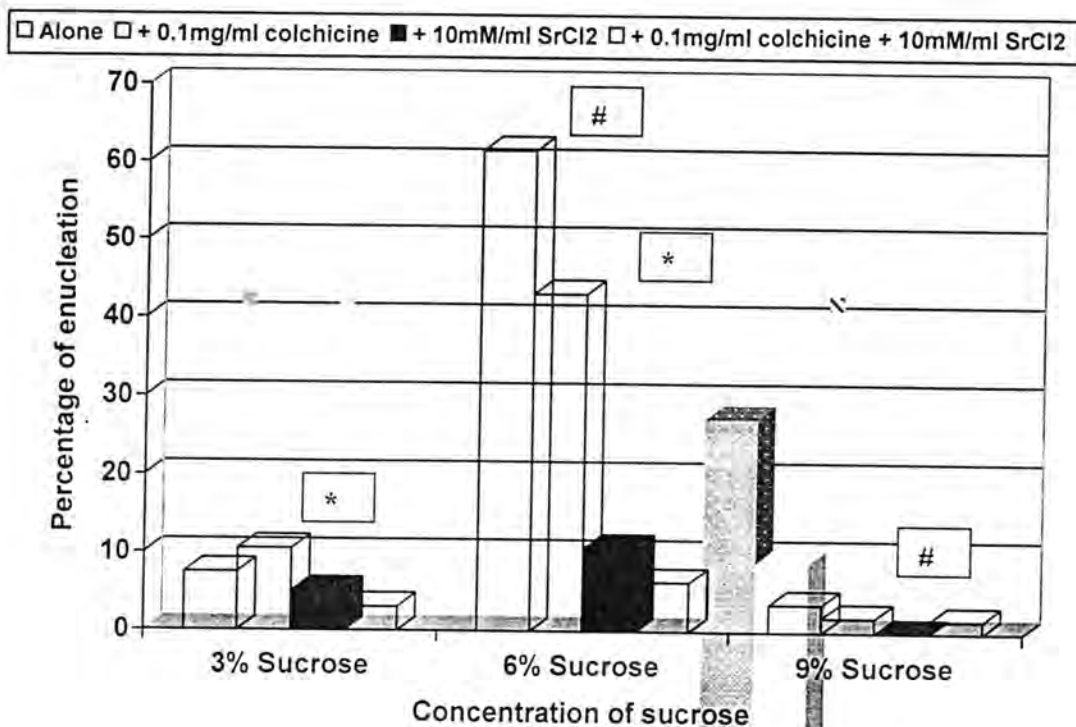
**Enucleation of Immature Goat Oocytes Pretreated with Sucrose**  
**Muhammad Baqir M.R. Fakhrildin, Mohammed R. Abdul- Majeed, Ayad M. A.**  
**Fadhil, Mohammad A. Ibrahim, Mahmod. H. Hammash**

**Table 2: The effect of different concentrations of sucrose supplemented with 0.1  $\mu\text{g}/\text{ml}$  colchicine on the percentage of enucleation of immature goat oocytes**

Treatment groups	Number of immature oocytes	Number of enucleated immature oocytes	Percentages of enucleation for immature oocytes
Control (0.1 $\mu\text{g}/\text{ml}$ colchicines)	52	0	0
3 % Sucrose + 0.1 $\mu\text{g}/\text{ml}$ colchicine	57	6	10.53 <sup>#</sup>
6 % Sucrose + 0.1 $\mu\text{g}/\text{ml}$ colchicine	51	22	43.14 <sup>*</sup>
9 % Sucrose + 0.1 $\mu\text{g}/\text{ml}$ colchicine	53	1	1.89

<sup>#</sup> : Significantly ( $P<0.01$ ) increased as compared to 9% sucrose and the control groups.

<sup>\*</sup> : Significantly ( $P<0.01$ ) increased as compared to all treatment and control groups.



**Figure 1:** The effect of different percentages of sucrose either alone or supplemented with 0.1  $\mu\text{g}/\text{ml}$  Colchicine or 10  $\mu\text{M}/\text{ml}$  strontium chloride ( $\text{SrCl}_2$ ) or both on percentages of enucleation of immature goat oocytes

- \* : Significantly ( $P<0.05$ ) increased as compared to groups of sucrose supplemented with 10  $\mu\text{M}/\text{ml}$   $\text{SrCl}_2$  and sucrose supplemented with a mixture of 0.1  $\mu\text{g}/\text{ml}$  cholchicine and 10  $\mu\text{M}/\text{ml}$   $\text{SrCl}_2$  within same sucrose concentration.
- # : Significantly ( $P<0.01$ ) increased as compared to all groups within same sucrose concentration.

**Table 3: The effect of different concentrations of sucrose supplemented with 10 µM/ml strontium chloride ( $\text{SrCl}_2$ ) on the percentage of enucleation of immature goat oocytes**

Treatment groups	Number of immature oocytes	Number of enucleated immature oocytes	Percentages of enucleation for immature oocytes
Control (10 µM/ml $\text{SrCl}_2$ )	49	0	0
3 % Sucrose + 10 µM/ml $\text{SrCl}_2$	59	3	5.08 <sup>#</sup>
6 % Sucrose + 10 µM/ml $\text{SrCl}_2$	56	6	10.71 <sup>*</sup>
9 % Sucrose + 10 µM/ml $\text{SrCl}_2$	52	0	0

<sup>#</sup> : Significantly ( $P<0.01$ ) increased as compared to 9% sucrose and the control groups.

<sup>\*</sup> : Significantly ( $P<0.01$ ) increased as compared to all treatment and control groups.

**Table 4: The effect of different concentrations of sucrose supplemented with a mixture (1:1;v:v) of 10  $\mu\text{M}/\text{ml}$  strontium chloride ( $\text{SrCl}_2$ ) and 0.1  $\mu\text{g}/\text{ml}$  colchicine on the percentage of enucleation of immature goat oocytes**

Treatment groups	Number of immature oocytes	Number of enucleated immature oocytes	Percentages of enucleation for immature oocytes
Control (0.1 $\mu\text{g}/\text{ml}$ colchicine and 10 $\mu\text{M}/\text{ml}$ $\text{SrCl}_2$ )	65	0	0
3 % Sucrose + 0.1 $\mu\text{g}/\text{ml}$ colchicine and 10 $\mu\text{M}/\text{ml}$ $\text{SrCl}_2$	65	2	3.08 <sup>#</sup>
6 % Sucrose + 0.1 $\mu\text{g}/\text{ml}$ colchicine and 10 $\mu\text{M}/\text{ml}$ $\text{SrCl}_2$	63	4	6.35 <sup>*</sup>
9 % Sucrose + 0.1 $\mu\text{g}/\text{ml}$ colchicine and 10 $\mu\text{M}/\text{ml}$ $\text{SrCl}_2$	64	1	1.56

<sup>#</sup> : Significantly ( $P<0.01$ ) increased as compared to 9% sucrose and the control groups.

<sup>\*</sup> : Significantly ( $P<0.01$ ) increased as compared to all treatment and control groups.

**Enucleation of Immature Goat Oocytes Pretreated with Sucrose  
Muhammad Baqir M.R. Fakhrildin, Mohammed R. Abdul- Majeed, Ayad M. A.  
Fadhil, Mohammad A. Ibrahim, Mahmmud. H. Hammash**

**REFERENCES**

1. Wakayama T. and Yanagimachi R. (2001). Effect of cytokinesis inhibitors, DMSO and the timing of oocyte activation on mouse cloning using cumulus cells nuclei. *Reprod.* 122: 49-60.
2. Mitalipov SM.; White KL.; Farrar VR.; Morrey J. and Reed WA. (1999). Development of nuclear transfer and parthenogenetic rabbit embryos activated with inositol 1,4,5-triphosphate. *Biol. Reprod.* 60: 821-827.
3. Collas P. and Robl JM. (1990). Factors affecting efficiency of nuclear transplantation in the rabbit embryo. *Biol. Reprod.* 43: 877-884.
4. Yang X.; Jiang S.; Kovacs A. and Foote RH. (1992). Nuclear totipotency of cultured rabbit morulae to support full-term development following nuclear transfer. *Biol. Reprod.* 47: 636-643.
5. Prather RS.; Barnes FL.; Sims MM.; Robl JM.; Eyestone WH. and First NL. (1987). Nuclear transplantation in the bovine embryo: assessment of donor nuclei and recipient oocyte. *Biol. Reprod.* 37: 859-866.
6. Prather RS.; Sims MM. and First NL. (1989). Nuclear transplantation in early pig embryos. *Biol. Reprod.* 41: 414-418.
7. Smith LC. and Wilmut I. (1989). Influence of nuclear and cytoplasmic activity on the development *in vivo* of sheep embryos after nuclear transplantation. *Biol. Reprod.* 40: 1027-1035.
8. Dinnyes A.; Dai Y.; Barber M.; Liu L.; Xu J.; Zhou P. and Yang X. (2001). Development of cloned embryos from adult rabbit fibroblasts: Effect of activation treatment and donor cell preparation. *Biol. Reprod.* 64: 257-263.
9. Miyoshi K.; Rzucidlo SJ.; Pratt SL. and Stice SL. (2002). Improvements in cloning efficiencies may be possible by increasing uniformity in recipient oocytes and donor cells. *Biol. Reprod.* 1-31.
10. Baguisi A.; Behbood E.; Melican DT.; Pollock JS.; Destrempe MM.; Cammuso C.; Williams JL.; Nims SD.; Porter CA.; Midura P.; Palacios M.; Ayres SL.; Denniston RS.; Hayes ML.; Ziomek CA.; Meade HM.; Godke RA.; Gavin WG.; Overstrom EW. and Echelard Y. (1999). Production of goat by somatic cell nuclear transfer. *Nature Biotech.* 17: 456-461.
11. Amoah EA. and Gelaye S. (2000). Biotechnological advances in goat reproduction. Georgia Goat Research and Extention Center, Fort Valley State University: 1-17.
12. Campbell KHS.; Loi P.; Otaegui P. and Wilmut I. (1996). Cell cycle co-ordination in embryo cloning by nuclear transfer. *Rev. Reprod.* 1: 40-45.
13. Miyoshi K.; Rzucidlo SJ.; Gibbons JR.; Arat S. and Stice SL. (2001). Development of porcine embryos reconstituted with somatic cells and

- enucleated metaphase I and II oocytes matured in a protein-free medium. BMC Deve. Biol. 1: 12.
14. Al-Ahmed HI. (2002). Materials and Methods. In: Uses of hormonal regimes for estrous synchronization, superovulation, ova and embryos collection and *in vitro* fertilization in local does. M. Sc. Thesis, College of Medicine, University of Baghdad.
15. Keskintepe L.; Simplicio AA. and Brackett BG. (1998). Caprine blastocyst development after *in vitro* fertilization with spermatozoa frozen in different extenders. Theriogenology. 49: 1265-1274.
16. Avery B.; Hay-Schmidt A.; Hyttel P. and Greve T. (1998). Embryo development, oocyte morphology and kinetics of meiotic maturation in bovine oocytes exposed to 6-dimethylaminopurine prior to *in vitro* maturation. Mol. Reprod. Develop. 50: 334-344.
17. Ott L. (1988). Multiple comparisons. In: An introduction to statistical methods and data analysis. Ott L. (ed.). PWS-Kent Publishing Company. Massachusetts, USA. Pp: 437-466.
18. Fakhrildin M-B. M-R.; Abdul Majeed MR.; Fadhil AMA.; Ibrahim MA. and Hammash MH. (2002). The effect of sucrose treatment on genetic material visualization of mature oocytes for enucleation in mice. In: First Annual Scientific Meeting of Baghdad Research Center for Biotechnology. January-2003. Ibrahim MA.; Fadhil AMA.; Abdul Majeed MR.; and Fakhrildin M-B. M-R. (eds.). Pp: 52-62.
19. Ibrahim MA.; Fadhil AMA.; Fakhrildin M-B. M-R.; Abdul Majeed MR. and Hammash MH. (2002). The effect of sucrose on enucleation of mature oocytes in local goats. In: First Annual Scientific Meeting of Baghdad Research Center for Biotechnology. January-2003. Ibrahim MA.; Fadhil AMA.; Abdul Majeed MR.; and Fakhrildin M-B. M-R. (eds.). Pp: 52-62.
20. Wang M-K.; Liu J-L.; Li G-P.; Lian L. and Chen D-Y. (2001). Sucrose pretreatment for enucleation: An efficient and non-damage method for removing the spindle of the mouse M II oocyte. Mol. Reprod. Deve. 58: 432-436.
21. Liu J-L.; Sung L-Y.; Barber M. and Yang X. (2002). Hypertonic medium treatment for localization of nuclear material in bovine metaphase II oocytes. Biol. Reprod. 66: 1342-1349.
22. Mohamed Nour MS. and Takahashi Y. (1999). Preparation of young pre-activated oocytes with high enucleation efficiency for bovine nuclear transfer. Theriogenology. 51: 661-666.

**Enucleation of Immature Goat Oocytes Pretreated with Sucrose  
Muhammad Baqir M.R. Fakhrildin, Mohammed R. Abdul- Majeed, Ayad M. A.  
Fadhil, Mohammad A. Ibrahim, Mahmmud. H. Hammash**

23. Kono T.; Kwon OY. and Nakahara T. (1991). Development of enucleated mouse oocytes reconstituted with embryonic nuclei. *J. Reprod Fert.* 93: 165-172.
24. Saito N.; Imai K. and Tomizawa M. (1994). Effect of sugars-addition on the survival of vitrified bovine blastocysts produced *in vitro*. *Theriogenology*. 41: 1053-1060.
25. Longo JF. (1997). Gamate fusion and sperm incorporation. In: Fertilization. Longo JF. (ed.). 2<sup>nd</sup> Edition. Chapman and Hall, London, UK. Pp: 49-65.
26. Koury ST.; Koury MJ. and Bondurant MC. (1989). Cytoskeletal distribution and function during the maturation and enucleation of mammalian erythroblasts. *J. Cell Biol.* 109: 3005-3013.
27. Susko-Parrish JL.; Leibfried-Rutledge ML.; Northey DL.; Schutzkus V. and First NL. (1994). Inhibition of protein kinases after an induced calcium transient causes transition of bovine oocytes to embryonic cycles without meiotic completion. *Deve. Biol.* 166: 729-739.
28. Campbell KHS.; Ritchie Wa. and Wilmut I. (1993). Nuclear-cytoplasmic interactions during the first cell cycle of nuclear transfer reconstructed bovine embryos: implications for deoxyribonucleic acid replication and development. *Biol. Reprod.* 49: 933-942.
29. Liu L.; Ju JC. and Yang X. (1998). Differential inactivation of maturation-promoting factor and mitogen-activated protein kinase following parthenogenetic activation of bovine oocytes. *Biol. Reprod.* 59: 537-545.
30. Novikoff AB. and Holtzman E. (1976). Cell organelles. In: Cells and Organelles. Novikoff AB. and Holtzman E. (eds.). 2<sup>nd</sup> edition. Holt, Rinehart and Winston. New York, USA. P:170.
31. Martinez MH. (2000). Risk factors associated to the Down syndrome occurrence. *Cubian J. Hum. Gene.* 2: 1-10.
32. Tong C.; Fan H-Y.; Lian L.; Li S-W.; Chen D-Y.; Schatten H. and Sun Q-Y. (2002). Polo-like kinase-1: Is a pivotal regulator of microtubule assembly during mouse oocyte meiotic maturation, fertilization and early embryonic mitosis. *Biol. Reprod.* 67: 546-554.
33. Brown WV. and Bertke EM. (1974). Microtubules, vacuoles and crystals. In: Textbook of Cytology. Brown WV. and Bertke EM. (eds.). 2<sup>nd</sup> edition. The C. V. Mosby Company, Saint Louis, USA. P: 287.

## Antibiotics resistance and antimicrobial activity of ampiictam, augmentin and tazocin against *Staphylococci* species isolated from wound infections

Sahira N.Muslim

Dept. of Biology, College of Science, AL- Mustansiriya University

### ABSTRACT

Samples from two local hospitals in Baghdad were collected. The obtained isolates of *Staphylococci* (30 out of 75 samples) were comprasied *Staphylococcus aureus* 21(70%) isolates, *Staphylococcus epidermidis* 8(27%) isolates and *Staphylococcus chromogenes* 1(3%) isolates. These isolates were tested for sensitivity against 12 different antimicrobial agents and  $\beta$ -lactamase production by these local isolates were detected. From the results obtained, *Staphylococci* species were found to be resistant to many antibiotics (multi-antibiotics resistance) such as Ceftazidime, Methicillin, Oxacillin, Amoxicillin and Lincomycin. Besides that these species showed moderate resistance to (Cefotaxime and Clindamycin) used in this study. Two isolates of *Staphylococcus aureus* were resistant to Vancomycin which is considered a drug of choice in *Staphylococci* infections, but none of *Staphylococcus epidermidis* isolates was resistant to this antibiotic. The isolates that showed resistance to ampicillin, amoxicillin and piperacillin were picked up and examined in presence of sulbactam, clavulanate and tazobactam on respectively. The results revealed that ampicillin /sulbactam (ampictam) had better activity and greater degree of synergy against *Staphylococci* species (*Staphylococcus aureus*, *Staphylococcus epidermidis* and *Staphylococcus chromogenes*) in comparative to augmentin and tazocin. This result may suggest that this combination can be used in treatment of wound infection caused by this bacteria.

## الخلاصة

تعد بكتيريا المكورات العنقودية *Staphylococcus* من أكثر الممرضات الموجبة لصبغة كرام انتشاراً وانها المسبب الرئيسي لالتهابات الجروح. تم جمع ٧٥ عينة من مستشفى الامام علي ومركز الجراحة التجميلية في بغداد وكان هناك ٣٠ عزلة تعود إلى الجنس *Staphylococcus*. اخضعت جميع العزلات لاختبار الحساسية إلى ١٢ مضاد حيوي كذلك تم تحديد العزلات المنتجة لأنزيم  $\beta$ -lactamase . وجد من النتائج بأن بعض الانواع التابعة لجنس المكورات العنقودية *Staphylococcus* اظهرت مقاومة متعددة للعديد من المضادات مثلسيفاتازديم، ميتيسلين ، اوكساسلين، اموكسيسلين ولنكومايسين اضافة الى ذلك فان بعض من هذه الانواع اظهرت مقاومة معتدلة لمضادات سيفوتاكزيم، كلندمايسين، ومن ناحية اخرى وجد بأن عزلتين فقط من بكتيريا *Staphylococcus aureus* مقاومة لمضاد فانكومايسين الذي يعتبر العلاج الامثل لاصابات بكتيريا بينما كانت جميع عزلات *Staphylococcus epidermidis* *Staphylococcus aureus* حساسة لذلك المضاد.

تم تحديد العزلات المقاومة لمضادات AMP، AMX، PIP واختبرت بوجود المثبتات tazobactam على التوالى، والنتائج التي تم الحصول عليها اظهرت بأن ampietam يمتلك افضل فعالية واعلى درجة من التعاون ضد انواع الجنس *Staphylococcus* بالمقارنة مع Augmentin و tazocin، لذلك فانه بالامكان استعمال ampietam في علاج التهابات الجروح المتسيبة عن تلك البكتيريا.

## INTRODUCTION

*Staphylococci* were found to be the commonest bacteria among gram positive pathogens isolated from infected wound. *Staphylococci* are widely recognized as an important pathogens. They are considered as one of the main hospital contaminant and ranked first among gram positive pathogens (1,2).

In the resent years, there appeared to have occurred a rising rate of *Staphylococci* infections in hospitals, especially among patients with wound infections. One of the most reasons for this rising is their possession of a remarkable resistance to several antibiotics (3).

*Staphylococcus aureus* is the most virulent species among *Staphylococci*

and are responsible for the various skin wound, and deep tissue infections. The invasive nature of this organism always presents a threat for deeper tissue invasion, bacteremia, and spread to one or more internal tissue. In these cases the organisms may remain relatively localized, but production of toxins causes systemic effects (4). Besides *Staphylococcus epidermidis* is considered as important opportunistic pathogen, since it is a leading cause of bacteremia native valve endocarditis (5).

*Staphylococci* have a record of developing resistance quickly and successfully to antibiotics. This resistance is a consequence of the acquisition transfer of antibiotic-resistance plasmids and the position of intrinsic mechanisms. Resistance to  $\beta$ -lactam antibiotics caused a serious and the most troubling problem because the majority of infections, caused by *Staphylococci*, can be treated with this group of antibiotics. Tazobactam, clavulanate and sulbactam has little or no antibacterial activity, but in combination with piperacillin, amoxicillin and ampicillin on consecutive the potency of these inhibitors increased (6).

## MATERIALS AND METHODS

### Samples collection:

Seventy-five swabs from wound infections were collected from "The center for plastic surgery, AL-imam Ali hospital" in Baghdad city.

All samples were kept under sterile conditions by using dry sterilized cotton swabs and under medical supervision.

### Isolation and characterization of *Staphylococci* species:

Swabs were plated within 1-2h. after collection on MacConky and blood agar plates. Plates were incubated at 37°C for 18-24 h.(7,8). Several biochemical tests were done to differentiate between the three species of *Staphylococci* : *Staphylococcus aureus* , *Staphylococcus epidermidis* and *Staphylococcus chromogenes*. These include the following tests : catalase, oxidase, co-agulase and DNase tests (9). Besides API STAPH identification system for the genera *Staphylococci* has used as identification system to differentiate between these types.

### Determination of the level of antimicrobial activity:

a-The antibiogram test using Kirby-Bauer method was carried out using Mueller-Hinton agar plates (10). The antibiotic discs used were : Amoxicillin (AMX) 25  $\mu$ g ; Ceftazidime (CA) 30  $\mu$ g; Erythromycin (E) 15  $\mu$ g; Ciprofloxacin (CF) 30  $\mu$ g; Vancomycin (VA) 30  $\mu$ g; Clindamycin (CM) 2

µg; Cefotaxime (CE) 30 µg; Methicillin (ME) 5 µg, Oxacillin (OX) 30 µg; Ceftriaxone(CP) 30 µg; Lincomycin (RO) 2 µg and Norfloxacin (NX) 10 µg. b-Minimum inhibitory concentrations were determined by agar dilution method using a serial two fold dilutions of ampicillin, amoxicillin and piperacillin alone in concentrations ranging from 0.5 to 1024 µg/ml. Sulbactam commercially prepared along with ampicillin at ratio (4:1), clavulanate with amoxicillin at ratio (4:1), and tozobactam with piperacillin at ratio (1: 8) were also used following the method described by (11).The results were compared with standard strain(ATCC).

**β-lactamase production:**

The rapid iodometric method was used to determine the production of β-lactamase enzymes by the local clinical isolates as described by (12). The result was considered positive when the blue colour turn to white within few min.after the addition of indicator . The results were compared with standard strain(ATCC).

## **RESULTS AND DISCUSSION**

**Isolation and Identification of *Staphylococci*.** The results revealed that the commonest causative agent found among gram-positive bacteria out of all wound samples was *Staphylococci*. A 30(40%) isolates of *Staphylococci* were obtained out of 75 clinical specimens of wound infections. These comprasied *Staphylococcus aureus* 21(70%) isolates, *Staphylococcus epidermidis* 8(27%) isolates and *Staphylococcus chromogenes* 1(3%) isolates. A similar result was obtained by Agrawal et al. (13).

**Sensitivity test.** Twelve different antibiotic discs were used to perform this test (Table-1).

**Table (1): percentage of Resistant Isolates of *Staphylococci* to antibiotics**

Antibiotic*	(% of resistant Isolates)		
	<i>Staphylococcus aureus</i>	<i>Staphylococcus epidermidis</i>	<i>Staphylococcus chromogenes</i>
CA,ME,OX	100	100	100
AMX	95	50	0
E	57	63	100
CF	48	0	0
CM	24	12	100
CP	48	75	0
VA	9	0	0
CE	33	18	0
NX	33	0	0
RO	86	75	100

\*See materials and methods for the names of antimicrobial agents.

The results showed that most of *Staphylococcus aureus* isolates were found to be vancomycin (VA) susceptible and showed resistance( 9%). This may be due to unavailability of vancomycin as a drug of choice in Iraq, probably to its toxicity (14). A similar conclusion was obtained by Gelmi et al. (15), according to a study performed in Italy. This antibiotic is the main stay of therapy for infections caused by methicillin-resistant *Staphylococcus aureus* (16).

The susceptibility of all the strains of *Staphylococcus aureus* against the other types of antibiotics were found to be less than that of vancomycin. Strains with low antibiotics susceptibility (resistant) : with the following antibiotics order: AMX (95%), E(57%), and RO (86%). While there is moderate resistance to CF and CP (48%), CE and NX (33%) and CM(24%). In the recent years, penicillinase-producing strains became increasingly common, first in hospitals and subsequently in the general population and among animals (17). All isolates of *Staphylococcus aureus* showed multi-drag resistant toward CA, ME and OX (100%). *Staphylococci* often possess more than one mechanism of resistance to the same group of antibiotics and these may co-exist in the same strain(17).

All isolates of *Staphylococcus epidermidis* were found to be vancomycin,

**Antibiotics resistance and antimicrobial activity of ampiictam, augmentin and tazocin against *Staphylococci* species isolated from wound infections**

Sahira N.Muslim

norfloxacin and ciprofloxacin susceptible and they did not show any resistance. Hence the local strains of *Staphylococcus epidermidis* did not develop resistance for these antibiotics in comparative with *Staphylococcus aureus*(18).

Strains with high antibiotics susceptibility (sensitive): with the following antibiotics order : CM(12%) and CE(18%), while strains with low antibiotics susceptibility with the following antibiotics order CA,ME and OX (100%), AMX (50%) , E(63%), CP and RO (75%). Besides *Staphylococcus chromogenes* was found to be AMX, CF, CP, VA, CE and NX susceptible, but this isolate showed resistance to the rest of antibiotics. It is clear that the susceptibility of *Staphylococcus chromogenes* against these antibiotics were found higher than that of *Staphylococcus aureus* and *Staphylococcus epidermidis*.

**$\beta$ -lactamase production.** In this study, the ability of 30 local *Staphylococci* isolates to produce  $\beta$ -lactamase was determined. There were only 16(53%) out of 30 tested *Staphylococci* (Table-2) exhibited the ability to produce the enzyme.

**Table (2):  $\beta$ -lactamase production Capability of *Staphylococci* isolates.**

Strains	Total	Negative(-)	Positive(+)*
<i>Staphylococcus aureus</i>	21	11	10
<i>Staphylococcus epidermidis</i>	8	3	5
<i>Staphylococcus chromogenes</i>	1	0	1

\* (+) Refer to high production of enzyme ,leading to change in the pH of the indicator during the first 5min.

Many isolates that were previously expected to have a weak  $\beta$ -lactamase example, one isolate of *Staphylococci* was susceptible to most  $\beta$ -lactams and therefore, it was expected to be a weak producer of the enzyme, but according to this test it was a strong  $\beta$ -lactamase producer. While other isolate of *Staphylococci* was non-susceptible to all  $\beta$ -lactams tested, but exhibited no  $\beta$ -lactamase activity. Such resistance may be due to the existence of other intrinsic resistance mechanisms (19).

**MIC determination test.** The isolates that showed non-susceptibility to ampicillin, amoxicillin or piperacillin in MIC detection test were picked up and examined in the presence of clavulanate, sulbactam or tazobactam ( $\beta$ -lactamase inhibitors) on respectively.

Results revealed that all 30 isolates used in this study were resistant to

ampicillin ( $MIC = 16-1024 \mu\text{g/ml}$ ). Moreover, 24 out of 30 isolates were resistant to amoxicillin ( $MIC = 32-1024 \mu\text{g/ml}$ ), while 21 out of 30 isolates were highly resistant to piperacillin ( $MIC = 256-1024 \mu\text{g/ml}$ ) (Table-3). After applying ampictam, augmentin and tazocin, the ampicillin return its activity against 18 (60%) isolates ( $MIC = 2-16 \mu\text{g/ml}$ ), in addition to amoxicillin and piperacillin which reagin are activity against 3 (10%) isolates ( $MIC = 2-8 \mu\text{g/ml}$ ) and 6 (20%) isolates ( $MIC = 4-16 \mu\text{g/ml}$ ) respectively. These results came along with the results obtained by (20).

It was clear from our results that there were 12 (40%), 27 (90%) and 24 (80%) of ampicillin, amoxicillin and piperacillin resistant isolates on consecutive still maintain their MICs above the break point, even in the presence of clavulanate, sulbactam and tazobactam. This might be due to the production of class 1 amp C  $\beta$ -lactamase which is not inhibited by these inhibitors along with porin mutations (21). Future studies of our isolates may reveal one or both of these factors concerning the high resistance in these local isolates.

This study confirmed that the use of ampicillin /sulbactam (ampicatam) had better activity and greater degree of synergy against *Staphylococci species* (*Staphylococcus aureus*, *Staphylococcus epidermidis* and *Staphylococcus chromogenes*) in treatment of wound infections in comparative with augmentin and tazocin.

**Table(3): Comparative Susceptibility of Staphylococci isolatesmpicillin , Amoxicillin and piperacillin with Ampictam, Augmentin and Tazocin.**

Isolate no.	Amp.	AMC	AMX	Aug	pip	Toz	Isolate no.	Amp.	AMC	AMX	Aug	pip	Toz
	B.P.>16	>32	>32	>8	>128	>16		>16	>32	>32	>8	>128	>16
S.a1	>1024	16	512	64	>1024	16	S.a16	32	2	64	32	256	4
S.a2	128	4	256	4	>1024	8	S.a17	16	8	32	2	-	-
S.a3	256	16	64	16	256	8	S.a18	>1024	128	>1024	512	256	32
S.a4	>1024	512	>1024	512	>1024	64	S.a19	>1024	128	>1024	512	>1024	256
S.a5	>1024	512	>1024	512	>1024	512	S.a20	>1024	512	>1024	512	>1024	256
S.a6	>1024	16	>1024	64	>1024	512	S.a21	>1024	512	512	256	256	32
S.a7	>1024	128	>1024	256	512	256	S.e1	16	2	-	-	-	-
S.a8	>1024	128	>1024	512	512	32	S.e2	16	2	-	-	-	-
S.a9	>1024	256	>1024	512	512	32	S.e3	>1024	512	>1024	512	256	32
S.a10	>1024	8	256	8	>1024	8	S.e4	16	2	-	-	-	-
S.a11	>1024	16	256	64	>1024	128	S.e5	>1024	128	>1024	512	256	32
S.a12	>1024	512	>1024	512	256	128	S.e6	16	4	-	-	-	-
S.a13	>1024	512	>1024	512	256	64	S.e7	>1024	256	512	128	-	-
S.a14	16	2	-	-	-	-	S.e8	32	4	64	32	-	-
S.a15	16	4	-	-	-	-	S.e	16	2	512	32	256	8

Amp = Ampicillin alone ,

PiP = piperacillin alone ,

AMC = ampictam , AMX = Amoxicillin alone, Aug = Augmntin

Raz = Tazocin , \* - = The isolate is sensitive , B.P = Break point

## **REFERENCES**

1. Sebben, J. E. (1989). Sterile technique and the prevention of wound infection of office surgery-part II. *J. Dermatol. Surg. Oncol.* 15(1) : 38-48.
2. Lyon, B. R., and Skurray, R. (1987). Auto microbial resistance of *Staphylococcus aureus* : genetic basis. *Microbial. Rev.* 51(1): 88-134.
3. Archer, G. L. (2000). "Staphylococcal infection "in Cecil Text book of Medicine edited by Bennette J. C., Plum. F., ed. W. B. Saunders Co. Philadelphia.
4. Betty, A. F.; Danel, F. S.; and Alice, S. W. (1998). Diagnostic Microbiology, 10<sup>th</sup> ed. Mossy, P: 611.
5. Archer, G. L. (1996). " Staphylococcal infection " in Cecil Text book of Medicine, edited by Bennette J. C., Plum. F., ed. W. B. Saunders Co. Philadelphia.
6. Aussuim, S. M.; Posstle, A. G.; and Cunha, B. A. (1996). Antibacterial activity of tazocin (piperacillin/tazobactam) against 1296 isolates from tertiary care center. *Ann. Saud. Medic.* 16(4) : 377-380.
7. Cruickshank, R.; Duguid, J. P.; Marmion, B. P.; and Swain R. H. A., (1975). "Medical Microbiology", Vol. 2, 12<sup>th</sup> ed. Churchill Livingstone Pub., London.
8. Kloobs, W. E.; and Schleifer, K. H. (1975). "Isolation and characterization *Staphylococci* from human skin. 11. Description of four new species *Staphylococcus warneri*, *Staphylococcus capitis*, *Staphylococcus hominis* and *Staphylococcus simulans*. " *Int. J. Syst. Bact.*, 25 : 62-79.
9. Finegold, S. M.; and Baron, E. J. (1986). "Baily and Scotts Diagnostic Microbiology". 7th ed., C. V. Mosby Combyany. Saint-Louis.
10. Prescott, L.; Harley, J.; and Klein, A. (1990). Microbiology. 1<sup>st</sup> ed. W. C. Brown Publisher. P. 430.
11. Koneman,E.W.,Allen,S.D.,Jannda,W.M.andSchreckenberger,p.c.(1992). Color plate and Textbook of Diagnostic Microbiology Fourth Edition, j.B.Lippincott Company,Philadelphia .
12. Sykes, R. B. (1978). Methods for detecting  $\beta$ -lactamase pp. 64-69. In laboratory methods in antimicrobial chemotherapy by David, S.; Ian, P.; David, W.; and Richard, W. 1<sup>st</sup> ed. Churchill livingstone Edinburgh.
13. Agrawal,S.K;Khan,A.M.; Srivastava,A.B.; and Mehrotra ,M. (1980). *Staphhylococcal* wound infection in a surgical ward at Lucknow. Indian. J.Med.Res.72:807-813.
14. Trzcinski, K.; Zareba, T.; and Tyski, S. (1993)"Comparison of simple methods of methicillin resistance detection and evolution of methicillin resistance *Staphylococcus aureus* strains".*Acta. Microb. Pol.*, 42: 23-8.

15. Gelmi, M.; Foresti, I.; and Ravizzola, G. (1987). "Antibiotic resistance & plasmids in *Staphylococcus aureus* from Italian hospitals". *J. Med. Microbiol.*, 23: 111-118.
16. Pittle, D.; and Waldvogel, F. A. (1997). "To control or not to control colonization with MRSA ... that's the question". *Q. J. Med.*, 90 : 239-241.
17. North, E. A.; and Christie, R. (1996). "Acquired resistance of Staphylococci to the action of Penicillin". *Med. J. Aust.*, 1: 176-176.
18. Shalit,I.;Barger,S.A.;Gorea,Aand Frimermen , H .(1989) Widespread quinolone resistance among mithi cillin-resistant *Staphylococcus aureus* isolates in a general hospital. *Antimicrob. Agents . chemother.*33(4):593-594.
19. Sabath, L. D. (1982). Mechanism of resistance to -lactam Antibiotics in Strains of *Staphylococcus aureus*. *Ann. Intern. Med.* 79: 339-344.
20. Elhág, K. M.; Reed, M.; and Al-Lawety, H. M. (1999). The prevalence of antibiotic Resistance among gram positive bacteria from intensive Care units in Oman. *Saudi. Medical Journal.* 20 : 373-377.
21. Livermore D. M. (1995).  $\beta$ -lactamase in laboratory and Clinical resistance. *Clin. Microbiol. Review.* 8 (4) : 557-584.

## Identification and Purification of Gibberellins (GAs) from *Fusarium moniliforme* locally Isolate

Muntaha A.M. Al-Safar

Health Comm., Dept. Medical Techn. Institute

### ABSTRACT

Gibberellins (GAs) produced by *Fusarium moniliforme* using solid state fermentation were extracted by different solvents (10% ethanol; 10% methanol; acetone and 10% ethyl acetate). The results showed that 10% ethanol gave 95.85; 17.19 and 16.09 mg/Kg wheat bran growth medium for GAs, GA3 and GA4/7 respectively. Gibberellins and gibberellic acid were purified using Sephadex LH-60 gel-filtration chromatography and identified using HPLC with Finepak SIL C18 T-5 column.

### الخلاصة

تم استخلاص الجبريلينات (GAs) المنتجة من قبล الفطر *Fusarium moniliforme* بواسطة نظام تخمرات الحالة الصلبة باستخدام عدة محليل (١٠٪ إيثانول و ١٠٪ ميثانول و خليط من إستيفون مع ١٠٪ خلات الإسيتيل). أوضحت النتائج بان مطهول الاستخلاص ١٠٪ إيثانول اعطى ٩٥,٨٥ و ١٧,١٩ و ١٦,٠٩ مليغراي / كغم نخالة الحنطة (WB) من الجبريلينات GAs و GA3 و GA4/7 على التوالي . تمت تتفيقة حامض الجبريليك بطريقة كروموجرافيا الترشيح الهلامي وباستخدام عمود سيفادكس LH-60 وتم تشخيص انواع الجبريلينات باستخدام عمود Fine Pak SIL C18-T-5 في جهاز كروموجرافيا السائل العالى الأداء .

## INTRODUCTION

Since the isolation of gibberellic acid (GAs) (1), about 38 compounds have been isolated from plants and shown to have both gibberellins -like activity and gibberellins -like structure. More than half of these compounds have been identified during the last eight years (2).

Gibberellins -like substances have been also found in bacteria, fungi, algae and many higher plants. A total of 76 gibberellins has been isolated and structurally elucidated of which 66 were isolated from plants and fungal sources (3,4,5), but chemically characterized free gibberellins have been extracted only from the fungus *Gibberella fujikuroi* (6).

*G. fujikuroi* has been shown to contain bound gibberellins in addition to free gibberellins (7). However, some workers, used ethyl acetate or n-butanol to extract gibberellins and these GAs usually by column chromatography (8); and dilute NaOH solution (9) are commonly used as solvents for GA3. Although 0.1M NaOH was very efficient in extracting GA3 from the biomass of solid state cultures (10, 11).

Different workers have used many chromatographic systems, and combinations of solvent systems, successfully (12,13). Yobuta *et al.*, (14) used preparative paper chromatography in the isolation of pure like glycosides, developing with isopropanol: 7N ammonium hydroxide: water (8:1:1). In general, paper chromatography has not been greatly used.

Ikekawa *et al.*, (7) has introduced gas chromatography as a method of separating and identifying gibberellins.

A rapid and simple one step enzyme immunoassay by using barley seeds was developed for the quantifying of GA3 (14).

The aim of the present work is the extraction, purification and characterization of gibberellins GAs, gibberillic acid GA3 and GA4, GA7, from local fungal strain of *Fusarium moniliforme*.

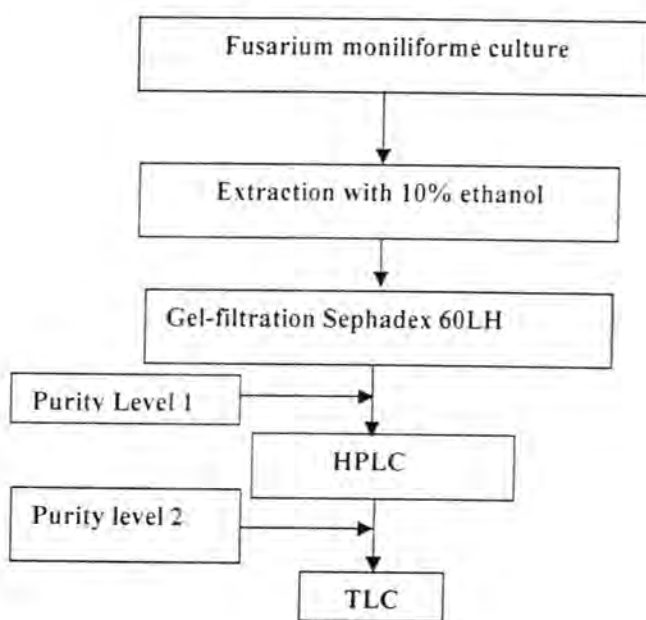
## MATERIALS AND METHODS

**Organism:** *Fusarium moniliforme* was obtained from the culture collection of the Biotechnology department, College of Science, Baghdad University, Iraq. The Culture maintained on potato dextrose agar (PDA) by sub culturing Commercial wheat bran (WB) was thoroughly mixed in a planetary mixer with 50% mineral salts-acid solution . The mineral salts-acid solution of 2N acidity contained 7mg Fe<sub>2</sub>Cl<sub>3</sub>; 16.9 ml concentrated HCl; and 83.1 ml distilled

water. This stock solution was diluted 10 times with distilled water to use for moistening WB. The cotton-plugged flasks were autoclaved at 121°C for 60 min. Cooled to 28-30°C, and inoculated with the liquid culture and incubated at 28±1°C. The ratio of inoculum used 15% (V/W) of the moist WB medium. Fermentation took place for up to 7 days and samples were analyzed for the GA3 level at different time intervals. The yield of GAs and GA3 calculated depending on the weight of commercial WB.

**Extraction and Purification:** After completion of fermentation the moldy bran (MB) was extracted with different solvents using (10% ethanol; 10% methanol; 10% acetone and ethyl acetate) (Scheme 1). The extract was evaporated under vacuum to about 15-20ml. (These experiments were carried out at room temperature).

The gibberellins and gibberellic acid was estimated by the method of Holbrook *et al.*, (3), and the absorbance was read at 254nm in a U.V. spectrophotometer (LKB). The control was subtracted from the sample reading and gibberellic acid content was calculated from gibberellic acid standard curve. (Gibberillic acid standard was obtained from Sigma Co. (12).



**Scheme 1: Extraction and purification method of GA3 and GA4,7 which produced by *Fusarium moniliforme*.**

### Gel filtration on Sephadex LH-60:-

The extracts were purified and fractionated on a Sephadex LH-60 column (1.5x 40 cm) which equilibrated with the equilibrium buffer (10% ethanol alcohol and the flow rate was adjusted to 20 ml/hour and a fractions of 5 ml was collected using fraction collector (LKB). Gibberellins concentrations in the fractions were determined by absorbance assay at 254nm.

### High performance Liquid Chromatography:-

The purified sample from gel filtration column were collected and lyophilized. The sample was fractionated with a reverse phase system consisting of a system Gold Beckman connected to Fine-PakSIL c18-TS (4.5 x150 mm), eluted with mixtures of methanol and 0.5% ethyl-acetate with ratio 60:40 and flow rate 1 ml/min in 25°C.

### Analytical Method:-

Gibberellic acid (GA<sub>3</sub>) was determined by spectrophotometer detection at 254nm, on cell-free media. Previously purified according to the Holbrook method (Holbrook *et al.*, (3).

## RESULTS AND DISCUSSION

Fig 1. illustrated different extraction solutions of gibberellin from moldy bran(MB),These was increasing in gibberellic acid (GA<sub>3</sub>),(GA<sub>4</sub>)and (GA<sub>7</sub>) extracts when 10% ethanol was used which gave 95.85mg/kg.WB and 17.19,16.09mg/kg.WB for (GA<sub>3</sub>),(GA<sub>4</sub>)and (GA<sub>7</sub>) respectively and the lowest quantity from GA<sub>3</sub> and GA<sub>4</sub>,GA<sub>7</sub> obtained when ethyl acetate solution was used. From these results, we conclude that ethanol should be used with caution and it would be preferable to evaporate the ethanol prior to application of the GA<sub>3</sub> solution to plant materials (12,13). DuPreez *et al.*, (2) showed that GA<sub>3</sub> ground to a powder dissolved in water almost as rapidly as in ethanol.

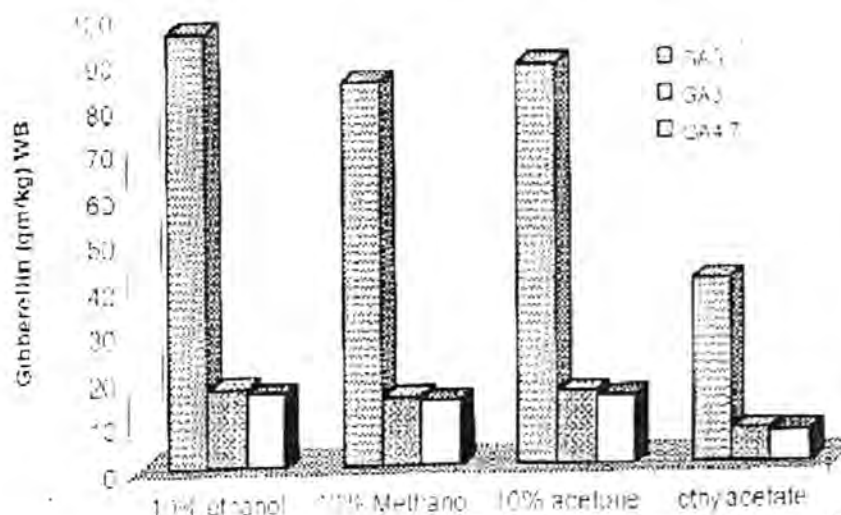


Fig.1 Different extraction solutions of gibberellin from moly bran (MB) which produced from *Fusarium moniliforme*

To purify different gibberellins(GA3; GA4,7) gel filtration was applied by using Sephadex LH-60 column. In this step 5 mls from the previous step was applied to the column (1.5 x 40cm) equilibrated with the 10% ethanol ,elution was carried out with the same buffer. The large peak is eluted out which considered GA3 and that means, the sample contained the large amount of gibberellic acid and the small peaks included (GA7),(GA4) (Fig. 2).

Multiple peaks were observed in HPLC chromatography pattern (Fig.3) from such extracts and when compared with GA3 and GA4 standards it appeared at the same time 0.97 and 1.24 minutes respectively. AS described by (8) the results showed that least one step of HPLC purification of the extracts was necessary for accurate quantitative estimation.

As shown in Fig.3. both GA3 and GA4 in the gel filtration fraction were clearly detected; these GAs were identified by HPLC. Multiple peaks were observed in HPLC chromatography of such extracts and when compared with elution time of GA3, GA4 standards, its gave the same time 0.98 minute, this results agree with (10,11).

Sassa and Suzuki, (9) suggest the possibility of the formation of GA4 from GA9 by fungal 3- hydroxylation. The metabolic route from GA9 to GA4 has been found in plants, but not in fungi.

Kawaide *et al.* (6) found a new species (Strain code: L487) of *phaeosphaeria* [Loculoascomycete] which produces GA4 & GA9 , but the production of GA4 & GA9 was less than 1 mg/L.

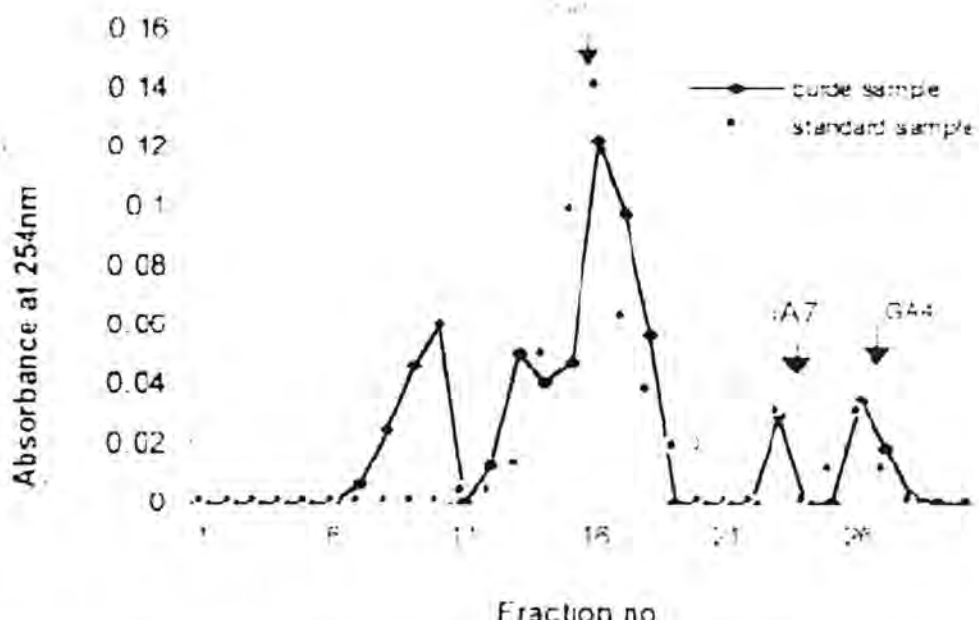


Fig.2. Gel-filtration of partially purified gibberellins (5ml) on Sephadex LH-60. (1.5x 40 cm). The flow rate 20 ml/hour and fraction (5ml) were collected

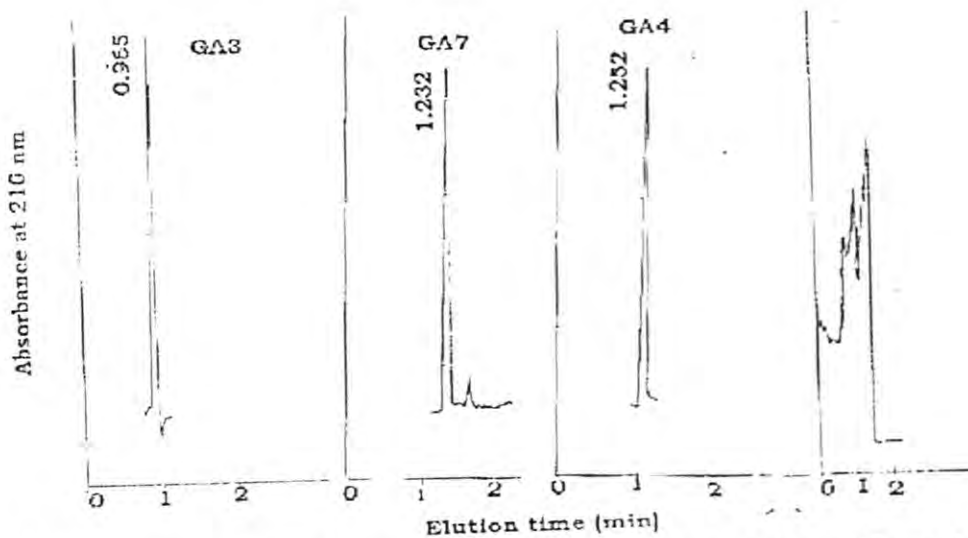


Fig. 3. HPLC profile of the crude fraction obtained from *Fusarium moniliforme*. {column Finepak SIL C-18; solvent.60:40 methanol: 6.5% ethyl acetate; flow rate 1ml/min.}

## REFERENCES

1. Bounaix , C. and Doumas, P. (1995) . Development of a one- step enzyme immunoassay for the quantitation of gibberellin A3 in barley seeds. Plant Growth Regulation.17:7-13.
2. Du Preez, J.C. and Qian, X. M. and Kilian, S.G. (1993). Stability and Bioactivity of gibberellic acid in different solvents. Biotechnology Techniques. Vol. 75, 391-396.
3. Holbrook, A.A.; Edge, W.J.W. and Bailey, F. (1961). Spectrophotometric method for determination of gibberellic acid. Adv. Chem. Series, 28, 159-167.
4. Kahlon, S.S. and Maithotra, S. 1986. Production of gibberellic acid by fungal mycelium immobilized in sodium alginate. Enzyme Micro. Technol. Vol. 8: 613-616.
5. Rachev,R.;Gancheva,V.; Bojkova,Christo, C. and Zafirova, T. (1997). Gibberellin Biosynthesis by *Fusarium moniliforme* in the presence of hydrophobic resin amberlite XAD-2. Bulg. J. Plant Physiol. 23(1,2) 24-32.

6. Kawaide, H.; Sassa, T. and Kamiya, Y. 1995. Plant-like biosynthesis of gibberellin A1 in the fungus *Phaeosphaeria sp.* L487. Biosci. Biotech. Biochem. 58, 2. 305-340.
7. Ikekawa, N.; Sumiki, Y. and Takahashi, N. (1963). Biochemistry of Bakanae fungus LXVII. Determination of nine Gibberellins by gas and Thin-layer chromatography. Proc. Japan. Acad., 39: 507-512. (Cited by Perry, E.S. 1967). Technique of organic chemistry. Vol. XII, Thin -layer chromatography.
8. Oden, P.E. ; Weiler, E.W. Schwenen, L.; Graebe, J.E. (1987). Comparison of gas chromatography-mass spectrometry. Radioimmunoassay and bioassay for the quantitation of gibberellin A9 in Norway spruce (*Picea abies L., Karst.*). Planta 171: 212-219.
9. Sassa, T. and Suzuki, K. 1990. Metabolism of Gibberellin A9 to Gibberellin A4 in a new Gibberellin-producing fungus, *Phaeosphaeria sp.* Agric Biol. Chem., 45 (12) 3373-3375.
10. Sassa, T.; Kawaide, H. and Takarada, T. 1994. Identification of gibberellins A4, A9 and A24 from *Phaeosphaeria sp.* L487 Cultured in a chemistry defined medium. Biosci. Biotech. Biochem. 58(2), 438 - 439.
11. Stodola, F.H.; Nelson, G.E.N. and Spence, D.J. 1957. The separation of gibberellin A and gibberellic acid on buffered partition columns. Arch. Biochem. Biophys. 6: 438-443.
12. Sigma Chemical Co. (1989). Pamphlet, sigma plant cell culture reagents. Gibberellic acid[GA3]. Sigma Chemical Co., St. Louis. Mo.
13. Reeve, D.R. and Crozier, A. (1975). Gibberellin bioassays. In: Gibberellins and Plant Growth, H.N. Krishnamoorthy, ed. Pp. 35- 64, New Delhi: Wiley Eastern Limited.
14. Yabuta, T. and Hayashi, H. (1939). Biochemical studies on bakanae fungus of Rice. II. Isolation of "Gibberellin" the active principles which makes the rice seedlings grow stenderly. J. Agric. Chem. Soc. Japan. 15: 257. 1209. In: P.K.R. Kumar and B.K. Lonsane , Biotechnology and Bioengineering, Vol. 30. 267-271(1987).

## Inhibitory effect's of flavylium Salt on (Serum, Testicular, Bacterial) Hyaluronidase

Abdul Kadir M. N. Jassim

Department of chemistry, College of Science,  
Al- Mustansiriya University

### ABSTRACT

The hyaluronidases are a family of enzymes that degrade hyaluronic acid, The method described here, was used for determination of the (Serum, testicular and hyaluronate lyase) hyduronidase activity and designed to investigate the structure-activity relationship and effects of the synthetic flavylium salt (type of flavonoids) *in vitro* on these enzymes. Kinetic studies of this inhibitor with testicular hyase and hyaluronate lyase showed that their mode of inhibition were competitive.

The following flavylium salt structure conferred potent inhibitor effect: A free hydroxyl groups at 3 and 4'-position and the positively charge on the oxygen atom (position-1). The percentage of inhibition for the three enzymes were (77.7%, 64.2%, 61.9), respectively.

### الخلاصة

تضمن البحث تعين مستوى فعالية إنزيم الهياليلورونديز (المصلوي، الخصوي والهاضم للهياليلورنات) والبحث في العلاقة بين التركيب والفعالية ودراسة تأثير أحد أملاح الفلافيليوم (أحد مركبات الفلافونويدات) المختلفة على هذه الإنزيمات (دراسة خارج جسم الكائن الحي *in vitro*). كما أجريت دراسة حركية لهذا المثبط على إنزيمي الهياليلورونديز الخصوي والهاضم للهياليلورنات وأظهرت النتائج أن التثبيط هو من النوع التنافسي لكلا الإنزيمين.

أما الموضع الفعال في تركيب ملح الفلافيليوم والتي أعطت قوة تثبيطية عالية هي:- مجاميع الهيدروكسيل الحرة في الموضع 4,3 وكذلك الشحنة الموجبة على ذرة الأوكسجين في الموضع رقم 1. أما النسب المئوية للثبيط للأنزيمات الثلاثة فكانت (77,7% و 64,2% و 61,9%) على التوالي.

## INTRODUCTION

The hyaluronidase [Hyase] family of enzymes have, until recently, been neglected [1]. They are general term used to describe enzyme that are able to breakdown the substrate hyaluronan (hyaluronic acid, HA), however, some of these enzymes are also able to cleave chondroitin sulfate [2], albeit at a slower rate.

The hyaluronidase can be subdivided into three types, Hyaluronate-4-glycanohydrolases (EC 3.2.1.35) are the testicular-type hyaluronidases found in mammalian spermatozoa, lysosomes, serum and the venoms of various insects and snakes. The second group are hyaluronate-3-glycanohydrolases (EC 3.2.1.36) produced by leeches and some hookworms. The third group are the bacterial hyaluronidases or hyaluronate lyases (EC 4.2.2.1 or EC 4.2.99.1), act as endo-N-acetyl hexosaminidases by elimination across the ( $\beta$  1-4) linkage [3].

Our interest has been focused on finding a synthetic competitive inhibitor of Hyase, since: (1) Hyase depolymerizes the amorphous component of the interstitial connective tissue and it is this component which normally acts as a barrier to the migration of small cells .(2) As the surrounding of a tumor becomes more liquid the concentration of the substrate of Hyase decreases. Thus the effectiveness of competitive inhibitors will increase with enhanced progress of the disease. (3) Synthetic inhibitors can easily modified with regard to biological activity and negative side effects. One of these inhibitors are flavonoids.

The flavonoids are a group of naturally occurring low molecular weight benzo - $\gamma$ -pyrone derivatives, ubiquitous in plants [4]. Their pharmacological and pharmaceutical function have been reviewed by Havsteen [5]. The effects exerted by flavonoids on animal systems include anti-inflammatory and anti-allergic activity , lipid peroxidation , RNA, DNA and protein synthesis antiviral activity capillary fragility and inhibition of tumor promotion [4,6]. There have been a limited number of earlier report describing the effects of a few flavonoids on the action of Hyase *in vivo* and *in vitro* [4,6-10]. However,

the present study was designed to investigate the structure-activity relationship and effects of one class of flavnoids as anthocyanidin (flavylium salt) derivative ( $3',4'$ -dihydroxy-3-hydroxy flavylium chloride (Fig.1)) *in vitro* on different types of Hyases.

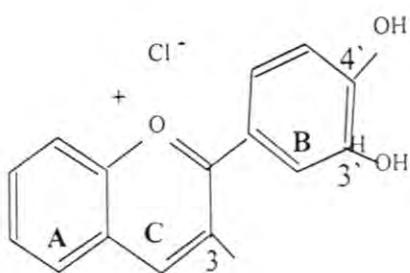


Fig.(1): Chemical structure of flavylium salt ( $3',4'$ -dihydroxy-3-hydroxy flavylium chloride).

In view of the important role played by Hyase in the aetiology and/or development of disease [4,6] it would be very useful to find potent inhibitors of this enzyme for they could be used to develop new therapeutic agents.

## MATERIALS AND METHODS

Acetic acid, sodium acetate, sodium chloride, hyaluronatelyase (EC 4.2.2.1 ) from (BDH Co.); human umbilical cord hyaluronic acid and cetyltrimethylammonium bromide (Cetrimide, CTAB) from the (Sigma Chemical Co.); the flavonoid (Morin) compound was gift supplied from Dr. Omar Hamad Shehab.

Human blood samples from normal healthy individuals were obtained, The blood samples were left to coagulated and centrifuged and the sera were frozen at  $-20^{\circ}\text{C}$  until used

### Determination of hyaluronidase activity

Hyase activity was determined by the method of Kuppusamy *et al.* [4] and XU *et al.*[5] with some modification which was made by this laboratory.

**Assay system:**

- 1- 100 $\mu$ l of Hyase (15 $\mu$ g/ml of testicular or 12 $\mu$ g/ml of lyase or 100 $\mu$ l of serum) was made up to 900 $\mu$ l with 0.1M acetate buffer (pH 5.0 containing 0.15 M NaCl, for testicular and hyaluronate lyase, and pH 3.7 containing 0.15 M NaCl for serum sample), then incubated for 15 min at 37°C
- 2- After preincubation, the assay was commenced by added HA (100 $\mu$ l "50 $\mu$ g/ml") to each tube and incubated for 45min. All incubations were carried out in triplicate.
- 3- In the case of serum sample, other tube was prepared for the initial HA in sample, contained (100 $\mu$ l "50 $\mu$ g/ml") of substrate and the volume was made up to 900 $\mu$ l with acetate buffer of pH 3.7 and a 100 $\mu$ l of serum sample was then added after 45min of incubation time with a total volume of 1ml.
- 4- The blank which was contained 100 $\mu$ l of enzyme were prepared and the volume was made up to 1ml with acetate buffer, but in the case of serum sample the blank contained only 1ml acetate buffer pH 3.7.
- 5- Reaction were terminated by the addition of 2ml of Cetrimide (CTAB) (2.5% w/v) in 2% (w/v) NaOH solution ("stop reaction" solution) and produced the turbidity.

**CALCULATIONS**

In the case of testicular or hyaluronate lyase enzyme, the activity (V) was expressed as  $\mu$ g/ml/min of HA hydrolysed. The optical density (O.D.) of the various "standard" incubations i.e. assay tubes which did not contain the enzyme was plotted against the corresponding initial amount of substrate added. Amount of substrate hydrolysed was determined from this standard curve by subtracting the residual amount of substrate from that originally presented in each tube, whilst in the case of serum sample the activity (V) was calculated by the following:

$$C_{Res.} (\mu\text{g}/\text{ml}) = \frac{A_{Res.}}{A_{Ini.}} \times C_{Ini.}$$

$$C_{Hyd.} (\mu\text{g}/\text{ml}) = C_{Ini.} - C_{Res.}$$

Inhibitory effect's of flavylium Salt on (Serum, Testicular, Bacterial) Hyaluronidase  
Abdul Kadir M. N. Jassim

$$\text{The Activity} (\mu\text{g/ml/min}) = \frac{C_{\text{Hyd.}}}{45 \text{ min}} \times F$$

Where:  $C_{\text{Res.}}$  = Conc. of residual HA in sample ( $\mu\text{g/ml}$ )

$C_{\text{Ini.}}$  = Conc. Of initial HA in sample ( $\mu\text{g/ml}$ )

$C_{\text{Hyd.}}$  = Conc. Of HA hydrolysed by the serum enzyme ( $\mu\text{g/ml}$ ).

$A_{\text{Res.}}$  = Absorbance of residual HA in sample

$A_{\text{Ini.}}$  = Absorbance of initial HA in sample

F = Factor.

For the measurement of the percentage of inhibition, the method described above was followed with exception that the enzyme  $100\mu\text{l}$  ( $15\mu\text{g/ml}$  of testicular Hyase,  $12\mu\text{g/ml}$  hyaluronate lyase, normal serum) was preincubated with  $50\mu\text{M}$  ( $30\mu\text{l}$ ) of the inhibitor (flavylium salt) for  $15\text{min}$  at  $37^\circ\text{C}$  and the volume was made up to  $900\mu\text{l}$  with acetate buffer (flavylium salt was dissolved in dimethylsulfoxide "DMSO", stock solution "freshly prepared for each assay" had concentration  $25\text{mM}$  and aliquots " $30\mu\text{l}$ " of the flavylium salt solution was used in the assay to give a final concentration of  $250\mu\text{M}$ ).

The control tubes contained, the enzyme plus  $30\mu\text{l}$  (DMSO) and a buffer at a final volume of  $900\mu\text{l}$ , then the procedure was followed as in assay system. The activity was expressed as  $\mu\text{g/ml/min}$  for HA hydrolysed which determined from the standard curve. The percentage of inhibition was calculated for the three enzymes according to this equation:

$$\% \text{ Inhibition} = \frac{\text{Activity of control} - \text{Activity in the presence of Inhibitor (flavylium salt)}}{\text{Activity of control}} \times 100\%$$

## RESULTS AND DISCUSSION

The flavylium salt compound was examined for their effects *in vitro* on bovine testicular Hyase, Hyaluronate Lyase and normal serum Hyase (Table (1)).

The percentage of inhibition (%I) of the flavylium salt was determined with respect to control assays run simultaneously. The amount of DMSO used

in the assay system did not cause any significant inhibition of the three enzymes. The flavylium salt was present at 250  $\mu$ M concentrations.

**Table (1): Inhibition of bovine testicular Hyase, hyaluronate lyase and normal serum Hyase by the flavylium salt compound.**

Flavonoid compound	Testicular Hyase		Hyaluronate lyase		Serum Hyase	
	Activity % HA hydrolysed	% Inhibition	Activity % HA hydrolysed	% Inhibition	Activity % HA hydrolysed	% Inhibition
Control (nil) containing DMSO (solvent used)	60.50	-	60	-	59	-
3',4'-dihydroxy-3-hydroxy flavylium chloride	23.06	61.90	16.11	64.20	13.04	77.70

\* The assays were carried out as described in Materials and Methods. The flavylium salt compound was present at 250  $\mu$ M concentrations. Percentage was carried out in triplicate.

The result of the tests (table(1)) indicate that the 4'-hydroxy substitution confer greater inhibitory properties, these findings, however can be elucidated by the elevation magnitude of the percentage of inhibition (%I) for the flavylium salt on the tree enzymes. These results are in agreement with other recent studies fo Hyases [4,6,9-11] and a few other enzymes [4,6].

The reason for the higher inhibitor properties for the 4'-position can be proposed from the quinonoidal bases structure (Fig.(2)), at pH values between (3-6) deprotonation at the 4'-hydroxyl group occur (or 5 or 7-position if present in the compound) and neutral quinonoidal bases in tautomeric equilibrium are formed and the keto form (quinonoidal bases) is more stable than end form (Flavylium salt)[12].

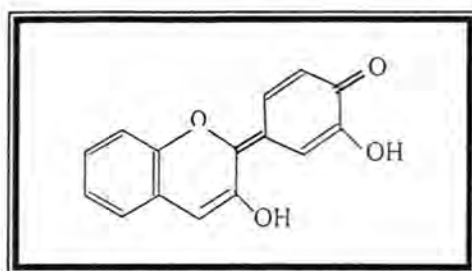
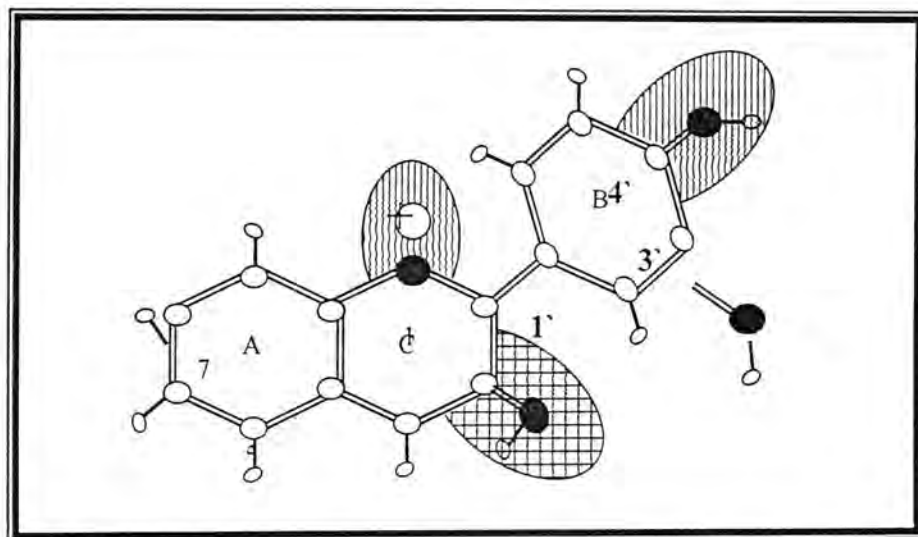


Fig . (2): Nutral quinonoidal bases planar molecule with quinonemethide function occur at pH (3-6).

Rodney *et al.* [13] reported that 3',4'-dihydroxyl substitutions confer greater inhibitory properties than those singly hydroxylated type of flavonoids whilst kuppusamy *et al.* [4] showed that the 3'-hydroxylation was not of significant importance, this position require more studies to understanding the nature of the effect of this position.

For the 5 and 7-position, the comparing of the (% Inhibition) between the flavylium salt (table (1)) with another compound had similar structure except that the latter compound had a hydroxyl substitutents at position 5 and 7 [6], which showed (88.4%, 85.9%, 86.6%) inhibition for (testicular Hyase, hyaluronate lyase and serum Hyase), respectively. These results demonstrated that a position 5 and 7 were very important in the inhibitory effect on the three enzymes. Similar results were also reported [4,6,9-11], the 3-hydroxyl substitution in ring C was reported by kuppusamy *et al.*, [4] and Jassim [6] to be an important.

Analysis of these structure-activity data reveals a model (Fig.3) of the minimal essential features required for Hyase inhibition by the flavylium salt (Fig-1). This model suggests that a free hydroxyl substituent at the 4' – position and the positively Charge on the oxygen atom (position-1) and 3-position in ring C are essential for the three enzymes.



**Fig.(3) Model of the required (hatched lines) features for the Hyase inhibition.**

Lineweaver – Burk equation and plot were used to determine  $K_i$  (Inhibition constant) and  $V_{max}^{app}$  (apparent maximum velocity) for the inhibitor, which  $V_{max}^{app}$  were the same as  $V_{max}$  for both, testicular Hyase and hyaluronate lyase ( $1.538 \mu\text{g/ml/min}$ , Fig.(4),  $2.5 \mu\text{g/ml/min}$ , Fig.(5), respectively), because of the mode of inhibition is competitive.  $K_i$  determine from equation (2), which shows in table (2) and table (3), for testicular Hyase and hyaluronate lyase, respectively.

$$\frac{1}{K_m^{app}} = \frac{1}{K_m \left( 1 + \frac{[I]}{K_i} \right)} \dots\dots\dots (1)$$

$$X = \frac{1}{K_m \left( 1 + \frac{[I]}{K_i} \right)} \dots\dots\dots (2)$$

Inhibitory effect's of flavylium Salt on (Serum, Testicular, Bacterial) Hyaluronidase  
Abdul Kadir M. N. Jassim

X = intercept with X-axis

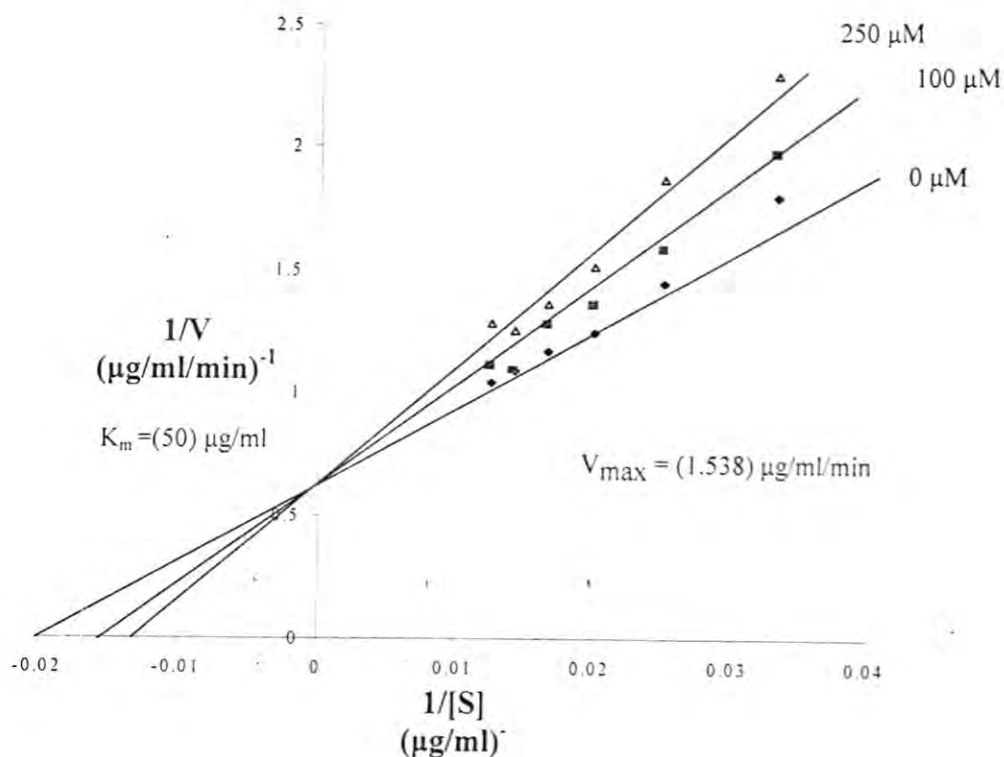


Fig. (4): Lineweaver-Burk plots for determination  $k_m$ ,  $V_{\max}$  values of testicular Hyase and  $k_i$ ,  $V_{\max}^{app}$  values of inhibited testicular Hyase by the flavylium salt compound at concentrations indicated. The line of best fit were determined by the method of least square.

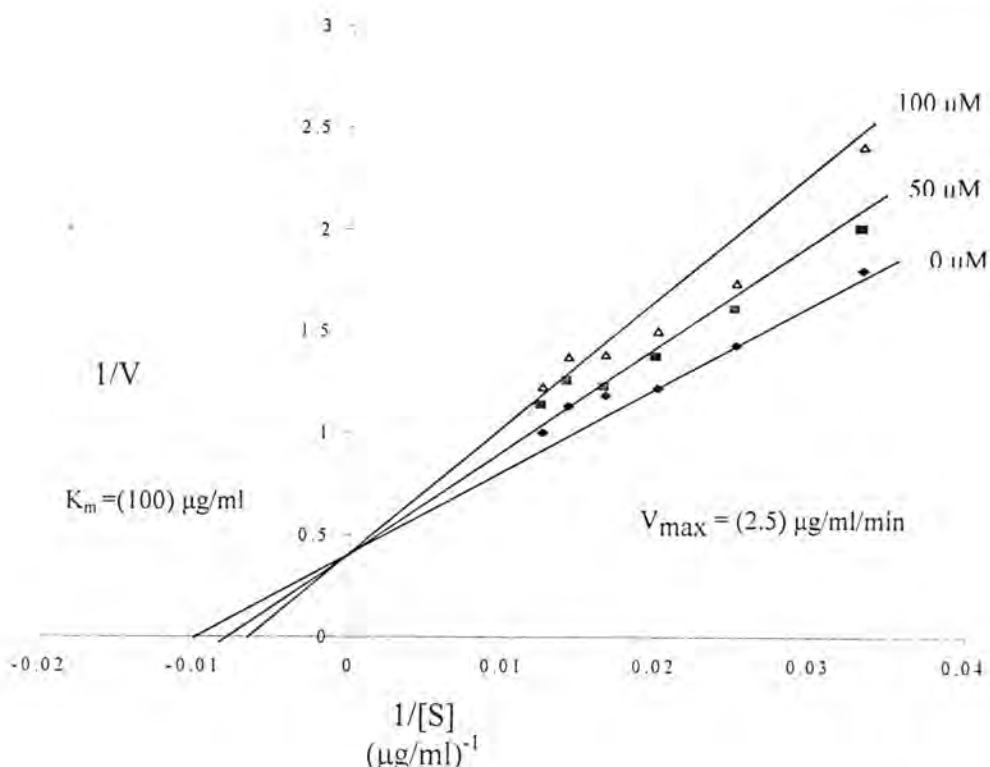


Fig.(5): Lineweaver-Burk plots for determination  $k_m$ ,  $V_{\max}$  values of hyaluronate lyase and  $k_i$ ,  $V_{\max}^{app}$  values of inhibited hyaluronate lyase by the flavylium salt compound at concentrations indicated. The line of best fit were determined by the method of least square.

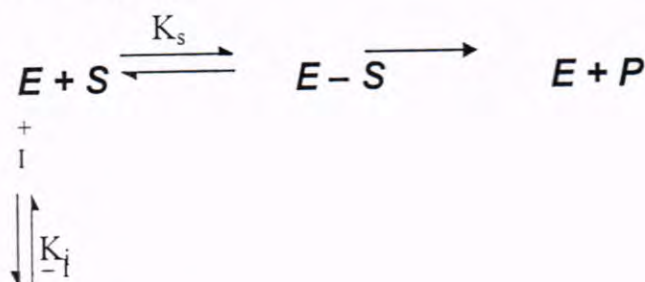
Table (2): Kinetic properties of inhibited testicular Hyase by the flavylium salt compound using Lineweaver-Burk plot.

Inhibitor	$[I]$ ( $\mu\text{M}$ )	$K_i$ ( $\mu\text{M}$ )	$K_i$ ( $\mu\text{g/ml}$ )	$V_{\max}$ ( $\mu\text{g/ml/min}$ )
flavylium salt	100	400	116	1.538
	250	583.30	169.20	1.538

**Table (3): Kinetic properties of inhibited hyaluronate lyase by the flavylium salt compound using Lineweaver-Burk plot.**

Inhibitor	[I] ( $\mu$ M)	Ki ( $\mu$ M)	Ki ( $\mu$ g/ml)	V <sub>max</sub> ( $\mu$ g/ml/min)
flavylium salt	50	283.33	82.16	2.50
	100	233.33	67.66	2.50

It should be stress that different preparations of HA yield different kinetic constant, however, the shape of the plots do not change, but with in each inhibitor compound there are no important differences in the maximal enzyme velocities ( $V_{max}$ ) determined at each inhibitor concentration. The same observation showed with other investigators [4,6,11]. Fig. (4) and Fig. (5) show that this flavylium salt is an extremely effective a competitive inhibitor of testicular Hyase and hyaluronate lyase. The competitive inhibition could be represented as follows[14]:



However, It is interesting to note that the flavylium salt used in the present study having no structural similarities to the substrate could also exert competitive inhibition on the testicular Hyase and hyaluronate lyase. Asquith and Butler [15] reported that proteins with high contents of proline and other hydrophobic amino acids have high affinity for condensed tannin compound (a polymer of flavan-3-ols, type of flavonoids) involved hydrogen bonding and hydrophobic interaction .

Considering the numerous benzene rings and hydroxyl groups in the flavylium salt structure (Fig.1), it is pertinent to suggest that the inhibitory effect may have resulted through conformational change or denaturation of the enzyme, caused by hydrogen bonding and / or hydrophobic interactions between the enzyme and the inhibitor.

## REFERENCES

1. Frost G.I. and Cso'ka T., Stern R., the hyaluronidase: a chemical, biological and clinical overview, *Trends Glycosci. Glycotechnol.*, 8,419-434, (1996).
2. Kreil G., Hyaluronidase- a group of neglected enzymes, *protein science*, 4, 1666-1619, (1995).
3. Hynes W.L., Walton S.L., Hyaluronidases of gram-positive bacteria, *FEMS Microbiology letters*, 183, 201-207, (2000).
4. Kuppusamy, U.R. Khoo, H.E. and Das, N.P., structure – activity studies of flavonoids as inhibitors of hyaluronidase, *Biochem. Pharm.*, 40,397-401, (1990).
5. Havsteen B., Flavonoids, a class of natural products of high pharmacological potency, *Biochem. Pharmacol.* 32, 1141-1148, (1983).
6. Jassim, A.M.N., M.Sc. thesis, college of science, Univ. of Al-Mustansiriyah , (2001).
7. Beiler J.M. and Martin G.J., Inhibition of hyaluronidase action by derivatives of hesperidin, *J. Biol. Chem.*, 174, 31-35, (1948) .
8. Rodney G., Swanson A.L., Wheeler L.M., Smith G.N. and worrel C.S., the effect of a series of flavonoids on hyaluronidase and some other related enzymes, *J. Biol. Chem.*, 183, 739-741, (1950).
9. Al-Sheikly, S.A., M.Sc. thesis, college of science, Univ. of Al-Mustansiriyah, (2000).
10. Kuppusamy, U.R. and Das, N.P., Inhibitory effects of flavonoids on several venom hyaluronidases, *Experientia*, 47, 1196-1200, (1991).
11. Jassim, A.M.N., Inhibition of (Serum, Testicular, Bacterial) Hyaluronidase by the Morin compound, *Al-Mustansiriya J.Sci.*, 13, 4, 63-74, (2002).
12. Pierpoint, W. S.; "Plant flavonoids in Biological and Medicine II: Biochemical, Cellular, and Medical Properties"; (V. Cody); A. R. Liss; New York, (1988); pp. 93-106.
13. Rodney G., Swanson, A.L., Wheeler, L.M., Smith, G.N. and Worret, C.S., the effect of a series of flavonoids on hyaluronidase and some other related enzyme, *J.Biol.Chem.*, 183, 739-741, (1950).
14. Copeland, R. A.; "Enzymes"; Wiley-VCH; New York; (1996); pp. 187-200.
15. Asquith, T.N. and Butler, L. G., Interaction of condensed tannins with selected proteins, *Phytochem.*, 25, 1591-1593, (1986).

## Spectrophotometric determination of gadolinium (III) with 1-(2-Benzimidazolyl-azo)-2-hydroxy-3-naphthoic acid with cetyltrimethyl ammonium bromide (CTMABr)

Ala'a. K. Mohammed

Chemistry Department, College of Education, Ibn Al-Hathaim, University of Baghdad

### ABSTRACT

1-(2-Benzimidazolyl-azo)-2-hydroxy-3-naphthoic acid(BIANA) in the presence of cetyltrimethyl ammonium bromide(as cationic surfactat) is proposed for the spectrophotometric determination of micro amounts of gadolinium(III).A pure violent colored complex with molar absorptivity of  $0.266 \times 10^5 \text{ L.M}^{-1} \text{ CM}^{-1}$  at 595nm is formed at pH=6.0. Beer's law is obeyed within the limits of( $0.25 \times 10^{-5}$ - $1.75 \times 10^{-5}\text{M}$ ). The stoichiometry of complex was confirmed by using mole-ratio method, which indicated that ratio of metal to ligand 1:3.The effects of pH, reagent concentration, effect of amount surfactant added interfering ions are described.

Simplex method was applied to optimize the sensitivity of the Gd(III)-complex reaction.The procedure is applied to geological reference material and a satisfactory result was obtained.

### الخلاصة

تم اعتماد الكاشف 1-(2-بنزو اميدازو لايل-ازو)-2-هيدروكسي-3-حامض النفثويك في التقدير الطيفي للكميات الضئيلة من ايون الكادلينيوم الثلاثي بوجود (Cetyltrimethyl ammonium bromide) كمادة كاتيونية منشطة للسطح مكونا معقد بنفسي اللون ذو امتصاصية مولارية مقدارها .

( $0.266 \times 10^5 \text{ L.M}^{-1} \cdot \text{cm}^{-1}$ ) عند طول موجي 595nm عند دالة حامضية مقدارها 6.0 مع مطاوعة لقانون بير عند حدود تركيز ( $0.25 \times 10^{-5}$ - $1.75 \times 10^{-5} \text{ M}$ ). تم تثبيت تكافؤية المعقد باستخدام طريقة النسب المولية، حيث كانت نسبة الكاشف-فلز 3:1. تم تطبيق نظام (Simplex) للحصول على الظروف المثلث لتكوين معقد الكادالينيوم، ثم تطبيق الطريقة والظروف المثلث على نموذج جيولوجي مع الحصول على نتائج مقنعة.

## INTRODUCTION

A basic characteristic of the lanthanide group is the chemical similarity of individual members. Consequently, data on the total lanthanide content often suffices in practical problems, particularly when all the lanthanides behave similarly, eg-in the production of alloy steel or when the ratio of the individual members is constant eg-in geochemistry.

Among the numerous spectrophotometric reagents for the determination of lanthanides azobenzene and azonaphthalene derivatives were applied to obtain more favorable metal -binding but they are suffers from non selectivity<sup>(1-3)</sup>. Hydroxy naphthol blue alone<sup>(4)</sup> and in conjunction with EDTA<sup>(5)</sup> was used for the spectrophotometric micro-determination of alkaline earth and lanthanides, although its instability in basic solution and tendency to bind to many different metal ions weaken its effectiveness.

Several spectrophotometric methods based on the use of molecules posses hydro-xyl group, especially o,o-dihydroxy azo compound including eriochrome black T<sup>(6)</sup> xylenol orange<sup>(7)</sup> and calmagite<sup>(8)</sup> have been used to determine total rare earth elements but none of these procedures is very selective. However atomic absorption, atomic emission and high performance liquid technique are vastly superior to any of the spectrophotometric procedures described to date; so it is clear that further work is indicated.

The formation of ternary complexes often improves the sensitivity and selectivity of an analytical method. During studies on the sensitizing effects of colloid particle of cationic surfactants on the reaction of chromogenic reagent with various metal ion<sup>(9,10,11,12,13)</sup> was found to produce a large bathochromic shift in the wavelength of maximum absorption, and a marked increase in the molar absorptivity. The present paper describes a sensitive method for the specrophotometric determination of Gd(III) using a reagent 1-(2-Benzoimidazolyl-azo)-2-hydroxy-3-naphthoic acid, abbreviated as (BIANA)

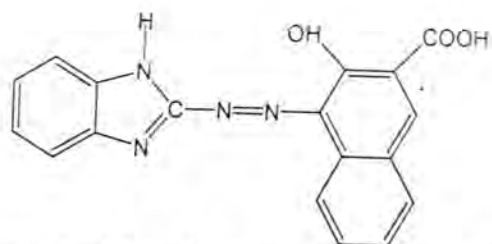
**Spectrophotometric determination of gadolinium (III) with 1-(2-Benzimidazolyl-azo)-2-hydroxy-3-naphthoic acid with cetyltrimethyl ammonium bromide (CTMABr)**  
**Ala'a. K. Mohammed**

(Fig1), in the presence of cetyltrimethyl ammonium bromide (CTMABr) as cationic surfactant by means of this ternary complex .

Simplex optimization of experimental parameters, which was first introduced by Spendly<sup>(14)</sup> and then applied by Long<sup>(15)</sup> and Murillo<sup>(16)</sup> offers the capability of optimizing several factors simultaneously depending on a statistical design search for find the maxima or minima of response, by rejecting the point producing the worst response and a replacement of it by the new point which is obtained statistically.

Optimization of chemical spectrophotometric variables of the proposed system namely pH, reagent concentration and surfactant concentration have been studied using the modified simplex program of optimization with the aid of a software

package supplied by Adrian wade<sup>(17)</sup>and adapted by the author to fit MSX AX 170 micro-computer.



**Fig (1)1-(2-Benzimidazolyl-azo)-2-hydroxy-3-naphthoic acid.(BIANA)H<sub>3</sub>L.**

## **EXPERIMENTAL**

### **Reagent:**

The reagent was synthesized from 2-amino benzimidazol and 2- hydroxy 3 naphthoicacidas described previously<sup>(18)</sup> (found:65.22%C,3.52%H,16.38%N). The acid dissociation constants of the reagent were calculated by using a certain programme<sup>(19)</sup>. pKa(COOH)=5.9, pKa(OH)=8.5, pKa(NH)=13.2. The standard solution of gadolinium was prepared by dissolving the oxides of gadolinium(99.99%) in hydrochloric acid to a given volume.The solution was standarized by EDTA titration with xylenol orange as indicator.

An alcoholic( $7.35 \times 10^{-4}$  M) reagent was prepared by mixing 50ml (0.2M)  $\text{KH}_2\text{PO}_4$  with 45.40ml(0.2M)NaOH and then diluted to 200ml with deionized water<sup>(20)</sup>. The pH being adjusted with few drops of 1M NaOH or 1M HCL.

The CTMABr solution was prepared in aqueous 20%(v/v) ethanol. All the other chemicals used were of analytical grade.

### **Apparatus:**

A Shimadzu model 160 spectrophotometer with 10mm quartz cell and a Philips model a PW-9421 pH meter was used for pH measurements.

### **Univariate optimization**

#### Procedure:

The test solution containing not more than 10ug Gadolinium was taken in 10 ml volumetric flask, 3ml of  $7.53 \times 10^{-4}$  M reagent ,1.2ml of buffer solution at

pH =6.0 and 1ml of (0.01M) CTMABr solution were added successively and mixed well. The solution was then diluted to the mark with deionized water allow the solution to stand for 10min and then the absorbance was measured at 595nm against reagent blank solution,

## RESULTS AND DISCUSSION

**Absorption spectra;** The absorption spectra of the reagent and its Gadolinium (III) complex at pH=6.0 in the presence of an excess of CTMABr are shown in Fig (1);

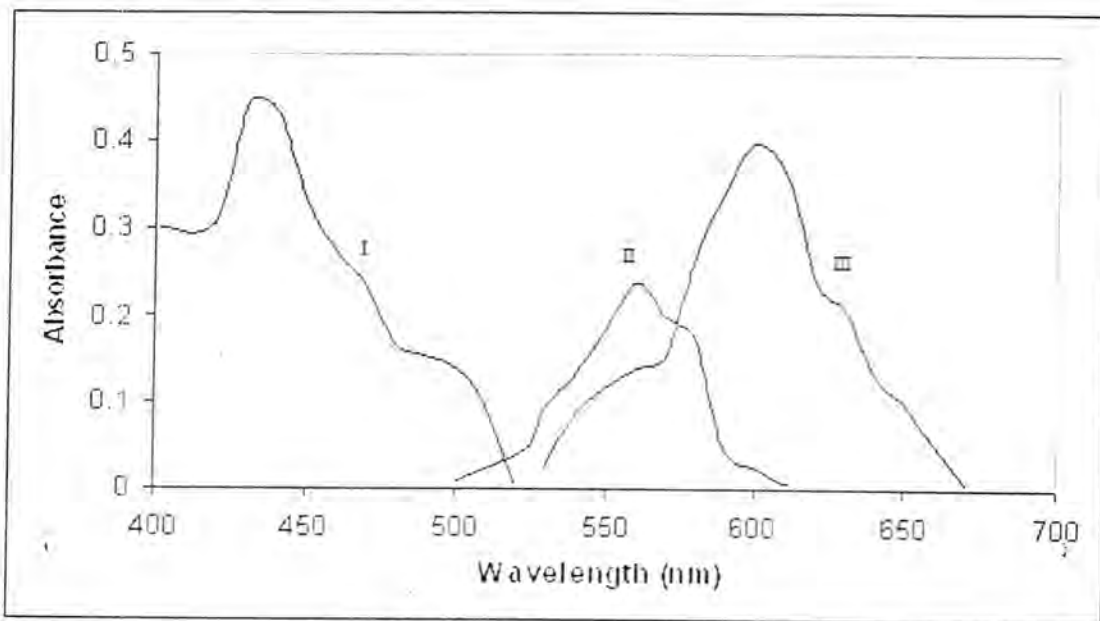


Fig.(1): Absorption spectra

- (I) :  $2.259 \times 10^{-4}$  M (reagent), 0.001 CTMABr at pH = 6.0.  
(II) :  $2.259 \times 10^{-4}$  M (reagent),  $1.27 \times 10^{-5}$  Gd(III) at pH = 6.0.  
(III) :  $2.259 \times 10^{-4}$  M (reagent),  $1.27 \times 10^{-5}$  Gd(III), 0.001 M CTMABr at pH=6.0

Included for comparison is the spectrum of the binary Gd(III) complex formed at

pH=6.0 .The ternary complex has an absorption maximum at 595nm and is stable for at least several hours, under these condition Gadolinium(III) forms a pure violent colored complex, the formation of the complex is accompanied by a marked increase in the absorbance and a bathochromic shift of approximately 30nm .

Although the shift is not large, the form of the curves allows a suitable wavelength for the spectrophotometric determination of Gd to be chosen the value of 595nm, at which the difference between the maxima is the greatest, has been used in our experiments.

### Optimisation of variables;

#### pH dependence:

Firstly, color developments between Gadolinium(III) and 1-(2-Benzimidazolyl-azo)-2-hydroxy-3-naphthoic acid(BIANA) as a chelating azo dyes was systematically investigated in the absence of cationic surfactant at pH range(3-10) as shown in Fig(2), the coexistence of cationic surfactant such as (CTMABr) was most effective in the color development between Gd(III) and reagent as a chelating Azo-dye, and the optimum pH for the formation and fixation of the violet species falls in the pH=6.0 (The high values of the absorbance for complex),was due to the tendency of this ligand to form chelate rings through its donar atom which interun depend on dissociation of the carboxyl,hydroxyl and(NH) groups. (maximum wave length 595nm), at pH values below 6.0 the absorbance decreases significantly.

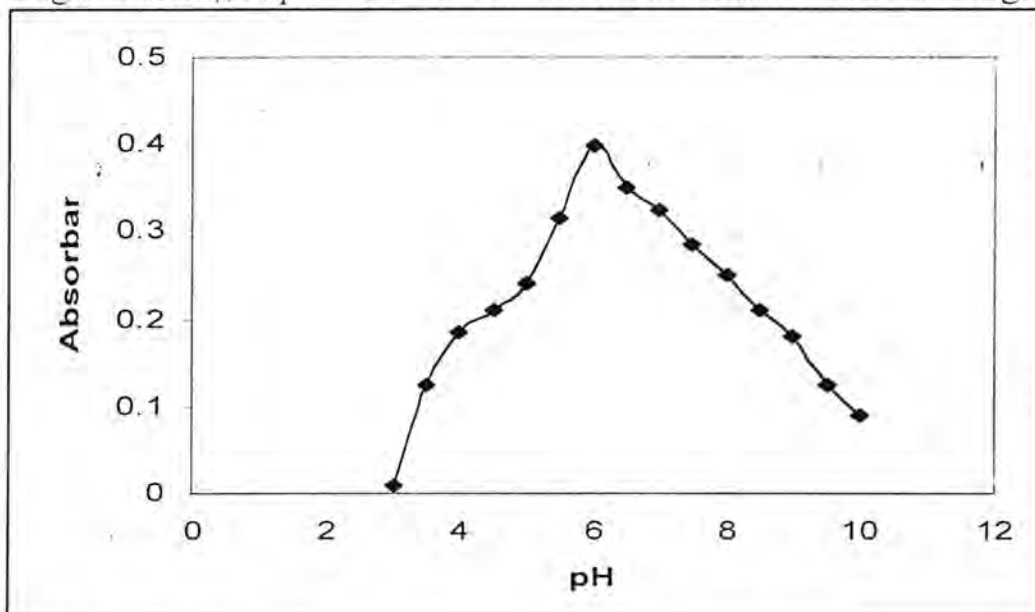


Fig. (2): Effect of pH on the absorbance of the Gd-complex in the presence of cationic surfactant at 590 nm.

#### Reagent concentration:

The influence of excess reagent concentration on the absorbance of the complex is illustrated in Fig (3), where the absorbance of  $1.27 \times 10^{-5}$  M Gd(III) solution at pH=6.0 is plotted against reagent concentration range  $0.75 - 4.17 \times 10^{-4}$  M was found that the absorbance increase with an increasing

Spectrophotometric determination of gadolinium (III) with 1-(2-Benzimidazolyl-  
azo)-2-hydroxy-3-naphthoic acid with cetyltrimethyl ammonium bromide (CTMABr)  
Ala'a. K. Mohammed

reagent concentration and  $2.25 \times 10^{-4}$  M reagent concentrations were chosen  
for 10ml sample volumes .

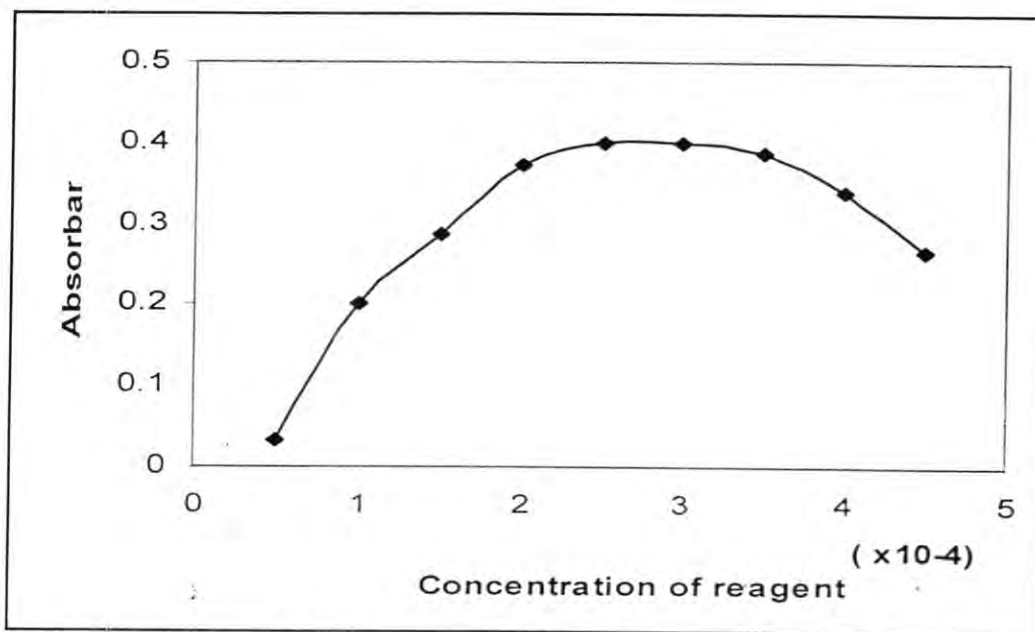


Fig. (3): Effect of reagent concentration on the absorbance of the Gd-complex at 589 nm  $\text{Gd(III)} = 1.27 \times 10^{-5} \text{ M}$ ,  $\text{CTMABr} = 0.001 \text{ M}$ ,  $\text{pH} = 6.0$

#### Effect of surfactant:

The effect of surfactant concentration on the complex formation was investigated for solution containing  $1.27 \times 10^{-5} \text{ M}$  Gd(III) Fig(4), the maximum and constant absorbance in color development was obtained with 0.001M(CTMABr). In this case it is assumed that the color development in the coexistence of (CTMABr) mixed miceller media may be formed of (Reagent-Gd(III)-CTMABr) as associated complex .

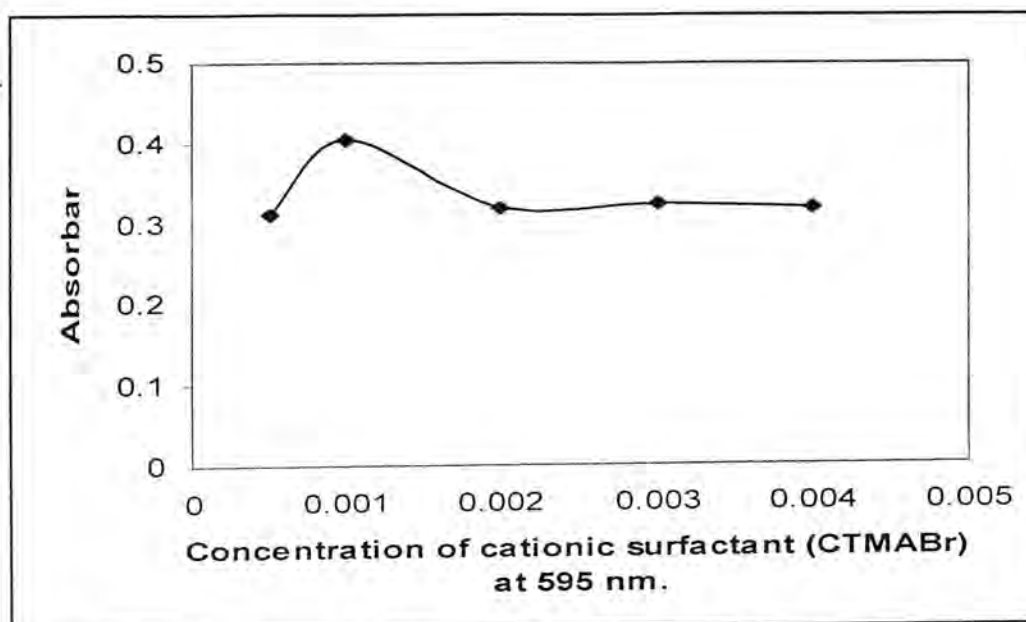


Fig (4): Effect of concentration of cationic surfactant (CTMABr) at 595nm Gd =  $1.27 \times 10^{-5}$  M , Reagent =  $2.259 \times 10^{-5}$  M.

#### Characteristic of the complex:

The colored complexes was formed instantly and the stability of the complex was studied by measuring the absorbance at regular time intervals .The Maximum absorbance was achieved after development for 10 minutes and no change was then observed for at least 2hr. A study of the Gd(III)reagent complex as determined by mole-ratio methods showed that the metal to ligand ratio was 1:3 Fig(5).This is in agreement with other workers that reagent form a 1:3 complex with La(III), Eu(III)<sup>(21)</sup>, Pr(III), Gd(III)<sup>(22)</sup>, Sm(III)<sup>(23)</sup>,and Ho (III)<sup>(24)</sup>.

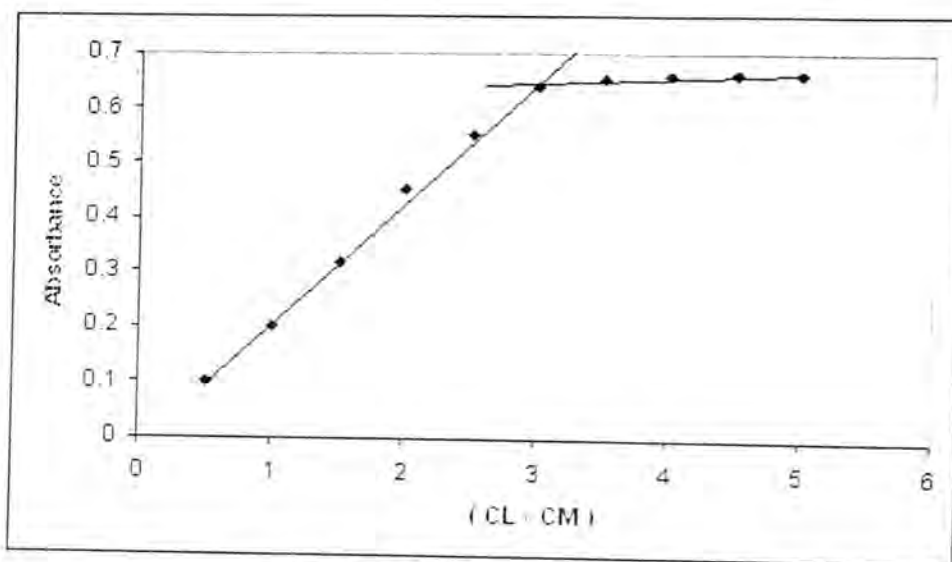


Fig (5): Mole- ratio Method

#### Calibration graphs and sensitivity:

Calibration graphs was constructed according to the above optimal condition a linear calibration curves was obtained in concentration range ( $0.25 \times 10^{-5}$ - $1.75 \times 10^{-5}$  M) and the apparent molar absorptivity was calculated to be  $0.266 \times 10^5$  .L.M $^{-1}$ .Cm $^{-1}$  at 595nm .

#### Effect off foreign ions:

The selectivity of the proposed methods was investigated by the determination of 7ug of Gd(III) in a 10ml solution at 595nm in the coexistence of some heavy metals. Table (1). The results show that although the method suffers generally by its lack of specificity only La (III), Ce(III), Ho(III) and Pr(III) interfere seriously so that prior separation would be essential .The determination is feasible in the presence of other common metal ions provided that these cations are not present in a large excess and that Cu, Cd, Ni and Co and be masked by added ascorbic acid and cyanide ion.

**Table (1):Effect of foreign ions on determination of  
7ug/Gadolinium(III)**

Ions	Amount added (ug/ml)	Gd found (ug/ml)	Error%
$\text{Cu}^{+2}$	0.50	7.24	+3.42
	1.20	7.09	+1.28
$\text{Cd}^{+2}$	0.50	7.14	+2.0
	2.90	7.09	1.28
$\text{Ni}^{+2}$	0.50	7.22	+3.14
	2.50	7.02	+0.28
$\text{Co}^{+2}$	1.50	7.25	+3.57
	3.00	7.11	+1.57
$\text{Al}^{-3}$	2.40	7.09	+1.28
	4.00	7.15	+2.14
$\text{La}^{+3}$	1.50	7.34	+4.85
	5.00	8.04	+14.85
$\text{Ce}^{-3}$	1.00	7.50	+7.14
	3.00	8.01	+14.42
$\text{Ho}^{+3}$	1.50	7.11	+1.57
	2.50	7.92	+13.14
$\text{Pr}^{+3}$	2.25	7.52	+7.42
	3.50	7.92	+13.57

**Spectrophotometric determination of gadolinium (III) with 1-(2-Benzimidazolyl-  
azo)-2-hydroxy-3-naphthoic acid with cetyltrimethyl ammonium bromide (CTMABr)**  
**Ala'a. K. Mohammed**

**Simplex optimization:**

To apply the modified simplex optimization, it required that there must before each variable selected boundary condition, which should not be crossed during optimization . These were selected as it is shown in Table (2);

**Table (2) :Boundary conditions for the studied variables.**

Variable	Limits
pH	3-10
Reagent conc.	0.753 - 4.142 $\times 10^{-4}$ M
Surfactant conc.	0.0005 - 0.004 M

To start the optimization, four experiments were carried out and the results included the variable and the corresponding absorbencies were supplied to microcomputer-after that, the program run and then a set of the evaluated condition for the fifth experiment are obtained. The work is then proceed by doing experiments and giving the result each time to the computer and getting new conditions for the next experiment, and so on. Table (3) shows the values of variables and the results obtained by applying simplex program.

**Table (3):Results obtained by using simplex optimization.**

Experiment Number	pH	Conc.of reagent M/L $\times 10^{-4}$	Surfactant conc M/L	Absorbance
1	4.5	2.250	0.0010	0.200
2	6.0	1.833	0.0010	0.360
3	6.0	4.142	0.0010	0.320
4	6.0	2.259	0.0020	0.340
5	7.5	2.762	0.0015	0.252
6	6.5	2.634	0.0015	0.322
7	6.5	2.570	0.0015	0.338
8	6.0	0.753	0.0015	0.110
9	6.0	3.141	0.0010	0.380
10	5.5	2.683	0.0010	0.343
11	6.0	3.194	0.0050	0.341
12	6.0	2.493	0.0015	0.413
13	6.5	2.329	0.0015	0.372
14	6.0	3.336	0.0020	0.335
15	6.0	2.246	0.0010	0.450
16	6.0	2.428	0.0015	0.392
17	5.5	2.691	0.0051	0.252
18	6.0	2.419	0.0015	0.402

The first points represent experimental results needed to initiate simplex program. The programs is then made up the current simplex by choosing the worst point and calculate the value of the variable for the new simplex. After fifteen attempts the program succeeded to gave the optimum condition. The procedure continued for further three experiments to ensure that optimum condition are reached.

#### **Application to the determination of Gadolinium in rock:-**

One sample provided by the geological survey of Japan (1-1-3 Higashi,Yatabe, Ibaraki, 303, Japan) was analyzed in order to check the validity of the method. The preparation of the sample solution is as follows.

**Spectrophotometric determination of gadolinium (III) with 1-(2-Benzimidazolyl-  
azo)-2-hydroxy-3-naphthoic acid with cetyltrimethyl ammonium bromide (CTMABr)**  
**Ala'a. K. Mohammed**

Transfer 0.5 gm of a sample in a Teflon vessel and decomposed in 5ml of concentrated hydrofluoric acid plus 0.5ml of concentrated perchloric acid. The mixture was carefully heated on a hot plate until its volume was reduced to dryness, dissolve the residue in 10ml of 1N hydrochloric acid and diluted to 25ml with deionized water.lanthanoids were separated on a column (100cm long and 2cm internal diameter) containing 25ml amberlite-IR-120 cation exchanger treated with 2M HCL .The sample solution was allowed to drain into the column, then the column was washed twice with deionized water, followed by the addition of 300 ml of 1.85 M HCL to elute the sample impurities .Lathanoids were eluted with 400ml of 4M HCL and the elute was reduced by heating on a hot plate and the volume was made up to 10ml with deionized water . Table (4) shows the results obtained for the analysis of certified sample.

**Table(4): Result for the analysis of certified sample rock (JG-1  
Granodiorite).**

Method	Certified concentration 4.6 ug/g Gd		
	Cone.	R.S.D(%)	R.E(%)
Direct	5.713		
	4.132	20.300	+16.36
	6.214		
Standard Addition	4.624		
	4.672	0.665	+1.28
	4.682		

## REFERENCES

1. Savvin S.B.Arsenazo-III,Method of photometric determination of rare earthsand actinide elements. Zavod lab;vol;29;131(1963).
2. Savvin S.B;Propistsova R and Nikova R.V;Zh.Anal.vol;24,31(1969) cited in Chlorophosphonazo-m-NO<sub>2</sub>, A new reagent for the pectrophotometric Determination of cerium sub-group rare earth elements in the presence of yttrium sub-group elements.*Analytica Chimica Acta.vol;124,177-183,(1981).*
3. Budesinsky B and Hass K.Extraction-Photometric determination of the rare earths by means of quinalizarin in the presence of 8-hydroxyquinoline. *Anal.Chem .vol;21,263(1965).*
4. Brittain H.G.The use of hydroxynaphthol blue in the ultramicrodetermination of alkaline earth and lanthanide elements:An improved method. *Analytica Chimica Acta.vol;96.165-170(1978).*
5. Brittain H.G.Effect of EDTA amount on the drtermination of rare earthelements. *Analytica .Chimica Acta.vol;49,969(1977).*
6. Yadvendra K and Panavelil T.Separation, and determination of Microgram Amounts of lanthanum(III) using ,eriochrome black T and xylenol Orange.*Analyst .vol;112;1015(1987).*
7. Svoboda V and Chomy V.Spectrophotometric determination of minute amounts of lanthanum with xylenol orange.*Talanta.vol;13;237(1966).*
8. Brittain H G.spectrophotometric determination of lanthanides with calmagite. *Analytica.Chimica Acta.vol;106;401(1979).*
9. Fraga F,Abizanada A, Moreno F, and Havel .H.Kinetic spectrophotometric resolution of mixtures of Europium,Terbium and lanthanum in a micellar medium using multivariate calibration.*Microchemical journal,vol;54(1) 32-40 (1996).*
10. Silva MF,Fernandez L, and Olsina R.Micellar-enhanced highly sensitive spectrophotometric determination of Erbium(III) with 3,5 DICLDMPAR and TX-100.*Ahales de quimica,vo,192(6)344-348(1996).*
11. Zhao.S,Xia X, and Hu Q.Complex formation of the new reagnt 5-(6-methoxy-2-benzothiazoleazo)-8-aminoquiline with cobalt and nickel for their sensitive spectrophotometric detection.*Analatica Chimica Acta.vol,391(3)365-371(1999).*
12. Mori I, Kawakatsu T,Fujita Y and Matsuo T.Selective spectrophotometric determination of Gallium(III) with 2-(5-Bromo-2-pyridylazo)-5-diethylamino-phenol in the presence of sodium dodecylsulfate and Brij 35.*Analaytical letters vol,32(3);613-622(1999).*

**Spectrophotometric determination of gadolinium (III) with 1-(2-Benzimidazolyl-azo)-2-hydroxy-3-naphthoic acid with cetyltrimethyl ammonium bromide (CTMABr)**  
**Ala'a. K. Mohammed**

13. Ferreyra R,Camina J,Marchevsky and Luco JM.Simultaneos spectrophotometric detrmination of La, Ho, Mn<sup>5+/-</sup>-Br-PADAP complexes using multivariate calibration with partial least-squares data evaluation.Fresenius J.of Analytical Chemistry vol,368(6);595-600(2000).:
14. Spendley W, Hext G.R and Himsorth F.R.Sequential application of simplex designs in optimization and evolutionary opearation.Technometres.vol,4;441(1962).
15. Duane E.L.Simplex optimization of the response from chemical system. Analytica Chimica Acta.vol;46,192(1969).
16. Murillo J.A, Alanon A, and Pardo M.T.The use of modified simplex method to optimize the room temperature phosphorescence variables in the determination of an antihypertensive drug.Talanta,vol;57.795-805,(2002).
17. Wade A.P.University College Swancea,Wales,Cited in S.Al-Najafi,Flow injection analysis and HPLC studies,M.Sc.Thesis,University of Wales, University College of Swansea,1984.
18. Faisal N.O,Hussain A,M ,Ahmed K andJassium A.Preparation and spectroscopic study of new colorent.Part .II.1- (2-Benzimidazolyl-azo)-3- naphthoic acid (BIANA) and its complexes with ( $Cu^{+2}$ , $Ni^{+2}$ , $Co^{+2}$ , $Mn^{+2}$ ,and  $Zn^{+2}$ ). Zanco,vol:2.53(1989).
19. Adrien A and Serjeant S.The determination of ionization constants.Chapman Press,London .p.56-68(1984).
20. Vogel I.A Text book of macro and semimicro Qualitative in organic Analysis. 4<sup>th</sup>.edn. page 645.(1959).
21. Ameira H.A.Spectrophotometric study for determination lanthanum (III) ion and Europium(III) ion using the reagent 1-(2-Benzimidazolyl-azo)-3- naphthoic acid. M.Sc.Thesis, College of Education, Ibn-Al-Haithaim, University of Baghdad, (2001).
22. Rana S.A,Spectrophotometric study for determination Praseodymium (III) ion and Gadolinium(III) ion using the reagent 1-(2-Benzimidazolyl-azo)-3-naphthoic acid. M.Sc.Thesis, college of Education, Ibn-Al-Haithaim, University of Baghdad (2003).
23. Azhar S.H.Spectrophotometric determination of Samarium (III) with 1-(2-Benzimidazolyl-azo)-3-naphthoic acid.Accepted in Ibn Al-Haitham.J.For Pure and Appl.Sci,(2004).
24. Khalda R.I.Spectrophotometric determination of Holmium (III) with 1-(2-Benzimidazolyl-azo)-3-naphthoic acid.Accepted in Ibn Al-Haitham.J.For Pure and Appl.Sci(2004).

## The stopping power and energy straggling of swiftions in individual planes of surfaces

Riyahd K. A. Al-Ani, Khalid A. Ahmad, Khalid S. Ibrahim  
 Department of Physics, College of Science, Al-Mustansiriya University

### ABSTRACT

The electronic responses of a semi-infinite medium to a swift charged particle moving parallel to a solid surface are investigated theoretically. The present study addresses aspects of stopping and scattering of the beam, i.e., fundamental processes in all physics involving particle beams.

The aim of the present work is to estimate the stopping power and energy straggling of sub-shell for target atoms using impact parameter representation of a swift charged particle under grazing incidence of solid targets like Aluminum, Al, silicon, si, Copper, Cu and Germanium, Ge.

The theoretical scheme is based on classical and quantal stopping theory in the impact parameter representations. Those results do not apply to close collisions and become invalid near the surface and correction is applied. The effect of excited core electrons which has frequently been neglected is shown to be significant.

### الخلاصة

تم في هذه الدراسة التحقق نظرياً من الاستجابة الالكترونية لوسط شبه لا نهائي أثاء مرور جسيمات مشحونة سريعة متحركة بشكل موازي لسطح الوسط الصلب . الدراسة الحالية

تؤشر مفاهيم الإيقاف والتشتت للإشعاع أو بعبارة أخرى العمليات الأساسية لكل الفيزياء المعنية لدفائق الإشعاع .

إن الهدف من العمل المنجز هو حساب قدرة الإيقاف وتطوح الطاقة للأغلفة الثانوية لذرات الهدف بإستخدام معامل التصادم للجسيمات المشحونة السريعة التي تمس (تكشط) السطح الصلب للأهداف مثل الألمنيوم والسيلكون والنحاس والجرمانيوم .

إن الشكل البياني النظري يعتمد على نظرية الإيقاف الكلاسيكية والكمية بما يمثله معامل التصادم . إن النتائج التي تم الحصول عليها لا يمكن تطبيقها على التصادمات القريبة وتكون غير ملائمة في المناطق القريبة للسطح الصلب لذا تم إجراء بعض التعديلات "التصحيحات" عليها وغالباً ما يهمل تأثير الكترونات الداخلية المتჩجة، بينما تبين هذه الدراسة أن لها تأثير ذو قيمة في حدود معينة من السرع .

## INTRODUCTION

The interactions of atomic species with solid surfaces are of considerable interest in basic research and technological applications. The present study addresses aspects of stopping and scattering of the beam, i.e., fundamental processes in all physics involving particle beams.

In the present work a coherent account of the detailed interaction dynamics of an ionic projectile proceeding through solid matter. The response function of the stopping medium is chosen to be generically related to that for an electron gas. The central theoretical concept is the wake theory; physical properties are emphasized by using increasingly accurate representations of the medium's response. The stopping power of the medium is related to a property of the wake and energy loss fluctuations induced by the wake are evaluated.

The understanding of all these parameters is the key to calculate the position-dependent stopping power, image and crystal potentials, stopping and lateral forces and the variance in energy loss. The position-dependent stopping power near the solid surfaces has been discussed theoretically and experimentally by many workers like Kimura (1987) [1] and Winter (1996) [2].

The present work includes a theoretical description and calculations to the position-dependent stopping power, the stopping power and energy straggling for the sub-shell of target atoms. The work based on the impact-parameter dependent of stopping power which has been discussed by many workers [3, 4, 5, 6]. A program **Riads0** was written in Fortran-90 language using Compaq Visual Fortran for the calculation was used. A copy from the program is available in Ref. [7].

## THEORY

### 1. Position Dependent Stopping Power

Consider a projectile moving uniformly at a constant distance  $z$  from the surface (Fig. 1). Take the integration over the half-space  $p_z > z$  the position dependent stopping power is given by:

$$\left( \frac{dE}{dx} \right) = N \int_z^{\infty} dp_z \int_{-\infty}^{\infty} dp_y \langle T(p) \rangle, \quad (1)$$

where

$$\langle T(p) \rangle = \sum_i \hbar \omega_i P_i(p) \quad (2)$$

is the mean energy transferred to electrons of a target atom in a collision at impact parameter  $p$ , and  $\hbar \omega_i$  is the excitation energy for level  $i$ . and  $P_j(p)$  is the probability for excitation of the  $j$ th. level above the ground state of a target atom in a collision at a vertical impact parameter  $p$  [8].

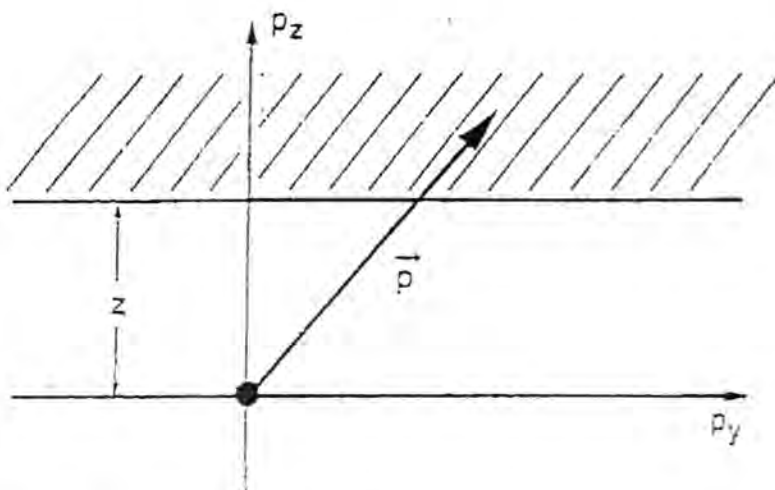


Fig. (1) Projectile moving with velocity  $v$  in  $x$ -direction (out of the drawing plane) at a constant distance  $z$  from a half-space filled homogeneously with material.  $P_y$  and  $p_z$  are the impact parameters [8].

### 1.1 Classical View (Bohr theory)

Bohr's theory in 1913 [9] considered the close and distant interactions separately. Close collisions are related as free-Coulomb interactions, resulting in the following dependence of the energy transfer  $T$ - versus impact parameter  $p$ :

$$T_{close} = \left( \frac{2Z_I^2 e^4}{m v^2 p^2} \right) \left[ \frac{1}{\left( 1 + \left( \frac{b}{2p} \right)^2 \right)} \right] \quad (3)$$

Where  $b = \left( \frac{2Z_I^2 e^2}{m v^2} \right)$  is the collision diameter,  $Z_I$  and  $v$  are the atomic number and speed of a projectile,  $-e$  and  $m$  are the charge and mass of an electron. The distant interactions are described as excitations of harmonic oscillator by time varying electric field in the dipole approximation [10]. This yield,

$$T_{dist.} = \left( \frac{2Z_I^2 e^4}{m v^2 p^2} \right) \left\{ \left[ \left( \frac{\omega p}{v} \right) K_0 \left( \frac{\omega p}{v} \right) \right]^2 + \left[ \left( \frac{\omega p}{v} \right) K_1 \left( \frac{\omega p}{v} \right) \right]^2 \right\} \quad (4)$$

Where  $K_o$  and  $K_I$  is the modified Bessel functions in standard notation [11]. Substitute Eq. (4) into Eq. (1) using polar coordinates; one can get the following two Esq. [7]:

i. For close collisions,

$$\left(-\frac{dE}{dx}\right) = \left(\frac{4\pi.NZ_I^2 e^4}{mv^2}\right) \left(\frac{\omega z_o}{v}\right) K_I \left(\frac{\omega z_o}{v}\right) K_o \left(\frac{\omega z_o}{v}\right) \quad (5)$$

ii. For distant collisions,

$$\left(-\frac{dE}{dx}\right) = \left(\frac{2NZ_1^2 Z_2 e^4}{mv^2}\right) K_o \left(\frac{2\omega z_o}{v}\right) \quad (6)$$

In Eq. (6)  $Z_2$  denotes the number of electrons per target atom.

## 1.2 Quantum View (Bethe's Theory)

Bethe's theory used the quantum mechanics to derive the mean energy loss [12] and is based on the first Born approximation. In terms the impact parameter the mean energy loss is given by the following equation [9]:

$$\langle T(p) \rangle = \left(\frac{2Z_I^2 Z_2 e^4}{mv^2}\right) \sum_i f_i \left(\frac{\omega_i}{v}\right)^2 \left\{ \left[ K_o \left(\frac{\omega_i p}{v}\right) \right]^2 + \left[ K_I \left(\frac{\omega_i p}{v}\right) \right]^2 \right\}, \quad (7)$$

where  $f_i$  is dipole oscillator strength obeying the sum rule  $\sum_i f_i = 1$ . This relation is invalid at small impact parameters. Thus the position dependent stopping power becomes a sum terms of the type of Eq. (6),

$$\left(-\frac{dE}{dx}\right) = \left(\frac{2Z_I^2 Z_2 e^4}{mv^2}\right) \sum_i f_i K_o \left(\frac{2\omega_i z_o}{v}\right) \quad (8)$$

## 1.3 Classical and Quantum View of Close Collisions

The expressions, in Esq. (6, 8), are applicable to large cruising altitude ( $z$ ). At  $z=0$  the Bessel function diverges logarithmically. This divergence does not describe the Coulomb interaction at small distances. To solve the

problem of singularity, we replace  $z \rightarrow (z^2 + z_o^2)^{1/2}$  [13] using the relation

$\frac{dK_o}{dz} = -K_I$  [11] with a reflected point  $z_o$ , then Eq. (6) becomes:

$$\left( -\frac{dE}{dx} \right) = \left( \frac{2NZ_1^2 Z_2 e^4}{mv^2} \right) \int_{\frac{2\omega z}{v}}^{\infty} dt K_I \left( \sqrt{t^2 + \left( \frac{2\omega z_o}{v} \right)^2} \right) \quad (9)$$

For  $z=0$  the integral can be written in closed form (Eq.(5)). At asymptotic region, i.e at small arguments and from the property of modified Bessel function,  $x K_o(x) K_I(x) \approx \ln\left(\frac{2}{x}\right) - \gamma$ , where  $\gamma = 0.5772$  is Euler's constant, and Eq. (5) reduces to

$$\left( -\frac{dE}{dx} \right) = \left( \frac{2\pi Z_1^2 Z_2 e^4}{mv^2} N \right) \ln\left( \frac{Cv}{\omega z_o} \right) \quad (10)$$

where  $C = 2 \exp(-\gamma) = 1.1229$ .

Bohr's expression for the Bulk stopping power in classical form reads [14].

$$\left( -\frac{dE}{dx} \right) = \left( \frac{4\pi Z_1^2 Z_2 e^4}{mv^2} N \right) \ln\left( \frac{Cmv^3}{Z_1 e^2 \omega} \right) \quad (11)$$

From Esq. (11 and 12) the logarithms have to be equal, i.e.,  $z_o = b/2$ , where  $b$  is the classical collision diameter. With this, Eq. (9) reads as:

$$\left( -\frac{dE}{dx} \right) = \left( \frac{4NZ_1^2 Z_2 e^4}{mv^2} \right) \int_{\frac{2\omega z}{v}}^{\infty} dt K_I \left( \sqrt{t^2 + \left( \frac{2Z_1 e^2 \omega}{mv^3} \right)^2} \right) \quad (12)$$

when one goes through the same steps as in the classical view, the stopping power in quantum firm reads as:

$$\left( -\frac{dE}{dx} \right)_{bulk} = \left( \frac{2NZ_1^2 Z_2 e^4}{mv^2} \right) \sum_i f_i \int_{\frac{2\omega_i z}{v}}^{\infty} dt K_I \left( \sqrt{t^2 + \alpha_i^2} \right) \quad (13)$$

where  $\alpha_i = \left( \frac{C\hbar\omega_i}{mv^2} \right)$

## 2. Stopping power of sub-shell:

To treat the atom on a shell-by-shell basis, so that,

$$\left( -\frac{dE}{dx} \right) = \sum_i \left( -\frac{dE}{dx} \right)_i \quad (14)$$

where the summation over the atomic shells. To simplify the situation we have to rewrite Eq.(13), in terms of the Relative Stopping Power (RSP)

$$\begin{aligned} S_r(v) &= \left( -\frac{dE}{dx} \right) \left( \frac{2NZ_1^2 Z_2 e^4}{mv^2} \right)^{-1} = \sum_i \left( \frac{\omega_i}{Z_i} \right) [S_r(v)]_i \\ &= \sum_i \left( \frac{\omega_i}{Z_i} \right) f_i \int_{\frac{2\omega_i z}{v}}^{\infty} dt K_1 \left( \sqrt{t^2 + \alpha_i^2} \right) \end{aligned} \quad (15)$$

For solving Eq. (15) numerically, use chain rule to separate the integral,

$$S_r(v) = \sum_i \left( \frac{\omega_i}{Z_i} \right) f_i \int_{\frac{2\omega_i z}{v}}^0 dt K_1 \left( \sqrt{t^2 + \alpha_i^2} \right) + \sum_i \left( \frac{\omega_i}{Z_i} \right) f_i \int_0^{\infty} dt K_1 \left( \sqrt{t^2 + \alpha_i^2} \right) \quad (16)$$

Remember that, when  $z \rightarrow 0$ , Eq. (15) reduces to Eq. (5) in quantum form, so that Eq. (16) becomes,

$$S(v_r) = \sum_i f_i \left( \frac{\omega_i z_o}{2v} \right) K_o \left( \frac{\omega_i z_o}{2v} \right) K_1 \left( \frac{\omega_i z_o}{2v} \right) + \sum_i \left( \frac{\omega_i}{Z_i} \right) f_i \int_{\frac{2\omega_i z}{v}}^0 dt K_1 \left( \sqrt{t^2 + \alpha_i^2} \right) \quad (17)$$

Eq. (17) gives the position dependent stopping power of atomic sub-shell, and its application will be illustrate later.

Using a Compaq visual FORTRAN, a program (**Riads0**) [7] which consists of a subroutines calculate the modify Bessel functions  $K_o$  and  $K_1$  together with Gaussian quadratic method for solving the numerical integration.

## 3. Straggling

### 3.1 Close and Distant Collisions:

A general description of the statistical nature of the energy-loss processes in target with randomly distributed atoms has been derived by Bohr (1948) [14].

$$\Omega^2 = \Omega_B^2 = 4\pi N Z_1^2 Z_2 e^4 \Delta x \quad (18)$$

The stopping power and energy straggling of swift ions in individual planes of surfaces

Riyahd K. A. Al-Ani, Khalid A. Ahmad, Khalid S. Ibrahim

Here  $N\Delta x$  is the target density. In other words the energy-loss straggling originates in intrinsic quantum fluctuations at fixed impact parameter and in positional fluctuation. The variance of energy loss distribution with respect to thickness is given by [8]:

$$\frac{d\Omega^2}{dx} = \int d^2 p N(p) \langle T^2(p) \rangle \quad (19)$$

From Eq. (2) we find,

$$\langle T^2 \rangle = \sum_i (\hbar\omega_i)^2 P_i(p) \quad (20)$$

At fixed impact parameter we have  $\langle T^2 \rangle = \langle T \rangle^2$  where  $\langle T \rangle$  is given it's free-Coulomb value and Eq.(19) reduces to known Bohr's value

$$\frac{d\Omega^2}{dx} = 4\pi N Z_I^2 Z_2 e^4 N \quad (21)$$

The distant-collision contribution to straggling differs from the corresponding contribution to the stopping power by a factor  $\hbar\omega_i$  under the sum. This implies that the distant part of the position-dependent straggling can be constructed from the corresponding expression for the stopping power Eq.(13) by insertion of the factor. This yield:

$$\left( \frac{d\Omega^2}{dx} \right)_{dis.} = \left( \frac{2NZ_I^2 Z_2 e^4}{mv^2} \right) \sum_i \left( \frac{\omega_i}{Z_i} \right) f_i(\hbar\omega_i) \int_{\frac{2\omega_i z}{v}}^{\infty} dt K_I \left( \sqrt{t^2 + \alpha_i^2} \right) \quad (22)$$

If we follow the same procedures in solving the integration in Eq.(15), rewrite Eq.(22) in the following form:

$$\left( \frac{d\Omega^2}{dx} \right)_{dist} = \left( \frac{2NZ_I^2 Z_2 e^4}{mv^2} \right) \sum_i \left( \frac{\omega_i}{Z_i} \right) f_i(\hbar\omega_i) \left[ \int_{\frac{2\omega_i z}{v}}^0 dt K_I \left( \sqrt{t^2 + \alpha_i^2} \right) + \int_0^{\infty} dt K_I \left( \sqrt{t^2 + \alpha_i^2} \right) \right] \quad (23)$$

The second term equal the second integral in Eq.(16) multiply by  $(\hbar\omega_i)$ , so the quantum contribution to straggling parameter relative to Bohr straggling according to Eq.(21) can takes the following form after rewriting Eq. (23),

$$\frac{\Omega^2}{\Omega_B^2} = \sum_i \left( \frac{\omega_i}{Z_i} \right) f_i(\hbar\omega_i) \left( \frac{\omega_i z_o}{2v} \right) K_o \left( \frac{\omega_i z_o}{2v} \right) K_I \left( \frac{\omega_i z_o}{2v} \right) + \\ \sum_i \left( \frac{\omega_i}{Z_i} \right) f_i(\hbar\omega_i) \int_{\frac{2\omega_i z}{v}}^0 dt K_I \left( \sqrt{t^2 + \alpha_i^2} \right) \quad (24)$$

The applicable of Eq.(24) is on finding shell-by shell atomic energy straggling and some examples will be given in the next section using the program (**Riads0**) [ 7 ].

## RESULTS AND DISCUSSION

### 1. Relative Stopping Power:

A program (**Riads0**) [ 7 ] is used to find the position dependent Relative Stopping Power (RSP) either from Eq.(12) or from Eq.(16). Fig.(2) illustrates position dependent of the relative stopping power at close-collision at different values of  $(2\omega z_o/v) = 0.01, 0.02, 0.05, 0.1, 0.2, 0.5$  and  $1.0$ . Fig. (2) demonstrates that the behavior at small cruising altitudes ( $z < z_o$ ) deviate more or less from the asymptotic behavior i.e, the variation of the relative stopping power with  $(2\omega z/v)$  approaches a linear at larger altitudes.

The following example illustrates the significant differences between inner and outer shells for the relative stopping power  $S_r(v)$  using Eq.(17). Oscillator strength  $f_i$  and the angular frequency of the  $i$ th.-shell ( $\omega_i$ ) have been taken from Sabin,1984 [ 17 ], where,  $(\omega_i)$  is given by the following equation:

$$\omega_i = \left( \frac{n_i}{2} \right) (1 + f_i) = \frac{I}{2} (n_i + n_i f_i).$$

then,

$$n_i f_i = 2\omega_i - n_i \quad (25)$$

where  $n_i f_i$  is the total oscillator strength and  $n_i$  is the number of electron in the  $i$ th.-shell. Table (1) shows the electron configuration and parameters:

The stopping power and energy straggling of swift ions in individual planes of surfaces

Riyahd K. A. Al-Ani, Khalid A. Ahmad, Khalid S. Ibrahim

(Ionization potential,  $\hbar\omega_i = I_i(eV)$ , the angular frequency,  $\omega_i$ , and number of electron,  $n_i$ ) for Aluminum , Al, silicon, Si, copper, Cu, and germanium, Ge.

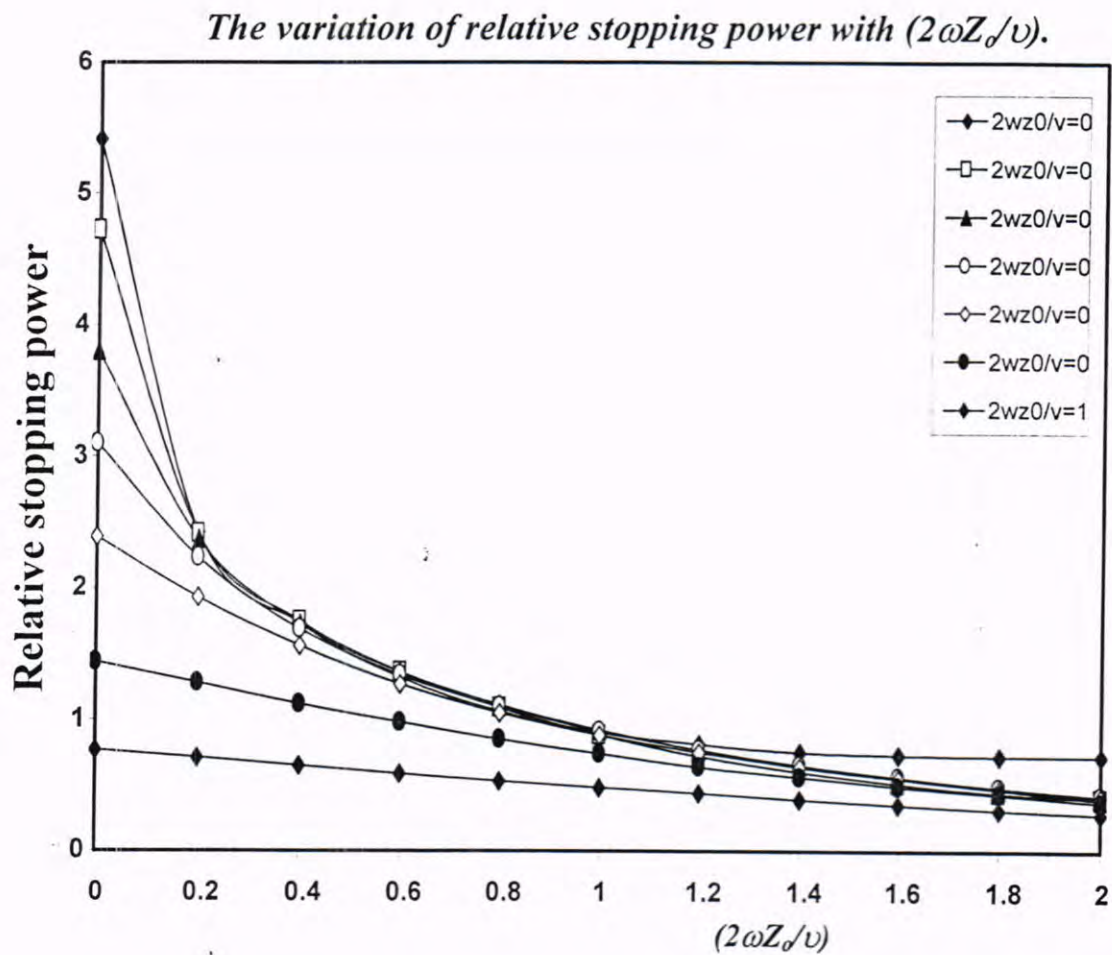


Fig. (2)Position-dependent of relative stopping power at close-collisions  
(labels denote values of  $(2\omega Z_0/v)$ ).

**Table (1) Orbital weight factors  $\omega_i$  and mean excited energies  $I_i$  for Al, Si, Cu and Ge calculated from Sabin(1984) [15]**

Al(z=13)	1S <sup>2</sup>	2S <sup>2</sup>	2P <sup>6</sup>	3S <sup>2</sup>	3P			
$I_i$ (eV)	1373.0	187.2	221.2	9.003	4.849			
$\omega_i$	1.773	1.677	6.487	1.909	1.153			
$n_i$	2	2	6	2	1			
Si(z=14)	1S <sup>2</sup>	2S <sup>2</sup>	2p <sup>6</sup>	3S <sup>2</sup>	3P <sup>2</sup>			
$I_i$ (eV)	1497.54	226.08	278.63	14.56	8.87			
$\omega_i$	1.758	1.694	6.474	1.775	2.299			
$n_i$	2	2	6	2	2			
Cu(z=29)	1S <sup>2</sup>	2S <sup>2</sup>	2P <sup>6</sup>	3S <sup>2</sup>	3P <sup>6</sup>	4S <sup>2</sup>	3d <sup>9</sup>	
$I_i$ (eV)	3382.26	1010.46	1336.95	165.20	165.77	5.52	144.29	
$\omega_i$	1.629	1.685	5.744	1.523	4.770	1.245	12.404	
$n_i$	2	2	6	2	6	2	9	
Ge(z=32)	1S <sup>2</sup>	2S <sup>2</sup>	2P <sup>6</sup>	3S <sup>2</sup>	3P <sup>6</sup>	3d <sup>10</sup>	4S <sup>2</sup>	4P <sup>2</sup>
$I_i$ (eV)	3650.75	1145.35	1434.24	214.33	225.58	295.59	13.91	8.13
$\omega_i$	1.631	1.691	5.692	1.566	4.891	12.459	1.779	2.381
$n_i$	2	2	6	2	6	10	2	2
i	1	2	3	4	5	6	7	8

The stopping power and energy straggling of swift ions in individual planes of surfaces

Riyahd K. A. Al-Ani, Khalid A. Ahmad, Khalid S. Ibrahim

Figs.(3, 4) show the relative stopping power (RSP) for the outer and inner shells of the proton in Al and si at different velocities,  $v = v_0$ ,  $2.5v_0$ ,  $5v_0$  and  $10v_0$ , where  $v_0$  is Bohr's velocity. At  $v = 10v_0$  the bulk behavior around  $z=0$ , where the stopping power is dominated by 2p electrons, toward large distances where valence excitations dominate. The influence of 2p electrons is still visible at  $v = 2.5v_0$  but they do not dominate at any distance, and at  $v = v_0$  only valence electrons contribute to stopping. While in Figs.(5, 6) the relative stopping power of proton in Cu and in Ge is dominated by 3d electrons at  $z=0$ , toward large distances where valence excitations dominate. Also the influence of 2d electrons is still visible at  $v = 2.5v_0$  but they do not dominate at any distance, and at  $v = v_0$  only valence electrons contribute to stopping.

Fig. (7) illustrate total position-dependent stopping powers for the same system (Al, si, Cu and Ge). A nearly exponential decrease is seen in all four cases, consistent with theoretical results reported in Refs. [16,17]. The slope decreases with increasing  $z$  because of an increasing adiabatic radius. This feature is in good qualitative agreement with experimental observations reported in [18].

Esq.(9) and (13) express the stopping power of an ion moving parallel to the surface both inside and outside. The long-range behavior, as expresses by Eq. (6), is well established and has been explored quantitatively [16,19]. Figs.(3), (4), (5) and (6) confirms the dominating role of low excitation level at large distance. The regime is well described by dispersion theory, especially when the surface plasmon is properly allowed for Fig. (2) demonstrate that the behavior at small cruising altitude ( $z < z_o$ ) deviate more or less drastically from the asymptotic behavior predicted by the dipole approximation.

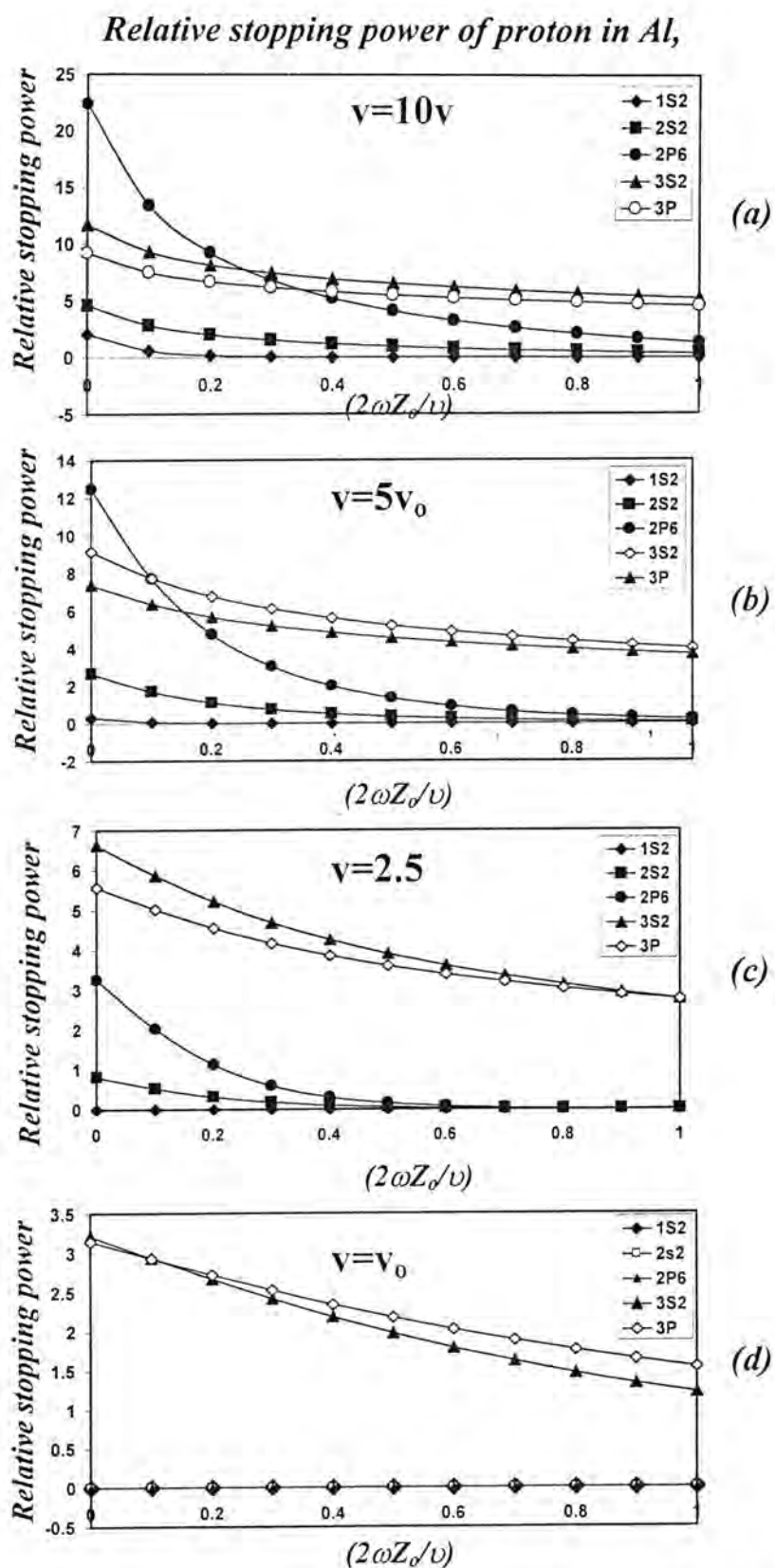


Fig.(3) Position-dependent of relative stopping power for sub shells of atomic Al. (a)  $v=10v_0$ , (b)  $v=5v_0$ , (c)  $v=2.5v_0$ , (d)  $v=v_0$

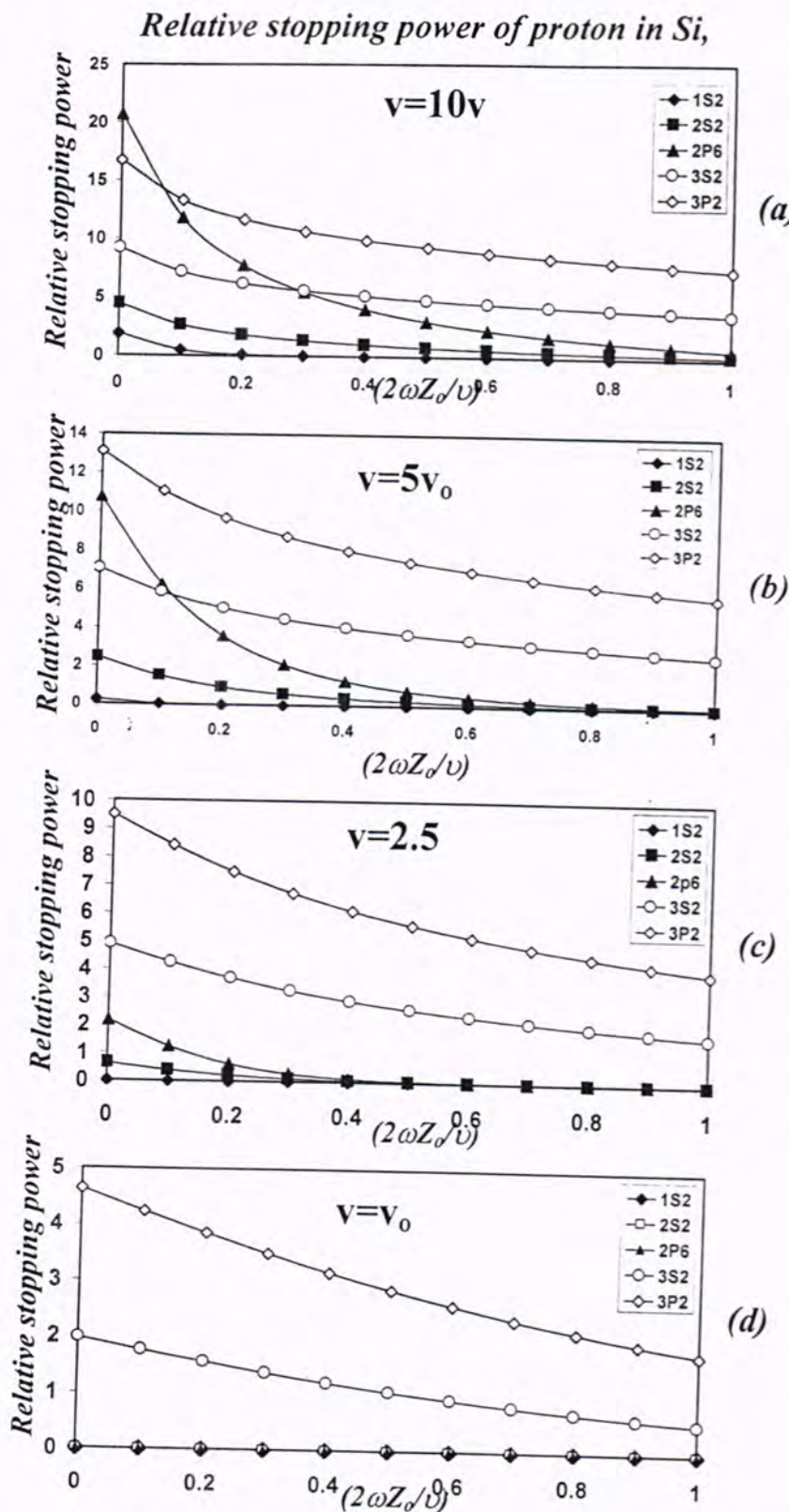


Fig.(4) Position-dependent of relative stopping power for sub shells of atomic Silicon. (a)  $v=10v_0$ , (b)  $v=5v_0$ , (c)  $v=2.5v_0$ , (d)  $v=v_0$

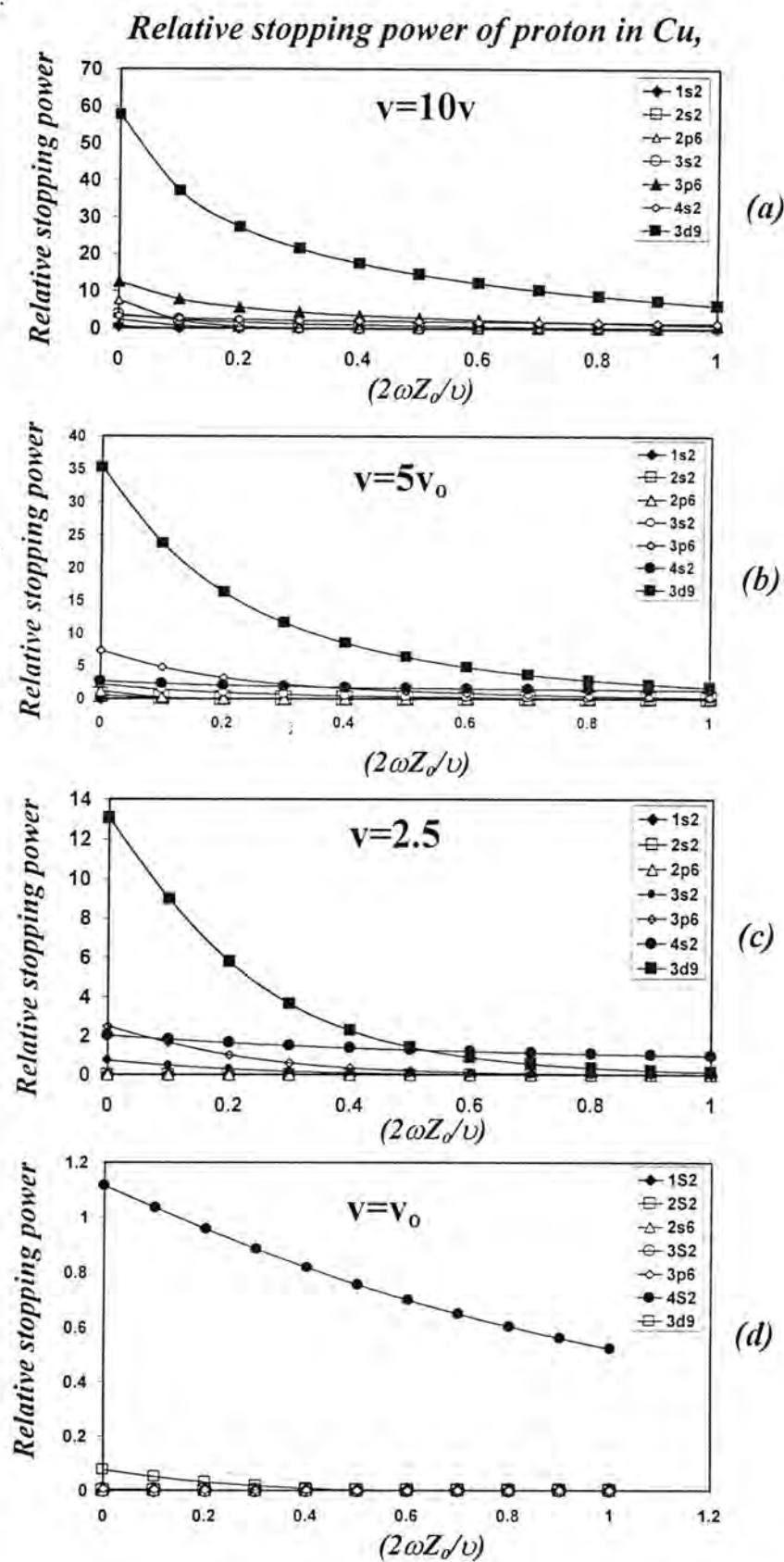


Fig.(5) Position-dependent of relative stopping power for sub shells of atomic Copper. (a)  $v=10v_0$ , (b)  $v=5v_0$ , (c)  $v=2.5v_0$ , (d)  $v=v_0$

*Relative stopping power of proton in Ge,*

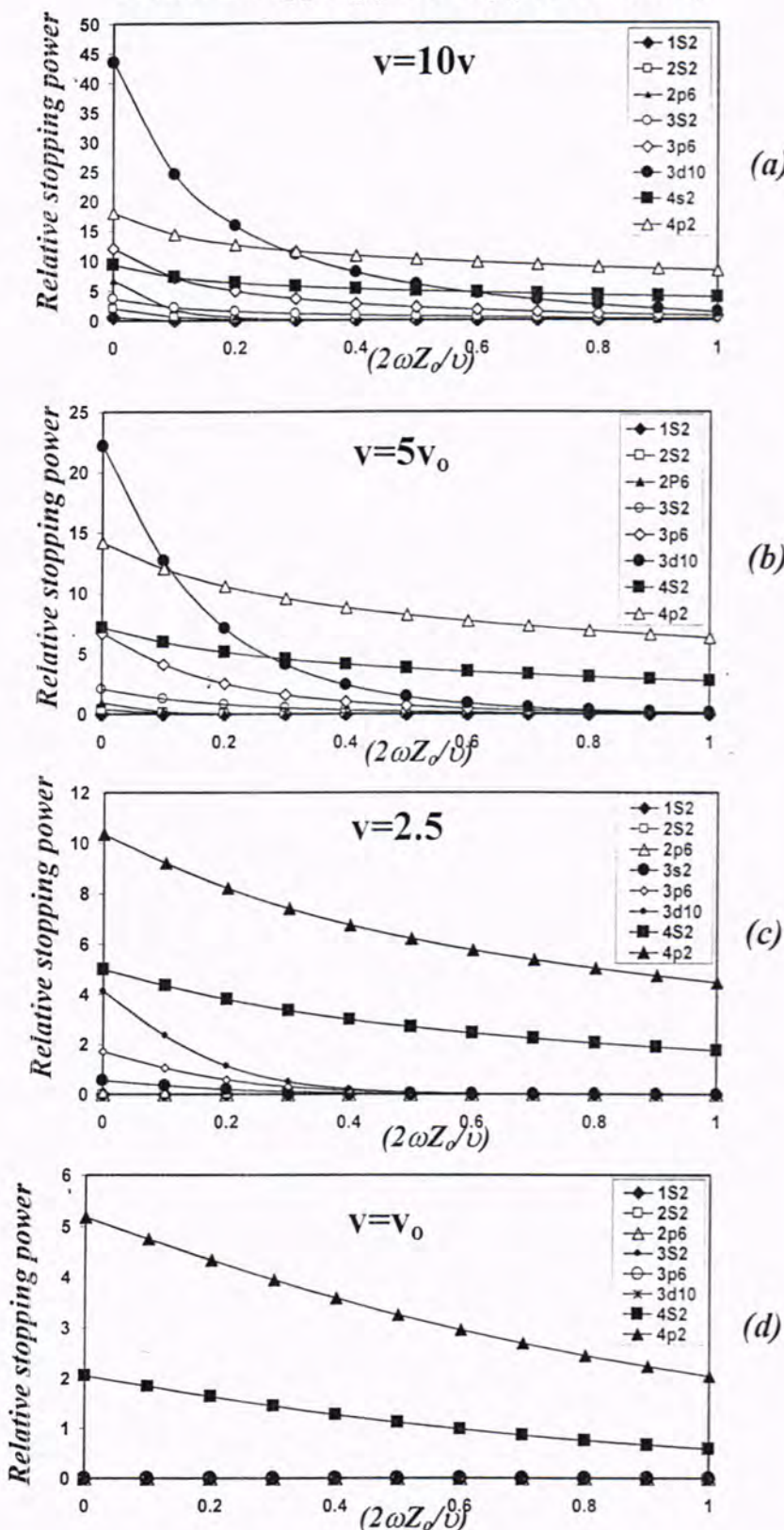


Fig.(6) Position-dependent of relative stopping power for sub shells of atomic Germanium. (a)  $v=10v_0$ , (b)  $v=5v_0$ , (c)  $v=2.5v_0$ , (d)  $v=v_0$

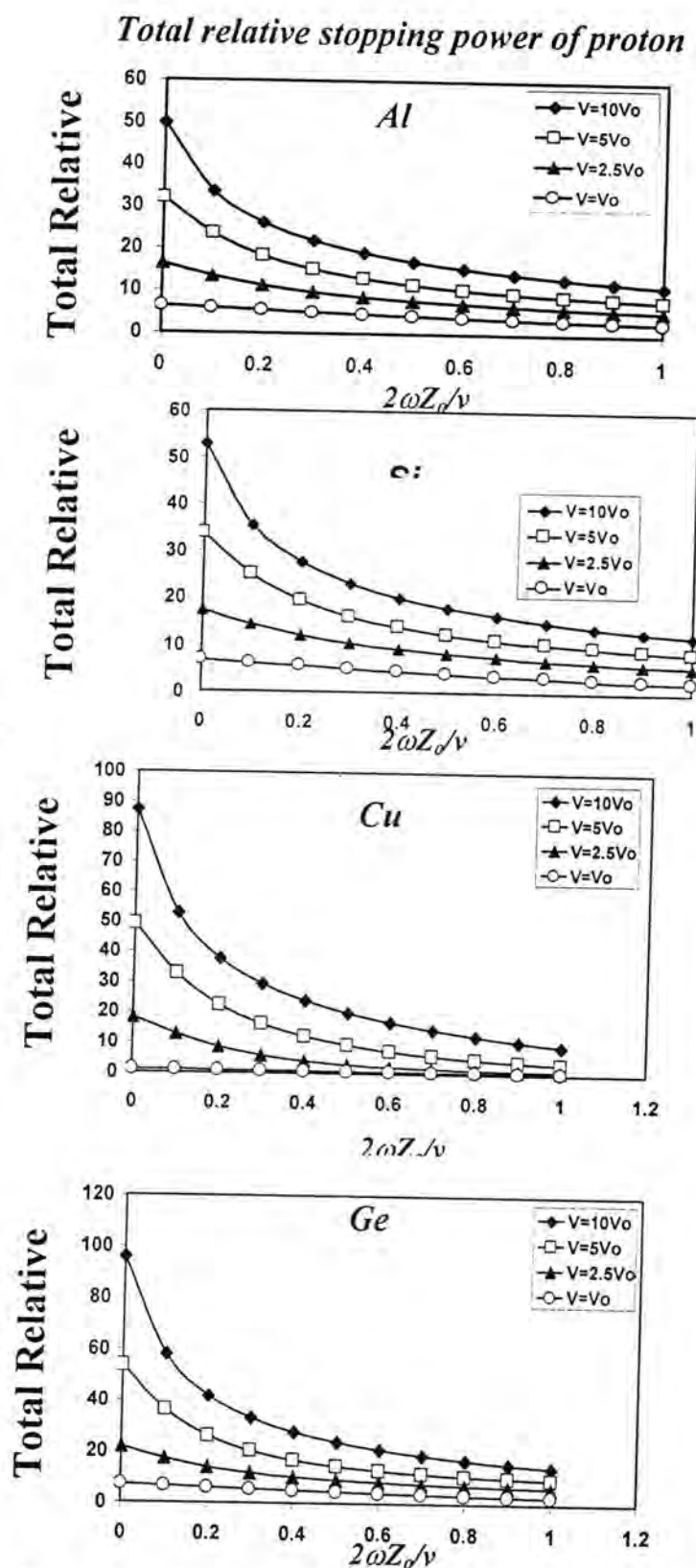
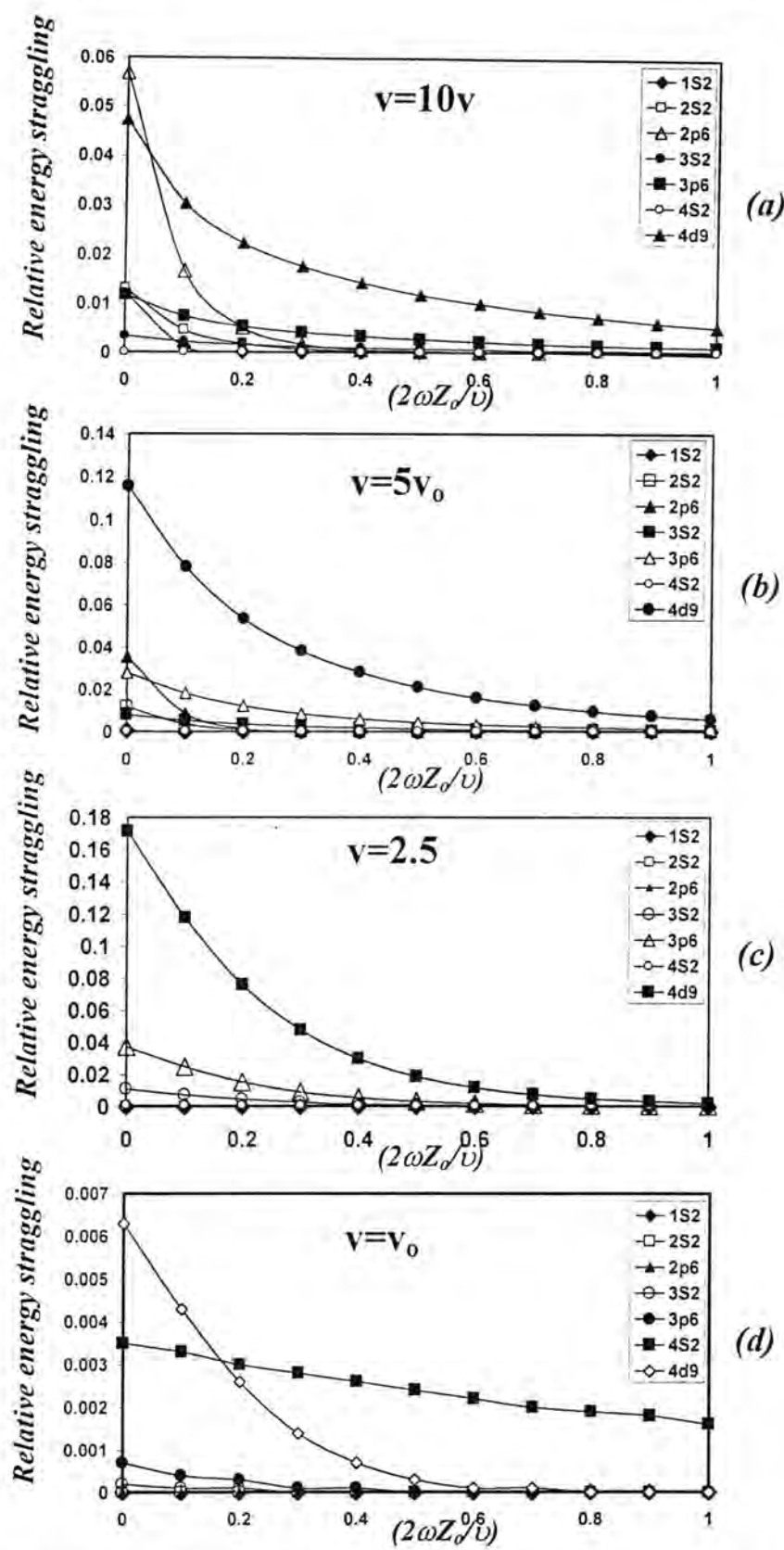


Fig.(7)Position-dependent of relative stopping power for sub shells of atomic Al, Si, Cu, and Ge at four projectile speeds.

## 2. Relative Energy Straggling

The energy straggling relative to Bohr energy straggling ( $\Omega^2 / \Omega_B^2$ ) of individual atomic shells can be calculated from Eq. (24). Another example illustrates the relative significance of inner and outer electrons for the relative energy straggling, using the program (**Riads0**) [7] and the information in Table (1). Figs. (8, 9, 10, 11) illustrate the energy straggling relative to Bohr energy straggling ( $\Omega^2 / \Omega_B^2$ ) in each atomic shell of Al, Si, Cu and Ge at different velocities ( $v = 10v_0$ ,  $v = 5v_0$ ,  $v = 2.5v_0$  and  $v = v_0$ ). Figs. (8(a)), (9(a)) and (10(a)) ( $v = 10v_0$ ) illustrate the transition bulk behavior at around  $z=0$ , where the relative energy straggling is dominated by 2p electrons, toward large distances where the valence excitations dominate. The influence of 2p electrons is still visible at  $v = 2.5v_0$  (Figs. (8(b), 9(b), 10(b))) but they do not dominate at any distance, and at  $v = v_0$  only valence electrons contribute to straggling (Figs. (8(c), 9(c), 10(c), 11(c))). In Figs. (11(a), 11(b), 11(c)) illustrate the transition from bulk behavior around  $z=0$ , where the relative energy straggling is dominated by 3d, while in Fig. (11(d)) 4s is dominated.



**Fig.(10)**Position-dependent of relative energy straggling for sub shells of atomic Cu. (a)  $v=10v_0$ , (b)  $v=5v_0$ , (c)  $v=2.5v_0$ , (d)  $v=v_0$

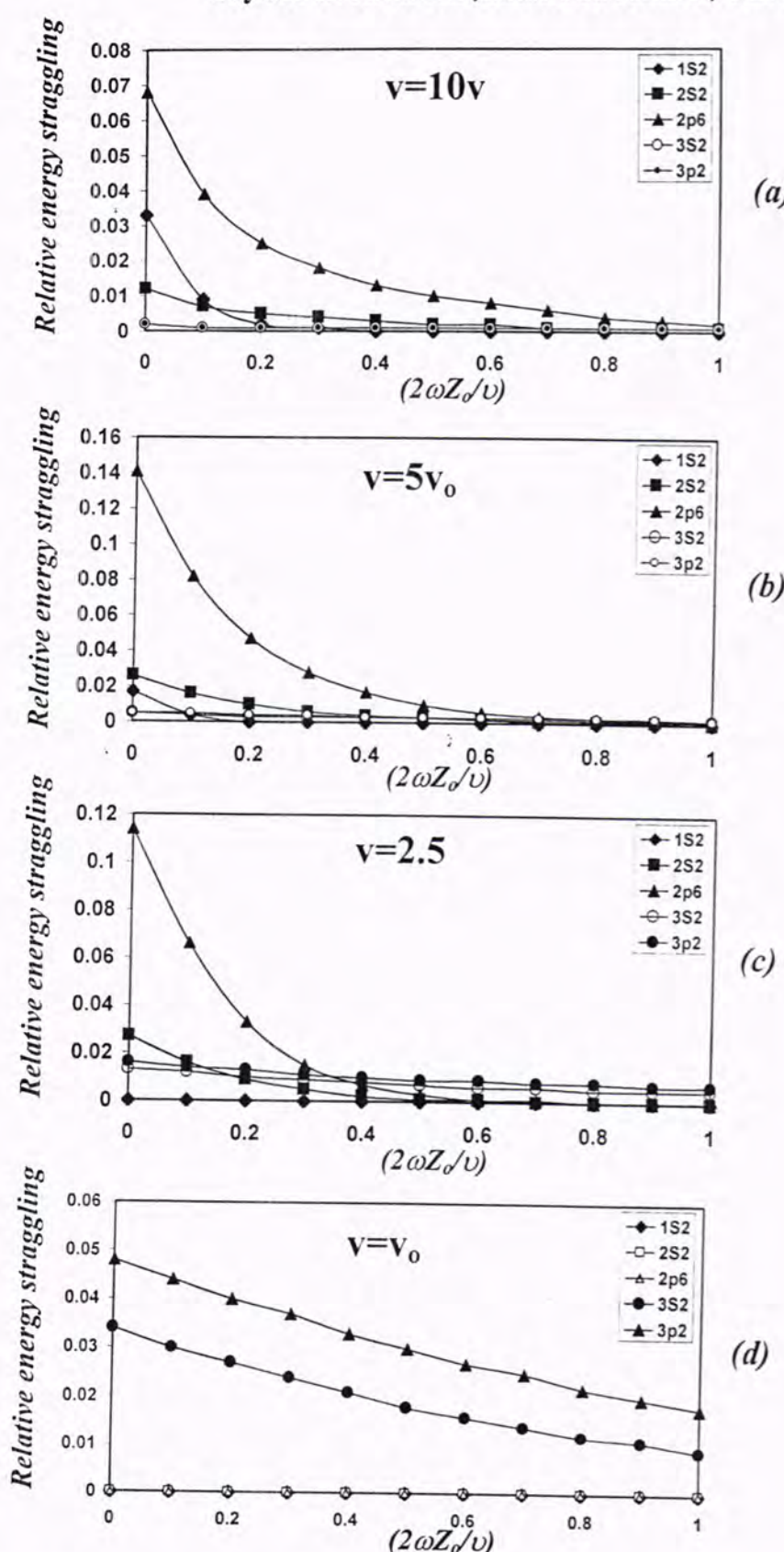


Fig.(9) Position-dependent of relative energy straggling for sub shells of atomic Si. (a)  $v=10v_0$ , (b)  $v=5v_0$ , (c)  $v=2.5v_0$ , (d)  $v=v_0$

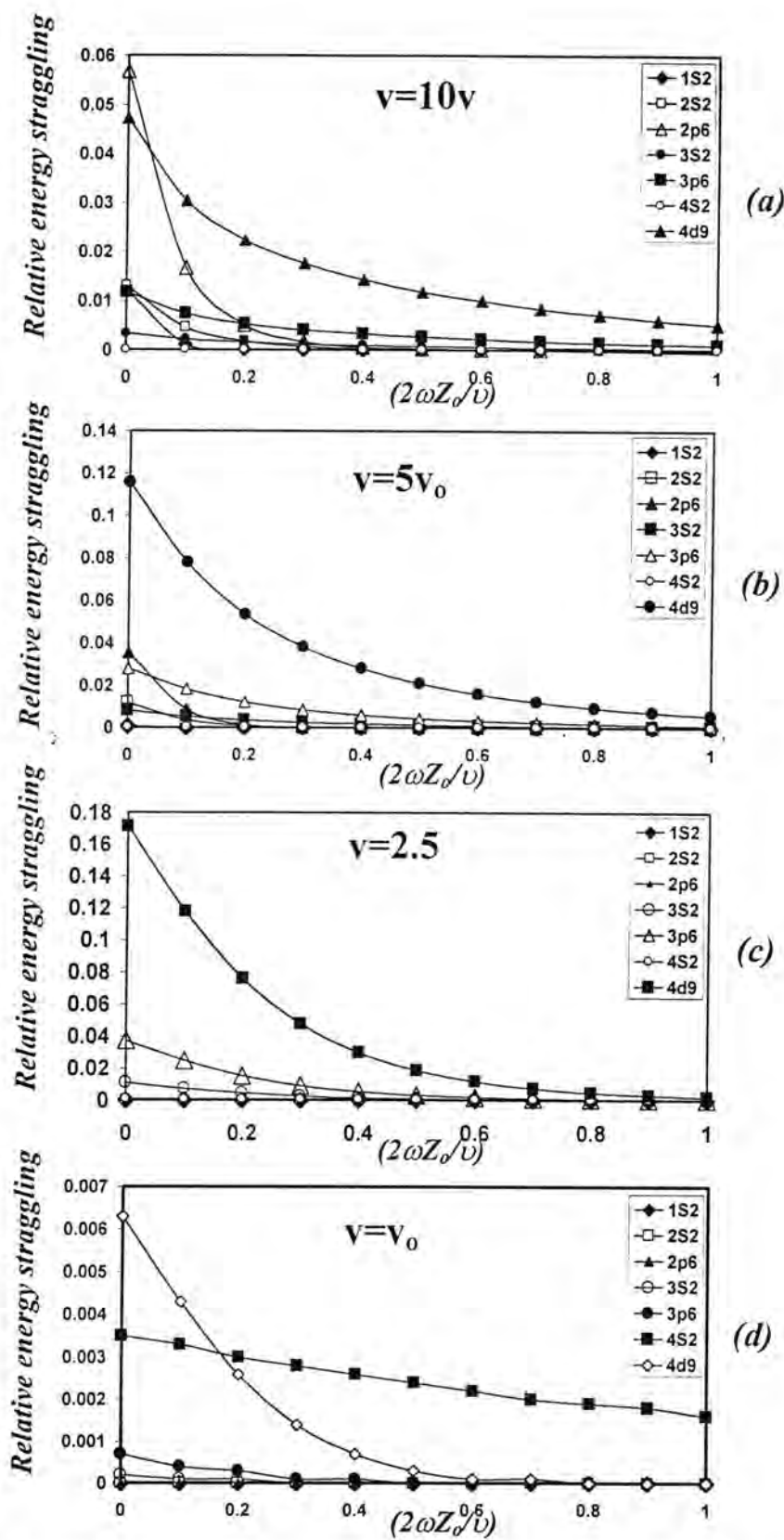


Fig.(10)Position-dependent of relative energy straggling for sub shells of atomic Cu. (a)  $\nu=10\nu_0$  , (b)  $\nu=5\nu_0$  , (c)  $\nu=2.5\nu_0$  , (d)  $\nu=\nu_0$

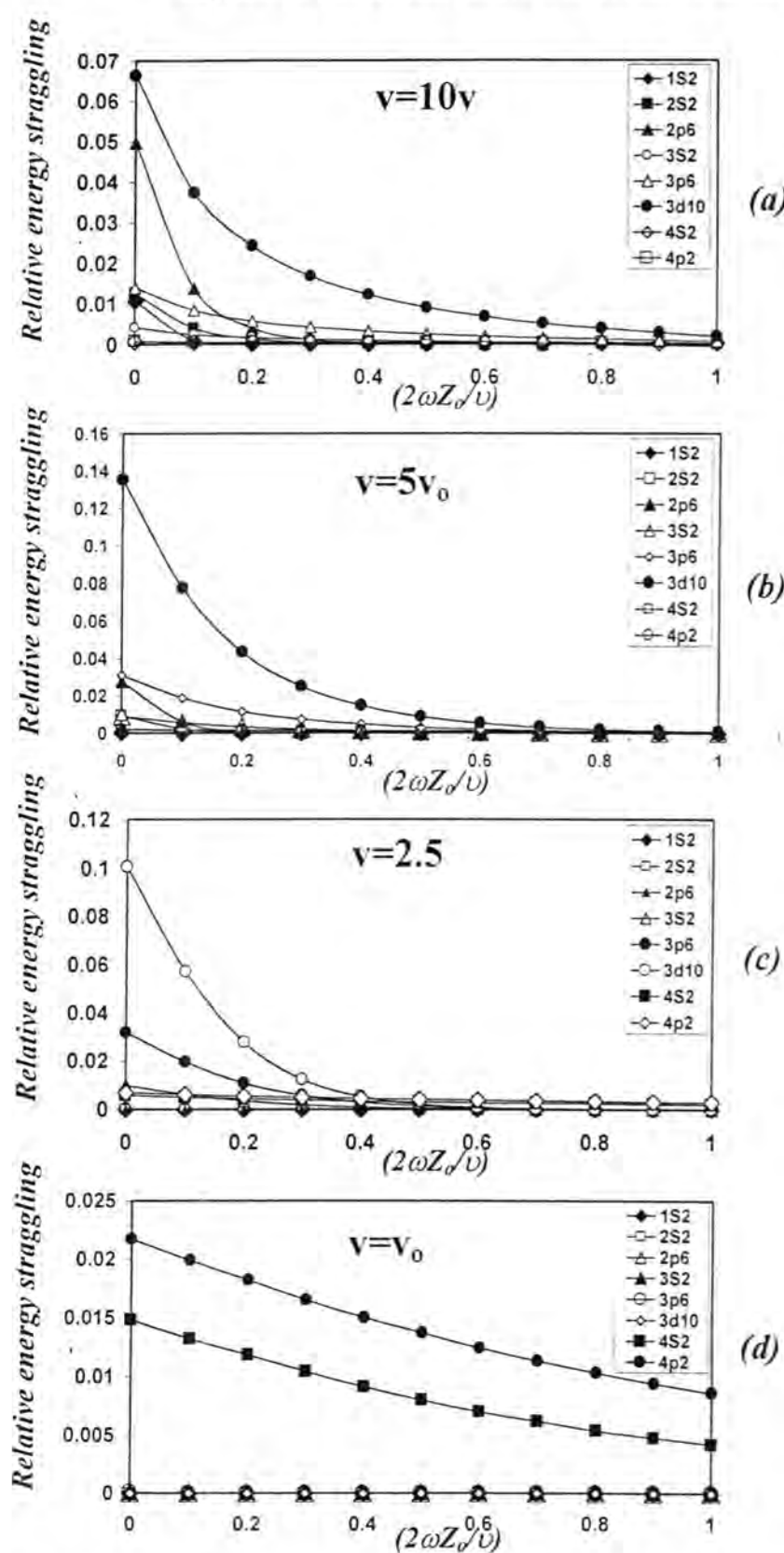


Fig.(11)Position-dependent of relative energy straggling for sub shells of atomic Ge. (a)  $v=10v_0$ , (b)  $v=5v_0$ , (c)  $v=2.5v_0$ , (d)  $v=v_0$

Figs. (12, 13, 14, 15) illustrate the energy straggling relative to Bohr energy straggling ( $\Omega^2 / \Omega_B^2$ ) in atomic sub-shell 1s, 2s+2p, 3s+3p, 3s+3p+3d, 4s and total straggling of Al, si, Cu and Ge at four velocities ( $v = 10v_o$ ,  $v = 5v_o$ ,  $v = 2.5v_o$  and  $v = v_o$ ). At velocity  $v = 10v_o$  the inner shell-1s for Al, si, Cu and Ge is visible and drop off rapidly in the region  $z > 0$  of the bulk material. For Cu and Ge, material at proton velocities  $v = 5v_o$ ,  $v = 2.5v_o$  and  $v = v_o$ , there is no contribution to this sub-shell, while for Al and Si is still visible and decreases off rapidly at  $z > 0$ . The sub-shell 2s+2p for Al, Si and Cu at velocity  $v = 10v_o$  is dominant and decreases exponentially toward large distances, while for Ge is visible but not dominant and decreases exponentially toward distances  $z > 0$ . At velocities  $v = 5v_o$  and at  $v = 2.5v_o$  this sub-shell is still dominant for Al and Si but there is no contribution to Cu and Ge at velocity  $v = 2.5v_o$ . At low velocity  $v = v_o$  there is no contribution to the sub-shell 2s+2p for Al, Si, Cu and Ge. The sub-shell 3s+3p is visible but contribute poorly for Al and Si at velocities ( $v = 10v_o$ ,  $v = 5v_o$  and  $v = 2.5v_o$ ) but it is dominant at velocity  $v = v_o$ . The sub-shell 3s+3p+3d for Cu and Ge is visible and decreases exponentially toward  $z > 0$  at velocity  $v = 10v_o$ , while this sub-shell for Cu is dominant at velocities ( $v = 5v_o$ ,  $v = 2.5v_o$  and  $v = v_o$ ). Finally the sub-shell 4s is not visible at four velocities ( $v = 10v_o$ ,  $v = 5v_o$ ,  $v = 2.5v_o$  and  $v = v_o$ ) and the sub-shell 4s+4p for the Ge is dominant at the four velocities ( $v = 10v_o$ ,  $v = 5v_o$ ,  $v = 2.5v_o$  and  $v = v_o$ ).

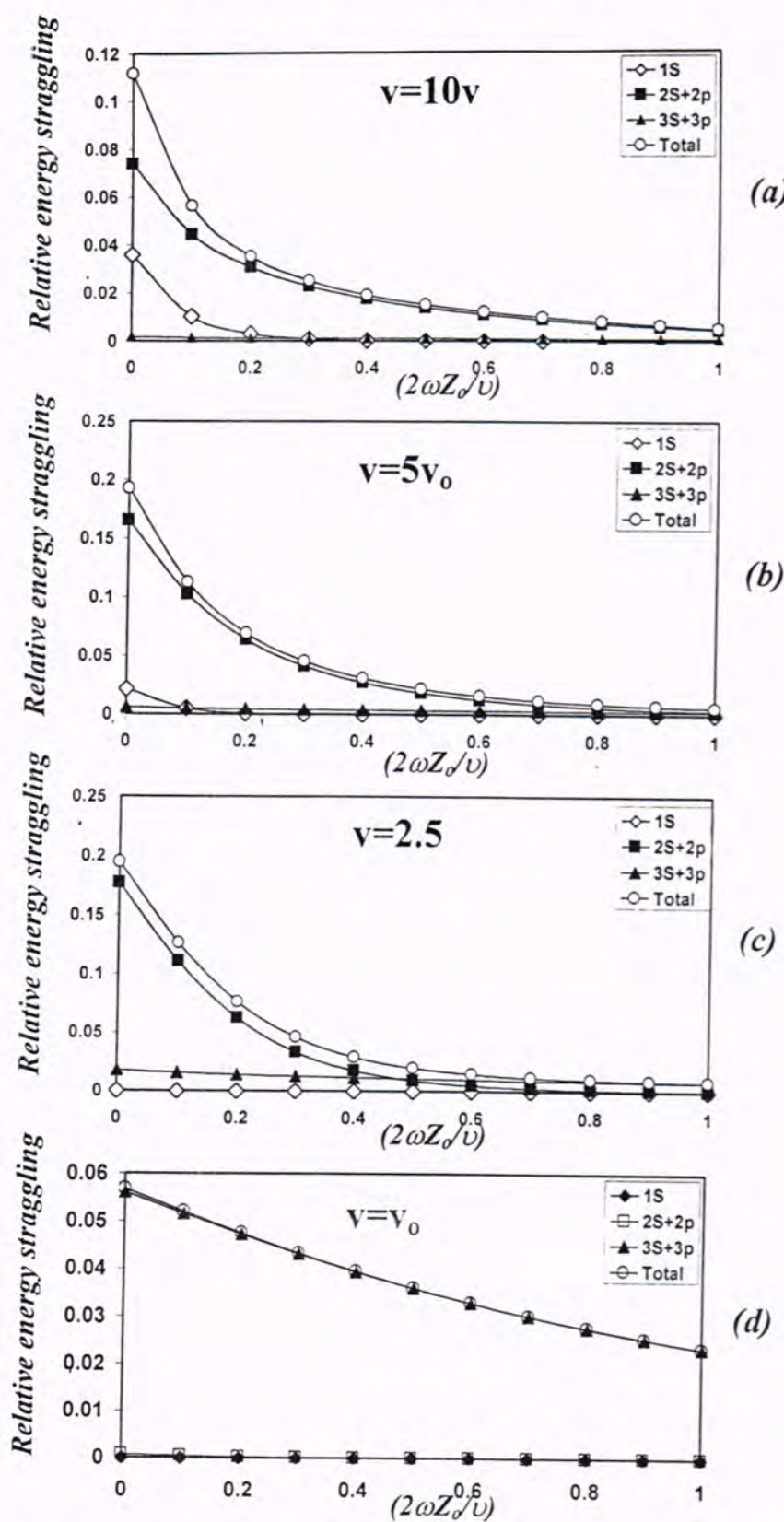


Fig.(12) Straggling parameter relative to Bohr's straggling for Al.  
 (a)  $v=10v_0$ , (b)  $v=5v_0$ , (c)  $v=2.5v_0$ , (d)  $v=v_0$

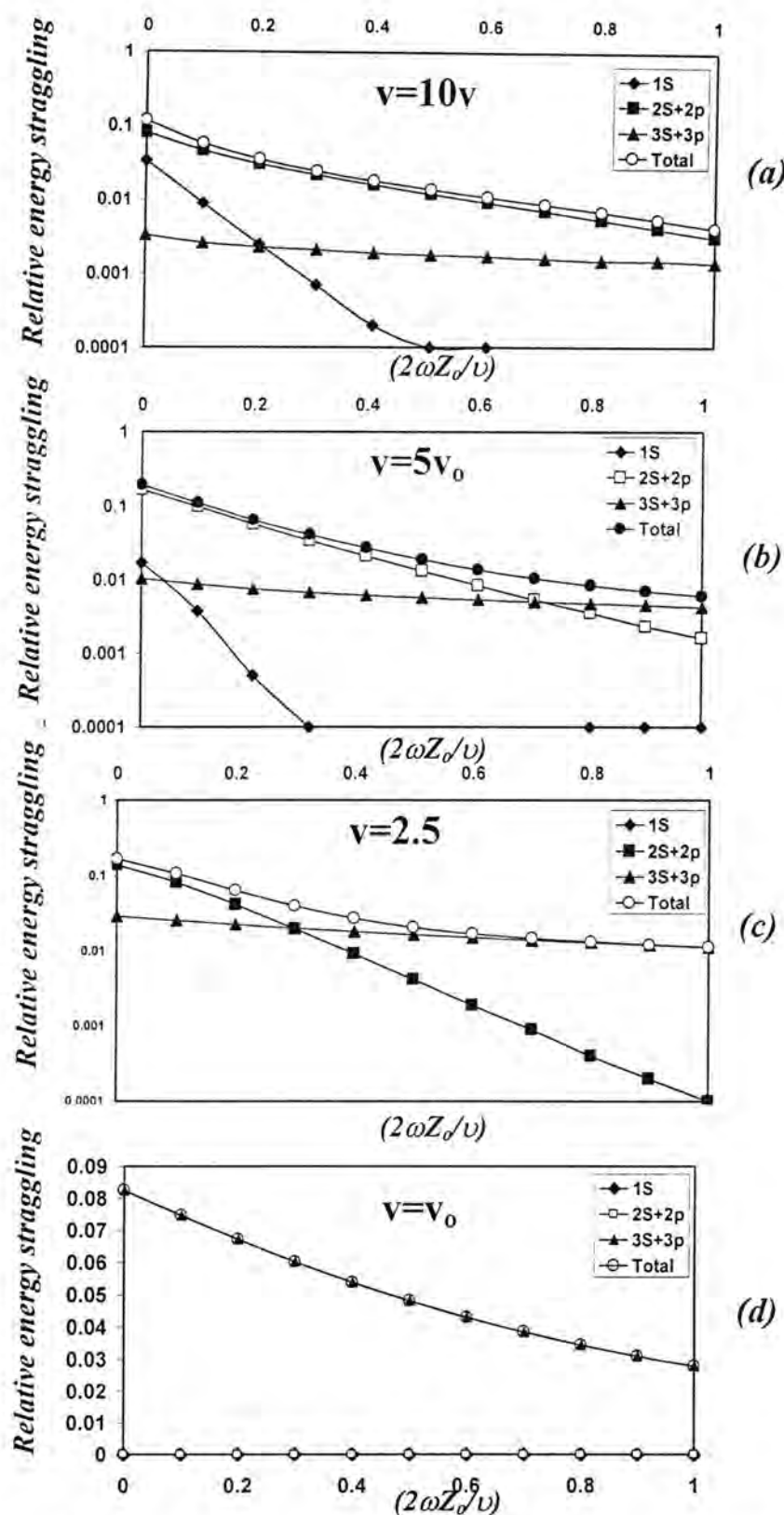


Fig.(13) Straggling parameter relative to Bohr's straggling for Si.  
 (a)  $v=10v_0$ , (b)  $v=5v_0$ , (c)  $v=2.5v_0$ , (d)  $v=v_0$

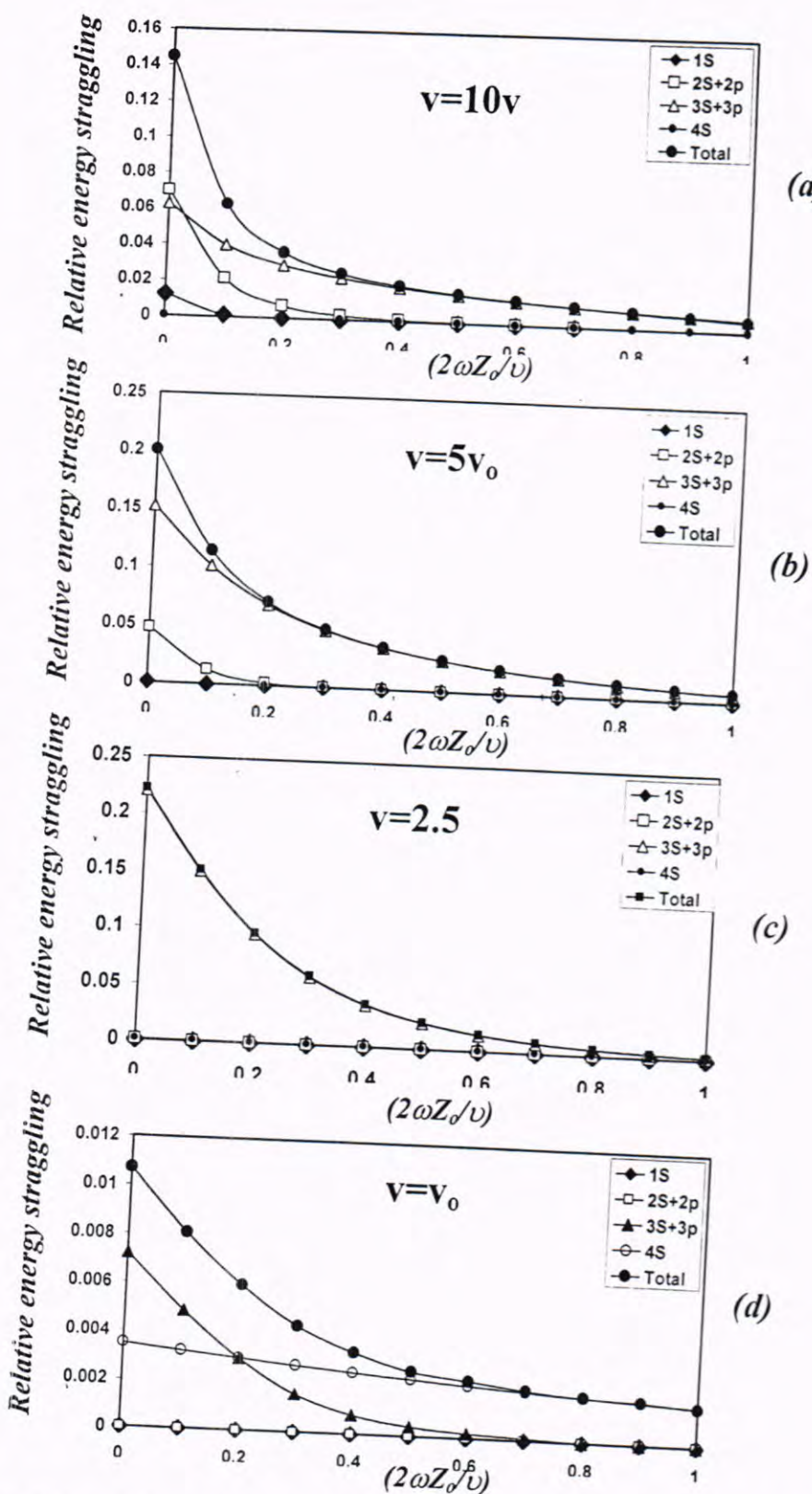


Fig.(14) Straggling parameter relative to Bohr's straggling for Cu.  
 (a)  $v=10v_0$ , (b)  $v=5v_0$ , (c)  $v=2.5v_0$ , (d)  $v=v_0$

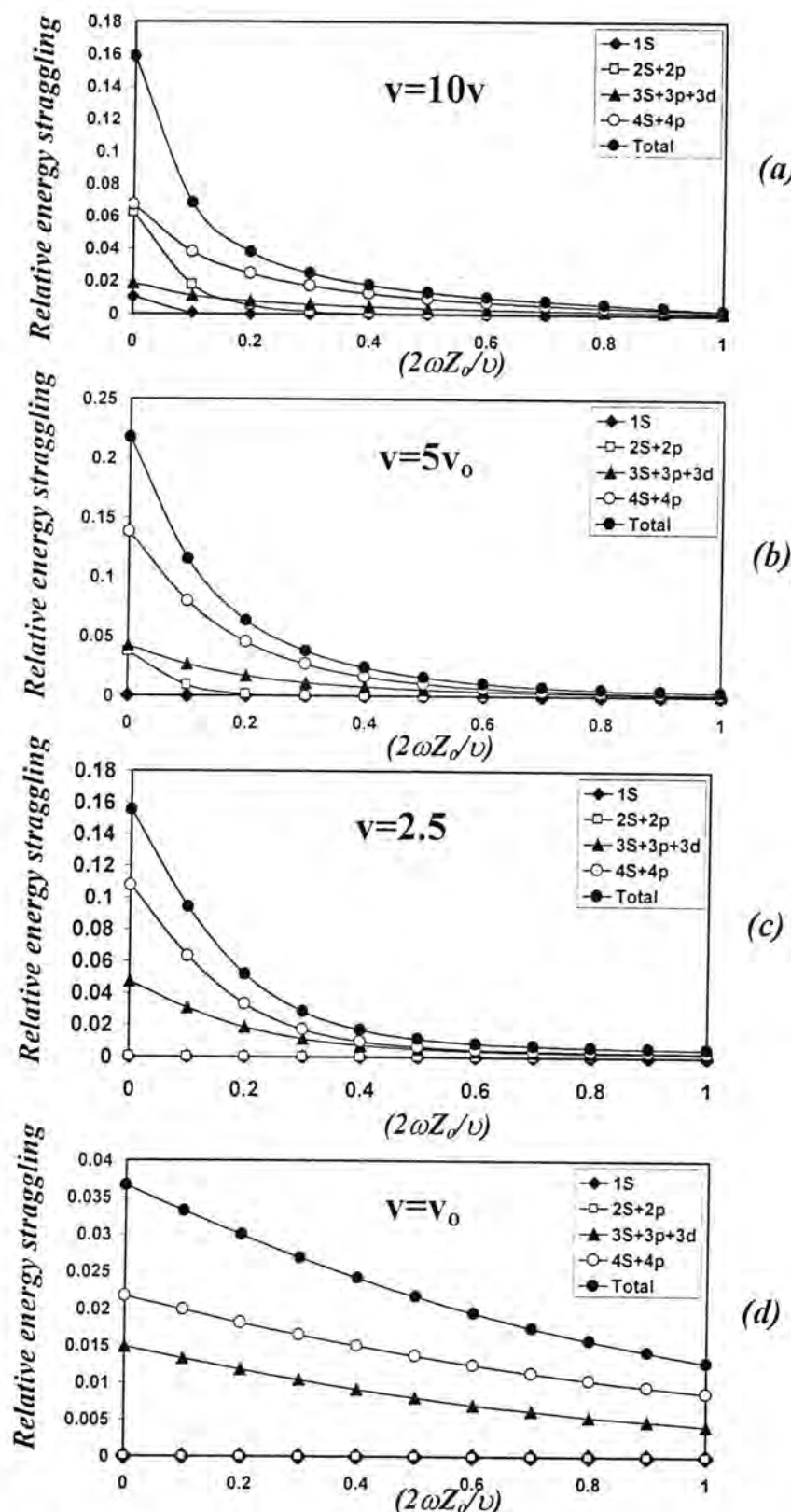


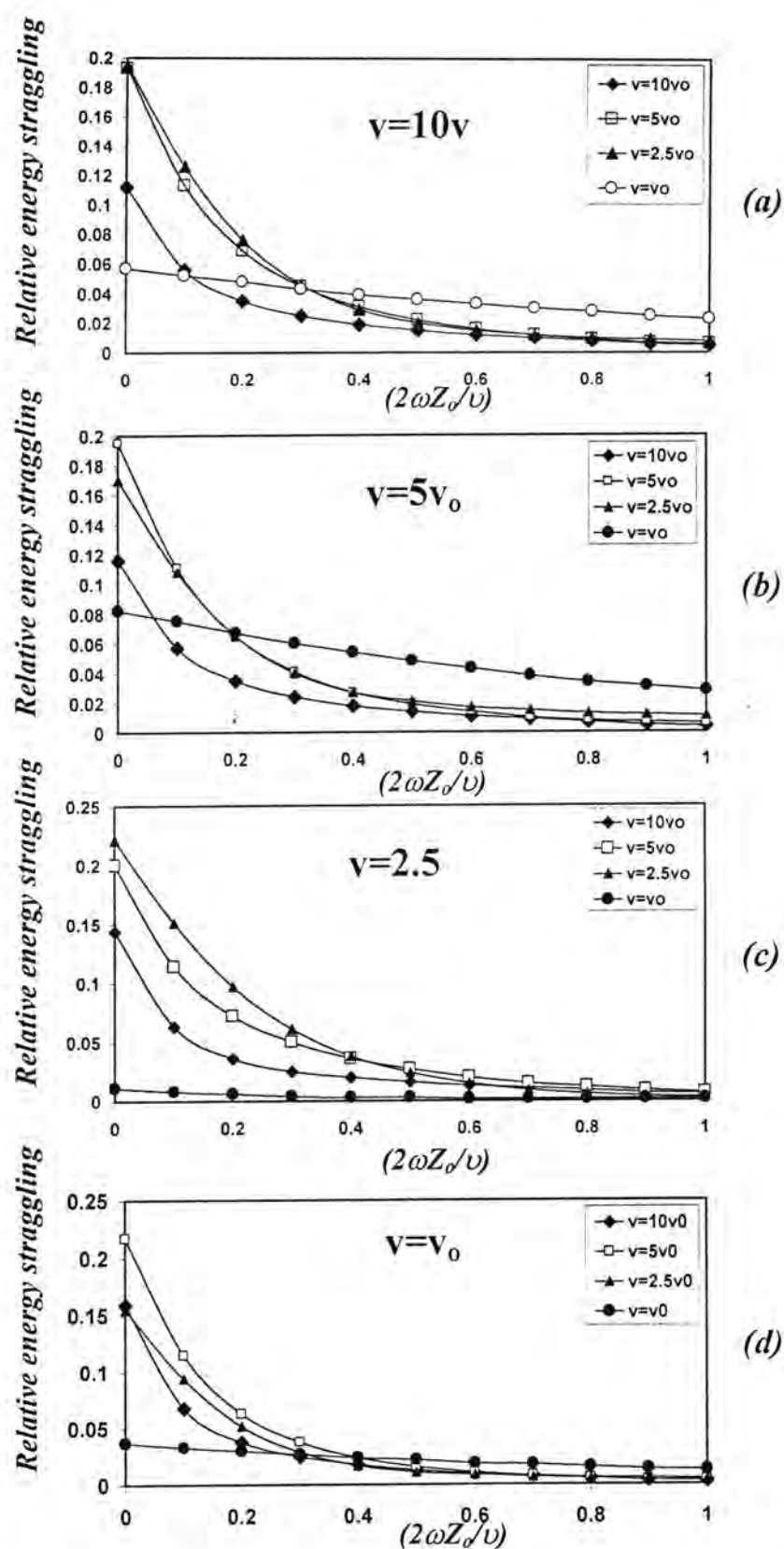
Fig.(15) Straggling parameter relative to Bohr's straggling for Ge.  
 (a)  $v=10v_0$ , (b)  $v=5v_0$ , (c)  $v=2.5v_0$ , (d)  $v=v_0$

The stopping power and energy straggling of swift ions in individual planes of surfaces

Riyahd K. A. Al-Ani, Khalid A. Ahmad, Khalid S. Ibrahim

In short words from Figs. (12, 13, 14, 15) it is seen that the contribution from the inner drop shells drop off rapidly but the 2s+2p, 3s+3p, 3s+3p+3d and 4s+4p electrons produce an exponential tail which decreases very slowly and at  $z \approx 1\text{A}^\circ$ , still account for  $10^{-3}$  Bohr straggling. This feature entered the analysis of Ref. [20] but was found to be less prominent there.

Figs. (16(a), (b), (c) and (d)) illustrate total position-dependent energy straggling relative to Bohr energy straggling ( $\Omega^2 / \Omega_B^2$ ) for Al, si, Cu and Ge at different velocities ( $v = 10v_0$ ,  $5v_0$ ,  $2.5v_0$  and  $v = v_0$ ). A nearly exponential decrease is seen in all four cases, consistent with theoretical results reported in Refs.[16,18]. The slope decreases with increasing  $z$  because of an increasing adiabatic radius. This good qualities is in agreement with experimental observations reported in [20].



**Fig.(16) Total straggling parameter relative to Bohr's straggling for Al, Si, Cu and Ge at four projectile velocities .**

## REFERENCES

1. Kimura, K., Hasegawa, M. and Mannami, M., "Energy loss of MeV light ions specularly reflected from a SnTe(001) surface", Phys. Rev. B36 (1987) 7.
2. Winter, H., J. Phys.: Condense Matter, " Image charge effects in ion surface scattering", 8 (1996) 10149.
3. Scolani, A. and Arista, N.R., "Impact-parameter dependence of the electronic energy loss of protons in collisions with atoms", Phys. Rev. A33 (1986) 2352.
4. Mikkelsen, H. and Sigmund, P., "Impact parameter dependence of electronic energy loss: Oscillator model", Nucl. Instr. & Meth. B27 (1987) 266.
5. Grande, P.L. "Impact-parameter dependence of the electronic energy loss of fast ions", Phys. Rev. A58 (1998) 3796.
6. Dze, G., Azevedo, M., Grande,P.L. and Schiwietz,G. "Impact-parameter dependent energy loss of screened ions", Nucl. Instr. & Meth. B164 (2000) 203.
7. Al-Ani, R., 'Forces, energy loss and straggling on swift ion near plane surfaces', Al-Mustansirya University, PhD thesis, 2002
8. Sigmund, P., "Forces on swift ions near plane surfaces", Nuclear Inst. & Meth., B125(1997) 77.
9. Bohr, N., "On the theory of the decrease of velocity of moving electrified particles on passing through matter", Philios, 25 (1913) 16
10. Sigmund, P., "Binary stopping theory for swift heavy ions", Eur. Phys. J. D12 (2000) 425; Jackson, J. D., *Classical Electrodynamics* (Wiely, New York, 1975).
11. *Handbook of Mathematical Functions*, Edited by Abramowitz and Stegun. I. A., (Dover, New York, 1974).
12. Bethe, H. A. "Zur Theorie des Durchgangs schneller korpuskularstrahlen durch materie", Ann. Phys., 5 (1930) 325; Bloch, F., "Zur Bremsung rasch bewegter Teilchen beim Durchgang durch Materie", Ann. Phys. 16 (1933) 285.
13. Lindhard, J., Nielsen, V. and Scharff, "Approximation method in classical scattering by screened Coulomb fields", Mat. Fys. Medd. Dan. Vid. Selsk. 36 (1968) 1.
14. Bohr,N., "The penetration of atomic particles through matter", Kgl Danskey Viedenskab. Selskab. Mat.-Fys. Medd. 18 (1948) no. 8.
15. Oddershede, J. and Sabin, J. R., *Atomic Data and Nuclear Data Tables* 31 (1984) 275.

16. Nunez,R., Echenique, P.M. and Ritchie,R. H., "The energy loss of energetic ions moving near a solid surface", *J. Phys. C13* (1980) 4229.
17. Juaristi, J. I., and Gracie de Abajo, F. J., "Energy loss in grazing proton-surface collisions", *Nucl. Instr. & Meth. B90* (1994) 252.
18. Narumi, Fujii and Manami, *Nucl. Intr. & Meth. B115* (1996) 51.
19. Arista, R., "Dynamical image potential and induced forces for charged particles moving parallel to a solid surface", *Phys. Rev. A49* (1994) 1885.
20. Kimura, K., Kuroda,H., Fritz, M. and Mannami, M. H., "Energy loss straggling of ).5-MeV protons specularly reflected from a SnTe(001) surface", *Nucl. Instr. & Meth. B100* (1995) 356.

## Intensity Noise Characteristics in Quantum-Dot Lasers: Four-Level Rate Equations Analysis

Amin H. Al-Khursan Physics Department, Science College, Thi-Qar University

### ABSTRACT

The intensity noise characteristics in the three regions of QD structures are studied. Four-level rate equations model introduces in this work enables as to study carrier relaxation, recombination and emission processes in the QD region also carrier recombination outside the dot (inside the quantum-well region) which is impossible with other models. It is shown that the noise can be split into five sources. Phonon bottleneck effect shown to increase noise.

### الخلاصة

يستخدم تركيب الليزر شبه الموصل النقطي الكمي النقط الكمي كمنطقة نشطة ، وكل نقطة عbara عن منطقة نشطة بأبعاد صغرى (بضعة نانومتر) في الأبعاد الثلاثة. تتكون المنطقة النشطة من عدد هائل من النقط الكمية. توضع هذه المنطقة على منطقة البئر الكمي التي يكون فيها بعد واحد فقط -السمك عادة"- صغيرا". يحاط هذا التركيب المتكون من المنطقتين المشار لهما أعلاه بمنطقة الحجز المنفصل متعددة التركيب.

تم في هذا البحث دراسة خواص الموضوعات للتركيب النقطية الكمية ذات المناطق الثلاث. لقد مكننا نموذج معادلات المنسوب ذي المستويات الأربع من دراسة العمليات التي تقوم بها

حاملات التيار مثل عمليات الاسترخاء ، الاتحاد ، و الانبعاث في منطقة النقط الكميمية ، كذلك عمليات الاتحاد خارج هذه المنطقة (أي في منطقة البذر الكمي) إذ لم يكن ممكنا" دراستها سابقا". لقد تمت ملاحظة إمكانية تحديد خمسة مصادر للضوضاء في هذا النوع من التراكيب، كما لوحظ إن ظاهرة عنق الزجاجة تؤدي إلى زيادة الضوضاء.

## INTRODUCTION

Low noise is one of the most requirements in the wide range of applications that hopped to be taken through the use of optoelectronic devices, which deals with quantum dot (QD) structures. These applications [1] like industrial manufacturing, medicine, remote sensing, space communications, and the military.

When the size of an electron system reaches the nanometer scale, noise becomes a very interesting problem [2]. The origin of it lies in the spontaneous emission and shot noise which is a nonequilibrium fluctuation, caused by the discreteness of the charge carriers. From the investigation of shot noise, we can learn additional information on electronic structure and transport properties, since it is directly related to the degree of randomness in carrier transfer [2,3].

The realization of quasi zero-dimensional systems called semiconductor quantum dots, represents a real scientific and technology "revolution" in the field of semiconductor heterostructures where we become deals with nanostructures. Quantum dots have attracted increasing attention [4] because of their technological applications. It is the result of reducing all the (three) dimensions of the active layer in double heterostructure (DH).

## **Intensity Noise Characteristics in Quantum-Dot Lasers: Four-Level Rate Equations Analysis**

**Amin H. Al-Khursan**

Conventional (bulk) DH semiconductor laser consists of an active layer (its thickness is about 0.1-0.3  $\mu\text{m}$ ) sandwiched between two higher gap cladding layers [5]. When the active layer thickness reduces to about an order of magnitude than in bulk DH design, the low energy wave-like states available for electrons and holes confined to the active layer (potential well) changes from quasi-continuous to discrete. Since laser action is derived by stimulating electron-hole recombination between these discrete (quantum well) states, devices with this active layer design are called quantum well (QW) structures [3]. This shorten the wavelength due to radiative transitions between confined states and significantly reduce the threshold current density and its temperature dependence as a result of the modification of the density of states [6]. Reducing two dimensions of active layer gives quantum wire structures.

In most experimental studies, it is assumed [7] that the frequency fluctuation processes are either infinitely fast, leading to homogeneous broadening, or infinitely slow, leading to inhomogeneous broadening. However, effects of a spectral fluctuation on a picosecond time scale have been observed in experiments, showing that the frequency fluctuation [7] is not always infinitely fast or slow.

The common assumption through most noise studies is that the system is Markovian [5], i.e., the random forces have no memory and the correlation of their product function is a delta function. The memory effects [8,9] arise because the wave functions of the particles are smeared out so that there is always some overlap of wave functions and as a result the particle retains some memory of the collisions it has experienced through its correlation with other particles in the system.

Noise behavior can be analyzed by introducing the Langevin noise terms in the carrier and photon rate equations. Carrier processes in the active region (layer) ordinary represented by a single rate equation [10]. When separate confinement heterostructure (SCH) layers are used then a second equation must be added to take into account carrier transport (CT) effects (capture and escape from the active layer) [11]. This model then used to describe modulation in QD structures [12]. Structure-dependent model which takes the effects of nonlinear gain ( $\alpha$ ) as a dependent parameter (in addition to the CT effects) is introduced there after [13]. These two models [11,13] neglect the effect of the QW (or wetting) layer that is found between QD and SCH layers.

The four-level rate equations for the three regions (QD, QW, and SCH) of QD structure [14] are putted previously in the form of [6] structure-dependent model. Here, the four-level structure-dependent model is used to analyze intensity noise in these three regions of the QD structure. This make it possible to study the effect of processes like: relaxation in the QD layer, recombination inside and outside the QD -inside the QW- layer and emission from the QD to the QW layer, on noise in these structures which is impossible in earlier models. To our knowledge these effects are not to be studied yet and this paper examines it. This paper is organized as follows. Four level structure-dependent model with noise sources is discussed in section 2, the results for GaN QDs and their discussion are presented in section 3. Then section 4 contains the conclusions from this work.

## Four-Level Structure-Dependent Model with Noise Sources

Taking into account the recombination process in the SCH region, and spontaneous emission in the active layer, adding Langevin noise sources which becomes the deriving forces not the injection current, one can write:

$$\frac{dn_s}{dt} = -\frac{n_s}{\tau_s} - \frac{n_s}{\tau_{sr}} + \frac{V_a}{V_d} \frac{n_q}{\tau_{qe}} + \frac{1}{V_s} F_{n_s}(t) \quad (1)$$

$$\frac{dn_q}{dt} = \frac{V_s}{V_a} \frac{n_s}{\tau_{qr}} - \frac{n_q}{\tau_{qe}} - \frac{n_q}{\tau_d} + \frac{n}{\tau_e} \frac{V_d}{V_a} + \frac{1}{V_a} F_{n_q}(t) \quad (2)$$

$$\frac{dn}{dt} = \frac{n_q}{\tau_d} \frac{V_a}{V_d} - \frac{n}{\tau_e} - v_g g_p (w_p) S_p \frac{V_a}{V_d} \frac{1}{\Gamma} + \frac{1}{V_d} F_n(t) \quad (3)$$

$$\frac{dS_p}{dt} = v_g g_p (w_p) S_p - \frac{S_p}{\tau_p} + \frac{\Gamma}{V_d} R_{sp} + \frac{\Gamma}{V_d} F_{S_p}(t) \quad (4)$$

Where:

$n_s$ ,  $n_q$  and  $n$  =Carrier densities in the SCH, QW, and QD regions, respectively.

$V_s$ ,  $V_a$  and  $V_d$ =Volumes of the SCH, QW regions, and one QD, respectively.

$\tau_s$  = Carrier diffusion time across SCH region.

$\tau_{qe}$  = Carrier emission (escape) time from the QW region.

$\tau_d$  = Relaxation time inside the dot.

$\tau_e$  = Thermoionic emission time (escape time) from the dot.

$\tau_r$  and  $\tau_{qr}$  = Recombination life time inside and outside the dot, respectively.

$e$  = Electronic charge.

$c$  = Speed of light in vacuum.

$S_p$  = Photon density in the cavity.

$v_g$  = Group velocity (speed of light /refractive index).

$\tau_p$  = Photon lifetime.

$\Gamma$  = Optical confinement factor (the fraction of the optical mode confined inside the active region).

The total modal gain  $g_p(w_p)$  can be written as [15]

$$g_p(w_p) = \Gamma [g^{(1)}(w_p) - \Gamma g_{p(p)}^{(3)}(w_p)|E_p|^2] \quad (5)$$

The photon density of the resonant mode ( $S_p$ ) is related to the optical electric field ( $E_p$ ) by [15]

$$S_p = \Gamma \frac{2\epsilon_0 \mu_r^2}{\hbar w_p} |E_p|^2 \quad (6)$$

with  $w_p$  is the angular frequency of the lasing mode.  $g^{(1)}(w_p)$  is the linear gain,  $g_{p(p)}^{(3)}(w_p)$  is the third-order gain of the peak mode (p),  $\mu_r$  is the refractive index of active layer and  $\epsilon_0$  is the permittivity of free space.

$F_{n_s}(t)$ ,  $F_{n_q}(t)$  and  $F_n$  are noise sources associated with carriers in SCH, QW, and QD regions respectively; their origin comes from the discrete nature of the carrier generation and recombination processes (shot noise). Further,  $F_{S_p}(t)$  is the intensity noise source that arises from the spontaneous emission. In the presence of Langevin noise sources ( $F_{n_s}(t)$ ,  $F_{n_q}(t)$ ,  $F_n(t)$  and  $F_{S_p}(t)$ ) the parameters  $n_s$ ,  $n_q$ ,  $n$  and  $S_p$  becomes random and the correlation of their product function is a delta function [3], i.e.:

$$\langle F_i(t)F_j(u) \rangle = 2D_{ij}\delta_{ij}(t-u) \quad (7)$$

# Intensity Noise Characteristics in Quantum-Dot Lasers: Four-Level Rate Equations Analysis

Amin H. Al-Khursan

Here  $D_{ij}$  is called the diffusion coefficient of the corresponding noise source. For the laser structure under study, the diffusion coefficients can be expressed as:

$$\left. \begin{aligned} D_{n_s n_s} &= \frac{n_s V_s}{\tau_{sr}} \\ D_{n_q n_q} &= \frac{n_q V_a}{\tau_{qr}} \\ D_{nn} &= \Gamma \beta B_r n^2 \frac{V_d^2}{\Gamma} S_p + \frac{n V_d}{\tau_r} \\ D_{S_p S_p} &= R_{sp} S_{po} \\ D_{S_p n} &= -D_{S_p S_p} \\ D_{S_p n_q} &= D_{nn_q} = 0 \end{aligned} \right\} \quad (8)$$

Where these coefficients are given here depending on that in [13] after taking into account the new layers (QW layer) that not taken in the analysis previously. Using small-signal analysis and Fourier transform (their standard forms can be seen in [5,10]), one can gets after some mathematical manipulations:

$$\tilde{S}(w) = \frac{1}{D} [H_{n_s} \tilde{F}_{n_s}(w) + H_{n_q} \tilde{F}_{n_q}(w) + H_n \tilde{F}_n + H_{S_p} \tilde{F}_{S_p}(w)] \quad (9)$$

Where:

$$H_{n_s} = \frac{1}{V_d} [v_g S_{po} g_{pn} + \frac{\partial R_{sp}}{\partial n}] \left[ \frac{1}{(jw + \frac{1}{\tau_s} + \frac{1}{\tau_{sr}})} \right] \quad (10-A)$$

$$H_{n_q} = \frac{1}{V_d} [v_g S_{po} g_{pn} + \frac{\partial R_{sp}}{\partial n}] \quad (10-B)$$

$$H_n = \frac{\tau_d}{V_d} [v_g S_{po} g_{pn} + \frac{\partial R_{sp}}{\partial n}] \left[ jw + \frac{1}{\tau_{qr}} + \frac{1}{\tau_{qe}} + \frac{1}{\tau_d} - \frac{1}{[jw + \frac{1}{\tau_s} + \frac{1}{\tau_{sr}}]} \right] \quad (10-C)$$

$$H_{Sp} = \frac{\Gamma}{V_d} \left[ \left( jw + \frac{1}{\tau_r} + \frac{1}{\tau_e} + \frac{1}{\Gamma} v_g S_{po} g_{pn} \right) \right. \\ \left. \left( jw + \frac{1}{\tau_{qr}} + \frac{1}{\tau_{qe}} + \frac{1}{\tau_d} - \frac{1}{[jw + \frac{1}{\tau_s} + \frac{1}{\tau_{sr}}]} \right) \tau_d - \frac{1}{\tau_e} \right] \quad (10-D)$$

$$D = \left[ \left( jw + \frac{1}{\tau_r} + \frac{1}{\tau_e} + \frac{1}{\Gamma} v_g S_{po} g_{pn} \right) \right. \\ \left. \left( jw + \frac{1}{\tau_{qr}} + \frac{1}{\tau_{qe}} + \frac{1}{\tau_d} - \frac{1}{[jw + \frac{1}{\tau_s} + \frac{1}{\tau_{sr}}]} \right) \tau_d - \frac{1}{\tau_e} \right] \\ [jw - v_g S_p g_{ps} + \frac{1}{\tau_p}] + \left[ \left( \frac{1}{\Gamma} v_g g_{ps} \right) \right. \\ \left. \left( jw + \frac{1}{\tau_{qr}} + \frac{1}{\tau_{qe}} + \frac{1}{\tau_d} - \frac{1}{[jw + \frac{1}{\tau_s} + \frac{1}{\tau_{sr}}]} \right) (v_g S_{po} g_{pn} + \frac{\partial R_{sp}}{\partial n}) \right] \quad (10-E)$$

The RIN is defined by [5]:

$$RIN = \langle |\tilde{S}(\omega)|^2 \rangle / S_p^2 \quad (11)$$

Where  $\langle |\tilde{S}(\omega)|^2 \rangle$  is the power spectral density and one can write its definition as according to eq. (9) as:

$$\langle |\tilde{S}(\omega)|^2 \rangle = |H_{n_s}|^2 \langle \tilde{F}_{n_s} \cdot \tilde{F}_{n_s} \rangle + |H_{n_q}|^2 \langle \tilde{F}_{n_q} \cdot \tilde{F}_{n_q} \rangle + |H_n|^2 \langle \tilde{F}_n \cdot \tilde{F}_n \rangle + |H_{Sp}|^2 \langle \tilde{F}_{Sp} \cdot \tilde{F}_{Sp} \rangle \\ + 2\{\text{Re}(H_n)\text{.Re}(H_{Sp}) + \text{Im}(H_n)\text{.Im}(H_{Sp})\} \langle \tilde{F}_n \cdot \tilde{F}_{Sp} \rangle \quad (12)$$

## RESULTS AND DISCUSSION

GaN/InGaN laser structure taken as an example for intensity noise study. GaN dots studied are assumed to have a cylindrical shape with a radius of 7 nm and an equal height. Its maximum gain appear at (3 eV) [16]. Material parameters used in the calculations are given in Table (1).

Figure (1) shows RIN response for GaN/InGaN QD structure at different relaxation times ( $\tau_d$ ). Longer  $\tau_d$  ( $\sim 10$  ns) reduces the peak value of RIN. Decreasing  $\tau_d$  shifts the noise to higher values and a deviation to lower values of relaxation oscillation frequency ( $f_r$ ) is seen. When  $\tau_d$  equals to (1ps) RIN is reduced but  $f_r$  return to its higher value. Both RIN and  $f_r$  still constant at very shorter  $\tau_d$  times (10ps-9fs). Fig. (2) shows a different situation when recombination time ( $\tau_r$ ) in the QD region becomes the variable parameter. Larger effect of  $\tau_r$  on RIN spectrum is obvious (see Table 2). At  $\tau_r=1$  fs the relaxation oscillation frequency is removed. Fig. (3) shows the contribution of Langevin noise sources to RIN spectrum. According to eq. (12), the RIN can be split into five components:

$$1) \text{RIN} \Big|_{F_{n_s}, F_{n_s}} = |H_{n_s}|^2 \langle \tilde{F}_{n_s} \cdot \tilde{F}_{n_s} \rangle$$

$$2) \text{RIN} \Big|_{F_{n_q}, F_{n_q}} = |H_{n_q}|^2 \langle \tilde{F}_{n_q} \cdot \tilde{F}_{n_q} \rangle$$

$$3) \text{RIN} \Big|_{F_n, F_n} = |H_n|^2 \langle \tilde{F}_n \cdot \tilde{F}_n \rangle$$

$$4) \text{RIN} \Big|_{F_{Sp}, F_{Sp}} = |H_{Sp}|^2 \langle \tilde{F}_{Sp} \cdot \tilde{F}_{Sp} \rangle$$

$$5) \text{RIN} \Big|_{F_n, F_{Sp}} = 2\{Re(H_n).Re(H_{Sp}) + Im(H_n).Im(H_{Sp})\} \langle \tilde{F}_n \cdot \tilde{F}_{Sp} \rangle$$

Where  $\text{RIN} \Big|_{F_X, F_Y}$  denotes the RIN due to the mixing of the two noise sources,  $F_x$  and  $F_y$ . The main contribution comes from  $\tilde{F}_n \cdot \tilde{F}_n$  part in QD region. The contribution from other parts has a neglected effect on RIN spectrum. Figure 4(a) shows the variation of peak value of RIN with carrier recombination times ( $\tau_r$ ) at constant values of relaxation time ( $\tau_d$ ) inside QD. It is shown that  $\tau_d$  has a small effect which began to appear when  $\tau_d \approx 10$  ps. This curve gives the highest peak value in this group of figures (fig. 4a, b, and c) at  $\tau_d \approx 1$  ps.  $\tau_r$  is the recombination time inside the dot. At very small values of  $\tau_r$ , the noise increase with it till a considerable value where it gives a peak in this curve. Then a reduction in noise is seen with increase  $\tau_r$ . In fact the threshold current density inversely proportional to  $\tau_r$ , thus the noise reduces

with it. The increment in noise at the beginning of the curve where  $\tau_d$  values are very small return to the increase of threshold current due to the increase of carrier density required for population inversion.

For  $\tau_{qr}$ -peak RIN curve in fig. 4 (b) an adequate discrimination between curves is seen which means an important effect of  $\tau_d$  on  $\tau_{qr}$  curves. A noteworthy that the peak RIN increase until  $\tau_{qr}$  becomes approach  $\tau_d$  value then the noise reduces.  $\tau_{qr}$  is the recombination lifetime outside the dot. Longer  $\tau_{qr}$  reduces leakage current then reduces noise. When  $\tau_{qr} \leq \tau_d$  most of carriers consumed before they recombine inside the dot. The  $\tau_{qr}$  dependence, and thus crystal quality dependence, is due to the retarded carrier relaxation increasing the opportunity for carriers to recombine through the nonradiative processes outside the dots.

Fig. 4(c) shows that for  $\tau_e$ -peak RIN curve when  $\tau_d$  becomes too short ( $\sim 9$  fs) the curve shifts to lower value (see curve 4 in this figure). From fig. (4) it is shown that curves are peaked at some value for both  $\tau_r$  and  $\tau_{qr}$ . We check the contributions of RIN parts in fig. 4(b) to see which part has the main effect. It is found that for the highest RIN peak the part due to the carriers in the QW region gives the main contribution. For points other than the highest peaks in the curves of fig. 4 (b) all parts of noise shared with different degrees of strongest.

The phonon bottleneck problem in QDs results from significantly slowed down carrier relaxation into the discrete ground state due to the difficulty in achieving energy conservation which results from lack of phonons needed to satisfy energy conservation rule in this completely quantized structure [14, 19]. All of the above results in fig. 4 indicate that the shorter relaxation lifetime reduces the intensity noise, i.e. the phonon bottleneck can be suppressed at very short carrier relaxation.

When we seek for the origin of relaxation and recombination processes in QDs. Photoluminescence spectra shows that most carriers were excited in the cladding layer, suggesting that the carrier relax rapidly into ground state from the cladding layer when the carrier density is low. Rapid carrier relaxation into the ground state is seen. In fact a considerable number of carriers remained for recombination in higher levels at a high carrier density, this result indicates that the phonon bottleneck is effective [20].

RIN peak frequency with  $\tau_{qr}$ ,  $\tau_r$  and  $\tau_e$  curves are shown in fig. 5(a, b and c respectively) with  $\tau_d$  as a parameter. Different situations are seen and can be used to avoid frequencies that RIN peak in it.

## CONCLUSIONS

The noise characteristics in QD structure is studied using four-level rate equation model. This enables us to study relaxation, recombination and emission processes in the QD region, which is impossible with other models. GaN QDs are taken as an example for study. The following points can be stated:

1. Very short carrier recombination time inside the dot ( $\tau_r$ ) reduces the intensity noise.
2. When carrier recombination time outside the dot ( $\tau_{qr}$ ) smaller than the relaxation time inside the dot ( $\tau_d$ ) then the noise increase. When  $\tau_{qr}$  values become the longest then the noise reduces.
3. At very short  $\tau_d$  times the noise shifts to lower value in the emission from the dot time ( $\tau_e$ ) curves.

From these results one can conclude the important effect of phonon-bottleneck on intensity noise behavior of these structures. Crystal quality and smaller recombination and relaxation times inside the dot reduces the noise.

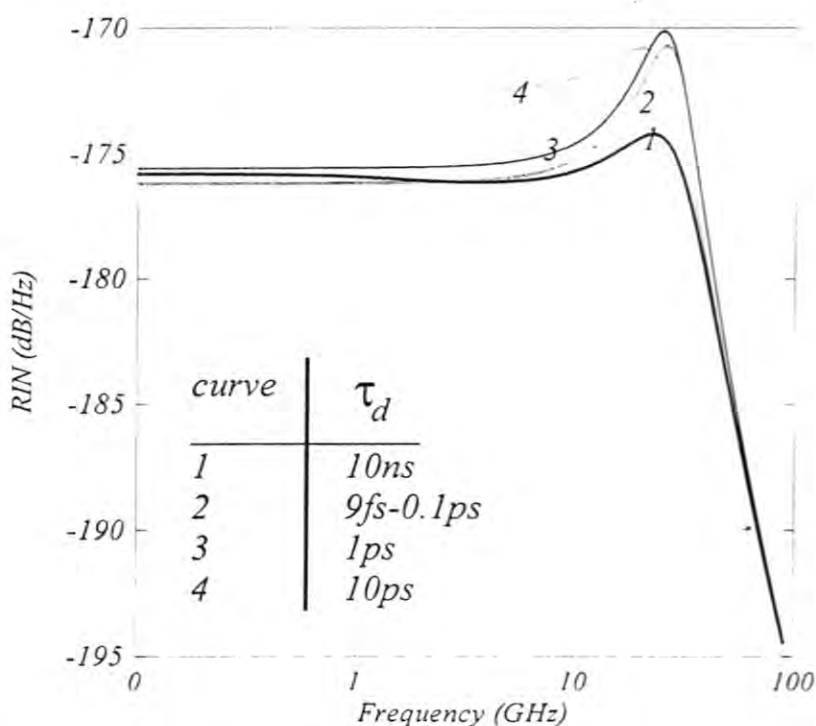
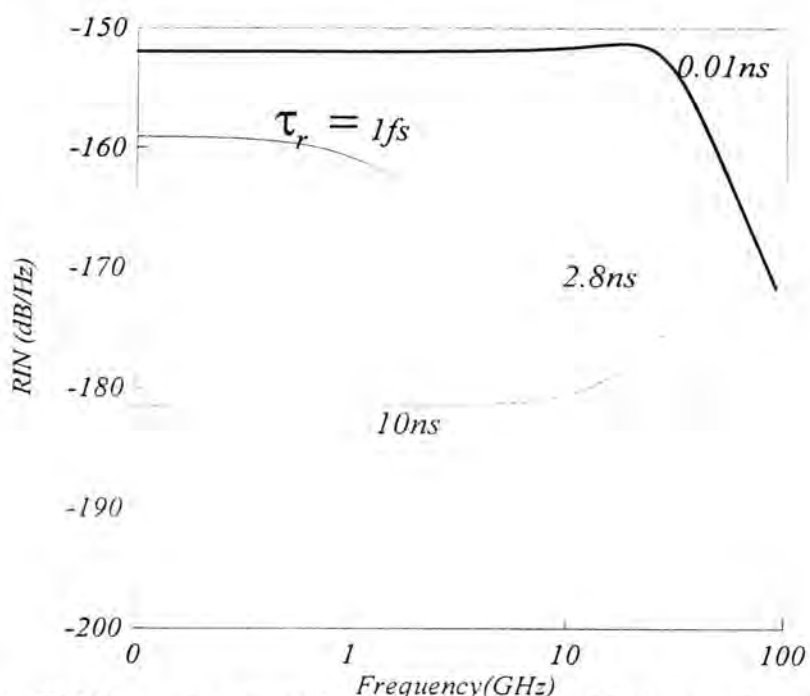
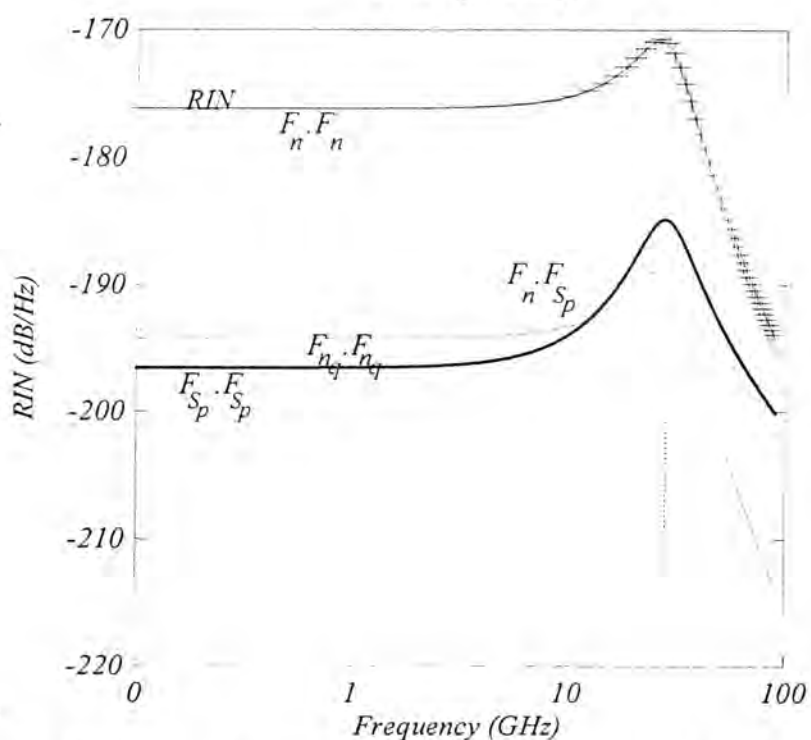


Fig (1): RIN spectra at different dot relaxation times ( $\tau_d$ ). Other parameters are as follows: ( $\tau_r = 2.8\text{ns}$ ,  $\tau_s = 0.01\text{ns}$  and  $\tau_{qe} = 0.1\text{ns}$ ,  $\tau_e = 0.0172\text{ns}$  and  $\tau_{qr} = 1\text{ns}$ ).



**Fig. (2): RIN spectra at different dot recombination times ( $\square$ , Other parameters are as follows:  $(\tau_d=27.2fs, \tau_s=0.01ns, \tau_{qe}=0.1ns, \tau_e=0.0172 ns$  and  $\tau_{qr}=1ns$ )**



**Fig. (3): Contributions of Langevin noise sources to RIN. Note that the parameters used in the calculations are as follows  $\tau_d=27.2fs, \tau_s=0.01ns, \tau_{qe}=0.1ns, \tau_e=0.0172 ns, \tau_{qr}=1ns$ , and  $\tau_r=2.8ns$ .**

Intensity Noise Characteristics in Quantum-Dot Lasers: Four-Level Rate Equations Analysis

Amin H. Al-Khursan

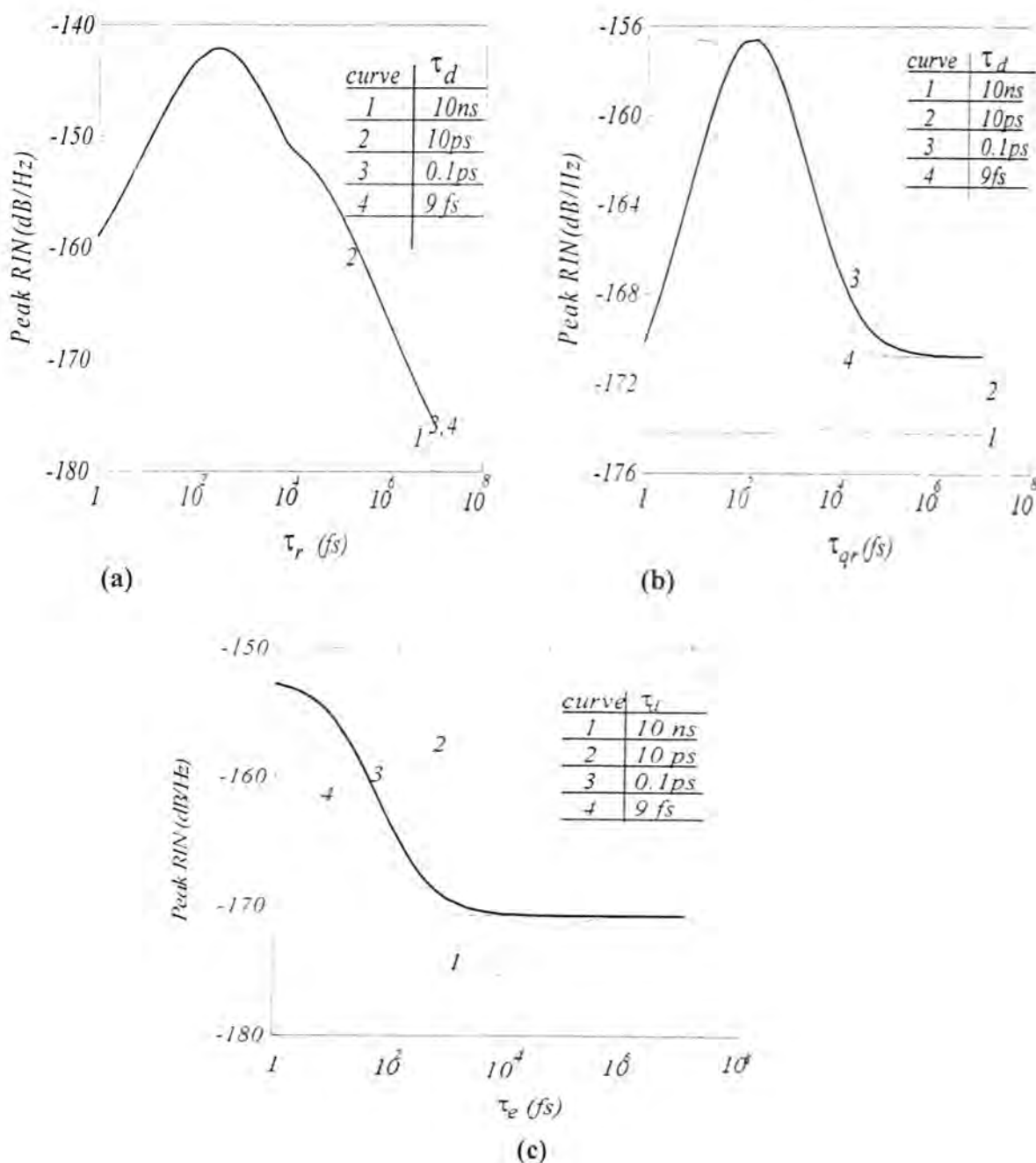
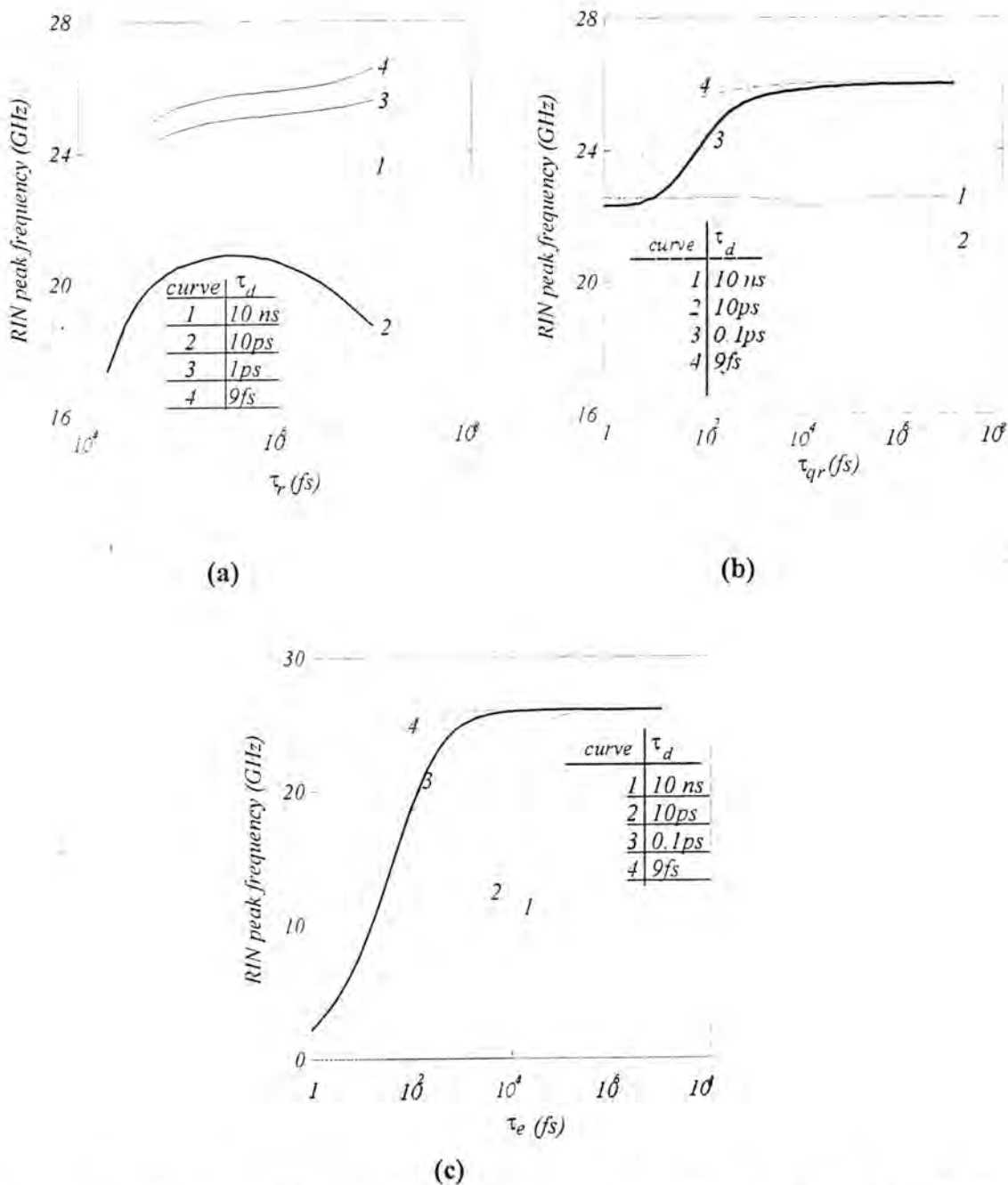


Fig. (4): Variation of peak value of RIN with a) carrier recombination time ( $\tau_r$ ) inside QD, b) carrier recombination time ( $\tau_{qr}$ ) outside QD, and c) emission time ( $\tau_e$ ) from QD. These curves taken at different carrier relaxation time in the QD ( $\tau_d$ ) as shown in the insets.



**Fig. (5):** Variation of RIN peak frequency with a) carrier recombination time ( $\tau_r$ ) inside QD, b) carrier recombination time ( $\tau_{qr}$ ) outside QD, and c) emission time ( $\tau_e$ ) from QD. These curves taken at different carrier relaxation time in the QD ( $\tau_d$ ) as shown in the insets.

Table (1): GaN [17,18] parameters used in the calculations.

Parameter	Value
$E_g$ = Bandgap energy (eV)	3.44
$SO$ = Spin-orbit band energy (eV)	0.001
$m_e$ = Electron effective mass	$0.20 m_0$
$m_h$ = Hole effective mass	$0.8 m_0$
$\mu_r$ = Refractive index	3.135
$\Gamma$ = Optical confinement factor	0.06
$\alpha_{loss}$ = Cavity loss ( $\text{cm}^{-1}$ )	5
$\alpha_m$ = Mirror loss ( $\text{cm}^{-1}$ )	30
$W$ = Strip width ( $\mu\text{m}$ )	10
$L$ = Strip length ( $\mu\text{m}$ )	900

Table (2): increment in the RIN peak value due to recombination times

Time	Increment in the Peak Value of RIN (dB/Hz) for each $10^{-1}$ time decrement
$\tau_d$ = Relaxation time inside the dot	0.007
$\tau_r$ = Recombination time inside the dot	9
$\tau_{qr}$ = Recombination time outside the dot	8
$\tau_e$ = Thermoionic emission time from the dot	3

## REFERENCES

1. Yuan, P., Baklenov, O., Nie, H., Holmes, Jr., A. L., Streetman, B. G., and Campbell, J. C., "High-speed and low-noise avalanche photodiode operating at 1.06  $\mu\text{m}$ ", IEEE J. Selected Topics in Quantum Electronics, 6, 2000, 422-425.
2. Zhao, H. K., "Shot noise in the hybrid systems with a quantum dot coupled to normal and superconducting leads", Phys. Lett., A 299, 2002, 262-270.
3. Lau, K. Y., "Quantum well lasers", Zorry, P. S., ed., Chapter 5: "Dynamics of quantum well lasers", PP.217-272, 1993, Academic Press, Inc., San Diego, USA.
4. De Rinaldis, S., Rinaldi, R., Cingolani, R., D'Amico, I., Biolatti, E., Rossi, F., "Intrinsic dipole-dipole excitonic coupling in GaN quantum dots: application to quantum information processing", Physica, E 13, 624-629, 2002.
5. Agrawal, G. P., and Dutta, N. K., "Long wavelength semiconductor lasers", Ch. 9: "Quantum-well semiconductor lasers", PP. 372-409, 1986, Van Nostrand Reinhold, New York, USA.
6. Al-Khursan, A. H. Al-Khursan, "Small-signal response of QD structures: Phonon-bottleneck effect in three regions analysis", Paper sent to Al-Mustansiriyah J. Science, 2004.
7. Bakker H. J., and Leo, K., Shah, J., Kohler, K., "Time-resolved study of phase mechanisms of excitons in GaAs/AlGaAs quantum well structures", Physical Review B, 49, 8249-8257, 1994.
8. Ahn, D., "The theory of non-Markovian gain in semiconductor lasers", IEEE J. Selected Topics in Quantum Electronics, 1, 301-307, 1995.
9. Ahn, D., "Time-convolutionless reduced-density-operator of an arbitrary driven system coupled to a stochastic reservoir. II. Optical gain and line-shape function of a driven semiconductor", Physical Review B, 51, 2159-2166, 1995.
10. Chuang, S. L., "Physics of Optoelectronic Devices", Chapter 11: "direct modulation of semiconductor lasers", PP. 487-505, 1995, John Wiley & Sons, Inc., New York, USA.
11. Nagarajan, R., Ishikawa, M., Fukushima, T., Geels, R. S., and Bowers, J. E., "High speed quantum-well lasers and carrier transport effects", IEEE J. Quantum Electron., 28, 121-138, 1992.
12. Bimberg, D., Kirstaedter, N., Ledentsov, N.N., Alferov, Zh. I., Kop'ev, P. S., and Ustinov, V. M., "InGaAs-GaAs quantum-dot lasers", IEEE J. Selected Topics in Quantum Electronics, 3, 196-205, 1997.

## Intensity Noise Characteristics in Quantum-Dot Lasers: Four-Level Rate Equations Analysis

Amin H. Al-Khursan

13. Al-Khursan, A. H., and Fyath, R. S., "Modulation Response in quantum dot lasers", to be published in Iraqi J. of Electrical Engineering, 2002.
14. Sugawara, M., Mukai K., and Shoji, H., " Effect of phonon bottleneck on quantum-dot laser performance", Appl. Phys. Lett., 71, 2791-2793, 1997.
15. Ahn D., and Chuang, S. L., "The theory of strained-layer quantum-well lasers with bandgap renormalization", IEEE J. Quantum Electron., 30, 350-365, 1994.
16. Krestnikov, I. L., Sakharov, A. V., Lundin, W. V., Usikov, A. S., Tsatsulnikov, A. F., Ledentsov, N. N., Alferov, Zh. I., Soshnikov, I. P., Gerthsen, D., Plaut, A. C., Holst, J., Hoffman, A., and Bimberg, D., "Lasing in vertical direction in structures with InGaN quantum dots", Phys. Stat. Sol., 180, 91-96, 2000.
17. Fang, W., and Chuang, S. L., "Theoretical predictions of GaN lasing and temperature sensitivity", Appl. Phys. Lett. 67, 751-753, 1995.
18. Chuang, S. L., "Optical gain of strained wurtzite GaN quantum-well lasers", IEEE Quantum Electron., 32, 1791-1800, 1996.
19. Heitz, R., Grundmann, M., Ledentsov, N. N., Eckey, L., Viet, M., Bimberg, D., Ustinov, V. M., Egorov, A. Y., Zhukov, A. E., Kop'ev, P. S., and Alfreov, Zh. I., " Multiphonon-relaxation processes in self-organized InAs/GaAs quantum dots", Appl. Phys. Lett., 68, 361-363, 1996.
20. Mukai, K., Ohtsuka, N., Shoji H., and Sugawara, M., " Emission from discrete levels in self-formed InGaAs/GaAs quantum dots by electric carrier injection: influence of phonon bottleneck", Appl. Phys. Lett., 68, 3013-3015, 1996.

# Some Results on Semiprime Fuzzy Submodules of Fuzzy Modules

Rabee Hadi Jari

Department of Mathematics, College of  
Education, Thi-Qar University

## ABSTRACT

The main aim of this paper is to study the notion of semiprime fuzzy submodules. The researcher proved some results analogous to the ordinary sense. It is also given some types of fuzzy submodules and their relation ship with semiprime fuzzy submodules.

## الخلاصة

الهدف من هذا البحث هو دراسة مفهوم المقاسات الجزئية الضبابية شبه الاولية. برهن الباحث بعض النتائج المناظرة للمفهوم الاعتيادي. كذلك اعطى بعض الانواع من المقاسات الجزئية الضبابية وعلاقتها مع المقاسات الجزئية الضبابية شبه الاولية.

## INTRODUCTION

The concept of semiprime fuzzy submodule was first introduced in [1], where a fuzzy submodule  $A$  of a fuzzy module  $X$  is called semiprime fuzzy submodule if  $r^2 a_k \subseteq A$  for a fuzzy singleton  $r_i$  of  $R$ ,  $a_s \subseteq X$  then  $r_i a_s \subseteq A$ .

In section two of this paper, we give some definitions and results which are useful in our work.

In section three, we show that If: A is a semiprime fuzzy submodule of a fuzzy module X, then  $(A: X)$  is a semiprime fuzzy ideal of R, but not conversely (see corollary 3.2 and remark 3.3). Also, we put a condition under which the converse is true (see proposition 3.4).

Finally, note that Throughout our work R denotes a commutative ring with identity and M be a unitary R- module.

## PRELIMINARIES

In this section we give some basic definitions to be used later on.

### Definition 2.1 [2], [3]:

A fuzzy set is a mapping X from a nonempty set M into  $[0, 1]$ , the set  $X_t = \{x \in M \mid X(x) \geq t\}$  is called a level subset of X.

### Definition 2.2 [4] :

Let  $x_t: M \rightarrow [0, 1]$  be a fuzzy set in M, where  $x \in M$ ,  $t \in [0, 1]$ , then  $x_t$  is defined by :

$$x_t(y) = \begin{cases} t & \text{if } x=y \\ 0 & \text{if } x \neq y \end{cases} \quad \text{for all } y \in M$$

$x_t$  is called a fuzzy singleton.

### Definition 2.3 [5]:

Let A and B be two fuzzy sets in M, then :

1.  $A \subseteq B$  if and only if  $A(x) \leq B(x)$ , for all  $x \in M$ . If  $A \subseteq B$  and there exists  $x \in M$  such that  $A(x) < B(x)$ , then we write  $A \subset B$  and A is called a proper fuzzy subset of B.
2.  $x_t \subseteq A$  if and only if  $x_t(y) \leq A(y)$ , for all  $y \in M$  and if  $t > 0$  then  $A(x) \geq t$ .
3.  $(A \cap B)(x) = \min\{A(x), B(x)\}$ , for all  $x \in M$ .

**Definition 2.4<sup>[6]</sup>:**

A fuzzy set  $X$  on a ring  $R$  is called a fuzzy ideal of  $R$  if for each  $x, y \in R$

1.  $X(x-y) \geq \min\{X(x), X(y)\}$ .
2.  $X(xy) \geq \max\{X(x), X(y)\}$ .

**Definition 2.5<sup>[7]</sup>:**

A fuzzy set  $X$  in an  $R$ -module  $M$  is called a fuzzy  $R$ -module if and only if for each  $x, y \in M, r \in R$ .

1.  $X(x-y) \geq \min\{X(x), X(y)\}$ .
2.  $X(rx) \geq X(x)$ .
3.  $X(0) = 1$  ( $0$  is the zero element of  $M$ ).

**Definition 2.6<sup>[3]</sup>:**

Let  $A$  and  $X$  be two fuzzy modules of an  $R$ -module  $M$ ,  $A$  is called a fuzzy submodule of  $X$  if and only if  $A \subseteq X$ .

**Definition 2.7<sup>[8]</sup>:**

A fuzzy module  $X$  of an  $R$ -module  $M$  is called a cyclic fuzzy module if there exists  $x_i \subseteq X$ , such that  $X = (x_i)$ , hence for each  $m_s \subseteq X$ , there exists a fuzzy singleton  $a_l$  of  $R$  such that  $m_s = a_l x_i$ , where  $a_l x_i = (ax)_\lambda$ ,  $\lambda = \min\{l, t\}$ .

**Definition 2.8<sup>[8]</sup>:**

Let  $X$  be a fuzzy module. A proper fuzzy submodule  $A$  of  $X$  is called a prime fuzzy submodule whenever  $r_i a_k \subseteq A$  for fuzzy singletons  $r_i$  of  $R$  and  $a_k \subseteq X$  we have either  $r_i \subseteq (A : X)$  or  $a_k \subseteq A$ ,

where  $(A : X) = \{r_i : r_i X \subseteq A, r_i\}$  fuzzy singleton of  $A$ .

**Definition 2.9<sup>[3]</sup>:**

A fuzzy submodule  $A$  of a fuzzy module  $X$  is called a primary fuzzy submodule if for each fuzzy singleton  $r_i$  of  $R$  and  $a_k \subseteq X$  such that  $r_i a_k \subseteq A$  then either  $a_k \subseteq A$  or

$r_t \subseteq \sqrt{(A:X)} = \{m_s \subseteq R; \text{there exists } n \in \mathbb{Z}_+ \text{ such that } m_s^n \subseteq (A:X)\}.$

### Definition 2.10 [1]:

A fuzzy submodule  $A$  of a fuzzy module  $X$  is called semiprime fuzzy submodule if  $r_t^2 a_k \subseteq A$  for a fuzzy singleton  $r_t$  of  $R$ ,  $a_k \subseteq X$  then  $r_t a_k \subseteq A$ .

### Remark 2.11 :

Every prime fuzzy submodule of a fuzzy module  $X$  is a semiprime fuzzy submodule, but not conversely, (see[8], remark 2.2.2 and example 2.2.3)

### Definition 2.12 [9]:

A fuzzy ideal  $I$  of a ring  $R$  is called a prime fuzzy ideal of  $R$  if  $r_t a_k \subseteq I$  for a fuzzy singletons  $r_t$  and  $a_k$  of  $R$ , then either  $r_t \subseteq I$  or  $a_k \subseteq I$ .

Moreover  $I$  is called semiprime fuzzy ideal if  $r_t^k \subseteq I$  for a fuzzy singleton  $r_t$  of  $R$ ,  $k \in \mathbb{Z}_+$ , then  $r_t \subseteq I$ . Equivalently,  $I$  is semiprime fuzzy ideal if  $r_t^2 \subseteq I$  for a fuzzy singleton  $r_t$  of  $R$ , then  $r_t \subseteq I$ .

### Definition 2.13 [8]:

Let  $X$  be a fuzzy module and let  $A$  be a fuzzy submodule of  $X$ , then  $A$  is called weakly pure fuzzy submodule of  $X$  if for any fuzzy singleton  $r_t$  of  $R$ , then  $r_t X \cap A = r_t A$ .

## Semiprime Fuzzy Submodules:

### Proposition 3.1 :

Let  $A$  be a proper fuzzy submodule of a fuzzy module  $X$ . If  $A$  is semiprime fuzzy submodule of  $X$ , then  $(A:B)$  is semiprime fuzzy ideal of  $R$  for each fuzzy submodule  $B$  of  $X$  containing  $A$  properly.

**Proof :** By [10, theorem 3.3],  $(A:B)$  is a fuzzy ideal of  $R$ . To prove  $(A:B)$  is semiprime fuzzy ideal of  $R$ . Let  $r_i$  be a fuzzy singleton of  $R$  such that  $r_i^2 \subseteq (A:B)$ , then  $r_i^2 B \subseteq A$ , hence  $r_i^2 b_k \subseteq A$  for all  $b_k \subseteq B$ . So  $r_i b_k \subseteq A$  since  $A$  is semiprime fuzzy submodule. It follows that  $r_i \subseteq (A:B)$ ; that is  $(A:B)$  is semiprime fuzzy ideal of  $R$ .

The following result gives a fundamental property of semiprime fuzzy submodules.

**Corollary 3.2 :**

If  $A$  is a semiprime fuzzy submodule of a fuzzy module  $X$ , then  $(A:X)$  is a semiprime fuzzy ideal of  $R$ .

**Proof :**

It follows directly by proposition 3.1.

**Remark 3.3 :**

The converse of corollary 3.2 is not true in general. For example.

Let  $M = Z \oplus Z$  as a  $Z$ -Module, let

$X: M \rightarrow [0,1]$ ,  $A: M \rightarrow [0,1]$  such that :

$$X(a) = \begin{cases} 1 & \text{if } a \in Z \oplus 2Z \\ 0 & \text{otherwise} \end{cases}$$

$$A(a) = \begin{cases} 1 & \text{if } a \in 4Z \oplus (0) \\ 0 & \text{otherwise} \end{cases}$$

It is clear that  $X$  is a fuzzy module of  $M$  and  $A$  is a fuzzy submodule of  $X$ .

Notice that

$2\frac{1}{2}(1,0)\frac{1}{2} = (4,0)\frac{1}{2}$ . On the other hand,  $(4,0)\frac{1}{2} \subseteq A$  since  $A(4,0) = I > \frac{1}{2}$ , also

$(1,0)\frac{1}{2} \subseteq X$  since  $X(1,0) = I > \frac{1}{2}$ .

Moreover,  $2\frac{1}{2}(1,0)\frac{1}{2} = (2,0)\frac{1}{2} \not\subseteq A$  since  $A(2,0) = 0 \not> \frac{1}{2}$ .

Thus,  $A$  is not semiprime fuzzy submodule of  $X$ .

On the other hand,  $(A_t : X_t) = (4Z \oplus (0) : Z \oplus 2Z) = \{0\}$  for all  $t > 0$ .

But  $(A : X)_t = (A_t : X_t)$  by [8, lemma 2.1.5].

Hence  $(A : X)_t = \{0\}$  for all  $t > 0$ . It follows that :

$$(A : X)(r) = \begin{cases} 1 & \text{if } r = 0 \\ 0 & \text{If } r \neq 0 \end{cases}$$

$= 0_I$ , which can be easily shown a semiprime fuzzy ideal of  $Z$ .

### Proposition 3.4 :

If  $A$  is a primary fuzzy submodule of a fuzzy module  $X$ , then  $(A : X)$  is semiprime fuzzy ideal of  $R$  if and only if  $A$  is prime fuzzy submodule.

### **Proof :**

Suppose that  $A$  is primary fuzzy submodule and  $(A : X)$  is a semiprime fuzzy ideal of  $R$ .

Let  $r_t$  be a fuzzy singleton of  $R$  and  $m_s \subseteq X$  such that  $r_t m_s \subseteq A$ .

suppose that  $m_s \not\subseteq A$ .

since  $A$  is primary fuzzy submodule, then

$r_t \subseteq \sqrt{(A : X)}$ , hence  $r_t^n \subseteq (A : X)$  where  $n \in \mathbb{Z}_+$ .

But  $(A : X)$  is semiprime fuzzy ideal, then  $r_t \subseteq (A : X)$ .

Thus,  $A$  is prime fuzzy submodule.

Conversely, Let  $A$  be a prime fuzzy submodule of  $X$ .

By [8, proposition 2.1.3],  $(A : X)$  is a prime fuzzy ideal of  $R$ , hence  $(A : X)$  is semiprime fuzzy ideal since any prime fuzzy ideal is semiprime fuzzy ideal.

The following corollary is an immediate consequence of proposition 3.4 .

### Corollary 3.5 :

Let  $A$  be a primary fuzzy submodule of a fuzzy module  $X$ . Then  $(A : X)$  is semiprime fuzzy ideal of  $R$  if and only if  $A$  is semiprime fuzzy submodule of  $X$ .

### Proposition 3.6 :

If  $B$  is a primary fuzzy submodule of a fuzzy module  $X$  containing semiprime fuzzy submodule  $A$  such that  $\sqrt{(B : X)} = (A : X)$ , then  $B$  is semiprime fuzzy submodule.

### Proof :

It is clear that  $(A : X) \subseteq (B : X) \subseteq \sqrt{(B : X)} = (A : X)$

Hence,  $(B : X) = (A : X)$

But,  $A$  is semiprime fuzzy submodule, so  $(A : X)$  is semiprime fuzzy ideal by corollary 3.2. It follows that  $(B : X)$  is semiprime fuzzy ideal of  $R$ , also  $B$  is primary fuzzy submodule, implies that  $B$  is semiprime fuzzy submodule by corollary 3.5 .

### Proposition 3.7 :

Let  $A$  be a fuzzy submodule of a fuzzy module  $X$ . Then  $A$  is semiprime fuzzy submodule if and only if  $(A : I)$  is semiprime fuzzy submodule of  $X$  for any fuzzy ideal  $I$  of  $R$ , where  $(A : I) = \{a_k : a_k I \subseteq A, a_k \subseteq X\}$ .

**Proof :**

Suppose that  $A$  is semiprime fuzzy submodule. By [10, theorem 3.3],  $(A : I)$  is a fuzzy submodule of  $X$ . To prove  $(A : I)$  is semiprime fuzzy submodule of  $X$ .

Let  $r_i^2 x_s \subseteq (A : I)$ , then  $(r_i^2 x_s)I \subseteq A$ .

Hence  $r_i^2(a_i x_s) \subseteq A$  for all  $a_i \subseteq I$ .

But  $A$  is semiprime fuzzy submodule of  $X$ , so  $r_i(a_i x_s) \subseteq A$ .

Then  $(r_i x_s)I \subseteq A$ . It follows that  $r_i x_s \subseteq (A : I)$  which means that  $(A : I)$  is semiprime fuzzy submodule of  $X$ .

Conversely, suppose that  $(A : I)$  is semiprime fuzzy submodule of  $X$  for all fuzzy ideals  $I$  of  $R$ .

Taking  $I = X_R$ , where  $X_R(a) = 1$  for all  $a \in R$ .

Firstly,  $A \subseteq (A : X_R)$  by [10, lemma 3.4(1)].

On the otherhand, if

$x_t \subseteq (A : X_R)$ , then  $x_t X_R \subseteq A$ . So by [10, lemma 2.16(1)] then

$$(x_t X_R)(w) = \begin{cases} t & \text{if } w = ax \text{ for some } a \in R \\ 0 & \text{otherwise} \end{cases}$$

$$\leq A(w) \text{ for all } w \in M.$$

Consequently,  $(x_t X_R)(x) = t \leq A(x)$ ; that is  $x_t \subseteq A$  and

hence  $(A : X_R) \subseteq A$ . Thus,  $A = (A : X_R)$ .

Therefore  $A$  is semiprime fuzzy submodule of  $X$ .

**Proposition 3.8 :**

Let  $A$  and  $B$  be two fuzzy submodules of a fuzzy module  $X$ .

Let  $T = A \cap B$ , if  $A$  and  $B$  are prime fuzzy submodules, then  $T$  is a semiprime fuzzy submodule of  $X$ .

**Proof :**

It is similar to the proof to [8, *remark 2.2.4*].

**Corollary 3.9 :**

If  $A$  is semiprime fuzzy submodule of a fuzzy module  $X$  and  $B$  is a fuzzy submodule of  $X$  such that  $B \not\subseteq A$ , then  $A \cap B$  is semiprime fuzzy submodule of  $B$ .

**Proof :**

Since  $B \subseteq A$ , then  $A \cap B$  is a proper fuzzy submodule in  $B$ .

Now, let  $r_t, m_s$  be fuzzy singletons of  $R$  and  $B$  respectively such that  $r_t^2 m_s \subseteq A \cap B$ , hence  $r_t^2 m_s \subseteq A$  and  $r_t^2 m_s \subseteq B$ .

But,  $m_s \subseteq B$ , then  $r_t m_s \subseteq B$

Also,  $A$  is semiprime fuzzy submodule of  $X$ . Therefore;  $r_t m_s \subseteq A$ .

So,  $r_t m_s \subseteq A \cap B$

That is;  $A \cap B$  is semiprime submodule of  $B$ .

The following proposition gives the relationship between semiprime fuzzy submodules and weakly pure fuzzy submodules.

**Proposition 3.10 :**

Let  $X$  be a fuzzy module of an  $R$ -Module  $M$  such that any fuzzy submodule is cyclic fuzzy submodule, then every proper fuzzy submodule is semiprime if and only if every fuzzy submodule is weakly pure.

**Proof :**

Let  $A$  be a proper fuzzy submodule of  $X$ .

Suppose that  $A$  is semiprime fuzzy submodule of  $X$ . To prove  $r_t X \cap A = r_t A$

Let  $y_k \subseteq r_t X \cap A$ , then  $y_k \subseteq A$  and  $y_k = r_t a_s$  for some  $a_s \subseteq X$ .

So  $r_t y_k = r_t^2 a_s \subseteq r_t A$ , since  $r_t A$  is a proper fuzzy submodule of  $X$ , thus  $r_t A$  is semiprime fuzzy submodule of  $X$ .

Therefore,  $r_t a_s \subseteq r_t A$ . Hence  $y_k \subseteq r_t A$ . Thus  $r_t X \cap A \subseteq r_t A$ .

On the other hand  $r_t A \subseteq r_t X \cap A$ , implies that  $r_t X \cap A = r_t A$  for all fuzzy singleton  $r_t$  of  $R$ . That is;  $A$  is weakly pure fuzzy submodule of  $X$ .

Conversely, suppose that every fuzzy submodule is weakly pure.

Let  $r_t^2 a_s \subseteq A$  for  $a_s \subseteq X$  and a fuzzy singleton  $r_t$  of  $R$ .

It is clear that  $r_t a_s \subseteq (r_t a_s)$  where  $(r_t a_s)$  is the cyclic fuzzy submodule of  $X$  generated by  $r_t a_s$ , also  $r_t a_s \subseteq r_t X$ , then  $r_t a_s \subseteq r_t X \cap (r_t a_s)$ .

But  $r_t X \cap (r_t a_s) = r_t (r_t a_s)$  by hypothesis, implies that

$r_t a_s \subseteq r_t (r_t a_s) = r_t^2 a_s \subseteq A$ . Thus  $r_t a_s \subseteq A$ ; that is  $A$  is semiprime fuzzy submodule of  $X$ .

## REFERENCES

1. Hadi I.M.A., "Semiprime Fuzzy Submodules of Fuzzy Modules", Accepted in Ibn-AL-Haitham J. for pure and Applied Science, (2001).
2. Martines L., "Fuzzy Modules Over Fuzzy Rings in connection with Fuzzy Ideal of Fuzzy Ring", J. Fuzzy Mathematics, Vol. 4, PP. 843-857, (1996).
3. Mashinchi M. and Zahedi M.M., "On L-Fuzzy Primary Submodules", Fuzzy sets and systems, Vol. 49, PP. 231-236 (1992).
4. Liu W.J., "Fuzzy Invariant subgroups and Fuzzy Ideals", Fuzzy sets and systems, Vol. 8, PP. 133- 139, (1982).
5. Alkhamees Y. and Mordeson, J.N., "Fuzzy Principal Ideals and Fuzzy Simple Field Extensions", Fuzzy sets and Systems, Vol. 96, PP. 247-253, (1998).
6. Bhambert S.K., Kumar R. and Kumar P., "On Fuzzy Primary Submodules", Bull. Col. Math. Soc., Vol. 86, PP. 445- 452, (1994).
7. Nanda S., "Fuzzy Modules Over Fuzzy Rings", Bull. Coll. Math. Soc., Vol. 18, PP. 197- 200, (1989).
8. Jari R.H., "Prime Fuzzy Submodules and Prime Fuzzy Modules", M. Sc. Thesis, University of Baghdad, College of Education, Ibn-AL-Haitham, (2001).

9. Mukrje T.K., "Prime Fuzzy Ideals in Rings", *Fuzzy sets and systems* Vol. 32, PP. 337- 341, (1989).
10. Zahedi M.M., "On L- Fuzzy Residual Quotient Modules and P. Primary submodules", *Fuzzy sets and systems*, Vol. 51, PP. 333- 344, (1992).

# مجلة علوم



العلوم  
المستنصرية

ISSN 1814 - 635X



تصدرها كلية العلوم بالجامعة المستنصرية - بغداد - العراق

**مجلة  
علم الاجتماع**

مدير التحرير

الأستاذ الدكتور رضا ابراهيم البياتي

رئيس التحرير

الأستاذ الدكتور احسان شفيق دميرداغ

**هيئة التحرير**

عضو	أ.د. حسن هاشم سلمان
عضو	أ.م . د. طارق سهيل نجم
عضو	أ.م . د. عبد علي حمودي
عضو	أ.م . د. سجال عبد الوهاب الركابي
عضو	أ.م . د. كاظم حسن حسين الموسوي
عضو	م.د. علاء الدين جميل

# **مجلة علوم المستنصرية / كلية العلوم / الجامعة المستنصرية**

## **تذكير للسادة الباحثين والمقيمين**

الفقرات أدناه تذكير بتعليمات النشر لمجلة علوم المستنصرية يرجى مراجعتها والتقييد بها مع جزيل الشكر .

١. تقوم المجلة بنشر البحوث الرصينة التي لم يسبق نشرها في مكان آخر بعد إخضاعها للتقويم العلمي من قبل مختصين وبأي من اللغتين العربية او الانكليزية .
٢. يقدم الباحث طلباً تحريرياً لنشر البحث في المجلة على أن يكون مرفقاً بثلاث نسخ من البحث مطبوعة على الحاسوب ومسحوب بطابعة ليزرية وعلى ورق أبيض قياس (A4) مع قرص من (Disk) محملاً بأصل البحث ويرفض البحث الذي يكون عدد صفحاته أكثر من ١٥ صفحة وبضمونها الاشكال والجداول على أن لا يكون الحرف أصغر من قياس ١٢.
٣. يطبع عنوان البحث وأسماء الباحثين (كاملة) وعناؤينهم باللغتين العربية والإنكليزية على ورقة منفصلة شرط أن لا تكتب أسماء الباحثين وعناؤينهم في أي مكان آخر من البحث ، وتعاد كتابة عنوان البحث فقط على الصفحة الأولى من البحث .
٤. تكتب أسماء الباحثين كاملة بحروف كبيرة وفي حالة استخدام اللغة الإنكليزية وكذلك الحروف الأولى فقط من الكلمات (عدا حروف الجر والاضافة) المكونة لعنوان البحث ، وتكتب عناؤين الباحثين بحروف اعميادية صغيرة .
٥. تقدم خلاصتان وافيةان لكل بحث ، احدهما بالعربية والآخر بالإنكليزية وتطبع على ورقتين منفصلتين بما لايزيد على (٢٥٠) كلمة لكل خلاصة .
٦. تقدم الرسوم التوضيحية منفصلة عن مسودة البحث ، وترسم على ورق شفاف (Tracing Paper) بالحبر الصيني الاسود ، وترفق ثلاثة صور لكل رسم وتكتب المعلومات عنها على ورقة منفصلة .
٧. يشار إلى المصدر برقم يوضع بين قوسين بمستوى السطر نفسه بعد الجملة مباشرة وتطبع المصادر على ورقة منفصلة ، ويستخدم الأسلوب الدولي المعهود عليه عند ذكر مختصرات أسماء المجلات .
٨. يفضل قدر الامكان تسلسل البحث ليتضمن العنوان الرئيسة الآتية : المقدمة ، طرائق العمل ، النتائج والمناقشة ، الاستنتاجات ، المصادر ، وتوضع هذه العنوانين

دون ترقيم في وسط الصفحة ولا يوضع تحتها خط وتكتب بحروف كبيرة عندما تكون بالإنكليزية .

٩. يتبع الأسلوب الآتي عند كتابة المصادر على الصفحة الخاصة بالمصادر: ترقيم المصادر حسب تسلسل ورودها في البحث ، يكتب الاسم الأخير(اللقب) للباحث أو الباحثين ثم مختصر الأسمين الأولين فعنوان البحث ، مختصر اسم المجلة ، المجلد او الحجم ، العدد ، الصفحات ، (السنة) . وفي حالة كون المصدر كتابا يكتب بعد اسم المؤلف او المؤلفين عنوان الكتاب ، الطبعة ، الصفحات ، (السنة) الشركة الناشرة ، مكان الطبع .

١٠. بخصوص اجور النشر يتم دفع مبلغ ( ١٠٠٠٠ ) عشرة الاف دينار عند تقديم البحث للنشر وهي غير قابلة للرد ومن ثم يدفع الباحث ( ١٥٠٠٠ ) خمسة عشر الف دينار عند قبول البحث للنشر وبهذا يصبح المبلغ الكلي للنشر خمس وعشرون الف دينار .

## المحتويات

رقم الصفحة	الموضوع
٩ - ١	دراسة ميدانية عن بعض البكتيريا المعزولة من إصابات الأذن في محافظة بغداد براء قاسم هادي العوادي، نورية عبد الحسين علي، محمد هاشم الجنابي
٢٥ - ١٠	فصل وتشخيص لبعض المكونات الكيميائية الفعالة المستخلص المائي للثمار نبات الزعور ودراسة تأثيرها على فاعلية أنزيم الكولين استريليز في مصل دم الإنسان رضا ابراهيم البياتي، لميس باسم العلي
٢٩ - ٢٦	حساب ثابت القمة النووي لجهد هاتون باستخدام طاقات رابطة مختلفة عبد الرضا مجید الهر
٤٠ - ٣٠	دراسة التسرب المغناطيسي لعدسة مغناطيسيّة شبيهّة لا متّاظرة عبد عون كاظم السعدي، حسن نوري العبيدي، طالب محسن الشافعي
٦١ - ٤١	تقويم التعقّيد الخطّي لمولد هادمارد باستخدام المنطق المضباب ستار بدر سد خان قيس جميل الجميلي صبيحه فاضل جواد

# دراسة ميدانية عن بعض البكتيريا المعزولة من إصابات الأذن في محافظة

بغداد

كلية العلوم / جامعة بغداد

براء قاسم هادي العوادي

معهد الهندسة الوراثية والتكنولوجيا الإحيائية للدراسات العليا / جامعة بغداد

نورية عبد الحسين علي

وزارة الصحة / مستشفى الكرامة / بغداد

محمد هاشم الجنابي

## الخلاصة

جمع 56 عزلة لأنواع مختلفة من البكتيريا من 37 مريض كانوا يعانون من التهاب الأذن في منطقة الأذن، وقد أظهرت نتائج التسخين المختبري بأن البكتيريا المسببة لالتهاب الأذن قد تابعت حسب غلاظتها على النحو الآتي:- 10 عزلات *Staphylococcus aureus* (%17.8) ، 9 عزلات (*Haemophilus influenzae*) (%16.1) ، 7 عزلات (*Streptococcus pneumoniae*) (%12.5) ، 7 عزلات (*Moraxella catarrhalis*) (%12.5) ، 6 عزلات (*Staphylococcus epidermidis*) (%10.7) ، 6 عزلات (*Proteus mirabilis*) (%10.7) ، 6 عزلات (*catarrhalis*) (%7.1) ، 3 عزلات (*Pseudomonas aeruginosa*) (%3.6) ، 2 عزلات (*Klebsiella pneumoniae*) (%5.4) ، 2 عزلات (*Enterobacter cloacae*) (%3.6) و 2 عزلات (*Streptococcus viridans*) (%3.6). وقد انتشرت الإصابات عموماً في الأطفال دون سن العاشرة وفي الذكور أكثر من الإناث.

## ABSTRACT

Fifty six isolates of different bacteria species were collected from 37 patients who had suffered from infection in their ear. The results of laboratory diagnosis of bacterial isolates revealed that *Staphylococcus aureus* (10 isolates 17.8%) was the most dominant followed by *Streptococcus pneumoniae* (9

isolates, 16.1%), *Haemophilus influenzae* (7 isolates, 12.5%), *Staphylococcus epidermidis* (7 isolates, 12.5%) *Moraxella catarrhalis* (6 isolates, 10.7%) *Proteus mirabilis* (6 isolates, 10.7%), *Klebsiella pneumoniae* (4 isolates, 7.1%), *Pseudomonas aeruginosa* (3 isolates, 5.4%), *Streptococcus viridans* (2 isolates, 3.6%) and *Enterobacter cloaca* (2 isolates, 3.6%). Ear infection were predominately distributed among children aged 10 years and less, male affected more than female.

## المقدمة

ان اصابات الاذن من الاصابات الشائعة والتي ازدادت في السنوات الاخيرة . وتعتبر البكتيريا احد مسبباتها الرئيسية ، وعلى الرغم من ان بعض البكتيريا تتوارد طبيعياً في تلك المنطقة الا ان ذلك لا ينفي اشتراكها في مثل تلك الاصابات كما ان عزل اكثـر من نوع بكتيري واحد ومن موضع الاصابة نفسه جعل من الصعب تحديد المسبب الرئيس للإصابة ، وعموماً تشير معظم المصادر الى ان بكتيريا *S.pneumoiae* و *H.influenza* و *M.catarrhalis* تعد من المسببات الرئيسية لاصابات الجهاز التنفسـي العلوي مثل التهاب الاذن الوسطـي والتهاب الجيوب الانفـية (1,2). تشمل اصابات الاذن على التهاب الاذن الخارجية (Otitis externa) والذي يعد احد اصابات الحادة للقناة السمعـية الخارجية ويحدث عادة بسبب تعرض الاذن لدخول الاجسام الغريبـة او الجروح او الحشرات او الرطوبة وجميعها تبـيـئ لحدوث الاصابة بالاحياء المجهرـية وتحـدـث بشـكل التهاب الصـيوـان او وـتـدـ الاذـنـ فيـ حـيـنـ تـبـقـيـ طـبـلـةـ الاـذـنـ فيـ حـالـهـاـ الطـبـعـيـةـ (3) اما التـهـابـ الاـذـنـ الوـسـطـيـ (OM) فيـعـدـ اـهـمـ انـوـاعـ الـاـلـتـهـابـاتـ النـيـ غـالـبـاـ ماـ تـصـبـ الـاطـفـالـ (4) لا سيما فيـ السـنـينـ الـاـولـىـ منـ الـعـمـرـ (5,6) وـانـ مـعـظـمـ هـذـهـ الـاـصـابـاتـ سـبـبـهـ بـكـتـيرـيـ لـكـنـ الـبعـضـ الـاـخـرـ قدـ يـكـونـ فـايـروـسيـ (7) .

يـقـسـمـ التـهـابـ الاـذـنـ الوـسـطـيـ الىـ اـطـوـارـ مـخـتـلـفـةـ تـبـعـاـ لـطـبـيـعـةـ وـقـوـامـ الـافـراـزـاتـ المـتـدـفـقـةـ منـ الاـذـنـ الىـ التـهـابـ الاـذـنـ الوـسـطـيـ الـقـبـحـيـ (Purulent OM) وـ المـصـلـيـ (Serous OM) وـ المـخـاطـيـ (Mucoid OM) وـ يـقـسـمـ التـهـابـ الاـذـنـ الوـسـطـيـ الـقـبـحـيـ بـدورـهـ الىـ الحـادـ (Acute OM) وـ الـحادـ الـمـتـكـرـ (Recurrent acute OM) (8) وقد اـظـهـرـتـ المـلـاحـظـاتـ الطـبـيـةـ بـانـ تـلـكـ الاـشـكـالـ الـمـخـتـلـفـةـ منـ الـاـلـتـهـابـاتـ لـاـ تـكـونـ مـسـتـقـلـةـ بـحـدـ ذاتـهاـ وـانـماـ تـكـونـ مـتـداـخـلـةـ وـمـرـتـبـةـ دـيـنـامـيـكـيـاـ لـانـهاـ تـمـثـلـ عـمـلـيـةـ الـمـرـضـ نـفـسـهـ الـذـيـ يـتـطـورـ بـصـورـةـ مـتـواـصـلـةـ وـالـذـيـ قـدـ يـؤـديـ بـالـنـتـيـجـةـ الـىـ التـهـابـ

الاذن الوسطى المزمن (Chronic OM) (9) ويحدث التهاب عادةً بسبب حدوث خلل في قناة اوستاكى التي تربط الاذن الوسطى بالجزء العلوي من البلعوم (البلعوم الانفي) حيث يبدأ التهاب بشكل تحبب في الانسجة او تورم شحمي (كوليسترولي) (Cholestrotoma) يؤدى الى انسداد Ossicular القناة ومن ثم تجمع الافرازات تدريجياً في الاذن الوسطى مسببة تحطم عظيمات السمع (Ossicular destruction) او محدثة ثقب في طبلة الاذن (Ear drum) مما يؤدى الى حدوث خلل او فقدان في حاسة السمع وفي بعض الحالات قد تشفى الطبلة ذاتياً بمرور الزمن او قد يستمر تدفق الافرازات منها لتصبح الحالة المرضية مزمنة وعندها تبقى المشكلة السمعية دائمة (10) كما وتتغلب الحساسية الموسمية او الغذائية لدى بعض الاشخاص دورةً مهماً في التهاب الاذن الوسطى لاسيما في الاطفال الذين يعانون من نقص في المناعة (11).

## المواد وطرق العمل

جمع العينات : جمعت العينات عن طريق اخذ مسحات باستعمال قطبيات (swabs) معقمة من (37) مريض يعانون من اصابات في الاذن الوسطى والخارجية وتراوحت الاصابات بين الطور الحاد والطور المزمن للمرض لكلا الجنسين ولمختلف الاعمار. وقد تم جمع العينات من كل من مستشفى الكرامة التعليمي ومستشفى النيرموك التعليمي في محافظة بغداد لمدة من شهر تشرين الثاني 1998 ولغاية شهر نيسان 1999 .

عزل وتشخيص العينات : نقلت المسحات الى المختبر وزرعت مباشرةً على وسط اكار الدم ووسط اكار الماكونكي ووسط اكار الجوكليت ثم نشرت المسحة على سطح الوسط الصلب باستخدام الشنق (Loop) المعقم لتأمين الحصول على مستعمرة منفردة من البكتيريا يتحمل توافرها في المسحة ثم حضنت الاطباق بدرجة حرارة 37°C لمدة 24 ساعة، وبعد ظهور نمو المستعمرات على سطح الاوساط الزرعية الخاصة بالزرع الاولى شخصت العزلات مبدئياً اعتماداً على الصفات الشكلية والزرعية ثم درست تحت المجهر بعد تصسيغها بصبغة كرام (Gram Stain) ثم تم تشخيص العزلات على وفق ما جاء في (12) . Holt et. al (12)

## النتائج والمناقشة

تم جمع 56 عزلة لأنواع مختلفة من البكتيريا من 37 مريض كانوا يعانون من إصابات في منطقة الأذن ، ووجد بان (6) اشخاص منهم مصابين بالتهاب الأذن الخارجية الناتج عن حدوث تلوث الجروح الموجودة في القناة السمعية الخارجية ، في حين 31 شخص منهم عانوا من التهاب في الأذن الوسطى [ 12 اصابة مزمنة(38.7%) ، 19 اصابة حادة(61.3%) ] وكان 7 من المرضى مصابين بمرض الأنفلونزا ، ومن العلامات السريرية التي سادت في معظم المصابين هي الم في الأذن مع صداع شديد في بعض الحالات رافقها تدفق افرازات مصلية او قيحية او مخاطية في اغلب الاحيان ، كما وجد بان البكتيريا المسئولة لالتهاب الأذن عموماً تتبع حسب غلبتها على النحو المشار اليه في الجدول رقم (1) .

كما لوحظ انتشار الاصابات عموماً في الاطفال دون سن العاشرة وفي الذكور اكثر من الإناث  
جدول (٢).

وجد ان المسبب الرئيسي لالتهاب الأذن هو بكتيريا *S.aureus* 10 عزلات (17,8%) وما يؤكد دور هذه البكتيريا انها عزلت نقية في ثلاثة من الحالات وقد اشير الى دور هذه البكتيريا الرئيس في التهاب الأذن الوسطى المزمن (١٣) . ومن الجدير بالذكر ان ثلاثة من المرضى مصابين بمرض الأنفلونزا وهذا يؤكد ما وجد في دراسة اخرى حول الاصابات الثانوية الناتجة عن الاصابة بهذه البكتيريا (١٤) .

تعد بكتيريا *S. pneumoniae* 9 عزلات (16,1%) من المسببات الرئيسية لالتهاب الأذن وكانت 4 منها بصورة نقية وقد اشير الى اهمية هذه البكتيريا في التهاب الأذن الوسطى لاسيما في الاطفال بعمر سنين فما دون (١٥) .

اما بكتيريا *H.influenzae* وبكتيريا *S.epidermidis* فقد شخصت 7 عزلات (12,5%) من كل منهما . وقد عزلت 3 من بكتيريا *H.influenzae* بصورة نقية مما يدل على دورها المباشر في الاصابة ومن الجدير بالذكر ان 4 منها عزلت من اطفال دون سن الثالثة وقد اشير الى دور هذه البكتيريا في اصابات الأذن الوسطى لا سيما في الاطفال بعمر ٣ سنوات فما دون (16,17,18) .

اما بكتيريا *S.epidermidis* التي تعد من البكتيريا المتعايشة طبيعيا والتي تشغّل مساحات واسعة من جسم الإنسان مثل الجلد والقوفـات التنفسية العليا (١٩) فقد تم تشخيص ٧ عزلات منها في منطقة الأذن ولم تعزل في أي من الحالات بصورة نقيـة وإنما جاءت مختلطة مع أنواع أخرى من البكتيريا وقد تكون على الأغلب هي السبب الرئيسي للإصابة .

اما بكتيريا *P.mirabilis* و *M.catarrhalis* فقد شخصت ٦ عزلات (١٠,٧٪) من كل منها . ولم تعزل بكتيريا *M.catarrhalis* في أي من الحالات بصورة نقيـة وإنما عزلت مختلطة مع بكتيريا أخرى إلا ان ذلك لا ينفي ان تكون هي السبب الرئيسي للإصابة على الرغم من كونها البكتيريا المعايشة طبيعيا في منطقة البلعوم الأنفي (٢٠) . وقد اشير الى انها تعد حاليا ثالث اكبر المسببات المرضية بعد بكتيريا *S.pneumoniae* و *H.influenzae* (٢) .

اما بكتيريا *P.mirabilis* فقد لوحظ باـن جميع المصاـبين الذين عزلـت منهـم هذه البكتيرـيا يعـانون من تـدفق اـفرـازـات مـخـاطـية من منـطـقة الأذـن وـقد اـشـيرـ الى دورـها في التـهـابـ الأذـن (٣) .

اما بكتيريا *K.pneumoniae* فقد شـخصـت (٤) عـزلـات (٧,١٪) منها من منـطـقة الأذـن وكانت عـزلـتين منها بصـورـة نـقـيـة .

اما بكتيريا *P.aeruginosa* فقد شـخصـت (٣) عـزلـات (٥,٤٪) منها ، وـجمـيعـها من كـبـرـ في السن اـثنـان مـنهـم كانوا يـعـانـون من مـرضـ الانـفلـونـزا . وـقد وـجـدـ انـ هـذـهـ البـكتـيرـياـ نـادـراـ ما تصـيبـ الجـهاـزـ التنـفـسيـ لـلـأـشـخاصـ الطـبـيعـينـ وـقدـ تـصـبـحـ فـعـالـةـ فيـ الـأـشـخـاصـ الـذـيـنـ يـعـانـونـ مـنـ حـالـاتـ مـزـمنـةـ اوـ ضـعـفـ فيـ الجـهاـزـ المنـاعـيـ (٢١) وـ انـهاـ تـعدـ مـنـ مـسـبـاتـ الرـئـيـسـيـةـ لـالتـهـابـ الأـذـنـ الوـسـطـيـ المـزـمنـ (٢٢,١٣) .

كـماـ تمـ تـشـخيـصـ عـزلـتانـ (٣,٦٪)ـ مـنـ كـلـ مـنـ بـكتـيرـياـ *E. cloaca*ـ وـ *S.viridans*ـ وـ قدـ جاءـتـ عـزلـتيـ *S.viridans*ـ مـخـتلـطةـ مـعـ بـكتـيرـياـ مـرـضـيـةـ ،ـ الاـ انـ ذـلـكـ لاـ يـنـفـيـ اـشـتـراكـهاـ فيـ التـهـابـ الأـذـنـ الوـسـطـيـ (٢٠)ـ ،ـ اـماـ عـزلـتيـ *E.cloaca*ـ فقدـ عـزلـتـ اـحـدـاهـماـ بـصـورـةـ نـقـيـةـ مـاـ يـدـلـ عـلـىـ دـورـهاـ المـباـشـرـ فيـ الـاصـابـةـ وـقدـ لـوـحـظـ زـيـادـةـ فيـ نـسـبـةـ الـاصـابـةـ بـهـذـهـ الـبـكتـيرـياـ مـؤـخـراـ وـاشـتـراكـهاـ فيـ العـدـيدـ مـنـ الـاصـابـاتـ الـخـطـيرـةـ (٢٢)ـ .ـ وـانـ لـهـذـهـ الـبـكتـيرـياـ دـورـ فـيـ اـصـابـاتـ الـمـسـتـشـفـيـاتـ مـثـلـ ذاتـ الرـئـةـ (٢٤)ـ .ـ

ومن الجدير بالذكر ان انتشار الاصابات في الاطفال بعمر 10 سنوات فما دون لكونهم اكثر عرضة للإصابة بسبب مناعتهم الفليلة وبسبب قصر قناة اوستاكى في الاطفال مقارنة بالكبار والتي يسهل انغلاقها عند حدوث أي التهاب بسيط فيها مما يؤدي الى تجمع الافرازات في الاذن الوسطى ومن ثم التهابها فضلا عن سهولة انتشار الاصابة بين تلاميذ المدارس وان انتشار الاصابة بين الذكور اكثر من الاناث يعود الى ان معظم الذكور يشغلون مجالات عمل مختلفة مما يجعلهم اكثر عرضة للإصابة من الاناث علما ان معظم المصابين من الطبقات الاجتماعية الفقيرة وذات مستوى ثقافي متوسط او دون ذلك .

جدول(١) اعداد عزلات بكتيريا الاذن ونسبة المئوية

النسبة المئوية	عدد العزلات	العزلات البكتيرية	ت
17.8	10	<i>Staphylococcus aureus</i>	1
16.1	9	<i>Streptococcus pneumoniae</i>	2
12.5	7	<i>Haemophilus influenzae</i>	3
12.5	7	<i>Staphylococcus epidermidis</i>	4
10.7	6	<i>Moraxella catarrhalis</i>	5
10.7	6	<i>Proteus mirabilis</i>	6
7.1	5	<i>Klebsiella pneumoniae</i>	7
5.4	3	<i>Pseudomonas aeruginosa</i>	8
3.6	2	<i>Streptococcus viridans</i>	9
3.6	2	<i>Enterobacter cloaca</i>	10
100	56	المجموع	

جدول (٢) توزيع إعداد المصابين بالتهابات الأذن حسب العمر والجنس

الفئة العمرية	ذكور	إناث	المجموع
10 سنوات فما دون	6	4	10
سنة 20-21	2	3	5
سنة 30-31	3	3	6
سنة 40-41	4	2	6
سنة 50-51	5	2	2
أمسنة فما فوق	5	3	8
المجموع	20	17	37

المصادر

1. Pichichero, M.E.& Pichichero, C.L.(1995).Persistent acute otitis media: causative Pathogens. J.Pediater.Infect. Dis.14:178-183.
2. Enright, M.C.; & Mckenzie, H. (1997). Moraxella (Branhamella) catarrhalis-clinical and molecular aspects of a rediscovered pathogen. J.Med. Microbiol. 64:360-371.
3. Prince,A.(1998).Infections Diseases in :Behrman,R.E. & Kligman, R.M.(eds.), Nelson essentials of pediatrics.(3ed.) Printed by Saunders Company.United States of America PP:315-418.

4. Lamphear, B.P.; Byrd, R.S. & Auinger, P. (1997). Increasing prevalence of recurrent otitis media among children in the United States. *Pediatrics* 99:E1.
5. Paradise, J.L.; Rockett, H.E. & Colborn, D.K. (1997) Otitis media in 2253 pittsburgh-area infants: Prevelance & risk factors during the first two years of life. *Pediatrics* 99:318.
6. Alho, O.P.; Koivu, M.; Sorri, M. & Rantakallio, P. (1991). The occurrence of acute otitis media in infants: a life-table analysis. *Int. J. Pediatr. Otorhinolaryngol.* 21:7.
7. Chonmaitree, T. & Heikkinem, T.(1997). Role of viruses in middle ear disease. *Ann. N.Y.Acad.Sci.* 830:143.
8. Paparella, M.M. & Schachern, P. (1994). New development in treating otitis media. *Ann. Otol. Rhinol. Laryngol. Suppl.* 163:7.
9. Yoon, T.H.; Paparella, M.M. & Schachern, P.A. (1990). Morphometric studies of continuum of otitis media. *Ann. Otol. Laryngol Suppl.* 149:23.
10. Jung, T.T. & Hanson, J.B. (1999). Classification of otitis media & surgical principles. *J. Otolaryngologic clinic North America* 32(3):369-383.
11. Tortora, G.J.; Funke, B.R. & Cope, C.L. (1986). *Microbiology an Introduction*. Second edition. The Benjamin Cummings Publishing Company, Inc.
12. Holt, J.; Krieg, N.; Sneath, P.; Staley, J. & William, S. (1994). *Bergy's manual of determinative bacteriology*. 9<sup>th</sup>(ed.) William & Wilkins Publication. London, New York.
13. Erkan, M.; Aslan,T. & Einhorn,M. (1994). Bacteriology of chronic suppurative otitis media. *Ann. Otol. Rhinol. Laryngol.* 103:1771.
14. Macfarlane, J. (1982). Lobar pneumonia. *Post. graduat. doct.* 5(10): 424-462.
15. Gray, B.W. & Dillon, H.C. (1998). Epidemiology studies of *Streptococcus pneumoniae* in infants antibody to type 3, 6, 14 & 23 in the first two years of life. *J. Infect. Dis.* 158:948-955.
16. Harabuchi, Y.; Faden, H. & Yamanaka, N. (1994). Nasopharyngeal colonization with non-typable *Haemophilus influenzae* & recurrent otitis medis. *J. Infect. Dis.* 170: 2759-2762.
17. Faden, H.; Waz, M.J. & Bernstein, J.M. (1991). Nasopharyngeal flora in the first three years of life in normal & otitis prone children, *Ann. Otorhinolaryngol.* 100:612-615.

18. Faden, H.; Duffy, L.; Williams, A.; Krestofik, D. & Wolf, J. (1995). Epidemiology of nasopharyngeal colonization with non-typeable *Haemophilus influenzae* in the first 2 years. *J.Infect. Dis.* 172:132-135.
19. Kloos, W.E. & Bannerman, T.L. (1994). Update on clinical significance of coagulase of negative staphylococci. *J. Clin. Microbiol. Rev.* 7(1):117-140.
20. Faden, H.; Duffy, L.; Wasilewski, R.; Wolfson, J.; Krystofik, D.; Tung, Y. & Tonawanda (1997). Relationship between nasopharyngeal colonization and the development of otitis media. *J.Infect. Dis.* 175:1440-1445.
21. Brook,I. & Fink,R. (1983). Transracheal aspiration in Pulmonary infection in children with cystic fibrosis. *J.Respir. Dis.* 64:51-57.
22. حسکر، رباب فاسم (٢٠٠٠) ، دراسة بعض البكتيريا الهوائية المقاومة للمضادات الحيوية المعزولة من المرضى المصابين بالتهاب الأنف الوسطى. رسالة ماجستير / كلية العلوم / جامعة بغداد.
23. Falkiner, F.R. (1992). Enterobacter in hospital. *J.Hosp. Infect.* 20:137-140.
24. Jarvis, W.R. & Martone, W.J. (1992). Predominant pathogens in hospital infection. *J.Antimicrob. Chemother* 29 (Suppl.A) 19-24..

فصل وتشخيص لبعض المكونات الكيميائية الفعالة للمستخلص المائي لثمار نبات الزعور ودراسة تأثيرها على  
فعالية أنزيم الكولين استريلز في مصل دم الإنسان  
رضا ابراهيم البياتي، لميس باسم العلي

**فصل وتشخيص لبعض المكونات الكيميائية الفعالة للمستخلص المائي لثمار  
نبات الزعور ودراسة تأثيرها على فعالية أنزيم الكولين استريلز في مصل  
دم الإنسان**

الجامعة المستنصرية/ كلية العلوم/ قسم الكيمياء

رضا ابراهيم البياتي ، لميس باسم العلي

### **الخلاصة**

تضمن البحث دراسة لبعض المكونات الكيميائية للمستخلص المائي لثمار نبات الزعور، حيث أظهرت النتائج أن محلول المستخلص المائي ذو وسط حامضي يحتوي على مجموعة من المركبات الكلايكوسيدية، والقلويدات، والفلافونويدات، والتانينات، بالإضافة إلى الصابونيات. تم فصل وتشخيص بعض الفلافونويدات من ثمار نبات الزعور (المورين، الكورسرين و الكامبفيرول) باستخدام تقنية كروموتوغرافيا الطبقة الرقيقة (TLC)، وأطیاف (IR, UV). كذلك ضمن البحث دراسة تأثير الفلافونويدات الخام، والفلافونويدات المعزولة و القلويدات الخام على فعالية أنزيم الكولين استريلز في مصل دم الإنسان، حيث أظهرت النتائج أن لهذه المحتويات تأثيراً منشطاً على فعالية الأنزيم (ChE).

### **ABSTRACT**

A study on chemical constituents of aqueous extract of Hawthorn Berries fruits was investigated. It has been found that this extract contained flavonoids, alkaloids, glycoside, tannic and saponin compounds.

Three flavonoids (Morin, Quercetin and Kampferol) were isolated and identified using TLC and some spectral data (IR, UV). Also effects of crude flavonoids, isolated flavonoids and crude alkaloids on the activity of acetyl cholin esterase were involved.

Oral administration of above constituents produced an activation of ChE in human blood.

## المقدمة

إن نبات الزعور استخدم منذ العصور القديمة لمعالجة أمراض القلب<sup>(١)</sup> وقد بيّنت الدراسات السابقة أن النبات يزيد من تدفق الدم إلى القلب والدماغ وينظم ضربات القلب ويُخفض من ضغط الدم<sup>(٢)</sup>. المركبات الموجودة في الزعور يمكن أن تساعد على حماية القلب من نقص كمية الأوكسجين الواصل إليه والتي تؤدي إلى حدوث الذبحة الصدرية. كذلك تعمل هذه المواد على توسيع الشرايين وتعطي طاقة للجسم وهي مركبات مضادة للأكسدة تساعد على انسياب الدم والأوكسجين إلى القلب<sup>(٣)</sup>، بالإضافة إلى أن هذه المركبات تؤدي إلى التقليل من كوليسترول الدم<sup>(٤)</sup>، ويستعمل البعض منهم الزعور لتثبيك الصدر فوق موضع القلب لتسكين الألم<sup>(٥)</sup>. بالرغم من الأهمية الطبية لنبات الزعور إلا أنه لم يكن هناك دراسات لمعرفة المكونات الفعالة لأجزاء النبات لفصلها وتشخيصها من جهة ومن جهة أخرى لا تحتوي الأدبيات دراسات تختص تأثير هذه المكونات الفعالة على فعالية إنزيم الكولين أستيريز التي لها دور فسيولوجي فعال وأساسي في عمل نقل الإشارات الحسية بين الأعصاب والعقد العصبية والعضلات ونقل هذه الإشارات بين الوحدات العصبية المختلفة في الجهاز العصبي<sup>(٦-٩)</sup>. وقد أشارت الأبحاث إلى الأهمية الدوائية لأنزيمات (ChE) حيث أنها تعتبر من الأنزيمات المسئولة عن تحلل مخدرات الأعصاب والعضلات ذات الطبيعة الاسترية وكذلك المركبات المستخدمة في التخدير الموضعي مثل السكستيل كوليدين<sup>(١٠)</sup>. الدراسة الحالية تضمنت فصل المكونات الفعالة للمستخلص العائي لثمار نبات الزعور وبالخصوص الفلافونويدات وتشخيصها بالطرق الطيفية بالإضافة إلى معرفة تأثير خام الفلافونويدات والفالافونويدات المفصولة وكذلك القلويدات الخام على فعالية إنزيم الكولين أستيريز.

## النبات الطبيعي المستخدم في الدراسة

الاسم الإنجليزي: Hawthorn .Hawthorn

الاسم العلمي: Crataegus oxyacanthal .Crataegus oxyacanthal

الفصيلة: الوردية (Rosaceae) .(Rosaceae)

موطن النبات: منطقة البحر المتوسط شرقاً وغرباً.

الجزء الطبي: الأزهار والثمار والأوراق.

## الوصف العام

الزعور عبارة عن شجيرة شوكية يبلغ ارتفاعها من (5 - 13) قدم وتنتمي إلى فصيلة الورديات (Rosaceae)، تنمو في السياج والأحراج فهي حرجية متوسطة الحجم، فروعها تنتهي بشوك، أوراقها مجعدة وصلبة ذات لون أخضر داكن براق، وعند الأطراف السفلية تكون خضراء مائلة للزرقة، وتزهر أزهاراً بيضاء إذ تفتح الأزهار خلال شهر أيار إلى شهر حزيران، وأوراق الطلع فيها وردية أو حمراء وتكون على شكل عناقيد ورائحتها غير مستساغة، أثمارها كروية حمراء ولمساء وتحوي كل منها على (2 - 3) نواة<sup>(13)</sup>. ويزرع في مناطق عديدة من العالم في أوربا وشمال إفريقيا وشرق آسيا. إذ ينمو في جوانب التلال وفي مناطق من الغابات الاستوائية، وفي العراق ينمو هذا النبات في أنحاء القطر كافة<sup>(15.14)</sup>. إن الجزء المستخدم من هذا النبات هو الأزهار والثمار والأوراق، وأخيراً يعد الزعور نباتاً غير سام<sup>(15)</sup>.

## المواد وطرائق العمل

تم الحصول على ثمار نبات الزعور من الأسواق المحلية ثم طحن إلى مسحوق ناعم.

### ١. تحضير مركز المستخلص المائي لنبات الزعور:

تم استخدام (100 gm) من مسحوق ثمار نبات الزعور وأضيف إليها (L1) من الماء المقطر بدرجة حرارة الغرفة حرك المزيج باستخدام محرك كهربائي لمدة (48) ساعة. ثم رشح وأعيد غسله مرتين بالماء المقطر وأجريت عليه نفس الخطوات أعلاه. جمعت الرواشح الناتجة من عمليات الغسل معاً وتم تركيزها باستخدام التبخير (Rotary evaporator) واستخدم الماء المقطر كمذيب للمستخلص الجاف.

### ٢. الكشوفات النوعية:

في الكشف الكيميائي التمهيدي لبعض المكونات الكيمياوية الفعالة لثمار نبات الزعور تم استعمال الكواشف التالية<sup>(16)</sup>:

كاشف فيلوك ومحلول بندكت ودراكندروف وواكنر وماير ومحاليل كلوريدي الحديد (1%)، خلات الرصاص (1%)، حامض الهيدروكلوريك (4%) وكلوريد الزئبق (5%) وهيدروكسيد الصوديوم الإيثانولي (N) وشرانط المغنسيوم مع حامض الهيدروكلوريك المركز ومحلول نترات الفضة النشادي، وتم تحضير الكواشف والمحاليل حسب الطريقة المشار إليها في المصادر أعلاه.

### ٣. الأجهزة ونوع السليكا المستخدمة:

#### أ. مطيافية الأشعة فوق البنفسجية نوع:

Hitachi Spectrophotometer Model U-2000

#### ب. مطيافية الأشعة تحت الحمراء نوع:

Pye Unicam Spectrophotometer Model SP3-100

ج. استعمل السليكا جيل المستورد نوع 254 AG-60F في كروماتوغرافيا العمود والطبقه الرقيقة.

#### ٤. استخلاص وتنقية الفلافونويدات من ثمار نبات الزعور:

تم إضافة (250 gm) مسحوق ثمار نبات الزعور المجف بالظل تدريجياً إلى دورق سعة (600 ml) تحتوي على حامض الهيدروكلوريك HCl (2 N) بنسبة (12:1) (A/W) على التوالي.

ثم وضع الدورق في حمام مائي بدرجة (C° 100) ولمدة (45) دقيقة لإجراء عملية التحطيم (Hydrolysis) مع التقليب كل (15) دقيقة، بعدها تم تبريد الخليط إلى (C° 25-27) ثم رشح تحت تفريغ باستعمال مضخة نوع (BS - 2208) وقمع بختر، واستعمال أوراق ترشيح والمتان رقم (1) وبعدها تم التخلص من الكاروتينات والكلوروفيل والشموع من الراشح باستعمال مذيب الأثير النفطي (Petroleum ether 40-60 C°) أربع مرات باستعمال (50 ml) في كل مرة، تم التخلص من طبقة المذيب المحتوية على المواد الذائبة السابقة الذكر باستعمال قمع الفصل (Separating funnel) سعة (500 ml) بعدها تم استعمال مذيب خلات الأثيل Ethyl acetate لغرض استخلاص المركبات الفلافونويدية (Agllycones) من الراشح المتبقى وأعيدت العملية أربع مرات بواقع (50 ml) في كل مرة، تم فصل طبقة المذيب عن الجزء المائي باستعمال قمع الفصل ثم جمعت طبقات المذيب وأحتفظ بالجزء المائي الحامضي في الثلاجة، ومن ثم تم استعمال البخار للتوار نوع (BiBy-349 / 2) في تفريغ على درجة (C° 2 ± 40) لغرض

فصل وتشخيص بعض المكونات الكيميائية الفعالة للمستخلص المائي لثمار نبات الزعور ودراسة تأثيرها على  
فعالية أنزيم الكولين استريلز في مصل دم الإنسان

رضا ابراهيم البياتي، لميس باسم العلي

تركيز المستخلص والتخلص من المذيب، بعدها تم التخلص من الرطوبة المتبقية باستعمال كبريتات  
الصوديوم اللامائية (Anhydrous sodium sulphate) <sup>(17)</sup>.

تم استعمال كروموجرافيا الطبقة الرقيقة (TLC) (استعملت الواح زجاجية وألومنيوم  
بأبعاد (20 × 20) سم مغطاة بمادة السليكا جيل (GF 254) بسمك (0.2 mm) سم من شركة  
الألمانية لفصل وتشخيص المركبات الفلافونويديه باستعمال المذيبات التالية <sup>(19,18)</sup>: -

- ❖ Toluene / ethyl acetate / ethanol (2:1:1).
- ❖ n-Butanol / acetic acid / water (4:5:1).
- ❖ Ethyl acetate / methyl ethyl ketone / formic acid / water (5:3.5:1:0.5).
- ❖ Chloroform / ethanol / methyl ethyl ketone (12:2:1).

حيث ظهر إن أفضل فصل هو باستخداام نظام: -

- ❖ n-Butanol / acetic acid / water (4:1:5).
  - ❖ Ethyl acetate / methyl ethyl ketone / formic acid / water (5:3.5:1:0.5).
- استخدمت في عملية عزل الفلافونويديات طريقة التقية بوساطة تقنية الـ (Preparative TLC)، حيث تم عزل ثلاثة مركبات أساسية هي (Quercetin, Kampferol, Morin)، وكان الطور الناقل المستخدم لعملية الفصل هو: -
- ❖ n-Butanol / acetic acid / water (4:1:5) <sup>(18)</sup>.

##### ٥. استخلاص القلويديات من ثمار نبات الزعور: -

حضر مستخلص مائي من نقع (100 gm) من ثمار نبات الزعور في لتر من الماء المقطر ولمدة (48) ساعة ثم أضيف إليها بضع قطرات من الأمونيا بتركيز (%) 10 بالتدريج إلى أن أصبحت الحامضية متعادلة تقربياً (pH = 7 – 7.4) وذلك لتحرير القلويديات.

ترك المستخلص بعدها لمدة (24) ساعة حيث تم استخلاص القلويديات بوساطة مذيب الكلوروفورم ومن ثم تبخير المذيب للحصول على راسببني غامق والذي يمثل مزيج القلويديات <sup>(18)</sup>.

##### ٦. دراسة وتشخيص مزيج الفلافونويديات والمركبات المنفحة بوساطة TLC, UV, IR

###### ٦.١. تقنية الـ (TLC): -

تم تشخيص مزيج الفلافونويديات والمركبات المنفحة باستخدام صفات مطلية بهلام السليكا كطور ثابت (Stationary phase) (GF 254, 0.25 mm Silica gel) بينما كان الطور الناقل هو: -

- ❖ n-Butanol / acetic acid / water (4:1:5).

- ❖ Ethyl acetate / methyl ethyl ketone / formic acid / water (5:3.5:1:0.5). ومقارنتها مع المركبات القياسية (Standards).

وتم تشخيص الفلافونويدات بوساطة تعریض الصفائح لبخار اليود أو بوساطة استخدام محلول الخاص لكشف الفلافونويدات.

#### ٦. بـ. تقنية الـ (UV):

تم إذابة المركبات المنقة في مذيب الميثanol (MeOH) وأخذ الطيف له وتمت مقارنته مع المركبات القياسية ومع المراجع المنشورة<sup>(20)</sup>.

#### ٦. جـ. تقنية الـ (IR):

تم عمل قرص من الـ (KBr) للمركبات المنقة وأخذ الطيف له ومقارنته مع المركبات القياسية ومع المراجع المنشورة<sup>(21,18)</sup>.

#### ٧. تقدير فعالية أنزيم الكوليں أسترازير:

تم الحصول على نماذج مصل دم الإنسان (Serum) من المتبرعين وكذلك بمساعدة المركز الوطني لنقل الدم في بغداد بعد تثبيت المعلومات حول العمر والجنس والحالة الصحية مع استبعاد النماذج الحاوية على كمية قليلة من الهيموكلوبين. وتم تقدير أنزيم الكوليں أسترازير كما يلي:-

#### ٧.أ. المحاليل المستخدمة:

##### ١. محلول المنظم (Buffer solution) :-

تم تحضير محلول المنظم (Phosphate solution) (pH = 7.2 – 7.4, 0.2 M) بإذابة (2.89 gm) من (Na<sub>2</sub>HPO<sub>4</sub>) في (100 ml) من الماء المقطر ثم عدلت الـ pH بإضافة بعض قطرات من حامض الفوسفوريك (H<sub>3</sub>PO<sub>4</sub>) وتم استخدامه مباشرة.

##### ٢. الكاشف (Ellmans' reagent) (DTNB) :-

تم تحضير الكاشف (5,5'-Dithio-2,2-bis nitrobenzoic acid) (DTNB) (Mw = 396.36) في (25 ml) من الماء المقطر مع التحريك المستمر باستخدام التسخين وقد تم إضافة كمية قليلة من بيكربونات الصوديوم (NaHCO<sub>3</sub>) وذلك لضمان الذوبان التام ثم حفظ في قانية معتمدة بسبب حساسيته للضوء وحفظ في الثلاجة، وقد تم تحضير هذا محلول مرتين في الأسبوع<sup>(22)</sup>.

فصل وتشخيص بعض المكونات الكيميائية الفعالة للمستخلص العانى لثمار نبات الزعور ودراسة تأثيرها على  
فعالية أنزيم الكولين استريلز في مصل دم الإنسان  
رضاء ابراهيم البياتى، لميس باسم العلي

٣. محلول المادة الأساسية (S - Acetyl Thiocholin Iodide) :-

تم تحضير محلول المادة الأساسية وذلك بإذابة (0.01735 gm) من (AsChI M. Wt. = 189.18 Dalton) في (1 ml) من الماء المقطر حيث يتم تحضير هذا محلول يومياً ويستخدم مباشرة.

٧. ب. طريقة العمل :-

تم تعين فعالية أنزيم الكولين استريلز (ChE) في مصل دم الإنسان (Serum) باستخدام طريقة (WHO) المحورة وكالآتى :-

١. وضع حجم (2.25 ml) من محلول المنظم ( $pH = 7.3$ ) في أنبوبة اختبار وأضيف له ( $50 \mu L$ ) من محلول الكاشف (DTNB) و( $10 \mu L$ ) من مصل الدم، ثم مزجت المكونات باستخدام (Mixer).

٢. تم سحب (2 ml) من المزيج في (1) ووضعه في خلية القياس (3 mm) ثم أضيف (34  $\mu L$ ) من المادة الأساسية (AsChI). بعد ذلك تم قراءة مقدار التغير في شدة الامتصاص لأنزيم قبل وبعد إضافة المادة الأساسية على طول موجي (430 nm) لكل ثالث دقائق من تفاعل الأنزيم والمادة الأساسية وثم التعبير عن فعالية الأنزيم على أساس تحلل ( $1 \mu mol / ml / 3 min$ ) الأساس لكل (ml) خلال ثالث دقائق <sup>(23)</sup>.

٨. تأثير مزيج الفلافونويدات وفلافونويد المورين والكامبفiroل والكورستين على أنزيم الكولين استريلز في مصل الدم :-

تم دراسة تأثير المستخلص (Crude) والمركبات المنقاة على الأنزيم (ChE) في مصل الدم (serum) مختبرياً في أنبوبة الاختبار (*in vitro*) وقد كان التركيز المستخدم للمستخلص ( $5 \times 10^{-3} M$ ) وتركيز المورين والكامبفiroل والكورستين ( $50 mg / ml$ ) (Crude) باستخدام تراكيز مختلفة من المادة الأساسية ( $0.01-0.08 M$ ).

تم تعين فعالية الأنزيم باستخدام المواد أعلاه وبدونها وذلك بإضافة (1 ml) من هذه المواد أو المزيج ومزجها مع (1.25 ml) من محلول المنظم وباتباع طريقة تعين فعالية الأنزيم الموضحة في (7.ب).

٩. تأثير مزيج القلويدات على أنزيم الكولين استريلز في مصل الدم :-

تم استخلاص وتنقية مزيج القلويدات (Crude) كما موضح في (5)، وقد كان تركيزه ( $5 \times 10^{-3} M$ )، واستخدمت تراكيز مختلفة من المادة الأساسية ( $0.01-0.08 M$ ) (Crude).

تمَّ تَعْبِينَ فَعَالِيَّةَ الأَنْزِيمَ بِاستِخْدَامِ الْمَوَادِ أَعْلَاهُ وَبِدُونِهَا وَذَلِكَ بِإِضَافَةِ (1 ml) مِنْ هَذِهِ الْمَوَادِ أَوْ الْمَزِيجِ وَمَرْجَهَا مَعَ (1.25 ml) مِنْ الْمَحْلُولِ الْمَنْظَمِ وَبِاتِّبَاعِ نَفْسِ طَرِيقَةِ تَعْبِينِ فَعَالِيَّةِ الأَنْزِيمِ الْمَوْضَعَةِ فِي (7.ب.).

النتائج والمناقشة

أثبتت الدراسة الكيميائية النوعية (الأولية) احتواء ثمار نبات الزعور على العديد من المركبات الكيميائية الفعالة طبياً وبيولوجياً، حيث أظهرت نتائج التحاليل الكيميائية (جدول 1) احتواء ثمار نبات الزعور على مواد كلايوكسیدية، عفصيات، صابونيات، راتنجات وفلويديات.

**جدول (١): نتائج الكشف الكيميائي النوعي لبعض مكونات ثمار الزيتون الفعالة**

نوع الكشف	أسم الكشف	النتيجة
تعيين الأُس الهيدروجيني	pH	4.73
الكشف عن العفصيات	محلول خلات الرصاص محلول كلوريد الحديديك	كشـفـاً موجـباً كشـفـاً موجـباً
الكشف عن الكلابيوكوسيدات	كشف فوهـاك كشف بندـكت	كشـفـاً موجـباً كشـفـاً موجـباً
الكشف عن الصابونـيات	محلول نترات الفضة الرج الشـدـيد	كشـفـاً موجـباً كشـفـاً موجـباً
الكشف عن القلـويـدـات	كشف واـكـنـر كشف ماـير كشف درـاكـنـدـرـوـف حامـضـ الـبـكـرـيـك	كشـفـاً موجـباً كشـفـاً موجـباً كشـفـاً موجـباً كشـفـاً موجـباً
الكشف عن الـراتـجـات	المـحـلـولـ النـبـاتـيـ المـمـحـضـ	كشـفـاً موجـباً
الـكـشـفـ عنـ الـكـيـومـارـينـ	كشف الأـشـعـةـ فوقـ الـبـنـفـسـجـيـةـ	كشـفـاً سـالـباً
الـكـشـفـ عنـ الـفـلـافـونـوـيـدـاتـ	كـحـولـ أـثـيلـيـ NaOH	كشـفـاً موجـباً

فصل وتشخيص بعض المكونات الكيميائية الفعالة للمستخلص المائي لثمار نبات الزعور ودراسة تأثيرها على  
فعالية أنزيم الكولين استريلز في مصل دم الإنسان  
رضا ابراهيم البياتي، لميس باسم العبي

### **الدراسة الكيميائية لثمار نبات الزعور**

#### **مزيج الفلافونويديات: -**

تم الحصول على مزيج الفلافونويديات حسب الطريقة الموضحة في (4)، حيث كان وزن  
مزيج الفلافونويديات الناتجة من عملية الاستخلاص هو (5.3 gm) والتي تمثل نسبة (2.12 %) من  
وزن الثمار الجافة.

#### **مزيج القلويديات: -**

تم الحصول على مزيج القلويديات حسب الطريقة الموضحة في (5)، حيث كان وزن مزيج  
القلويديات الناتجة من عملية الاستخلاص هو (1 gm) والتي تمثل نسبة (1 %) من وزن الثمار  
الجافة.

### **الدراسة التشخيصية لمزيج الفلافونويديات والمركبات المنقاة بنقية الـ (TLC) :-**

تم تشخيص مزيج الفلافونويديات والمركبات المنقاة حسب الطريقة الموضحة في (6)، حيث  
كانت النتائج كما يلي: -

جدول (٢): يوضح تشخيص المركبات (Morin, Kampferol, Quercetin) بواسطة تقنية  
الـ (TLC) عند استخدام نظام (BAW) (4:1:5) (n-Butanol/Acetic anhydride/Water) (4:1:5)

Compound	m.p °C	المياسي m.p °C	R <sub>f</sub>	المياسي R <sub>f</sub>	Detection UV flour color
Morin	300-302	302	0.79	0.79	Bright yellow
Kampferol	273-275	276.8	0.83	0.83	Bright yellow
Quercetin	314-316	316.7	0.62	0.64	Bright yellow

جدول (٣): يوضح تشخيص المركبات (Morin, Kampferol, Quercetin) بواسطة تقنية الـ (TLC) عند استخدام نظام (EMFW) (5:3.5:1:0.5) (Ethyl acetate/Methyl ethyl ketone/Formic acid/Water) (5:3.5:1:0.5)

Compound	m.p °C	القياسي m.p °C	R <sub>f</sub>	القياسية R <sub>f</sub>	Detection UV flour color
Morin	300-302	302	0.74	0.74	Bright yellow
Kampferol	273-275	276.8	0.90	0.92	Bright yellow
Quercetin	314-316	316.7	0.85	0.87	Bright yellow

ومن خلال تقنية الـ (TLC) نلاحظ أن المركبات التي تم عزلها هي (Morin) و (Kampferol) و (Quercetin)، وذلك من خلال مقارنتها مع المركبات القياسية وظهور تطابق بينها من حيث قيم الـ (R<sub>f</sub>) المتقاربة، كذلك تطابق الصفات الفيزيائية (درجة الانصهار) وحسب المراجع العلمية<sup>(24)</sup>، مما يؤكد أن المركبات المعزولة هي الـ (Quercetin) والـ (Kampferol) والـ (Morin).

#### تشخيص المركبات المنفحة بواسطة تقنية الـ (UV) :-

تمت إذابة المركبات التي تحت تقنيتها بمذيب الـ (MeOH) وأخذ طيف الأشعة فوق البنفسجية لها ومقارنتها مع المركبات القياسية ومع المراجع المنشورة<sup>(20)</sup>.

جدول (٤): يوضح نتائج التشخيص بواسطة الـ (UV)

Compound	λ (nm)	ABS.
Morin	215.8	1.50
	263.6	1.20
	370.8	1.17
Kampferol	250.1	1.60
	260.3	1.50
	321.1	0.90
	365.6	1.50
Quercetin	248.1	2.20
	268.1	1.80
	302.1	0.60
	369.6	1.90

جدول (٥): يوضح نتائج التشخيص بواسطة -IR-

Comp.	$\nu\text{C-O}$ الإيثرية	$\nu\text{OH}$	$\nu\text{C=O}$	$\nu\text{C=C}$ الاروماتية	$\nu\text{C-O}$ الاليفاتية	$\nu\text{C-H}$ الاروماتية	Others
Morin	1150	3600	1700	1480- 1600	1205	3100	-
Quercetin	1170	3600	1710	1480- 1600	1205	3000, 3100	715, 699 أحادي التعويض
Kampferol	1170	3600	1710	1510- 1600	1205	3000, 3100	-

#### تقدير الفعالية الأنزيمية:-

تم قياس الفعالية الأنزيمية لأنزيم الكولين أستيريز (ChE) الموجود في مصل دم الإنسان (Serum) مختبرياً (*in vitro*) لنماذج مختلفة من النساء والرجال، وقد تراوحت الفعالية الأنزيمية بين ( $8.10 \pm 1.15 \mu\text{mol}/3\text{min}/\text{ml}$ ) - ( $4.78 \pm 0.64 \mu\text{mol}/3\text{min}/\text{ml}$ ). وهذه القيم كانت ضمن معدل الفعالية الأنزيمية لأنزيم الكولين أستيريز (ChE) في مصل دم الإنسان. كما تم تعريف الفعالية النوعية لكل نموذج مستخدم وذلك بقسمة الفعالية الأنزيمية الكلية على كمية البروتين الكلي وقد تراوحت الفعالية النوعية بين ( $11.65 \times 10^{-2} \text{ nmol}/\text{min}/\text{ml}$ ) - ( $16.82 \times 10^{-2} \text{ nmol}/\text{min}/\text{ml}$ )، وقد ظهرت أيضاً القيم المختلفة عن هذا المعدل.

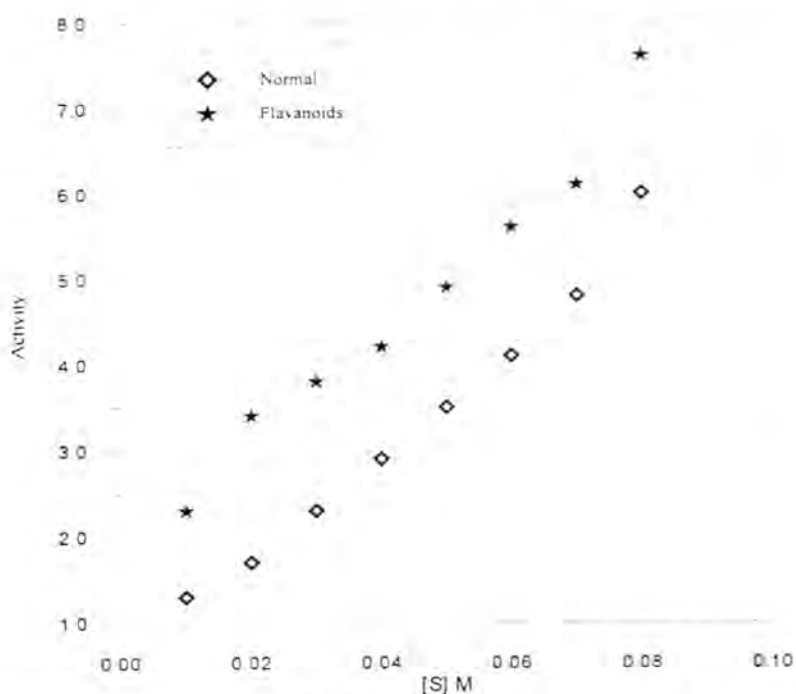
ولم تشير المراجع العلمية إلى الفعالية النوعية لأنزيم الكولين أستيريز الموجود في مصل دم الإنسان ولكن الاختلافات التي ظهرت في قيم الفعالية النوعية يمكن أن تعزى إلى الأشخاص المأخذون منهم المصل حيث يمكن أن يكون بعض المتطوعين قد تناولوا بعض الأدوية قبل عملية سحب الدم مما يؤدي إلى انخفاض فعالية الإنزيم أو قد يعاني المتطوع من اضطرابات نفسية مما يؤدي إلى ارتقاض في فعالية الإنزيم.

تأثير مزيج الفلافونويدات والفلافونويدات المنقاء (المورين، الكامفيرون والكورسيتين) على فعالية إنزيم (ChE) في مصل الدم: -

تم دراسة تأثير مزيج الفلافونويدات والفلافونويدات المنقاء على فعالية إنزيم (ChE) في مصل دم الإنسان (Serum) مختبرياً (*In vitro*) حيث كان تركيز مزيج الفلافونويدات (50 mg/ml) والفلافونويدات المنقاء ( $5 \times 10^{-3}$  M). وقد أظهرت جميع المركبات تأثيراً منسطاً على الإنزيم كما هو موضح في الأشكال (4-1).

تأثير مزيج القلويدات (Crude) على إنزيم (ChE) في مصل دم الإنسان: -

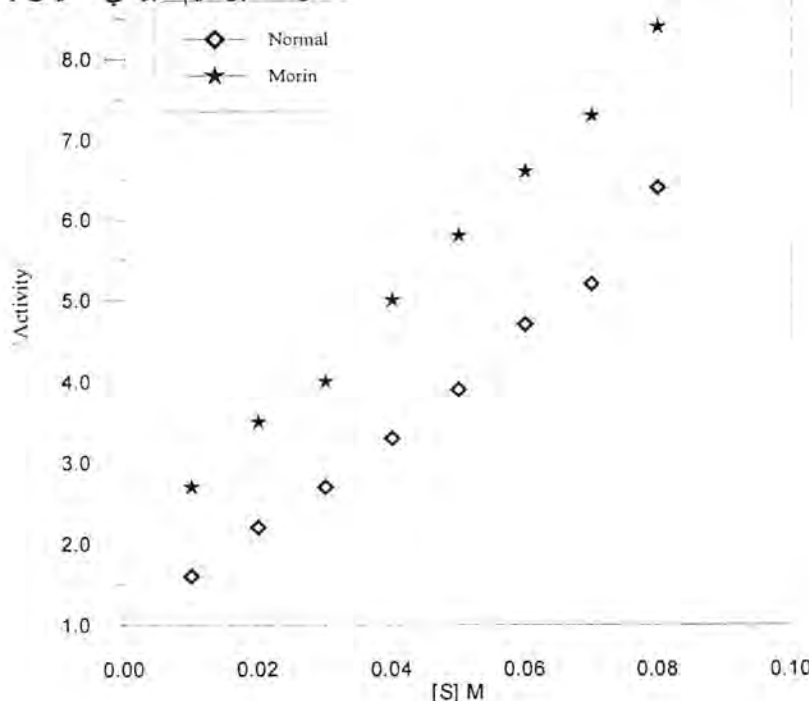
تم دراسة تأثير مزيج القلويدات على إنزيم الأستيل كولين أسترايز في مصل دم الإنسان مختبرياً (*In vitro*) حيث كان تركيز مزيج القلويدات (50 mg/ml) وكما موضح في شكل (5).



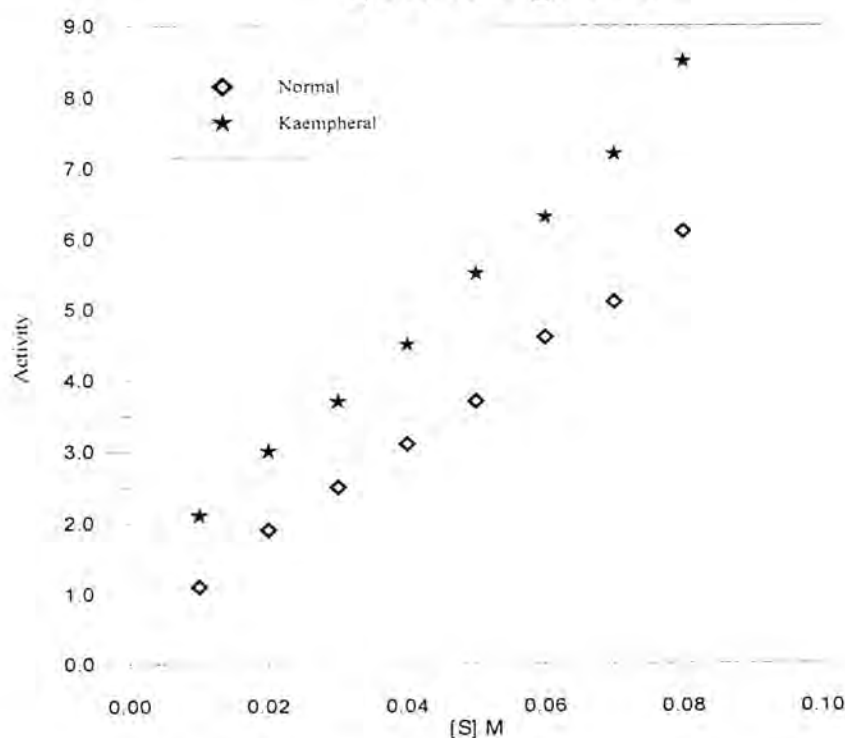
شكل (١): يوضح تأثير مزيج الفلافونويدات على فعالية إنزيم الأستيل كولين أسترايز باستخدام تركيز مختلفة من المادة الأساسية

فصل وتشخيص بعض المكونات الكيميائية الفعالة المستخلص العادي لثمار نبات الزعور ودراسة تأثيرها على فعالية إنزيم الكوليستيرول استريليز في مصل دم الإنسان

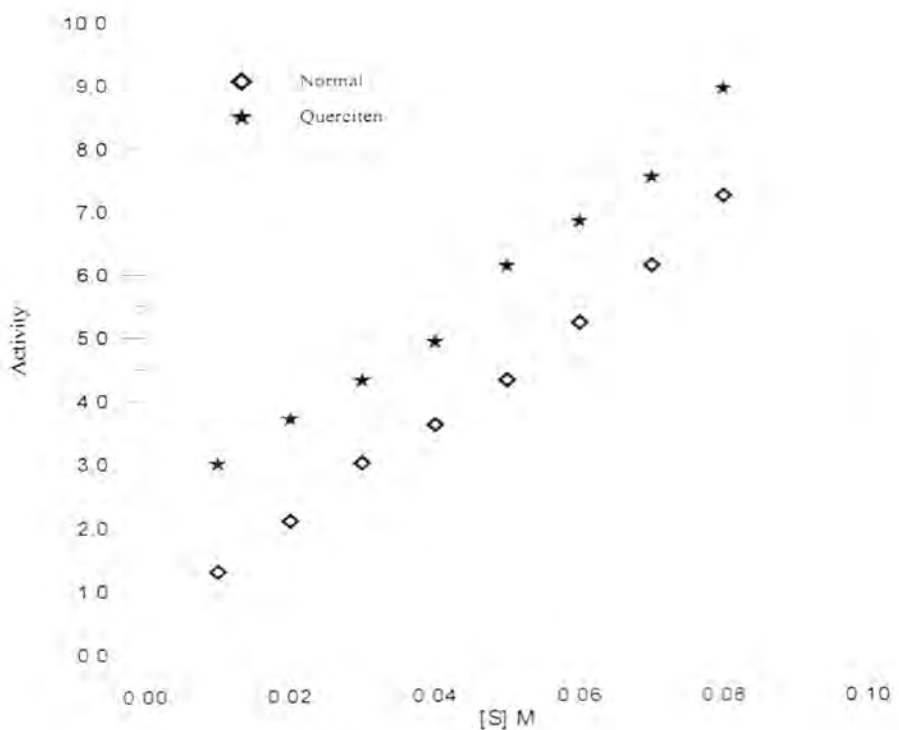
رضا ابراهيم البياتي، لميس باسم العلي



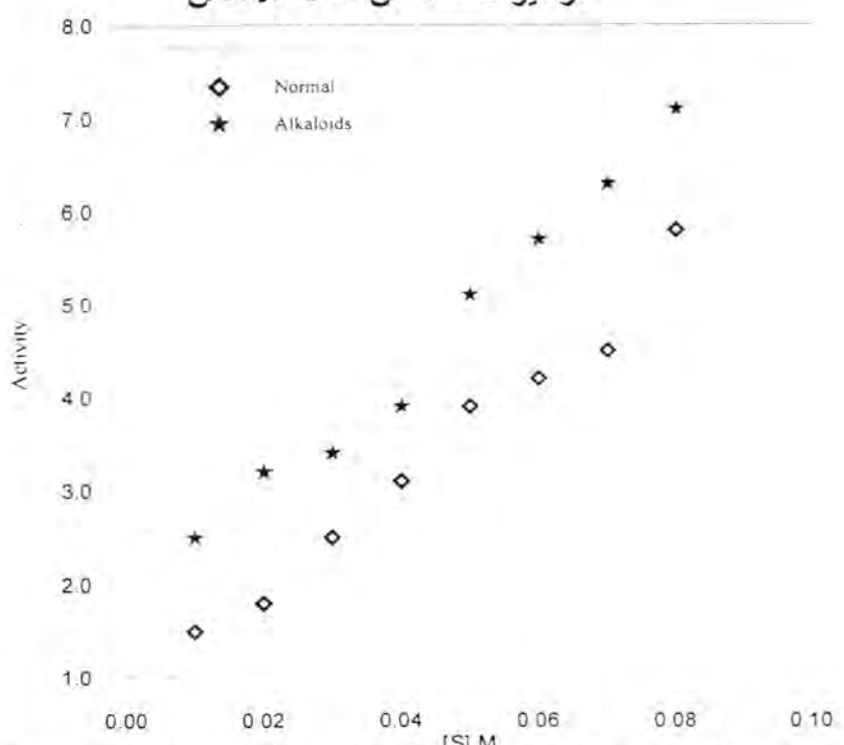
شكل (٢): يوضح تأثير الـ **Morin** على فعالية إنزيم الأستيل كوليستيرول استريليز باستخدام تراكيز مختلفة من المادة الأساسية



شكل (٣): يوضح تأثير الـ **Kampheral** على فعالية إنزيم الأستيل كوليستيرول استريليز باستخدام تراكيز مختلفة من المادة الأساسية



شكل (٤): يوضح تأثير الـ Quercitin على فعالية إنزيم الأستيل كولين أستيريز باستخدام تراكيز مختلفة من المادة الأساسية



شكل (٥): يوضح تأثير مزيج أشباه الفلويهات على فعالية إنزيم الأستيل كولين أستيريز باستخدام تراكيز مختلفة من المادة الأساسية

فصل وتشخيص بعض المكونات الكيميائية الفعالة المستخلص المائي لثمار نبات الزعور ودراسة تأثيرها على  
فعالية أنزيم الكولين استريليز في مصل دم الإنسان  
رضا ابراهيم البياتي، لميس باسم العلي

المصادر

1. Holubarsch, C. J., Colucci, W. S., Meinertz, T., Gausw, Tendera M. Survival and prognosis: investigation of crataegus extract WS 1442 in congestive heart failure (spice) rationale, study design and study protocol. *Eur. J. Heart Fail.* 2000; 2(4): (431-437) (Abstract from the Internet).
2. Alternative Healthzin. Com. Shelly Day. Hawthorn our Herb of the month (2000-2002). (Abstract from the Internet).
3. Alternatives from Nature. By Rain Bear herbs rain bear. Com. Hawthorn information, tips, trivia, facts, Alternatives from Nature. p (1-2) (2000) (Abstract from the Internet).
4. Bohorum, T., Trotin, F., pommery, J., Pinkas, M., Antioxidant activity of crataeguna extracts planta Med. 1994: 60: 323-328. (Abstract from the Internet).
5. Fugh-Berman A. Herbs and dietary supplements in the prevention and treatment of cardiovascular disease. *Prev. cardiol.* 2000. 3(1): 24-32. (Abstract from the Internet).
6. Mashaur N. H., G1, Frishman W. H. Herbal medicine for the treatment of cardiovascular disease. *Arch Inter Med.* 1998: 158:p. 2225-2234. (Abstract from the Internet).
7. Blumenthal M., Galdberg A., Brinckman J. Herbal medicine: Expanded commission E Mohoraphs. Newten, MA: Integrative hammuni catians: 2000: p (182-192). (Abstract from the Internet).
8. Karch, S. B. the consumer's guide to Herbal Maleciro. Houppauge. New York. Advancer Research Press (1999): 109-111. (Abstract from the Internet).
9. النباتات الطبية والعلمية والسامية في الوطن العربي جامعة الدول العربية (المنظمة العربية للتنمية الزراعية) الخرطوم ١٩٨٩
10. AL-Sadah, M. M., AL-Bayati, R. I. and AL-Nasiri, N. A., Effect of some alkaloids (cathine) cathinone ephedrin on activity of CHE in human blood serum, *AL-Mustansiriyah J. of Science*; 13(3), 1 (2002).
11. AL-Bayati, R. I., AL-Nasiri, N. A. and AL-Sadah, M. M., Effect of aqueous extracts of capparis spinosa fruits on activity of CHE in human blood serum, *AL-Mustansiriyah J. of Science*; 13(1), 131 (2002).
12. AL-Sadah, The effect of some active alkaloids in cathaedulis forks leaves on activity of CHE in human serum, M. Sc. Thesis, College of Science, AL-Mustansiriyah University (2000).

- التداوي بالأعشاب وأسرار الطب العربي، دار الكتاب الحديث (الكويت ١٩٨٨).
13. دليل العلاج بالأعشاب الطبية العراقية (١٩٦٦) د. زهير نجيب.
14. The Nutrition Note Book. Sb3. Com. Herbs. Hawthorn (2000) p. (1-6). (Abstract from the Internet).
15. (a) AL-Bayati, R. I. H., ALNasiri, N. A., and AL-Sadah M. M., Study on Chemical Constituents of Aqueous of Catha Edulis, AL-Mustansiriyah J. of Science; 12, 4 (2001).
- (b) Harborn, J. B., "Phytochemical Methods", 2<sup>nd</sup> Ed., Chapman and Hall, New York, U.S.A., (1984).
- (c) AL-Ali, L. B., M. Sc. Thesis, College of Science, AL-Mustansiriyah University (2004).
17. Lunamer, D. T., An introduction to practical biochemistry, Mc Graw Hill Book Co. Ltd., England (1971).
18. Stahll "Thin-Layer Chromatography" 2<sup>nd</sup> ed., Springer. Verleg. New York. Heidelberg. Berlin. (1966). p. 288-296.
19. Margret, K. Seikel "Chromatographic methods of separation, isolation and identification of flavonoids compounds". Wellesley College, Wellesley Mass. U.S.A. Ch. 3: p. 55.
20. Mabry, T. J., Markham, K. R. and Thomas, M. B. "The systematic identification of flavonoids". Springer-Verlag. New York. Heidelberg. Berlin (1970) p. 58, 65, 82.
21. Photochemistry, Pergaman Press. England. Vol. 14, p. 830-832 (1975).
22. AL-Rawi, I. A., Hebeeb, R. M. and Rabbfat, H. R.. J. Bulletin of Health Research; 28, 73 (1987).
23. Vandekar, M., WHO/ VBS/ 78, 692 (1978).
24. Whittern, C. C., Miller, E. E. and Pratt, D. E. "Cotton seed flavonoids as lipids antioxidants". JAOCs. Vol. 61, 1075 (1984).

## حساب ثابت القمة النووي لجهد هلتون باستخدام طاقات رابطة مختلفة

عبد الرضا مجید الهر

الجامعة المستنصرية/ كلية العلوم / قسم الفيزياء

### الخلاصة

تم حساب ثابت القمة النووي لجهد هلتون وبيان كيفية اعتماد الثابت على خصائص الجهد لقيم مختلفة وكذلك على قيم الدالة الموجية.

### المقدمة

دخل مفهوم ثابت القمة النووي في الفيزياء النووية النظرية او اخر السنتين ، ان هذا الثابت يمثل كمية اساسية في الفيزياء وهو مشابه في مفهومه لثابت الرابط (او ثابت الازدواج) في فيزياء الجسيمات الاولية حيث ثابت الرابط يصف شدة التفاعل بين الجسيمات الاولية النووية مع بعضها . كذلك هي الحالة بالنسبة لثابت القمة النووي فله نفس منزلة الكمييات الفيزيائية المألوفة التي تصف النواة كالبرم (Spin) والشحنة والعزم وكذلك فان هذا الثابت يعرف لنا توزيع كثافة الاجزاء (Fragments) [b,c] عند المسافة بعيدة . ويمكن حساب ثابت القمة من شكل الدالة الموجية . وعند مقارنة القيم النظرية المحسوبة من النظرية الميكروسكوبية لتركيب النووي مع القيم التجريبية المستحصلة من تحليل البيانات من التفاعلات النووية تعطينا معلومات عن ماهية التفاعلات التي تجري بين جسيم واخر ويزداد تعقيد حساب ثابت القمة النووي بزيادة عدد الجسيمات الموجودة في النواة ، نشرت بحوث كثيرة تتضمن ايجاد ثابت القمة لعدد من التفاعلات النووية Blovhintesv , Baryshinkov (1).

$$t = d + n$$

كما قام Kim & Tubus (2) بایجاد ثابت التعديل Normalization constant للتفاعل  $p - {}^3\text{He} - \text{Scattering}$

والذي يرتبط بثابت القمة النووي .

تم ايجاد ثابت القمة النووي للديترون باستخدام جهود مختلفة (3) وكذلك الحصول على ثابت القمة لانحلال نواة الليثيوم  $^{7}\text{Li}$  الى دفقيتين الفا وتربينيوم (4).  
ايجاد صيغة ثابت القمة النووي  $G_{\text{H}}^2$  باستخدام الدالة الموجية لهلتون  
ان جهد هلتون يعرف بالعلاقة التالية (5) :

$$V_{\text{H}} = -U_0 \frac{e^{-\mu r}}{1 - e^{-\mu r}}$$

حيث

$$\mu = \sqrt{m(U_0 + \epsilon)} - \sqrt{m\epsilon} = \beta - K$$

ان الدالة الموجية الذاتية (Eigen function) لهلتون المناظرة لاوطأ حالة مقيدة ( Lowest state ) عند طاقة ربط مقدارها  $\epsilon$  هي (2) (bound state)

$$\varphi(r) = \varphi_{\text{H}}(r) = \sqrt{\frac{2K\beta(\gamma+1)}{(\gamma-1)^2}} e^{-Kr} \left( \frac{1 - e^{\mu r}}{r} \right) \dots \quad (1)$$

يرتبط المعامل المحاذى للتكامل المتشابك (Overlap integral) مع الثابت (3) بالعلاقة (3)  
 $I_{abc} = C_{abc}^{\text{ls}} e^{-K_{abc} \cdot r} \dots \quad (2)$

وكذلك يرتبط هذا المعامل مع الدالة الموجية بالعلاقة (3)

$$I_{abc} = \varphi(r) = \frac{C e^{-Kr}}{r} \dots \quad (3)$$

وبقارنة المعادلة (1) مع (2) و (3) نحصل

$$C = \frac{\sqrt{2K\beta(\gamma+1)}}{\gamma-1}$$

وبما ان ثابت القمة النووية يرتبط مع الثابت  $C$  بالعلاقة (3) :-

$$G_{abc}^{\text{ls}} = -i^L (\pi N_{bc}) C_{abc}^{\text{ls}} / \mu_{bc} \dots \quad (4)$$

وبعد التعويض عن كل من قيم  $C$  و  $\mu = \frac{m}{2}$  و  $N_{bc}=1$  و  $L=0$  نحصل

$$G_H = \frac{\sqrt{8\pi K\gamma(\gamma+1)}}{m(\gamma-1)} \\ G^2 H = \frac{8\pi K\gamma(\gamma+1)}{m^2(\gamma-1)^2} \dots \dots \dots (5)$$

## النتائج والمناقشات

تم حساب قيمة ثابت القمة النووي لجهد هلتون لغرض توضيح اعتماد ثابت القمة النووي على خصائص الجهد الذي يربط بين نيكليوتين (NN - Potential) وكذلك على شكل الدالة الموجية المستخدمة .

تم حساب ثابت القمة النووي  $G_H^2$  لجهد هلتون لقيمتين للطاقة الرابطة وهي  $\epsilon = 7.5 \text{ MeV}$  والثانية  $\epsilon = 10 \text{ MeV}$  وقد اختيرت لمعرفة تأثير زيادة الطاقة الرابطة عن نتائج حسابات ثابت القمة النووي . رتببت لثابت القمة النووي في الجدولين ١ و ٢ باستخدام العلاقة (٥) في الجدول الاول  $k = 425 \text{ fr}^{-1}$  و  $\beta = 55 \text{ fr}^{-1}$  وتم حساب ثابت القمة لعدد قيم  $\gamma$  حيث  $\gamma = \beta/k$  وفي الجدول الثاني  $k = 495 \text{ fr}^{-1}$  ،  $\beta = .85$  ،  $\gamma = 1.7$  ،  $\gamma = \frac{.55}{.425}$  وكما نرى من الجدولين ان زيادة قيم  $\gamma$  تعود الى نقصان ثابت التعديل الذي يرتبط بثابت القمة النووي . ان هذه النتيجة تتفق مع النتائج التي تم الحصول عليها لقيمة  $G_H^2$  من المصدر ٣ .

جدول رقم (١) يبين ثابت القيمة النووي  $G_H^2$  وقيمة  $\gamma$  المناظرة له عند طاقة رابطة

$$\varepsilon = 7.5 \text{ MeV}$$

$\gamma = \beta / k$	$G_H(f_r)^{1/2}$	$G^2 H(f_r)$
1	1,02	1,04
0	1,94	1,88
-1	1,89	1,79
-2	1,80	1,73
-3	1,83	1,69
-4	1,84	1,66
-5	1,79	1,62

جدول رقم (٢) يبين ثابت القيمة النووي  $G_H^2$  وقيم  $\gamma$  المناظرة له عند الطاقة الرابطة $\varepsilon = 10 \text{ MeV}$ 

$\gamma = \beta / k$	$G_H (\text{fr})^{1/2}$	$G_H^2 (\text{fr})$
٤	١,١	١,٢٠
٥	١,٠٢	١,٠٤
٦	٠,٩٦	٠,٩٢
٧	٠,٩٢	٠,٨٥
٨	٠,٨٩	٠,٧٩
٩	٠,٨٨	٠,٧٧
١٠	٠,٨٧	٠,٧٥

المصادر

- 1- Baryshink off and Blochintsev Phys Lett for reaction (t-d+ n) vol. 51B (1974) 432.
- 2- Kim and Tubis phys Rev Lett 29 (1972) , 1017.normalisation constant for p-H scattering
- 3- Dr. Abdul Ridha Al – Hir and Mohamed Rahieam Determination of Nuclear Vertex constant of Deuteron Using Different Potentials.
- 4- Dr. Abdul Ridha Al – Hir and Bassam Hanna Habib Determination of Nuclear Vertex Constant for Decay of Lithium Nucleus into Alpha Particles and Tritium ( M. Sc. Thesis – Al – Mustanseria University . 1986).
- 5- Roger E. Newton " Scattering Theory of Waves and Particles " Me Graw – Hill 1966.

## دراسة التسرب المغناطيسي لعدسة مغناطيسية ثنائية لا متناظرة

كلية العلوم / جامعة كربلاء	عبد عون كاظم السعدي
كلية التربية / الجامعة المستنصرية	حسن نوري العبيدي
كلية التربية / جامعة بابل	طالب محسن عباس الشافعي

### الخلاصة

تم في هذا البحث إجراء دراسة حاسوبية لدراسة ظاهرة تسرب المجالات المغناطيسية خلال فتحة قطب العدسات المغناطيسية ثنائية القطب . البحث يهدف إلى تقليل هذا التسرب لاجل الحصول على عدسة مغناطيسية خالية من التسرب المغناطيسي وبالتالي ذات زيوغ قليلة بحيث يمكن استخدامها كعدسة ثنائية في المجاهر الالكترونية النفاذة . استخدمت في هذه الدراسة طريقة الاجراء التحليلي ( analysis procedure ) في ايجاد التصميم الامثل . حيث تم دراسة تأثير تغيير بعض المعلومات الهندسية والفيزياوية لتصميم مقترن على التسرب المغناطيسي .

تضمنت المعلومات الهندسية عرض الملف ، زوايا القطع للقطب المغناطيسي ، قطر الفتحة المحورية للقطب ، عرض الفجوة الهوائية بين قطبي العدسة وسمك حديد القطب . اما المعلومات الفيزياوية فقد تضمنت النفاذية المغناطيسية لمادة حديد القطب فقط . حسابات هذا البحث اجريت بالاعتماد على بعض البرامج الحاسوبية المعدة مسبقاً وذلك للاستفادة منها في حساب كثافة الفيض المغناطيسي والخواص البصرية للعدسات المغناطيسية ثنائية القطب .

وقد تم الحصول في هذا البحث على تصميم عدسة مغناطيسية ثنائية القطب لامتناظرة خالية من التسرب المغناطيسي وذات خواص بصرية جيدة وذلك عن طريق زيادة سماكة حديد القطب واستبدال حديد القطب بقطعة حديد ذات نفاذية مغناطيسية عالية .

## المقدمة

تعد العدسة المغناطيسية الشيئية من اهم عدسات المجهر الإلكتروني ، اذ تقوم بتكون الصورة الاولى للنموذج المراد دراسته وتحدد جودة الصورة ودرجة تحليل المجهر الإلكتروني (Al-Shummary, 2002). لكن تعانى هذه العدسات المغناطيسية من عددة زوايا واهمها التي تسمى aberration (Spherical aberration) والزيغ اللوني (Chromatic aberration)، لذا تم الاعتماد على هذين العيدين كأساس في الحكم على أفضلية هذه العدسات . يعرف الزيغ الكروي في بعض الاحيان بزيغ الفتحة (A perture defect ) ويعد من الزيغ الهندسي التي تحدد قدرة تحليل العدسة المغناطيسية الشيئية . وبصورة عامّة تعطى معادلة معامل الزيغ الكروي بالعلاقة الآتية ( kato and Tsuno , 1990 ) :

$$C_s = \eta / 128 Vr_{z_0} \int_{z_0}^{z_i} [ ( 3 \eta / Vr ) + Bz^4 r_a^{-4} + 8 Bz r_a^{-4} - 8 Bz^2 r_a^{-2} \dot{r}_a ] dz .....(1)$$

حيث يمثل ( $\eta$ ) نسبة شحنة الالكترون الى كتلته ، ( $z_i, z_0$ ) موضع الجسم والصورة على التوالي ، ( $Vr$ ) فولتية التعبيل المصححة نسبياً ، ( $r_a$ ) مسار الحزمة الإلكترونية، ( $\dot{r}_a$ ) المشقة الأولى للمسار بالنسبة إلى  $z$  و  $Bz$  المشقة الأولى لكتافة الفيض المغناطيسي المحوري إلى  $z$  .

بينما يسبب الزيغ اللوني تغير في الطاقة التي تنشر بها الالكترونات ، وبصورة عامّة تعطى معادلة معامل الزيغ اللوني بالعلاقة الآتية ( Grivet , 1972 ) :

$$C_c = ( \eta / 8 Vr ) \int_{z_0}^{z_i} Bz^2 r_a^{-2} dz .....(2)$$

منذ بداية تطور البصريات الإلكترونية ، اجريت عدة دراسات تناولت موضوع زيوغ العدسات المغناطيسية بكافة انواعها ولحالة التشبع وعدم التشبع المغناطيسي . اذ قام ( Liebman 1951 ) بدراساته تصميم عدسات مغناطيسية شيئية ثنائية القطب متاضرة بأقل زieg كروي ، وبعد ذلك درس تأثير فتحة القطب على درجة التناضر في العدسات اللامتضاضة ( Liebman 1955 ). وكذلك تم دراسة الزيغ الكروي للعدسات الشيئية من قبل Rieke and Ruska ، ( 1966 ) ، واستطاع Munro عام ( 1971 ) دراسة الخواص البصرية للعدسة الشيئية ثنائية

عبد عنون السعدي، حسن نوري العبيدي، طالب محسن الشافعي

القطب الامتناظرة ، في حين تمكن (Kamminga 1976) من دراسة تأثير تشبع الأقطاب مغناطيسياً على الخواص البصرية للعدسة المغناطيسية الثنائية. كما قام Cleaver بعده دراسات تذكر منها ما نشر عام (1978) والتي درس فيها الخصائص البصرية الإلكترونية للعدسة الثنائية المكثفة المتاظرة والدراسة عام (1980) والتي درس فيها كيفية اختيار شكل القطب ونمط التشغيل عند تصميم عدسة تعمل كعدسة مغناطيسية ثنائية بأقطاب مشبعة مغناطيسياً .

بعد ذلك تم دراسة توزيع المجال المغناطيسي المحوري وحساب خواصه البصرية الإلكترونية للعدسات الثنائية ثنائية القطب الامتناظرة في المجاهر الإلكترونية ذات الفولتية العالية من قبل كل من ( Tsuno and Harada , 1981: 1983; Tsuno and Honda , 1983 ) . وهنالك دراسات أخرى اختصت بدراسة خواص البصرية للعدسات الثنائية ثنائية القطب والأحادية القطب معها ، منها (Al-Nakshli , 1986 ; Al-Nakshli and Juma , 1986 ; Al-Nakshli et al , 1985 ) وفي عام (1990) قام Al-Saady بأجراء دراسة اهتمت بتوزيع المجال المغناطيسي المحوري وحساب الخواص البصرية الإلكترونية للعدسة الثنائية ثنائية القطب وبنوعيها المتاظرة والامتناظرة وبأقطاب مختلفة منها الأسطواني ، الكروي والمخروطي . كذلك هنالك دراسة قدمت من قبل ( Al- Obaidi , 1991 ) درس فيها شكل المجال المغناطيسي المحوري في العدسات الثنائية ثنائية القطب المتاظرة ومدى تأثير شكل الملف على هذا التوزيع وعلى تحسين الصفات البصرية الإلكترونية لهذه العدسات . وكذلك تم دراسة الخواص البؤرية الثنائية للعدسات المغناطيسية الامتناظرة ( Al- Nakshli et al 1995 ) وهنالك دراسة حديثة أجريت من قبل ( Al- Jubori, 1999; Al- Obaidi , 1999 ) درس فيها توزيع المجال المغناطيسي المحوري وحساب الخواص البصرية الإلكترونية لعدسات مغناطيسية ثنائية متاظرة .

ولاحظ الحصول على عدسة مغناطيسية ذات خواص بصرية جيدة يجب ان يكون توزيع المجال المغناطيسي ذات قيمة عالية وعرض نصف قليل بحيث يجب حصر ( Localizing ) هذا المجال في منطقة محددة على امتداد المحور البصري للعدسة بدائرة من الحديد . وعند الوصول لحالة الشبع المغناطيسي ( Magnetic saturation ) لحديد العدسة وبسبب التناقض بين خطوط الفيض المغناطيسي تتسرّب هذه الخطوط خلال الفتحة المحورية لقطب العدسة . ان ظهور هذا التسرب غير المنظم للمجال المغناطيسي خلال الفتحة المحورية لقطب العدسات المغناطيسية يؤدي الى جعل شكل المجال غير منظم بحيث يظهر مجال مغناطيسي

شـاد (Parasitic 1971) ( Munro ) ، حيث يؤثر هذا المجال على الخواص البصرية للعدسات المغناطيسية .

لذا بعد التسرب المغناطيسي فشلاً في تصميم هذه العدسات وعليه تم في هذا البحث دراسة هذه الظاهرة بصورة مفصلة خلال الفتحة المحورية لقطب العدسات المغناطيسية ثنائية القطب اللا متاظرة المشبعة مغناطيسياً . والعمل على إيجاد التصميم الأمثل ( Optimum design ) لهذه العدسات الذي يكون فيه التسرب المغناطيسي معادلاً وله أفضل خواص بصرية لاستخدامها كعدسات شبيهة في المجاهر الإلكترونية النفاذه .

### عدسة الاختبار ( Test lens ) :

إن التصميم الهندسي الذي تم اعتباره كعدسة اختبار في هذا البحث هو العدسة المغناطيسية ثنائية القطب غير المتاظرة المقدمة من قبل ( Munro , 1975 ) الموضحة في الشكل ( 1 ) . اذ يلاحظ من هذا الشكل إن للعدسة ملف دائري قطره الداخلي ( Din = 70 mm ) والقطر الخارجي ( Dout = 150 mm ) ومساحة مقطعه ( A = 30 cm<sup>2</sup> ) . ان الشكل الهندسي للقطب الاسبر للعدسة عبارة عن اسطوانة مقطعة ( tapered ) حيث يصنع شكل القطب العلوي زاوية مقدارها ( θu = 55° ) مع المحور البصري ، بينما يصنع السطح السفلي زاوية مقدارها ( θl = 15° ) . اما قطب العدسة الاليم فهو بشكل صفيحة مستوية بحيث تفصل قطبي العدسة فجوة هوائية عرضها ( S = 10 mm ) . وقد أحبط الملف وقطبي العدسة بدائرة حديدية التمغنت من نفس مادة القطب ( Soft iron ) .

يوضح الشكل ( 2 ) توزيع كثافة الفيض المغناطيسي المحوري  $Bz$  على امتداد محور العدسة  $z$  عند التهيج (  $NI = 20000 A.t$  ) ، ويلاحظ من الشكل ان هنالك تسرباً ( Leakage ) في الفيض المغناطيسي خلال فتحة القطب المقطع وبالتحديد في المنطقة المحسورة بين  $z < -20$  و  $z > 115$  .

## الحسابات والمناقشة : ( Calculation and Discussion )

لأجل معالجة ا التسرب المغناطيسي الموضح في الشكل ( 2 ) ، فقد تم اقتراح عدة متغيرات هندسية مثل عرض الملف ( d ) ، زاوية القطع لسطح القطب العلوي (  $\theta_u$  ) ، زاوية القطع لسطح القطب السفلي (  $\theta_l$  ) ، عرض الفجوة الهوائية بين القطبين ( S ) ، قطر الفتحة المحورية

( D ) وسمك حديد القطب ( P ) . وكذلك متغيرات فيزيائية تضمنت النفاذية المغناطيسية لمادة حديد القطب فقط .

لقد درست بالتفصيل توزيعات كثافة الفيصل المغناطيسي المحوري  $B_z$  بثبوت تهويج الملف

(  $NI = 20\,000 \text{ A.t}$  ) والخواص البؤرية الشبيهة مثل البعد البؤري الشبيه (  $f_0$  ) ، معامل الزيف الكروي (  $C_s$  ) ، معامل الزيف اللوني (  $C_c$  ) ، معامل الزيف الكروي النسبي  $C_s / f_0$  ومعامل الزيف اللوني  $C_c / f_0$  كدالة لاعلومه التهيج  $NI / Vr^{1/2}$  لعدسات الاختبار ولجميع المتغيرات الهندسية والفيزياوية . لكن في هذا البحث تم عرض النتائج لعدسات الاختبار عند اعلومه التهيج (  $NI / Vr^{1/2} = 20$  ) التي يحصل عندها على افضل الخواص البصرية الالكترونية .

### تأثير عرض الملف (d) : (Influence of Coil Width )

تم تصميم مجموعه من عدسات الاختبار بالاعنه اد على قيم النسبة (  $d / Dm = 0.272$  ) ، حيث يمثل  $Dm$  معدل قطر الملف (  $Dm = D_{in} + D_{out}$  ) ، حيث يمثل  $D_{in}$  عرض الملف (  $D_{in} = 70 \text{ mm}$  ) ،  $D_{out} = 150 \text{ mm}$  ) تكون قيمة معدل قطره (  $Dm = 110 \text{ mm}$  ) وعند التعويض عن  $Dm$  في النسب المذكورة اعلاه يصبح عرض الملف وعلى التوالي (  $d = 30, 50, 80, 90 \text{ mm}$  ) .

يبين الجدول ( 1 ) تأثير تقليل عرض الملف ( d ) على قيم كثافة الفيصل المغناطيسي العظمى (  $B_{max}$  ) ، عرض النصف ( W ) والخواص البؤرية الشبيهة لعدسات الاختبار عند اعلومه التهيج (  $NI / Vr^{1/2} = 20$  ) . إذ يلاحظ من الجدول إن بنقصان عرض الملف ترتفع

قيم  $B_{max}$  ويصاحب ذلك انخفاض في  $W$  مما يسبب ذلك تحسن في الخواص البؤرية الشيئية ، حيث تتحفظ قيم البعد البؤري الشيئي ( $f_0$ ) ، معامل الزيغ الكروي ( $C_s$ ) ، معامل الزيغ اللوني ( $Cc$ ) ، معامل الزيغ الكروي النسبي ( $C_s/f_0$ ) ومعامل الزيغ اللوني النسبي ( $Cc/f_0$ ) .

### تأثير زاوية القطع العليا للقطب ( $\theta_u$ )

#### : ( Influence of Upper Pole Tapered Angle )

تم اختيار اربع قيم لهذا المتغير وهي على التوالي 40, 45, 50, 55 الموضحة في الجدول ( 2 ) اذ يتضح ان النقصان غير الملحوظ في قيم  $B_{max}$  والزيادة الطفيفة في قيم  $W$  بنقصان زاوية القطع العليا للقطب (  $\theta_u$  ) . الأمر الذي ينعكس سلباً على قيم الخواص البؤرية الشيئية بحيث تزداد قيم  $C_c/f_0, C_s/f_0, C_c, C_s, f_0$  .

### تأثير زاوية القطع السفلي للقطب ( $\theta_L$ )

#### : ( Influence of the Lower Pole Tapered Angle )

يبين الجدول ( 3 ) تأثير زاوية القطع السفلي للقطب (  $\theta_L$  ) لاربعة قيم على التوالي 0,5,10,15 على تسرب الفيصل المغناطيسي خلال فتحة قطب عدسات الاختيار . اذ يتضح من الجدول ان النقصان في قيم (  $\theta_L$  ) يؤدي إلى ازدياد قيم  $B_{max}$  وانخفاض قيم  $W$  مما يسبب ذلك تحسـن فـي الخـواصـ البـؤـرـيـةـ الشـيـئـيـةـ الـحـدـيثـ تـحـفـظـ قـيـمـ  $C_c/f_0, C_s/f_0, Cc, Cs, f_0$  .

### تأثير عرض الفجوة الهوائية ( S ) ( Influence of the air-gap width )

يوضح الجدول ( 4 ) تأثير زيادة عرض الفجوة الهوائية ( S ) على قيم  $B_{max}$  و  $W$  والخواص البؤرية الشيئية لعدسات الاختيار عند اعلومة التهيج  $20 = Vr^{1/2} / NI$  . ويتبين من

الجدول ان زيادة عرض الفجوة الهوائية يؤدي إلى انخفاض قيم  $B_{max}$  وازدياد قيم  $W$  مما يسبب ذلك تردي في الخواص البؤرية الشبيهة بحيث ترتفع قيم  $f_0$ .

### تأثير قطر الفتحة المحورية (D) (Influence of Axial Bore Radius (D))

يوضح الجدول (5) بعض الخواص الفيزيائية لعدسات الاختبار عند زوايا  $D = 2,4,6,8,10$  م على التوالي وبوحدات المليمتر . إذ يتضح من الجدول ان النقصان D يؤدي إلى ازدياد قيم  $B_{max}$  وانخفاض قيم  $W$  مما يسبب ذلك تحسن في الخواص البؤرية الشبيهة حيث تنخفض قيم  $C_c / f_0, C_s / f_0, C_c, C_s$  .  $f_0$ .

### تأثير زيادة سمك حديد القطب ( $\Delta P$ ) (Influence of Increasing the Iron Width of the Pole )

لأجل دراسة تأثير زيادة سمك منطقة حديد القطب المقابلة لمنطقة التسرب المغناطيسي لعدسة الاختبار والمحصورة بين  $20 < Z < 115$  ، فقد تم اضافة حديد وبصورة تدريجية لهذه المنطقة ولقيم مختلفة وهي على التوالي ( 5, 10, 15, 20, 25) بوحدات المليمتر لعدسة الاختبار الموضحة في الشكل ( 1 ) .

يبين الجدول (6) بعض الخواص الفيزياوية لعدسات الاختبار عند زيادة سمك القطب ( $\Delta P$ ) . ويتبين من الجدول ان زيادة سمك الحديد يؤدي إلى زيادة قيم  $B_{max}$  وانخفاض قيم  $W$  مما يسبب ذلك تحسن ملحوظ في الخواص البؤرية الشبيهة حيث تنخفض قيم  $C_c, C_s$  . مما يتيح يمكن القول ان زيادة سمك حديد القطب تؤدي إلى تحسين الخواص البؤرية الشبيهة وان العدسة ذات الإضافة ( $\Delta P = 25 \text{ mm}$ ) هي افضل عدسة مقارنة مع بقية العدسات بالإضافة إلى إنها عدسة خالية من أي تسرب في الفيصل المغناطيسي خلال فتحة القطب كما موضح في الشكل ( 3 )، بحيث يمكن استخدامها كعدسة شبيهة في المجاهد الإلكتروني النفاذة.

## تأثير استخدام مواد فيرومغناطيسية مختلفة في صناعة القطب

### Influence of Using Various Ferromagnetic Material to Producing the Pole

تم اقتراح عدد من المواد النظرية التي لها منحنيات  $H - B$  عالياً "نسبة" للتخلص نهائياً من أي تسرب في الفি�ض المغناطيسي خلال فتحة قطب عدسة الاختبار . يبين الشكل (4) منحني  $H - B$  للمادة الفيرومغناطيسية المستخدمة من قبل ( Munro , 1971 ) في عدسة الاختبار إضافةً للمواد المقترحة في هذا البحث والناتجة من ضرب قيمة  $B$  في منحني Munro بقيمة عدديّة وعلى التوالي ( 2.5, 2, 1.5 ) بحيث أصبحت ثلاثة مواد ذات منحنيات  $B - H$  مختلفة . يوضح الشكل ( 5 ) توزيع كثافة الفيض المغناطيسي لعدسة الاختبار التي تستخدم المادة الثالثة كقطب مقطع . اذ يتضح من الشكل انه باستخدام هذه المادة تم الحصول على عدسة خالية من التسرب المغناطيسي وذات مجال ذو قيمة عالية وعرض نصف قليل .

يبين الجدول ( 7 ) تأثير استخدام مواد فيرومغناطيسية ذات منحنيات  $B - H$  مختلفة على قيمة كثافة الفيض المغناطيسي العظمى ( $B_{max}$ ) ، عرض النصف ( $W$ ) والخواص البؤرية الشيئية لعدسات الاختبار وعند اعلومة التهيج ( $Nl / Vr^{1/2} = 20$ ) . ويوضح من الجدول ان استخدام مواد ذات منحنيات  $B - H$  عالية نسبة" بقطب مقطع لعدسة الاختبار وبصورة تدريجية يؤدي ذلك الى ازدياد قيمة  $B_{max}$  وانخفاض قيمة  $W$  ، مما يسبب ذلك تحسين الخواص البؤرية الشيئية ، حيث تنخفض قيمة  $C_c / f_o, C_s / f_o, C_c, C_s$  .

يتضح مما سبق ان العدسة التي تستخدم المادة المغناطيسية الثالثة تعطي افضل خواص بؤرية شيئية مقارنة مع بقية العدسات بالإضافة إلى إنها خالية من أي تسرب في الفيض المغناطيسي خلال فتحة القطب ، بحيث يمكن استخدامها كعدسة شيئية في المجاهر الإلكترونية النفاذة .

### الاستنتاج والمقارنة ( Conclusion and Comparison ) :

إن ظاهرة تسرب خطوط الفيض المغناطيسي إلى داخل فتحة القطب المحورية هو نتاج طبيعية لعدم قدرة المادة الحديدية على استيعاب تلك الخطوط في تلك المنطقة . أي ان خروج خطوط الفيض المغناطيسي من الدائرة الحديدية للعدسة وفي مناطق معينة يشير إلى ضعف دائرة

عبد عون السعدي، حسن نوري العبيدي، طالب محسن الشافعي

الحديد في تلك المناطق على استيعاب هذه الخطوط وتوفير مسالك لها .

وأن أهم ما يمكن استنتاجه من هذا البحث يمكن تلخيصه بالنقاط الأساسية الآتية :

1- إن تقليل عرض الملف يقلل من تسرب الفيصل المغناطيسي وبالتالي كلما ابتعد موضع الملف عن المناطق الضعيفة في استيعابها لخطوط الفيصل المغناطيسي ، ومن ناحية أخرى فإن تقليل عرض الملف يزيد من القيمة العظمى لكتافة الفيصل المغناطيسي  $B_{max}$  مما يسبب ذلك تحسن في الخواص البورية للعدسة المغناطيسية .

2- ليس هناك أي تأثير ملموس لزوايا قطع القطب المغناطيسي على ظاهرة التسرب المغناطيسي بل على العكس قد تؤدي إلى تردي الخواص البصرية بفعل زيادة عرض نصف مجال التصوير ونقصان كثافة فيضه العظمى .

3-إن لزيادة عرض الفجوة الهوائية تأثيراً "إيجابياً" على ظاهرة التسرب المغناطيسي ولكن لها تأثيراً سلبياً على الخواص الشائنة البصرية للتصميم الهندسي للعدسة المغناطيسية وذلك بسبب انخفاض قيم كثافة الفيصل المغناطيسي العظمى وزيادة عرض النصف للمجال المغناطيسي .

4-لا يوجد أي تأثير على تسرب الفيصل المغناطيسي عند تقليل قطر الفتحة المحورية للتصميم الهندسي للعدسة المغناطيسية ولكن يؤثر ذلك إيجابياً وبصورة مباشرة على القيمة العظمى لكتافة الفيصل المغناطيسي وعرض نصف المجال المغناطيسي مما ينعكس ذلك على تحسن طفيف للخواص البصرية الشائنة للعدسة المغناطيسية .

5-إن لزيادة سمك حديد القطب آثراً كبيراً في تقليل تسرب خطوط الفيصل إلى الفتحة المحورية للقطب ، بالإضافة إلى ذلك فان هذه العملية تؤدي إلى زيادة في قدرة الاقطاب على حصر المجال المغناطيسي داخل الفجوة الهوائية الامر الذي يؤدي إلى تحسن ملموس في الخواص البصرية لمجال التصوير . يبين الجدول ( 8 ) قيم بعض الخواص البورية الشائنة لعدسة الاختبار الموضحة بالشكل ( 1 ) ونفر العدسة بعد اضافة حديد للقطب بسمك (  $\Delta P = 25 \text{ mm}$  ) ولنفس اعلومة التهيج  $20 = Vr^{1/2} / NI$  . ويتبين من الجدول وبشكل جلي التحسن النوعي في قيم الخواص بعد اضافة الحديد .

6-عند استخدام مواد فيرومغناطيسية ذات منحنيات  $B - H$  عالية نسبياً ( ذات نفاذية مغناطيسية

نسبة عالية ) في صناعة قطب العدسات المغناطيسية ينخفض تسرب الفيصل المغناطيسي خلال الفتحة المحورية للقطب بالإضافة إلى أن ذلك يؤدي إلى الحصول على مجال تصوير ذات قيمة عالية وعرض نصف قليل مما يؤدي ذلك إلى تحسن واضح وملموس في الخواص البصرية للعدسة المغناطيسية . يبين الجدول ( 9 ) مقارنة بين الخواص البؤرية الشائعة لعدسة الاختبار Munro's Lens ( ) مع نفس العدسة بعد استبدال حديد القطب بقطعة حديد عالية نسبة ذات فافية مغناطيسية نسبة عالية ( لاحظ الشكل ( 4 ) المادة الثالثة ذات أعلى منحنى H - B ) . ويتبين من الجدول التحسن الواضح للخواص البؤرية الشائعة بعد استخدام المادة المغناطيسية الثالثة .

### المصادر

1. Al -Jubori , S . A . M . ( 1999 ) Inverse design of magnetic lenses using a new analytical model to represent the beam trajectory . M. Sc. Thesis, Babylon University , Iraq ( in arabic ) .
2. Al- Nakshli , I.S. ( 1986 ) Computer aided – design of saturated magnetic lenses for electron microscopes . Ph . P . Thesis , University of Aston in Birmingham , London , U.K.
3. Al- Nakshli , I.S. and Juma , S.M.( 1986 ) Computation on the electron – optical parameters of saturated objective lenses .Electron Microscopy and Analysis , ed. G . T . Tatlok ( Inst. Phys. Conf. Ser . No .78 ) , 125 – 133 .
4. Al- Nakshli , I.S. , Jandow , N.N., Ibrahim , H .M . , and Juma , S.M. (1995 ) Computed objective focal properties of asymmetrical magnetic lenses with spherical pole pieces . J . Coll . Education , No.1 , 13 – 23 .
5. Al- Nakshli , I.S. , Juma , S.M. and Mulvey , T. ( 1985 ) Unconventional saturated objective lenses for high voltage resolution electron microscopes . Electron Microscopy, ed .S.Scanady , R.Rohlich and D.S zabo ( Program Committee of Eighth European Congres on Electron Microscopy , Budapest ) , 21- 23 .
6. Al-Obaidi, H.N . ( 1991 ) Design of the electromagnetic lenses . M.Sc. Thesis .Al- Mustansiriyyah University , Iraq .
7. Al-Obaidi, H.N . ( 1999 ) Anew analytical mathematical model for approximating the magnetic field of symmetrical lenses .J.Coll. Education , 3 , 35 – 46 .
8. Al-Saady A.K. ( 1990 ) Symmetrical and asymmetrical magnetic electron

- lenses .M.Sc. Thesis .Al-Mustan siriyah University , Iraq ( in arabic ) .
- 9. Al.Shummary , B.A.N ( 2002 ) A study of distortion for the projector lenses in the transmission electron microscope .M.Sc. Thesis , Babylon University , Iraq.
  - 10.Cleaver , J.R.A. ( 1978 ) Some optical characteristics of the saturated symmetrical condenser objective lens . Optik 49 , 4 , 3 – 444 .
  - 11. Cleaver , J.R.A. ( 1980 ) The choice pole pice shape and lens operating mode for magnetic objertive lenses with saturated pole pices. Optik , 57, 9 – 34 .
  - 12. Grivet ,P. ( 1972 ) Electron optics . 2nd , ed . ( Pergamon press ) .
  - 13. Kamminga , W. ( 1972 ) Properties of magnetic objective lenses with highly saturated pole piece . Optik , 45 , 39 – 54 .
  - 14. Kato ,M . and Tsuno , K . ( 1990 ) Optimzation of electron lens shape giving minimum sherial aberration coefficient . IE.Transaction on Magnetic , 26 , 1023 – 1025 .
  
  - 15. Liebman , G. ( 1951 ) The symmetrical magnetic electron objective lens with lowest spherical aberration . Proc . Phys . Soc . 64 , 972 – 977 .
  - 16. Liebman , G. ( 1955 ) The field distribution in asymmetrical magnetic electron lenses . Proc . Phys . Soc . 68 , 679 – 681 .
  - 17. Munro , E. ( 1971 ) Computer aided – design method in electron optics . Ph. D . Thesis , University of Cambridge , U.K .
  - 18. Munro , E. ( 1975 ) A set of computer programs for calculating the properties of electron lenses . University of Cambridge , Department of Engineering Report CUED / B – Elect TR45 .
  - 19. Riecke , W.D. and Ruska , E.( 1966 ) Spherical aberration of saturated strong objective lenses . Electron Microscopy , ed .R .Uyeda ( Toko : Maruzen ) , 1, 139 – 179 .
  - 20. Tsuno , K. and Harada , Y. ( 1981 ) Calculater of field distribution and optical properties of saturated asymmetrical objective lenses . Electron Microscopy and Analysis ( Inst .Phys . Conf . Ser . No.61 ) , 95 – 98 .
  - 21. Tsuno , K. and Harada , Y. ( 1983 ) Design procedure for High resolution electron microscope objective lens . J.Elect .Microsc . 32 , 289 – 387 .
  - 22. Tsuno , K. and Honda , T. ( 1983 ) Magnetic field distribution optical properties of asymmetrical objective lenses for an atomic resolution high Voltage electron microscope . Optik , 64 , 367 – 445 .

## تقويم التعقید الخطی لمولد هادمارد باستخدام المنطق المضبب

جامعة النهرين	ستار بدر سد خان
الجامعة المستنصرية	فيس جمیل الجمبیلی
الجامعة المستنصرية	صبيحه فاضل جواد

### الخلاصة

تعد أمنية أنظمة التشفير الانسيابي معلماً مهماً من معالم التصميم . ترتبط هذه الأمنية بمولد متتابعة المفاتيح الثنائية شبه العشوائية . حيث يكون التعقید الخطی لهذه المتتابعات الناتجة عن هذه المولدات مقاييساً لأمنية نظام التشفير الانسيابي . اعتمدت الجهود العلمية الخاصة بمسألة تقويم التعقید الخطی للمتابعة الثنائية شبه العشوائية على توظيف العديد من التقنيات والطرائق .

يعتبر مولد هادمارد ، من المولدات الشائعة الاستخدام مع أنظمة التشفير الانسيابي ، وقد تم إيجاده من قبل الباحث هادمارد في عام ( ١٩٨٤ ) كتطبيق لتنفيذ تقنية التوحيد وذلك باستخدام دالة بوليانية لاختطية لتوحيد نواتج مولدات متتابعات ثنائية خطية والحصول على متتابعة ثنائية لاختطية .

يقدم البحث طريقة حديثة لتقويم التعقید الخطی لمتابعة مولد هادمارد باستخدام المنطق المضبب . وقد أوضحت نتائج استخدام هذه التقنية ومقارنتها مع النتائج الخاصة بتطبيق تقنية بيرلكامب-ماسي بان هذه الطريقة توفر نتائج جيدة ، ويمكن مقارنتها مع الطرائق الأخرى أو التقنيات المستخدمة في عملية التقويم . كما أوضحت نتائج البحث إن استخدام الدالة البوليانية اللاحظية المعتمدة على دالة ( OR ) لتوحيد المتتابعات الثنائية الخطية وتوليد متتابعة لاختطية حسب مفهوم هادمارد ينبع متتابعة ذات تعقید خطی أعلى من المولد نفسه عند استخدام دالة ( AND ) للتوكيد . وقد تم التأكيد من هذه النتيجة من خلال طريقة التقويم المقترنة وطريقة بيرلكامب-ماسي .

ستار بدر سدخان، قيس جميل الجميلي، صبيحه فاضل جوال

## المقدمة

أحدث السنوات الحالية إدراكاً متزايداً إلى الاحتياج الكبير إلى أنظمة الاتصالات. أخذت الاستخدام الواسع للتقنيات الرقمية الحديثة وأنظمة التشفير بدرجة كبيرة الفرصة على المتخصص غير المخول ( An authorized Listener ) لاستخلاص المعلومات المتعلقة بمحتوى الرسالة . لذلك تستخدم أنظمة الاتصالات تقنيات التشفير لاختزال فرص العدو لاستخلاص معلومات مفيدة متعلقة بمضمون الرسائل [ 1 ] . ينصب الاهتمام على تصميم طرائق خاصة لبناء أنظمة تشفير البيانات ، والإشارة الصوتية التماضية والإشارة الصورية وذلك بالاعتماد على توظيف طرائق مختلفة منها ما يسمى ( ذات المفتاح السري ) ومنها ما يسمى ( ذات المفتاح المعلن ) . ويرتكز الجهد العلمي الكبير في هذه الطرائق على بناء مولدات المفاتيح السرية . وتأخذ هذه المسالة جانبًا مهمًا في أنظمة التشفير الأنسبيابي ، وذلك لأن هذه المولدات تعتبر المصدر الرئيسي لتحديد أمنية نظام التشفير الأنسبيابي .

## مولادات المتتابعات الثنائية شبه العشوائية اللاخطية

قدم الباحث بايرر [ 2 ] ، نوعين رئيين من أنظمة التشفير الأنسبيابي ، وهما النظام الخطى والنظام اللاخطى ، تكون الأنظمة الخطية من مسجل إزاحة ذو تغذية مرتبطة خطية ( LFBSR ) بطول معين ودالة مزج ( تشفير ) خطية ( XOR ) . تربط مراحل عدّة من مسجل الإزاحة باستخدام دالة تغذية مرتبطة خطية ، لتوليد متتابعة المفاتيح ذات طول دورة ( $1 - 2^n = P$ ) . حيث أن  $n$  يمثل طول ( عدد المراحل ) مسجل الإزاحة .

يمكن محلل الشفرة من الحصول على تركيب المولد المكافئ بمعرفة عدد من بتات المتتابعة الثنائية شبه العشوائية باستخدام خوارزمية بيرلكامب-ماسي [ 3 ] . توجه مصممو أنظمة التشفير الأنسبيابي نحو خوارزميات التشفير اللاخطى لزيادة تعقيد متتابعاتها مما يعقد عمل محلل الشفرة .

يوجد العديد من الاتجاهات لاستخدام التقنية اللاخطية مع أنظمة التشفير الأنسبيابي لأنتج متابعات ثنائية لاخطية وكالآتي :-

**أ- تقنية التوحيد**

وهي تقنية توحيد العديد من المتتابعات الثنائية الخطية الناجمة من مسجلات إزاحة ذوات تغذية مرئية خطية باستخدام دالة توحيد بوليانية لخطية [4] .

**ب- تقنية الترشيح**

وذلك باستخدام دالة بوليانية لخطية تعمل كمرشح لعدد من مخارج مسجل إزاحة ذو تغذية مرئية خطية ، [ 5 ] .

**ج- التقنية الهجينية**

تعتمد هذه التقنية على إشراك تقنية التوحيد وتقنية الترشيح ضمن تركيبة واحدة ، [ 6 ] .

**تقنية هادمارد**

يتكون مولد هادمارد من مسجل إزاحة كل منها ذو تغذية مرئية خطية بحيث يولد أعظم دورة كما ان القاسم المشترك الأعظم بين اطوالهما يساوي واحد  $[1 = \text{GCD}(L_1, L_2)]$  ، حيث يكون طول دورة المتتابعة الثنائية اللاخطية الناجمة من مولد هادمارد هو  $(2^m - 1)(2^n - 1)$  . يستخدم هذا المولد دالة توحيد بوليانية لخطية من مجموعة تحتوي على ثمانية دوال بوليانية لخطية ، وحسب ما موضح في الملحق ( ١ ) [ 7 ] . يتطلب عمل هذا المولد معرفة عدد مراحل مسجلات الإزاحة والحالات الابتدائية ودوال التغذية المرئية الخطية وطول المتتابعة المطلوب توليدها .

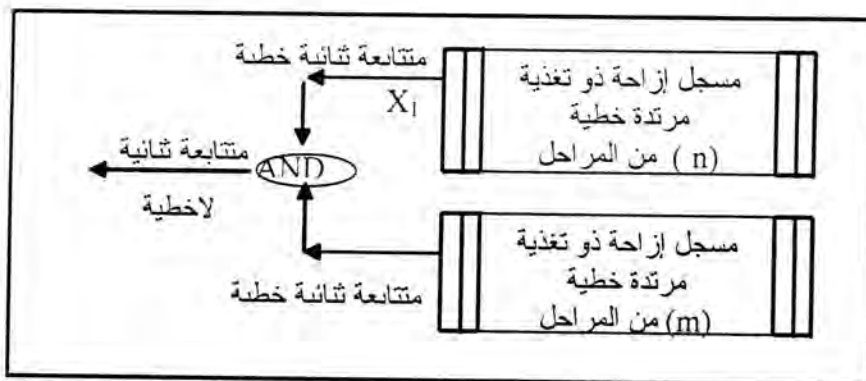
يتم أيجاد المتتابعة الثنائية اللاخطية حسب جدول الحقيقة لدالة التوحيد البوليانية اللاخطية ، يوضح شكل ( ١ ) مولد هادمارد الذي يستخدم دالة التوحيد البوليانية اللاخطية .

$$f(x_1, x_2) = x_1 \cdot x_2 \quad \dots\dots (1)$$

ستار بدر سدحان، قيس جميل الجميلي، صبيحة فاضل جواد

حيث يمكن استخدّام الـ دوال السبعة الأخرى المذكورة في الملحق (١) بدلاً من هذه الدالة .

يهدف البحث إلى إجراء دراسة تحليلية لتقويم التعقّيد الخطّي للمتابّعات الثنائيّة شبه العشوائيّة اللاخطّيّة الناتجة من مولد هادمارد باستخدّام دوال توحيد بوليانية مختلفة . تصميم ومحاكاة طريقة جديدة لتقويم التعقّيد الخطّي باعتماد منطق المجموعات مضبّب . ومقارنة نتائج هذه الطريقة الجديدة مع نتائج طريقة بيرلكامب - ماسي .



شكل (١) مولد هادمارد للمتابّعات الثنائيّة اللاخطّيّة

### تقويم التعقّيد الخطّي للمتابّعات الثنائيّة شبه العشوائيّة

يعرف تعقّيد المتابّعة الثنائيّة على انه طول المكافئ الخطّي الذي يولد تلك المتابّعة ، ويسمى بالتعقّيد الخطّي . يوجد نوعان من التعقّيد الخطّي ، هما التعقّيد الخطّي الشامل والتعقّيد الخطّي المحلي [8] . يعدّ تقويم خوارزميات التشفير او تقويم التعقّيد الذي يملّكه مولد المفاتيح من الجوانب الأساسية في مكونات علم التشفير [9] .

### Evaluation التقويم

يهدف هذا الجانب العلمي من فروع علم التشفير إلى حساب تقويم درجة أمنية نظام التشفير المصمم ، وذلك من أجل مقارنة أنظمة التشفير فيما بينها من ناحية الأمانة او درجة تعقّيد خوارزميتها . يعتمد هذا الجانب العلمي على استخدام عدد من المقاييس ، ومنها :-

- معالم تركيبية لمكونات مسجلات إزاحة خطية مكافئة [ 2 ] .
- معالم نظرية المعلومات [ 10 ] .
- معالم نظرية التعقّيد الحسابي [ 2 ] .

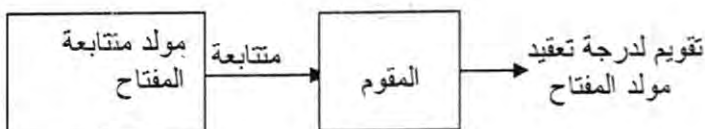
- د- معلمات إحصائية مختلفة [ 1 ].
- هـ مقاييس المحولات المتعامدة مثل ( محول فوريير ، محول وولش ، محول جيب تمام المنفصل ، ومحول Z ) . [ 11 ] [ 5 ] .
- و- تقنية المنطق المضباب [ 13 ] .
- ز- تقنية الشبكات العصبية الاصطناعية [ 12 ] .

#### الواقع الحالي لمسألة تقويم مولدات متتابعات ثنائية\_شبه العشوائية

يمكن اعتبار المقوم معالج بيانات ( Data Processor ) يعتمد على ما يدخل له من مدخلات ( مثل متتابعة النص المشفر أو المتتابعة الثنائية المتولدة من مولد مفاتيح نظام التشفير ) في تحديد درجة أمنية ( سرية ، تعقيد ) الجزء المولد لمدخلات المقوم . يمكن تفسير هذا الافتراض باتجاهين ، هما :-

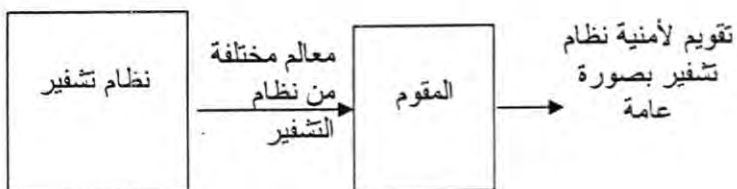
#### أ- الاتجاه الأول

يتم في هذا الاتجاه تقويم نظام التشفير بأكمله . في هذه الحالة ، يطلق على المقوم اسم مقوم الأمانية ( Security Evaluator ).



#### ب- الاتجاه الثاني

يتم في هذا الاتجاه تقويم تعقيد المتتابعة الثنائية الناتجة من مولد متتابعة معين . في هذه الحالة يطلق على المقوم اسم مقوم تعقيد المتتابعة ( Sequence complexity evaluator ).



ستار بدر سدخان، قيس جميل الجميلي، صبيحة فاضل جواد

### طريقة بيرلكامب - ماسي ( Berlekamp-Massay )

هي طريقة لحساب المولد المكافئ الخطى ( أقصر مسجل إزاحة ذو تغذية مرتبطة خطية ) يولد نفس المتتابعة الثانية الخاضعة للاختبار ، وذلك بالحصول على معاملات متعددة حدود التغذية المرتبطة لمسجل الإزاحة من خلال إعطاء مقطع من المتتابعة الثانية ذات طول (  $2L$  ). حيث أن (  $x$  ) تمثل متعددة الحدود لمسجل إزاحة خطى مكافئ ، و  $L$  يمثل التعقيد الخطى للمتتابعة الثانية الخاضعة للاختبار ، و  $S_n$  تمثل بت من المتتابعة بالموقع  $n$  [ 2 ]. إذا كان طول الناتج  $L$  يحقق العلاقة  $n-1 \leq 2L$  فإن مسجل إزاحة من هذه التقنية هو مسجل إزاحة وحيد بأصغر طول يولد هذه المتتابعة ، وإذا كان  $n \geq 2L$  فإن هذا الشرط لا يتحقق ويوجد أكثر من مسجل إزاحة يولد هذه المتتابعة [ 11 ].

#### مثال ( 1 )

جد التعقيد الخطى ( طول أقصر مسجل إزاحة ذو تغذية مرتبطة خطية ) للمتتابعة الثانية الخطية المتولدة من مولد متتابعات ثنائية خطية مجهول التركيب .

$$S_n = 10101100100$$

الحل :

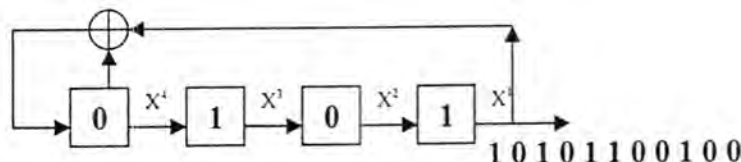
يبين الجدول ( 1 ) خطوات استخدام طريقة بيرلكامب - ماسي لحساب التعقيد للمتتابعة الثانية الخاضعة للاختبار .

جدول (١) طريقة بيرلكامب - ماسي

$n$	$S_n$	$D$	$T(x)$	$C(x)$	$L$	$b$	$a$
				1	0	1	1
0	1	1	1	$1+x$	1	1	1
1	0	1	1	1	1	1	2
2	1	1	1	$1+x^2$	2	1	1
3	0	0	1	$1+x^2$	2	1	2
4	1	0	1	$1+x^2$	2	1	3
5	1	1	$1+x^2$	$1+x^2+x^3$	4	1	1
6	0	1	$1+x^2$	$1+x+x^2$	4	1	2
7	0	1	$1+x^2$	$1+x+x^4$	4	1	3
8	1	0	$1+x^2$	$1+x+x^4$	4	1	4
9	0	0	$1+x^2$	$1+x+x^4$	4	1	5
10	0	0		$1+x+x^4$	4	1	6

حيث أن  $a$  و  $b$  أعداد ثابتة،  $T(x)$  خزان مؤقت ،  $D$  متغير وسطي . بهذا يكون طول أقصر مسجل إزاحة يولد هذه المتتابعة هو ( 4 ) ومتحدة حدود التغذية المرتدة لهذا المسجل هي:

$$C(x) = 1 + x + x^4$$



## الأنتروبيا Entropy

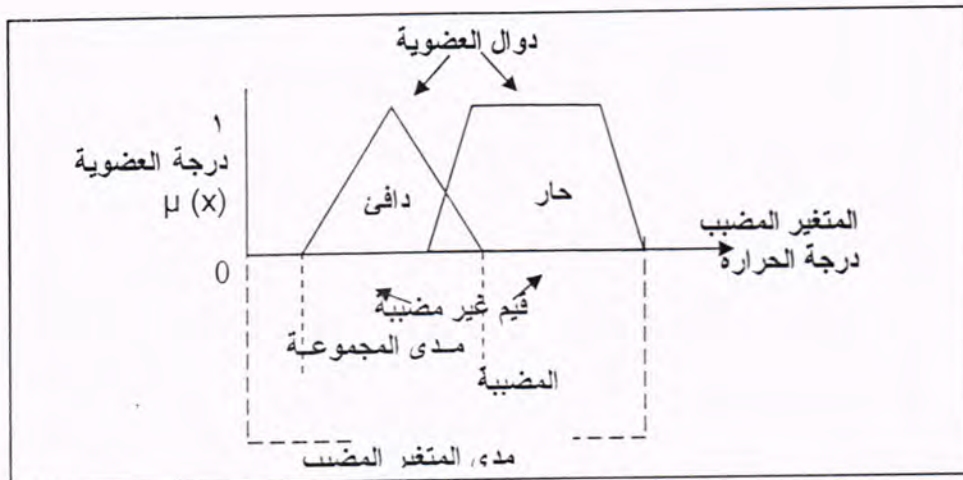
هي المتوسط الإحصائي للمعلومات الذاتية ، وتعطى بالعلاقة الآتية:-

$$H(x) = \sum_{i=1}^n P_i \log P_i \quad \dots \dots \quad (2)$$

القيمة المتوسطة  $H(x)$  تعدّ قياساً نسبياً ( في الحقيقة ) يحدّى عن الثّأك ( Uncertainty ) بالنسبة لحدوث الحدث أو إرسال رسالة معينة من مجموعة رسائل المصدر، ويعتبر من إحدى طرائق تقويم التعقّد لأنظمة الأمانة .

## المنطق المضبّب FUZZY LOGIC

يعرف المنطق المضبّب على انه منطق متعدد القيم ، ويعبّر عن التفاصيل المعقدة بمتغيرات وقواعد مضبّبة بسيطة ومفهومية . يبيّن هذا المنطق بعدم الثقة في الحدث أو المفهوم نفسه [10] . ويعتمد على مفاهيم المجاميع المضبّبة ( fuzzy set ) . تأخذ القيمة الحقيقية لمتغير ما أي قيمة ضمن الفترة المغلقة  $[0,1]$  ، والتي تشير إلى درجة الحقيقة التي يتم تمثيلها بصيغة مضبّبة [14] . يوضح الشكل ( ٢ ) الأدوات الرياضية للمنطق المضبّب وهي متغيرات مضبّبة Fuzzy Variables ، منسّبات المتغير المضبّب Qualifiers of fuzzy variables ، الدوال العضوية Membership Function ، درجة العضوية Degree of membership ، المجموعة Fuzzy Set والمضبّبة Fuzzy Rule .



شكل (٢) الأدوات الرياضية للمنطق المضباب

### علاقات المجاميع المضببة

يوضح الجدول رقم (٢) طرائق حساب قيم العضوية والتي عرفها الباحث لطفي زاده [15]. لتطبيق المنطق المضباب على أي نظام يجب أن يخضع التصميم للمراحل الآتية : التضبيب، تطبيق العلاقات المنطقية ، إنشاء القواعد ، التجميع بتطبيق إحدى الطريقتين . ( طريقة ممدادي وطريقة Sugeno ) ، اللانتضبيب ( للحصول على النتيجة النهائية الغير مضببة ) .

### مراحل تطبيق المنطق المضباب

توجد خمس مراحل لعملية تطبيق طريقة المنطق المضباب وهي [16][17] :-

#### أ- مرحلة التضبيب Fuzzification

في هذه المرحلة يتم تحديد مجاميع المدخلات والمخرجات ، ويتم تحديد درجات العضوية للمجاميع المضببة عبر دوال عضوية ، أي أن في هذه المرحلة يتم تحويل قيم المتغير غير المضببة ( Crisp Value ) إلى قيم مضببة من الصفر إلى الواحد .

ستار بدر سدخان، قيس جميل الجميلي، صبيحه فاضل جواد

### ب- مرحلة إنشاء وتطبيق العلاقات المنطقية

#### Create Rules and apply logic operations

دائماً تكون المدخلات لعملية التضبب اثنان أو أكثر من القيم العضوية ، وتكون المخرجات دائماً قيمة حقيقة واحدة . في هذه المرحلة يتم تطبيق العلاقات المنطقية والتي ذكرت في جدول رقم (٢) .

### ج- مرحلة استخدام القواعد اللغوية

تستخدم القواعد اللغوية لتحديد أي فعل ضبط يجب حدوثه، واستجابة لمجموعة معطاة كقيم مدخلات ، وبعد تحديد العلاقة المنطقية المستخدمة تحدد قوة القاعدة للحصول على نتيجة مضببة واحدة وذلك باستخدام أحد العوامل الآتية :-

أ- عامل الضرب الجبري ، ويكون التمثيل الرياضي له كالتالي :-

$$\prod_{i=1}^k \mu_i(x_i) \quad \dots \dots \quad (3)$$

ب- عامل الأصغر ، ويكون التمثيل الرياضي له كالتالي :

$$\min_{1 \leq i \leq k} (\mu_i(x_i)) \quad \dots \dots \quad (4)$$

### د- مرحلة التجميع Aggregate

للغرض الحصول على قرار يجب أن تجمع جميع القواعد المستخدمة في النظام ، وتحتها لغرض الحصول على نتيجة ذات مخرج واحد غير مضبب ، وتم هذه العملية بإحدى الطرق الآتية

- طريقة مданى Mamdani Method :

وتمثيلها الرياضي هو:

$$Y = A \quad \dots \dots \quad (5)$$

إذ أن A تمثل أكبر قوة قاعدة لكل ناتج من منسوب ضمن مجموعة المتغير المستخدم [26] .

### - طريقة Takagi – Sugeno – Kang (TSK) Method :

و تكون مخرجاتها متغيرة خطياً و تمثل بالمعادلة الآتية: اذ أن  $\hat{Y}_i = \sum_i^k a_i x_i + a_0$  متغير مدخلات . او تكون مخرجاتها ثابتة أي ان:-

$$Y = C \quad \dots \dots \quad (7)$$

اذ أن  $C$  عدد ثابت .

### - مرحلة اللتضييب Defuzzification

المجموعة المضببة الناتجة من المرحلة الرابعة هي مدخل عملية اللتضييب ، ويكون مخرج هذه العملية هو رقم واحد وهو المخرج المطلوب النهائي . ومن الطرق المستخدمة في هذه العملية هي :

#### اولا- طريقة مركز الجذب Center of gravity method (Centroid)

وهي من الأكثر الطرق شيوعاً في الاستخدام للأسباب الآتية [17][18] :-

- تجعل عملية اللتضييب في هذه الطريقة القيم تتحرك بنعومة حول منطقة التضييب الناتجة، فعند تحرك القيم من مقطع إلى آخر سوف تتغير القيمة الغير المضببة (Crisp value) (بنعومة) . - سهلة نسبياً في الحساب .

- يمكن تطبيقها على المخرجات المضببة ذات مجموعة واحدة أو مجاميع عديدة .

يمكن تمثيل مخرج هذه الطريقة بالمعادلة الآتية :

$$Y = \frac{\sum_{i=1}^k h_i y_i}{\sum_{i=1}^k h_i} \quad \dots \dots \quad (8)$$

حيث أن  $h_i$  تمثل القيمة العضوية ، وان  $y_i$  تمثل القيمة اللامضببة لتلك القيمة العضوية، وان  $k$  عدد القيم المضببة ، و  $y$  يمثل القيمة اللامضببة .

#### ثانيا- طريقة أعلى قيمة مرکبة Composite Maximum Method

تستخدم هذه الطريقة لمشاكل محدودة ، وللأسباب الآتية [16][17] :-

- تتحسن القيمة غير المضببة باستخدام قاعدة واحدة .

ستار بدر سدخان، قيس جميل الجميلي، صبيحة فاضل جواد

- تغير القيمة غير المضببة بتغير شكل وارتفاع المجموعة المضببة .
- وتشمل هذه الطريقة عدة أنواع منها :

#### • مركز أعلى قيمة      Center of maximum value

تأخذ أعلى قيمة عضوية لكل دالة عضوية في المتغير ثم تجمع هذه القيم ، وتحسب القيمة الوسطية التي تقطع المحور  $X$  عند القيمة اللامضببة .

تصميم ومحاکاة مقوم معتمد على المنطق المضبب لمتابعة هادمارد

#### ١. تمثيل متغيرات المجموعات المضببة

إن أهم الخصائص ( التي يعتمد عليها تعقید نظام تشفير انسابي لمسجل إزاحة خطى ) هي طول دورة المتابعة الثانية ، وعدد مراحل مسجل الإزاحة الخطى ، والخصائص الإحصائية لمتابعة البتات الثنائية المتولدة من مسجل الإزاحة . يمكن تمثيل هذه الخصائص بمجموعات مضببة ذات مدخلين وخرج واحد ، والذي يعتبر المقوم للطريقة المقترنة [ 13 ] .

♦ المدخل الأول : هو طول دورة المتابعة الثانية ( Length of period ) لمسجل الإزاحة ذو التغذية المرتدة الخطية ، يتراوح مدى هذه الأطوال بين الصفر والقيمة ( 2097151 )، حيث يمكن تمثيل هذا المدى بخمس منسوبات مضببة ، كل منصب يخضع لعملية عنقدة ( Clustering ) لخمس أو أربع مراحل معاً . يمثل المحور السيني القيم الغير مضببة ( Crisp Value ) بأقصى طول دورة maximum length of period ( Degree of membership ) ذات درجة عضوية ( Primitive polynomial ) على محور الصادي (  $\Sigma$  ) درجة العضوية (  $X^m$  ) ، وطول الدورة الذي لا يساوي 2<sup>n-1</sup> الناتج من دالة تغذية مررتدة خطية ( متعددة حدود غير أولية Number of primitive polynomial ) تكون مخصوصة ما بين قيم العضوية [ 0 , 0.9 ] . إن منسوبات مجموعات هذا المتغير هي:-

المجموعة الأولى : ( L1 ) Length 1 : " مثلث قائم الزاوية " ، [ 0 , 31 , 31 ]

المجموعة الثانية : ( L2 ) Length 2 : " مثلث قائم الزاوية " ، [ 15 , 511 , 511 ] .

المجموعة الثالثة : ( Length3 ) : " مثلث قائم الزاوية " [ 255 , 8191 , 8191 ]  
 المجموعة الرابعة : ( Length4 ) : " مثلث قائم الزاوية " ، [ 4095 , 131071 , 131071 ] .

المجموعة الخامسة: ( Length5 ) : " شبه منحرف " ، [ 65535 , 2097151 , 33266417 , 33266417 ]

يوضح الشكل رقم ( ٣ ) الدوال العضوية لهذا المتغير، و يوضح الجدول ( ٣ ) طول مسجل الإزاحة الخطى ، أقصى طول دورة ، و عدد متعددات الحدود الأولية .

♦ المدخل الثاني : ( الأنتروبيا ) يتمثل هذا المتغير بتكرار ربط المراحل ، ذو مدى يتراوح بين القيم ( ٠ , ٢٥ ) يمثل هذا المتغير بخمس منسوبات ( مجاميع ) كل منسوب تمثل بعملية عنقدة لأربع أو خمس مراحل معاً وهي :-

- [ ٠ , ٥ , ٥ ] : Entropy 1,  $H_1(x)$  : " مثلث قائم الزاوية " ،
- [ ٤ , ٩ , ٩ ] : Entropy 2,  $H_2(x)$  : " مثلث قائم الزاوية " ،
- [ ٨ , ١٣ , ١٣ ] : Entropy 3,  $H_3(x)$  : " مثلث قائم الزاوية " ،
- [ ١٢ , ١٧ , ١٧ ] : Entropy 4,  $H_4(x)$  : " مثلث قائم الزاوية " ،
- [ ١٦ , ٢١ , ٢٥ , ٢٥ ] : Entropy 5,  $H_5(x)$  : " شبه منحرف " ،

اعتمد تمثيل هذا المتغير على تكرار ربط المراحل لكل مسجل إزاحة خطى ليكون دوال التغذية المرتدة ، وكما هو موضح في الجدول رقم ( ٤ ) ، يوضح الشكل رقم ( ٤ ) الدوال العضوية المستخدمة لهذا المتغير .

♦ متغير المخرج : وهو معلم النقويم ، فقد اعتمد على النسبة المئوية باستخدام المعادلة الآتية:-

$$Y = k * 100 / M \quad .....(8)$$

ستار بدر سدخان، قيس جميل الجميلي، صبيحه فاضل جواد

حيث أن  $k$  تمثل أقصى طول دورة لمسجل إزاحة خطى ،  $M$  تمثل أقصى طول للدورة المختارة في المتغير الأول والتي هي ( 2097151 ) لمسجل إزاحة خطى ذو طول (21) مرحلة، لقد تم اقتراح تمثيل مناسبات هذا المتغير بالمجاميع الآتية :

المجموعة الأولى: ( Nlow ) : " مثُل قائم الزاوية " ، [ 0, 25, 25 ] .

المجموعة الثاني: Positive Low ( Plow ) : " مثُل قائم الزاوية " ، [ 20, 40, 40 ] .

المجموعة الثالثة: medium : " مثُل قائم الزاوية " ، [ 35, 60, 60 ] .

المجموعة الرابعة: good: " مثُل قائم الزاوية " ، [ 55, 75, 75 ] .

المجموعة الخامسة: high: " شبه منحرف " ، [ 70, 90, 100, 100 ] .

يمثل هذا المتغير تقويمًا لدرجة تعقيد التصميم المستخدم . ويوضح الشكل رقم ( ٥ ) الدوال العضوية لهذا المتغير . يوضح الجدول رقم ( ٥ ) النسبة المئوية لعدد من مسجلات الإزاحة ذات مراحل مختلفة ، وهي القيم التي اعتمد عليها في بناء مجاميع متغير المخرج .  
يوضح الجدول ( ٦ ) القواعد المضببة التي اعتمد عليها في التصميم .

## ٢ . حالات دراسية

أ- الحالة الدراسية الأولى : ( اختبار تأثير تغيير دوال الربط في عملية توليد المتتابعة الثانية اللاخطية ) : لقد أخذ التسلسل الأول والثاني من الجدول ( ٧ ) ويمثلان (مسجل إزاحة ذو تغذية مرتبطة خطية ، المسجل الأول ذو ثلاثة مراحل والمسجل الثاني ذو أربعة مراحل ، بدالة ربط OR و AND ) ، ثم طبقت عليهما مراحل المنطق المضبب وكالآتي:-

١- مرحلة التضييب : حسب البند ( ٢-٣ ) .

٢- العلاقات المنطقية : استخدام العلاقة المنطقية ( AND ) و ( OR )

٣- إنشاء القواعد : استخدام قاعدتين ، هما :-

القاعدة الأولى :-

If Length of period is L3 AND Entropy is  $H_3(x)$  Then evaluation Parameter is Plow.

وبعد تطبيق معادلة رقم ( 8 ) نحصل على درجات العضوية للشرط الأول وجوابه هي:-

$$\begin{aligned}\mu(x) &= 0.4 \\ \mu(H_3(x)) &= 0.8 \\ \text{ثم تحدد قوة القاعدة وكالآتي :} \\ \text{Min}(0.4, 0.8) &= 0.4 \quad \text{Plow}\end{aligned}$$

- القاعدة الثانية :

If Length of period is L5 OR Entropy is  $H_5(x)$  Then evaluation Parameter is good.

وبذلك تكون قيمة درجة العضوية للشرط الأول وجوابه هي :-

$$\begin{aligned}\mu(x) &= 0.2 \\ \mu(H_3(x)) &= 0.8\end{aligned}$$

ثم تحدد قوة القاعدة حسب البند (٢-٣) في المرحلة الثالثة (إنشاء القواعد) ، وكالآتي :-

$$\text{max}(0.2, 0.8) = 0.8 \quad \text{good}$$

٤- مرحلة التجميع : باستخدام طريقة (مداني) للحصول على النتيجة النهائية المضببة وكالآتي :

$$\text{Max}(0.2, 0.8) = 0.8 \quad \text{good}$$

٥- مرحلة اللاتضييب : باستخدام طريقة مركز الجذب (Centroid) وكانت النتيجة كالتالي :-

$$Dfuzz(0.8) = 68.660 \quad \text{good}$$

ب - الحالة الدراسية الثانية : ( اختبار استخدام دوال توحيد بوليانية لخطية مختلفة لنفس تركيبة

المولد الموجودة في الحالة الدراسية الأولى ) : لقد أخذ التسلسل الرابع والخامس من الجدول (٧)

( يتضمن مسجل إزاحة ذو تغذية مرتبطة خطية ، المسجل الأول ذو ثلاثة مراحل و المسجل الثاني

ذو أربع مراحل ، بدالة ربط OR ، بتبديل الدالة البوليانية ) ، ثم طبقت عليهما مراحل التضييب

وكالآتي :-

١- مرحلة التضييب : حسب البند (٢-٣) .

٢- العلاقات المنطقية : استخدام العلاقة المنطقية (OR)

ستار بدر سدخان، قيس جميل الجميلي، صبيحة فاضل جواد

-٣ إنشاء القواعد : استخدام القاعدتين الآتية :-

القاعدة الأولى :-

If Length of period is L5 OR Entropy is  $H_5(x)$  Then evaluation Parameter is high .

وبعد تطبيق معادلة رقم ( 8 ) نحصل على درجات العضوية للشرط الأول وجوابه هي:-

$$\begin{aligned}\mu(x) &= 1.0 \\ \mu(H_5(x)) &= 1.0\end{aligned}$$

ثم تحدد قوة القاعدة حسب البند ( ٢-٣ ) في المرحلة الثالثة ( إنشاء القواعد ) وكالآتي :-

$$\text{Max}(1.0, 1.0) = 1.0 \quad \text{high}$$

القاعدة الثانية :-

If Length of period is L5 OR Entropy is  $H_5(x)$  Then evaluation Parameters is high .

وبذلك تكون قيمة درجة العضوية للشرط الأول وجوابه هي:-

$$\begin{aligned}\mu(x) &= 1.0 \\ \mu(H_5(x)) &= 1.0\end{aligned}$$

ثم تحدد قوة القاعدة حسب البند ( ٢-٣ ) في المرحلة الثالثة ( إنشاء القواعد ) ، كالآتي :-

$$\text{Max}(1.0, 1.0) = 1.0 \quad \text{high}$$

٤- مرحلة التجميع : باستخدام طريقة ( ممداي ) للحصول على النتيجة النهائية المضببة وكالآتي :

$$\text{Max}(1.0, 1.0) = 1.0 \quad \text{high}$$

٥- مرحلة الالاتضيب : باستخدام طريقة مركز الجذب ( Centroid ) كانت النتيجة كالآتي :-

$$Dfuzz(1.0) = 89 \quad \text{high}$$

ج- الحالة الدراسية الثالثة : ( اختبار استخدام دوال توحيد بوليانية لاختطاف مختلفة لتركيبة مولد

مختلفة ) : لقد أخذ التسلسل السابع والثامن من الجدول ( ٧ ) ( ثلاث مسجلات إزاحة مع تعذية

مرتجدة خطية ، المسجل الأول ذو ثلاثة مراحل ، المسجل الثاني ذو أربعة مراحل ، والمسجل

الثالث ذو خمسة مراحل بدالة ربط AND ، تم تبديل الدالة البوليانية ( ) ، ثم طبقت عليهما

مراحل التضبيب وكالآتي:-

١- مرحلة التضبيب : حسب البند (٢-٣) .

٢- العلاقات المنطقية : استخدام العلاقة المنطقية ( AND )

٣- إنشاء القواعد : تم استخدام القاعدتين الآتية ، هما :-

القاعدة الأولى :-

If Length of period is L5 AND Entropy is  $H_5(x)$  then evaluation Parameter is high

وبعد تطبيق معادلة رقم ( ١ ) نحصل على درجات العضوية للشرط الأول وجوابه هي:-

$$\mu(x) = 1.0$$

$$\mu(H_5(x)) = 1.0$$

ثم تحدد قوة القاعدة حسب البند (٢-٣) في المرحلة الثالثة (إنشاء القواعد ) ، كالآتي :-  
 $\text{Min}(1.0, 1.0) = 1.0 \quad \text{high}$

القاعدة الثانية :-

If Length of period is L5 AND Entropy is  $H_5(x)$  then evaluation Parameter is high.

وبذلك تكون قيمة درجة العضوية للشرط الأول وجوابه هي :-

$$\mu(x) = 1.00$$

$$\mu(H_5(x)) = 1.00$$

ثم تحدد قوة القاعدة حسب البند (٢-٣) في المرحلة الثالثة (إنشاء القواعد ) ، كالآتي :-  
 $\text{max}(1.00, 1.00) = 1.00 \quad \text{high}$

٤- مرحلة التجميع : باستخدام طريقة ( مدانى ) للحصول على النتيجة النهائية المضببة وكالآتي :-

$$\text{Max}(1.0, 1.00) = 1.00 \quad \text{high}$$

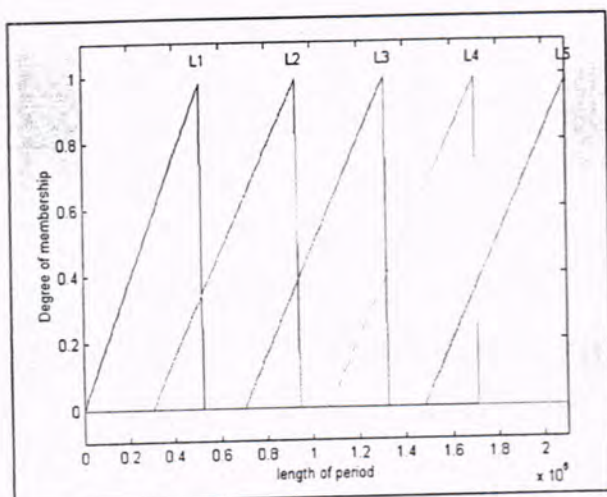
٥- مرحلة الالتضبيب : باستخدام طريقة مركز الجذب ( Centroid ) وكانت النتيجة كالآتي  
 $Dfuzz(1.00) = 89 \quad \text{high}$

## الاستنتاجات

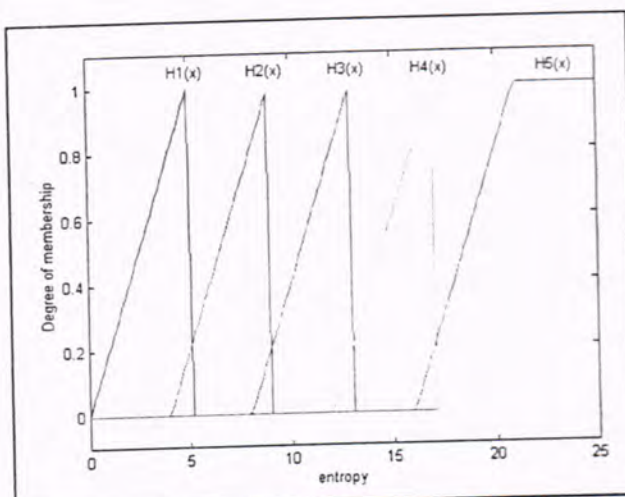
من خلال الحالات الدراسية المختلفة للتطبيق الذى تم ذكره يمكن استنتاج الآتى :-

- أ - أن تغير طول المتتابعة الناتجة من المولد والمدخلة إلى الخوارزمية المقترحة يملك قيمة لاتضبيب واحدة وهي بحدود ( 68.6667 ) عندما تكون دالة التوحيد للمولدين الخطية هي دالة ( AND ) وهي أقل مما يمكن الحصول عليه عند تغير هذه الدالة بدالة ( OR ) حيث تم الحصول على قيمة لاتضبيب مقدارها ( 89 ) . وهذا يعني أن استخدام دالة ( OR ) في مولد هادمارد ينتج متتابعة ثنائية لاخطية ذات تعقيد خطى أعلى من المولد نفسه عند استخدامه دالة توحيد ( AND ) . وعند مقارنة هذا الاستنتاج مع النتائج التي تم الحصول عليها باستخدام خوارزمية بيرلكامب - ماسي أثبتت هذه الخوارزمية النتيجة نفسها حيث أعطت المتتابعة الناتجة استخدام دالة ( AND ) تعقيد لاخطي قيمته ( 12 ) أما المتتابعة الناتجة عن دالة ( OR ) وبنفس الطول أثبتت تعقيداً خطياً مقداره ( 19 ) .

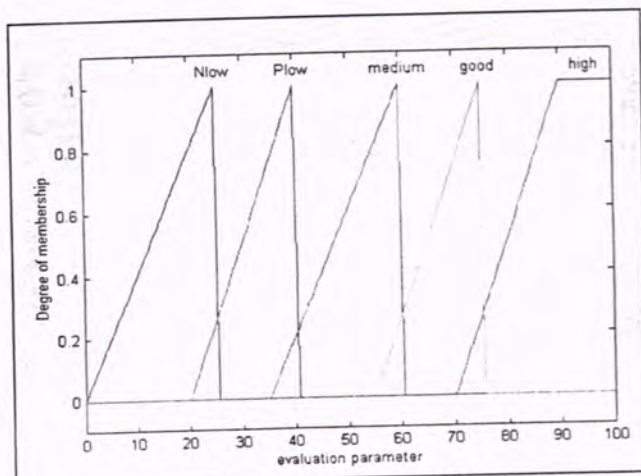
- ب - أن تغير تعقيد المكونات الخطية للمولد هادمارد يعكس طرد يا على التعقيد الناتج من المتتابعة اللاحطية لمولد هادمارد حيث تم الحصول على لاتضبيب مقداره ( 89 ) من مولد هادمارد تكون مكوناته الخطية المسجلات ذات طول ( 3 bits ) و ( 4 bits ) و ( 5 bits ) ، وقد عززت خوارزمية ماسي هذا الاستنتاج عندما أعطت تعقيداً خطياً للمتابعة مقداره ( ..., 74, 51, 25 ) .



شكل (٢) منسوبات المتغير الأول



شكل (٣) منسوبات المتغير



شكل (٤) منسوبات المتغير المخرج (Evaluation Parameter)

ستار بدر سد خان قیس جمیل الجمیلی صبیحه فاضل جواد

## المصادر

١. ری.هـ . بینیت و ترجمة د.جعفر وادی ، د.ستار بدر سدخان ، د.سعد عبد الرضا "تقنیات الإجراءات الإلكترونية المضادة والإجراءات المقابلة للإجراءات الإلكترونية المضادة لأنظمة الاتصالات الرقمية "، 1989 .
2. BEKER H. and PIPER F. , " Cipher System : The protection of Communications " , Northwood publication U.K, 1982 .
3. Henkel W, " A anther Description of the Berlekamp-Massey Algorithm " , IEE proce, vol.136, pt.1, No.3, June, 1989.
٤. د.صفاء الحداد والمهندس سعد ابراهيم ، "الاتصالات" ، موسوعة علوم ، سلسلة كتاب الثقافة العلمية ، العدد 10 ، وزارة الثقافة والاعلام ، 1986 .
٥. د.ستار بدر سدخان ، صبیحه فاضل جواد ، "تقويم دور التباديل العشوائية في زيادة أمنیة مولادات مفاتیح التشفیر الأنسیابی اللاخطیة" ، مجلة جامعة بابل ، 1998 .
٦. بہیجہ خضریر شکر ، "تقویم وتصمیم مولادات متتابعات ثانیة لاختیة شبه عشوائیة" ، أطروحة ماجستیر ، علوم حاسبات - جامعة بابل ، 1998 .
7. Beth T. and Piper F., " Stop and go generator " , In advances in cryptology , proc. Eurocrypt .1984
8. Glyn David , " Aspects or Local Linear Complexity ' , PHD thesis , University of London , 1989
٩. ستار بدر سدخان ، صبیحه فاضل جواد ، "طريقة مفترحة تعتمد على المنطق المضبب لتقويم متتابعة المفاتیح الشانیة الشبه عشوائیة" بحث مقدم الى كلیة العلوم التطبيقیة - الأردن

10. Siegenthaler T., "Correlation-Immunity of nonlinear combining functions for cryptographic applications " ,IEEE Trans.on information. Theory, vol. LT-30, P: 776-780 ,1984.
11. Andrea Brigone, " Evaluation of security system using Fuzzy Logic" , Second in international conference on secure communication system , 1986 .
12. Hilary H.Hosmer , " Security is Fuzzy " ,  
<http://www.cs.tamu.edu/research/cFL/Fuzzy.htm> , 2003 .

١٣. صبيحه فاضل جواد ، "التفوييم التعقيدي لمتتابعات ثنائية شبه العشوائية باستخدام المنطق المضباب" ، أطروحة ماجستير ، الجامعة المستنصرية- كلية العلوم ، ٢٠٠٤.
١٤. د. صباح محمد أمين الخياط ، د. جنان عبد الوهاب ، "الذكاء الاصطناعي" ، جامعة الأردن ، ١٩٩٨ .
15. Massy J. I. , " Shift-register synthesis and BCH decoding " , IEEE Trans .on Information Theory , vol. IT-15 , No.1 , January , 1969 .
16. Lotfi A.Zadeh , " Fuzzy Systems " , Handbook , Second Edition , 1999.
17. Rebecca Shalfield , " Fuzzy Logic toolkit " , [http://www.Ipa.co.uk/.](http://www.Ipa.co.uk/), 2001